



กรมโยธาธิการ กระทรวงมหาดไทย

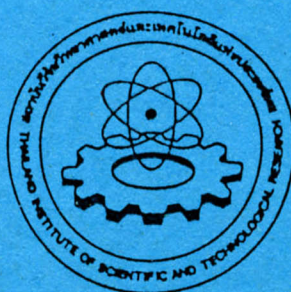
โครงการก่อสร้างระบบระบายน้ำและระบบบำบัดน้ำเสีย

เทศบาลเมืองนครปฐม

เอกสารประกอบการออกแบบ

จัดทำโดย

สถาบันวิจัยวิทยาศาสตร์และเทคโนโลยีแห่งประเทศไทย



628.2(593นฐ)

สทบ

ล. 7

กันยายน 2533



กรมโยธาธิการ กระทรวงมหาดไทย

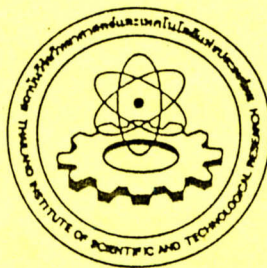
โครงการก่อสร้างระบบระบายน้ำและระบบบำบัดน้ำเสีย

เทศบาลเมืองนครปฐม

เอกสารประกอบการออกแบบ

จัดทำโดย

สถาบันวิจัยวิทยาศาสตร์และเทคโนโลยีแห่งประเทศไทย



กันยายน 2533



มหาวิทยาลัยเกษตรศาสตร์ วิทยาเขตมโนรมย์

เฉลิมฉลองครบรอบ ๖๐ ปี แห่งการสถาปนา มหาวิทยาลัยเกษตรศาสตร์

ศูนย์บริการข้อมูล 017145

628.2(59341)

ศกบ

๑.7

มหาวิทยาลัยเกษตรศาสตร์ วิทยาเขตมโนรมย์

มหาวิทยาลัย

มหาวิทยาลัยเกษตรศาสตร์ วิทยาเขตมโนรมย์ วิทยาเขตมโนรมย์ วิทยาเขตมโนรมย์



๕๕๕๕ มโนรมย์

12 ก.พ. 2552

สารบัญ

| | หน้า |
|--|------|
| 1. ระบบท่อระบายน้ำฝน | 1-1 |
| 1.1 ระบบท่อระบายน้ำฝน | 1-1 |
| 1.2 การคำนวณปริมาณน้ำหลาก | 1-1 |
| 1.2.1 ขั้นตอนวิธีการคำนวณ | 1-1 |
| 1.2.2 วิธีการคำนวณ | 1-1 |
| 1.2.3 Rational Formula | 1-3 |
| 1.2.3.1 พื้นที่รับน้ำ (Catchment Areas) | 1-3 |
| 1.2.3.2 สัมประสิทธิ์การไหลของน้ำ (Coefficient of Runoff) | 1-3 |
| 1.2.3.3 ช่วงเวลาที่น้ำสูงสุด | 1-3 |
| 1.3 การคำนวณทางชลศาสตร์ | 1-6 |
| 1.3.1 Manning's Equation | 1-6 |
| 1.3.2 ความสูญเสียเฮด (Head Losses) | 1-6 |
| 1.3.3 การต่อเชื่อมเพื่อระบายน้ำล้น (Overflow Connection) | 1-9 |
| 1.4 ที่ตั้งของทางระบายน้ำ | 1-9 |
| 1.5 ท่อระบายน้ำเสีย | 1-10 |
| 2. การปรับปรุงคลองเจดีย์บูชา และประตูระบายน้ำ | 1-10 |
| 2.1 การปรับปรุงคลองเจดีย์บูชา | 1-10 |
| 2.2 ประตูระบายน้ำ | 1-11 |

สารบัญรูป

| รูปที่ | | หน้า |
|--------|---|------|
| 1-1 | แสดงบริเวณที่มีปัญหาการระบายน้ำ | 1-2 |
| 1-2 | อัตราฝนตก-คาบเวลา-คาบความถี่ของฝนของกรุงเทพมหานคร | 1-4 |
| 1-3 | ช่วงเวลาของน้ำไหลบนผิวดิน | 1-7 |

สารบัญตาราง

| ตารางที่ | | หน้า |
|----------|---------------------------|------|
| 1 | สัมประสิทธิ์ของน้ำท่า (C) | 1-5 |
| 2 | การสูญเสียเสด | 1-8 |

1. ระบบท่อระบายน้ำฝน

1.1 ระบบท่อระบายน้ำฝน

ระบบท่อระบายน้ำในเขตเทศบาลนครปฐมปัจจุบัน จะระบายน้ำลงคลองเจดีย์บูชาเป็นส่วนใหญ่ ยกเว้นท่อระบายน้ำบริเวณถนนเทศา ซึ่งจะระบายน้ำไปลงคลองท้ายจรเข้การระบายน้ำตามแนวถนนสำคัญหลายสายมีปัญหาน้ำท่วมขัง ได้แก่บริเวณถนนราชวิถีตรงแยกสระบัวและสามแยกถนนราชวิถีกับถนนหลังพระ บริเวณถนน 25 มกราคมตรงแยกหน้าสมาคมพ่อค้าและบริเวณที่ลุ่มทางด้านใต้ถนนเทศา (ดูรูปที่ 1-1) สาเหตุของน้ำท่วมขังที่ลุ่มเหล่านี้ เป็นเพราะท่อระบายน้ำที่มีอยู่เดิมมีขนาดเล็กไม่สามารถระบายน้ำได้ทัน

ได้พิจารณาแก้ปัญหาที่น้ำท่วมขังในบริเวณดังกล่าว โดยการวางท่อระบายน้ำใหม่ให้มีขนาดที่เพียงพอสำหรับการระบายน้ำในช่วงที่มีฝนตก การวางท่อระบายน้ำใหม่จะวางขนานกับท่อระบายน้ำเดิม และมีบ่อพักเพื่อรับน้ำส่วนใหญ่จากท่อระบายน้ำเดิมเป็นระยะ ๆ ท่อระบายน้ำใหม่ได้ออกแบบให้วางอยู่ใต้ผิวจราจร ทั้งนี้เนื่องจากการก่อสร้างสามารถทำได้สะดวกกว่าบริเวณทางเท้า ซึ่งมีระบบท่อระบายของเทศบาล ต้นไม้และเสาไฟฟ้าแรงสูงกีดขวางอยู่

การกำหนดระยะห่างของบ่อพัก (Manhole) ได้คำนึงถึงความสะดวกในการทำความสะอาดระบบท่อด้วยกำลังคน ดังนั้นจึงออกแบบให้บ่อพักน้ำมีระยะห่างดังนี้

| <u>ขนาดเส้นผ่านศูนย์กลางของท่อ</u> (ม.) | <u>ระยะห่างของบ่อพัก</u> (ม.) |
|--|----------------------------------|
| 0.40-0.80 | ๒0 |
| ≥1.00 | ๓0 |

1.2 การคำนวณปริมาณน้ำหลาก

1.2.1 ขั้นตอนวิธีการคำนวณ


ในแต่ละพื้นที่ได้ทำการสำรวจโดยละเอียดเพื่อคำนวณหาพื้นที่รับน้ำ (Catchment - Area) และเลือกวิธีการปรับปรุง ขอบเขตของพื้นที่รับน้ำย่อย (Sub-Catchment Area) จะถูกกำหนดลงบนแผนที่ของสำนักนโยบายและแผนมหาดไทย พร้อมด้วยทิศทางการไหลของน้ำผิวดิน และลักษณะต่าง ๆ ซึ่งมีผลกระทบต่อการออกแบบ

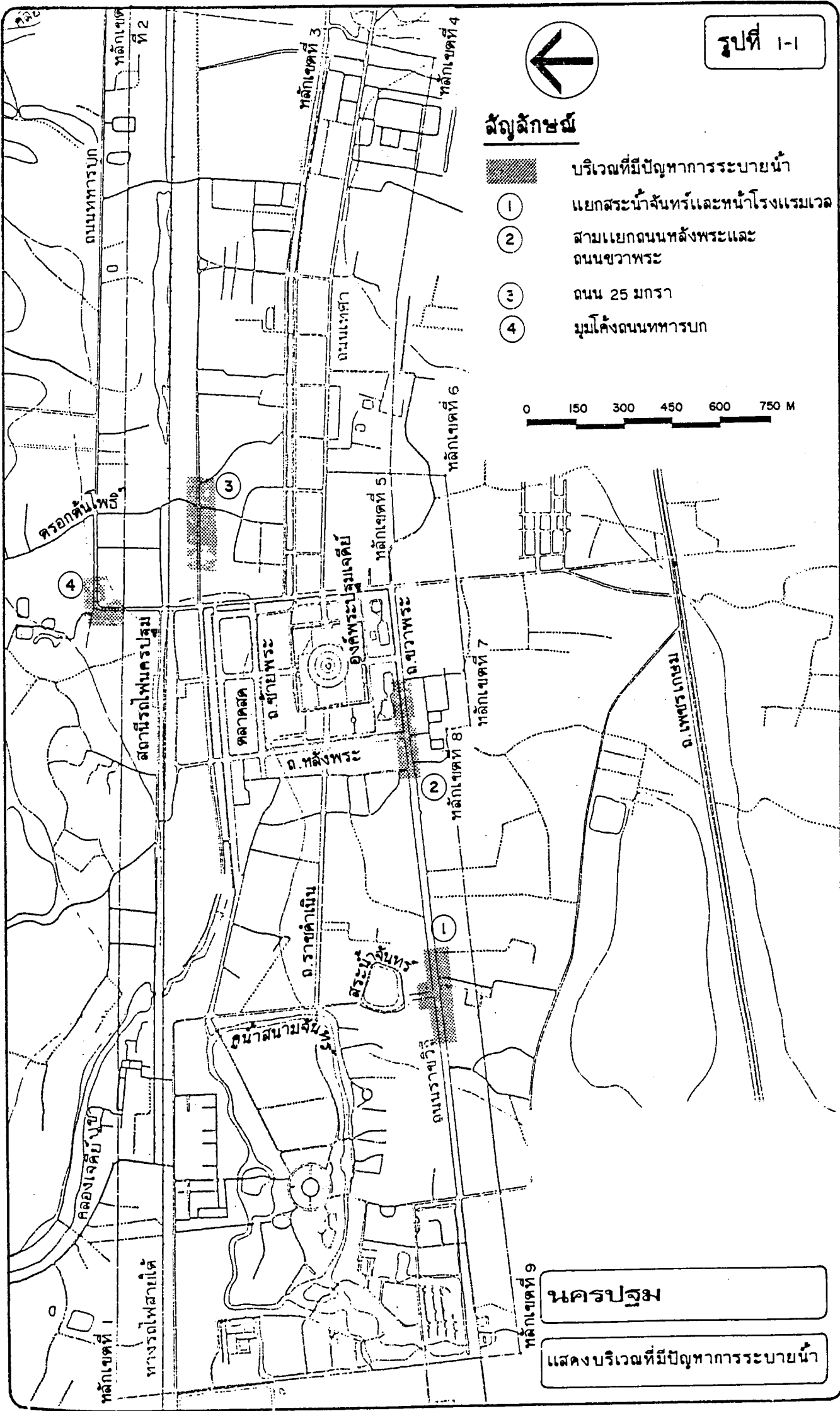
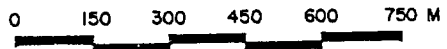
1.2.2 วิธีการคำนวณ

Rational Formula ถูกใช้เป็นสูตรในการคำนวณหาปริมาณน้ำในทุก ๆ ขนาดและชนิดของ



สัญลักษณ์

-  บริเวณที่มีปัญหาการระบายน้ำ
- ① แยกสะพานจันทร์และหน้าโรงแรมเวล
- ② สี่แยกถนนหลังพระและถนนขวาพระ
- ③ ถนน 25 มกรา
- ④ มุมโค้งถนนทหารบก



นครพนม

แสดงบริเวณที่มีปัญหาการระบายน้ำ

พื้นที่รับน้ำในโครงการ เพราะสูตรดังกล่าวเป็นที่ยอมรับเพื่อใช้ในการออกแบบอย่างแพร่หลายในประเทศไทย

การหาปริมาณน้ำฝนโดยวิธี Rational เกี่ยวข้องกับการไหลของน้ำสูงสุด (peak runoff) ความเข้มเฉลี่ยของฝน (Rainfall Intensity, I) และค่าสัมประสิทธิ์การไหลของน้ำ (Coefficient of Runoff, C) โดยใช้สถิติข้อมูลน้ำฝนของกรุงเทพมหานครรูปที่ 1-2 ในการออกแบบ ทั้งนี้ เพราะในเขตเทศบาลเมืองนครปฐม และบริเวณใกล้เคียงมีข้อมูลไม่เพียงพอที่จะนำมาสร้างกราฟน้ำฝน เพื่อใช้ในการออกแบบ การออกแบบท่อระบายน้ำใช้ฝนที่มีคาบความถี่ 2 ปี

1.2.3 Rational Formula

$$Q = 0.00278CIA$$

ซึ่ง Q = ปริมาณน้ำสูงสุด (ลูกบาศก์เมตร/วินาที)

C = สัมประสิทธิ์ของการไหลของน้ำ

I = ความเข้มของฝน (มิลลิเมตร/ชั่วโมง)

A = พื้นที่รับน้ำ (เฮกแตร์)

1.2.3.1 พื้นที่รับน้ำ (Catchment Areas)

การแบ่งพื้นที่รับน้ำได้ใช้แผนที่ซึ่งมีเส้นแสดงความสูงต่ำ (Contour) และการสำรวจภาคสนาม การสำรวจภาคสนามคือการชี้ให้เห็นถึงองค์ประกอบที่มีผลกระทบต่อ การไหลของน้ำ เช่น รั้ว การยกพื้นถนน ท่อระบายน้ำและอื่น ๆ และยังช่วยในการพิจารณาการไหลของน้ำในที่ซึ่งไม่สามารถจะชี้จากแผนที่ได้

1.2.3.2 สัมประสิทธิ์การไหลของน้ำ (Coefficient of Runoff)

สัมประสิทธิ์การไหลของน้ำสำหรับพื้นที่รับน้ำย่อยในแต่ละแห่ง เลือกได้จาก ตารางที่ 1 ซึ่ง การเลือกใช้ค่าต่าง ๆ จากตารางนั้น ได้กระทำโดยการสำรวจภาคสนามและการคาดการณ์การพัฒนาพื้นที่ในอนาคตจากแผนที่ผังเมืองรวมของสำนักผังเมือง

1.2.3.3 ช่วงเวลาที่น้ำสูงสุด

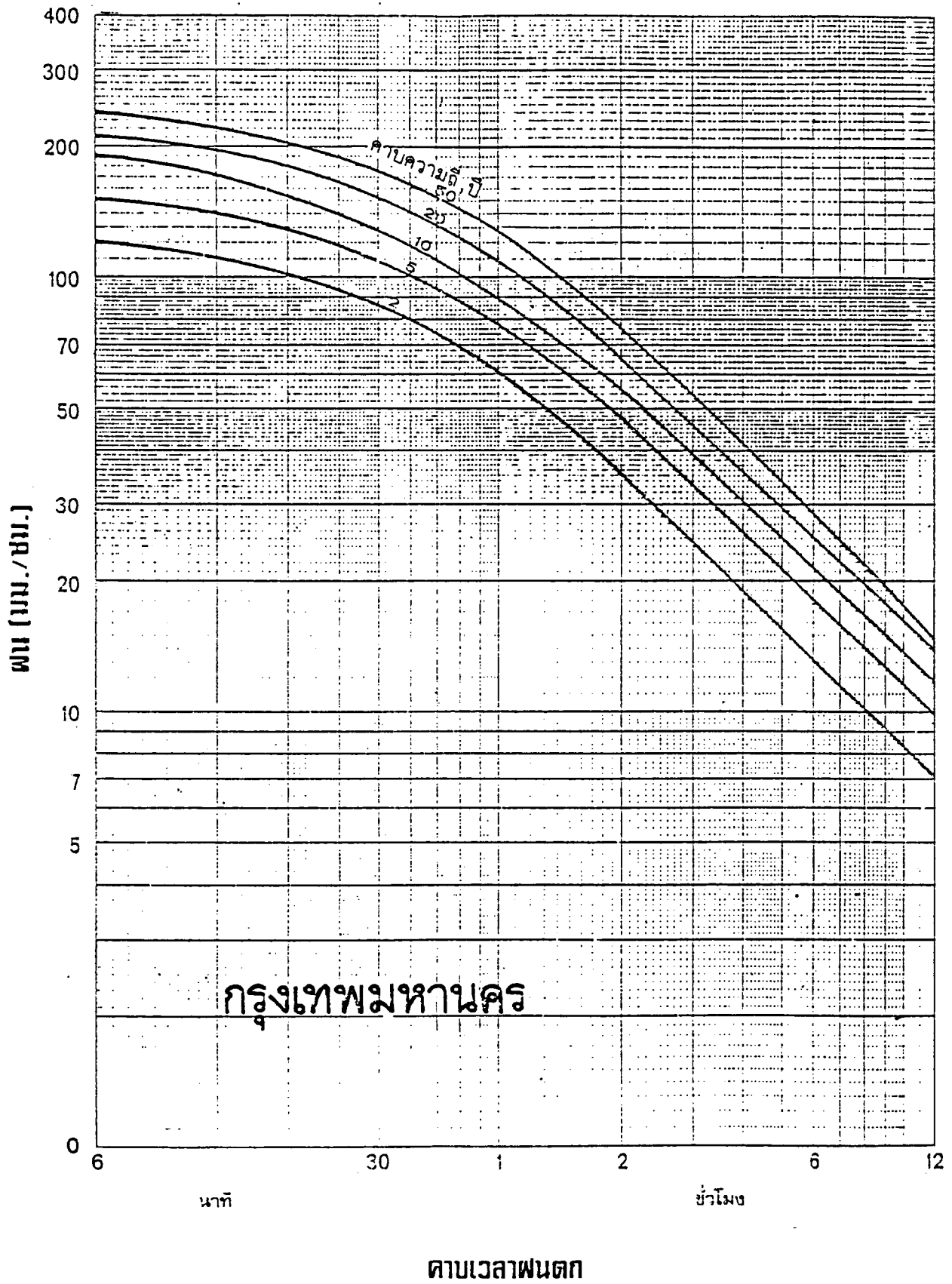
ช่วงเวลาที่น้ำสูงสุดสำหรับการออกแบบขนาดของท่อหรือร่องระบายน้ำจะหาได้จาก

$$T_c = t_o + t_d$$

โดย T_c = ช่วงเวลาที่น้ำสูงสุด (ชม.)

t_o = ระยะเวลาการไหลบนผิวดิน (ชม.)

t_d = ระยะเวลาการไหลในท่อหรือร่องน้ำ (ชม.)



โครงการออกแบบรายละเอียดระบบระบายน้ำเสีย
และระบบบำบัดน้ำเสียเมืองนครปฐม

อัตราฝนตก-คาบเวลา-ค่าความถี่ของฝน
ของกรุงเทพมหานคร

ตารางที่ 1
สัมประสิทธิ์ของน้ำท่า (C)

| ลักษณะของพื้นที่ | C |
|---|-------------|
| ย่านศูนย์กลางธุรกิจโดยทั่วไปจะประกอบด้วยสิ่งก่อสร้าง ถนนปูผิว และทางเท้า คันหิน (Kerb) รางน้ำ (Gutter) และระบบการระบายน้ำ | 0.50 - 0.75 |
| <u>ย่านที่พักอาศัย</u> | |
| - ความหนาแน่นสูง; คล้ายคลึงกับย่านศูนย์กลางธุรกิจแต่มีบริเวณผิวจราจรน้อย ส่วนใหญ่จะเป็นอาคารพาณิชย์ | 0.55 - 0.60 |
| - ความหนาแน่นปานกลาง; ระยะห่างระหว่างบ้านจะมีน้อยและส่วนใหญ่จะเป็นสนามหญ้า ความปกติกถนนจะไม่มีคันหินและรางน้ำ | 0.50 - 0.55 |
| - ความหนาแน่นต่ำ; มักจะเป็นที่พักอาศัยของผู้มีฐานะดี มักจะประกอบด้วยสนามหญ้าที่กว้างใหญ่ ถนนปกติไม่มีคันหินและรางน้ำ | 0.30 - 0.45 |
| ผิวจราจร; พื้นที่น้อยและปูผิวโดยตลอด | 0.95 |
| สวนสาธารณะหรือบริเวณที่ปลูกหญ้าอาจจะมีต้นไม้หรือไม่ก็ได้ | 0.10 - 0.25 |
| บริเวณสถานที่ราชการ; มีพื้นที่ปลูกหญ้ากว้างใหญ่ระยะห่างอาคารมาก และถนนปูผิว | 0.40 - 0.45 |
| สวนไม้ยืนต้นและไร่ | 0.20 - 0.30 |
| ที่นาแบ่งพื้นที่เป็นแปลงเล็ก ๆ | 0.10 - 0.20 |

หมายเหตุ: (1) ค่าเลือกใช้ขึ้นอยู่กับความหนาแน่นของการพัฒนาของพื้นที่ สภาพของการปูผิวและชนิดดิน

(2) สำหรับย่านธุรกิจส่วนกลาง จะมีค่า C มากกว่า 0.65 ในพื้นที่รับน้ำย่อยเล็ก ๆ ในย่านที่มีการพัฒนาสูงเท่านั้น โดยทั่วไปย่านธุรกิจส่วนกลางจะมีค่าเป็น 0.65

ระยะเวลาการไหลภายในท่อระบายน้ำคำนวณได้จากความยาวของท่อระบายน้ำและจากการประมาณอัตราการความเร็วของน้ำสำหรับความชันของท่อนั้น

ระยะเวลาของน้ำไหลบนผิวดินจะคำนวณได้จากรูปที่ 1-3

1.3 การคำนวณทางชลศาสตร์

1.3.1 Manning's Equation

ในการคำนวณทางชลศาสตร์ที่ใช้ในการออกแบบท่อระบายน้ำใช้สมการของแมนนิ่ง (Manning's Equation)

$$Q = \frac{1}{n} AR^{2/3} S^{1/2}$$

โดยที่

Q = อัตราการไหล (ลบ.ม./ว)
A = พื้นที่หน้าตัดของการไหล (ตร.ม)
R = รัศมีทางชลศาสตร์ของหน้าตัดของการไหล (ม)
S = ความลาดชันของเส้นลาดพลังงาน (ม/ม)
n = สัมประสิทธิ์ของแมนนิ่ง

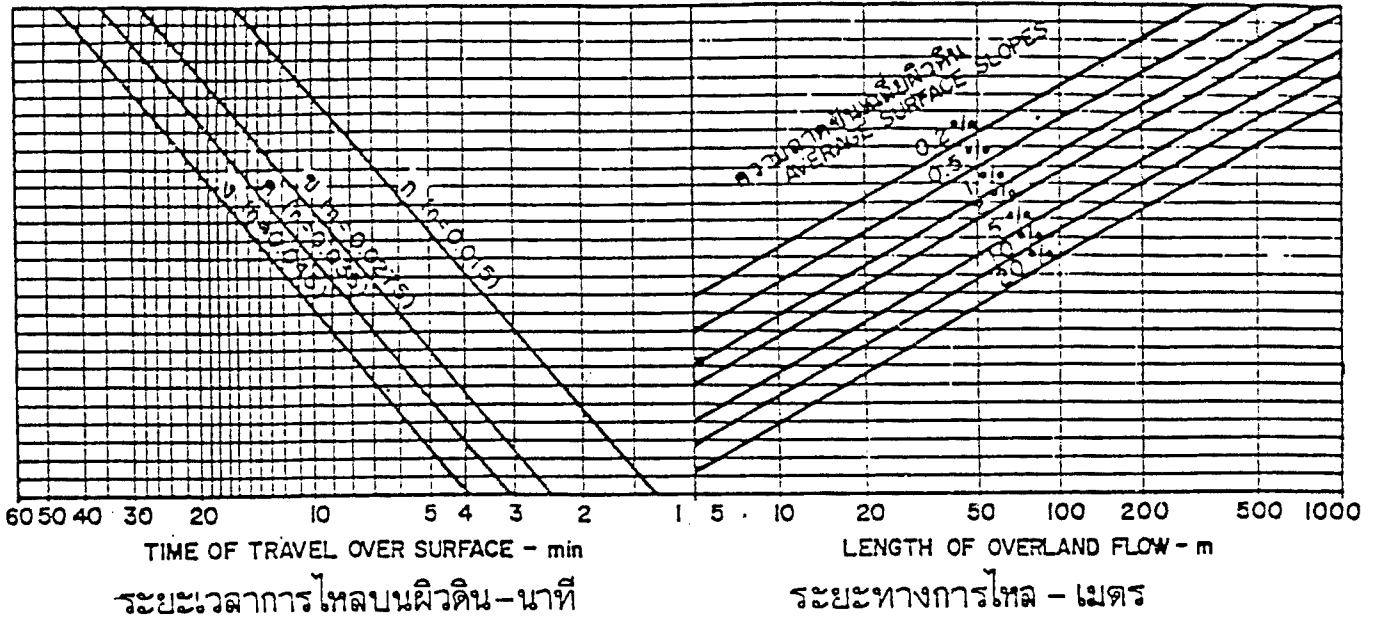
ค่าสัมประสิทธิ์แมนนิ่ง (n) ใช้ 0.015 สำหรับพื้นผิวที่เป็นคอนกรีตโดยตั้งสมมติฐานว่าเป็นทางระบายน้ำตรง (มีมุมเบี่ยงเบนไม่เกิน 5 องศา) และรวมค่าความสูญเสียเล็กน้อย (Minor Loss) ต่าง ๆ ไว้แล้ว เช่น ที่รอยต่อระหว่างท่อรอยต่อระหว่างท่อกับบ่อพัก เป็นต้น สำหรับคลองดินระบายน้ำ ใช้ ค่า n=0.025

ค่าความลาดชันของเส้นลาดพลังงาน (S) ที่ใช้ในสมการนี้ ไม่ใช่ความลาดชันของทางระบายน้ำ แต่โดยทั่วไปใช้ค่าเดียวกับความลาดชันของทางระบายน้ำถ้าการไหลเป็นแบบเป็นระเบียบ

ความเร็วต่ำสุดของน้ำในท่อระบายน้ำที่ใช้ในการออกแบบทั่วไปใช้ความเร็ว 0.60 ม./ว เมื่อน้ำไหลเต็มท่อ แต่เนื่องจากพื้นที่ของโครงการเป็นที่ราบ ดังนั้นจึงมีท่อบางเส้นที่ต้องใช้ความเร็วต่ำสุดน้อยกว่า 0.60 ม./ว แต่ไม่ต่ำกว่า 0.45 ม./ว

1.3.2. ความสูญเสียเฮด (Head Losses)

การสูญเสียเฮด สำหรับโครงสร้างชนิดต่าง ๆ ถูกจัดไว้ในตารางที่ 2



ช่วงเวลาของน้ำไหลบนผิวดิน
(TIME OF OVERLAND FLOW MONOGRAPH)

- ก. บริเวณพื้นผิวปูลาด (PAVED AREA) พื้นที่รับน้ำย่อยขนาดเล็กที่มีอาคารหนาแน่น
- ข. บริเวณผิวดินว่างเปล่า
- ค. บริเวณที่อยู่อาศัย ที่ทำการค้าที่มีความหนาแน่นระดับกลาง
- ง. สนามหญ้า

หมายเหตุ คัดลอกจากหนังสือ AVSTRALIAN RAINFALL AND RUNOFF

ตารางที่ 2
การสูญเสียเฮด

| | |
|---|--|
| บ่อพักน้ำ | |
| $\theta < 5^\circ$ | $K = 0$ |
| $5^\circ < \theta < 15^\circ$ | $K = 0.1$ |
| $15^\circ < \theta < 30^\circ$ | $k = 0.15$ |
| $30^\circ < \theta$ | $k = 1.5$ |
| จุดเชื่อมต่อทางระบายน้ำ (Junction Pit) | $K = 2.0 \times \frac{DB}{DM}$ |
| ซึ่ง θ | = มุมเข้าเชื่อมต่อของท่อระบายน้ำกับผนังบ่อพักน้ำ |
| DB | = เส้นผ่านศูนย์กลางของท่อเชื่อม |
| DM | = เส้นผ่านศูนย์กลางท่อระบายน้ำหลักก่อนถึงจุดเชื่อม |
| ปากทางระบายน้ำ และทางเข้าทางระบายน้ำ | $HL = \frac{(VU^2 - VD^2)}{2g}$ |
| (โดยใช้ความเร็วเป็นนัยสำคัญในการพิจารณา) | |
| ซึ่ง VU | = ความเร็วต้นน้ำ (upstream velocity) |
| VD | = ความเร็วท้ายน้ำ (downstream velocity) |
| ทางเข้าทางระบายน้ำ | |
| (โดยไม่ใช้ความเร็วเป็นนัยสำคัญในการพิจารณา) | |
| ขอบเป็นรูปเหลี่ยม (Square edge) | $k = 0.5$ |

$$HL = \frac{kv^2}{2g}$$

- ซึ่ง HL = ความสูญเสียเฮด (ม.)
 k = ค่าสัมประสิทธิ์ความสูญเสีย (loss coefficient)
 V = ความเร็วของการไหลในท่อ, เมตรต่อวินาที

1.3.3 การต่อเชื่อมเพื่อระบายน้ำล้น (Overflow Connection)

การต่อเชื่อมเพื่อระบายน้ำล้น ใช้เพื่อระบายน้ำจากทางระบายน้ำเดิมสู่ทางระบายน้ำหลักสายใหม่ ตำแหน่งโดยทั่วไปได้กำหนดในที่ ๆ เห็นว่ามีปริมาณน้ำไหลเข้าสู่ทางระบายน้ำจำนวนมาก เช่น บริเวณสี่แยก ในบางสถานที่ซึ่งสี่แยกอยู่ห่างกันเกินไปในช่วงระหว่างสี่แยกอาจต้องกำหนดเพิ่มขึ้นด้วย

ท่อระบายน้ำล้นที่ใช้โดยปกติจะมีขนาดเดียวกับท่อระบายน้ำเดิม โดยความจุของท่อระบายน้ำล้นจะคำนวณโดยตั้งสมมติฐานว่า เป็นการไหลเต็มท่อและปากทางระบายน้ำไหลอิสระ (free outlet) ซึ่งจะคำนวณได้จากสูตร

$$HL = \frac{v^2}{2g} + k_e \frac{v^2}{2g}$$

- ซึ่ง HL = เฮดที่ต้องการ (available head)
 V = ความเร็วในท่อน้ำล้น, เมตรต่อวินาที (velocity in the overflow)
 k_e = ค่าสัมประสิทธิ์ความสูญเสียที่ปากท่อ (entrance loss coefficient)
 = 0.2 (ตั้งสมมติฐานว่าขอบเป็นรูปมน)
 g = acceleration due to gravity
 = 9.8 ม./ว²

1.4 ที่ตั้งของทางระบายน้ำ

โดยทั่วไปทางระบายน้ำได้ถูกออกแบบให้วางอยู่ในถนน เพราะไม่ต้องทำหน้าที่รับน้ำจากผิวจราจรหรือน้ำจากอาคารบ้านเรือน ซึ่งทางระบายน้ำตามถนนเดิมได้รับน้ำเหล่านี้อยู่แล้ว ทางระบายน้ำจะรับน้ำจากทางระบายน้ำตามถนนโดยท่อระบายน้ำล้น

สาเหตุที่ไม่ก่อสร้างทางระบายน้ำแทนที่ทางระบายน้ำตามถนนเดิม

- โดยส่วนใหญ่ถนนที่ก่อสร้างทางระบายน้ำตามถนนแล้ว พื้นที่ส่วนที่เหลือในทางเท้าจะมีโครงสร้างของสิ่งสาธารณูปโภคอื่น ๆ ซึ่งจะเกิดความเสียหายและซ่อมแซมด้วยราคาสูงหากมีทางระบายน้ำเดิมและก่อสร้างใหม่
- ในทางระบายน้ำเดิมมีความสามารถระบายน้ำได้ในระดับหนึ่ง ซึ่งจะสูญเสียไปถ้าก่อสร้างทางระบายน้ำใหม่แทนที่

- ในการก่อสร้างในผิวจราจรโดยคงทางระบายน้ำเดิมไว้ จะไม่ประสบปัญหาการต้องต่อเชื่อมกับท่อระบายน้ำจากอาคารบ้านเรือนเดิม และจากทางน้ำเข้าเดิม

1.5 ท่อระบายน้ำเสีย

เนื่องจากระบบระบายน้ำเสียของเทศบาลเมืองนครปฐมในปัจจุบันเป็นระบบร่วมกันของระบบระบายน้ำเสียและระบบระบายน้ำฝน ซึ่งน้ำเหล่านั้นเกือบทั้งหมดจะระบายลงคลองเจดีย์บูชาและทำให้เกิดการเน่าเสีย ดังนั้นจึงต้องทำการออกแบบท่อดักน้ำเสียให้สามารถรับน้ำเสียที่ไหลมาในท่อระบายน้ำรวมได้ทั้งหมดโดยไม่ให้น้ำเสียไหลลงคลอง ในกรณีที่ไม่มีฝนตกการดักน้ำเสียสามารถทำได้โดยการสร้างบ่อพักรับน้ำและระบายน้ำล้นที่ปลายท่อน้ำรวม เพื่อกันไม่ให้ น้ำเสียไหลลงคลอง ในกรณีที่ไม่มีฝนตกปริมาณน้ำในท่อรวมจะสูงกว่าปริมาณน้ำเสียสูงสุดมาก น้ำฝนส่วนที่เกินกว่าปริมาณที่ท่อดักน้ำเสียจะรับไว้ได้จะต้องระบายทิ้งลงคลองระบายน้ำไป

การคำนวณทางชลศาสตร์และการออกแบบสำหรับท่อดักน้ำเสียใช้หลักเกณฑ์ เหมือนกับการออกแบบทางชลศาสตร์สำหรับท่อระบายน้ำ โดยถือว่าการไหลในท่อดักน้ำเสียเป็นการไหลแบบไม่เต็มท่อและใช้สูตรของแมนนิ่งในการคำนวณหาความเร็วของการไหลและขนาดท่อ

การคำนวณปริมาณน้ำเสียที่ต้อง ระบายผ่านท่อดักน้ำเสียได้คำนวณจากปริมาณน้ำเสียเฉลี่ยรายวันซึ่งกำหนดไว้ ดังนี้

| | |
|---|-------------------|
| ปริมาณน้ำเสียเฉลี่ยรายวันของพื้นที่เทศบาล | = 285 ลิตร/คน/วัน |
| ปริมาณน้ำเสียเฉลี่ยรายวันของพื้นที่เทศบาลขยายใหม่ | = 195 ลิตร/คน/วัน |
| ค่าปริมาณน้ำใต้ดินซึมเข้าท่อ | = 20% |
| ตัวคูณสำหรับปริมาณน้ำเสียรายชั่วโมงสูงสุด | = 3 |

การออกแบบท่อดักน้ำเสียสำหรับแผนระยะแรก (เขตเทศบาลปัจจุบัน) ได้คำนึงถึงระบบท่อดักน้ำเสียสำหรับแผนระยะกลางและระยะยาวด้วย โดยได้ออกแบบให้ระบบท่อที่จะก่อสร้างในแผนระยะแรกสามารถรับน้ำเสียจากพื้นที่บริการตามแผนระยะกลางและแผนระยะยาวด้วย

2. การปรับปรุงคลองเจดีย์บูชา และประตูระบายน้ำ

2.1 การปรับปรุงคลองเจดีย์บูชา

เนื่องจากปัญหาการระบายน้ำในถนนสำคัญหลายสายเกิดจากระดับน้ำในคลองเจดีย์บูชาสูงเกินไปควรมีการปรับปรุงคลองเพื่อลดระดับน้ำในคลองลงเพื่อให้สามารถระบายน้ำฝนผ่านผายได้โดยไม่ทำให้เกิดปัญหาน้ำเอ่อย้อยในท่อจนเกิดน้ำท่วม

การคำนวณปริมาณน้ำทำสำหรับงานปรับปรุงคลอง ได้ใช้วิธีที่เสนอไว้ในรายงานการศึกษาความเหมาะสม โดยใช้ฝนที่มีคาบความถี่ 5 ปี ทั้งนี้เพราะคลองเจดีย์บูชาทางด้านท้ายน้ำ ซึ่งอยู่นอกเขตเทศบาลมีขนาดและพื้นที่จำกัดหลังจากทำการปรับปรุงแล้วจะสามารถรับน้ำได้เพียงฝนที่มีคาบความถี่ 5 ปี ถ้าจะทำการขยายคลองจะต้องทำการเวนคืนที่ดินตลอดแนวคลอง

การปรับปรุงคลองเจดีย์บูชาประกอบไปด้วยการ ขุดลอกคลองเจดีย์บูชารวมความยาวประมาณ 3,400 เมตร ปรับทำหินเรียงยาแนวประมาณ 3,135 เมตร และกำแพงกันดินประมาณ 265 เมตร

2.2 ประตูระบายน้ำ

สาเหตุสำคัญประการหนึ่งที่ทำให้เกิดสภาพน้ำท่วมขังในบริเวณถนนสายสำคัญหลายสายสำคัญหลายสายมาจากการที่น้ำเอ่อย้นจากฝานที่ซ่อนเทศบาล 3 และฝายที่สะพานสุวรรณภูมิขึ้นไปทางเหนือน้ำถึงแม้ว่าจะมีการปรับปรุงคลองโดยการขุดลอกก็ไม่สามารถแก้ปัญหาระดับน้ำเอ่อสูงได้ เนื่องจากฝายทั้งสองไม่สามารถปรับปรุงและขยายช่องระบายน้ำให้กว้างขึ้นได้ จึงเสนอให้รื้อถอนฝายทั้งสองออกไปแล้วสร้างประตูระบายน้ำใหม่แทนบริเวณซอยเทศบาล 7 โดยได้ออกแบบให้มีช่องระบายน้ำ ขนาด 3.00x2.10 ม. ซึ่งจะสามารถระบายน้ำได้อย่างมีประสิทธิภาพในช่วงที่ฝนตกหนัก และระดับเก็บกักของน้ำในคลองอยู่ระดับประมาณ +1.50 ซึ่งจะช่วยแก้ปัญหาการระบายน้ำได้มากอีกทั้งยังสามารถรักษาทัศนียภาพตามแนวคลองไว้ และเก็บน้ำไว้ใช้ในการดับเพลิงได้ตามความต้องการของเทศบาลอีกด้วย

3. สถานีสูบน้ำเสีย

3.1 สถานีสูบน้ำเสียที่ 1

3.1.1 ขนาดและที่ตั้ง

สถานีสูบน้ำเสียที่ 1. ถูกกำหนดให้เป็นบริเวณที่จะระบายน้ำภายในชุมชนปัจจุบันทั้งหมดและบางส่วนของพื้นที่ส่วนขยายใหม่ เพื่อสูบส่งน้ำเสียไปยังสถานีสูบน้ำเสียที่ 2 การออกแบบได้หาสถานที่ในบริเวณใกล้เคียงกับที่ได้กำหนดไว้ในรายงานฉบับสุดท้ายโครงการสำรวจศึกษาความเหมาะสมของระบบระบายน้ำและระบบบำบัดน้ำเสียเมืองนครปฐม เดือนพฤษภาคม 2532 สถานีสูบน้ำเสียที่ตั้งอยู่ที่ข้างคลองห้วยจรเข้มะหลังศาลเจ้าบริเวณสะพานเทศา 7 ลักษณะพื้นที่ด้านหน้าตัดตามกว้างประมาณ 7.50 เมตร เข้าไปประมาณ 64 เมตร ด้านในมีหน้ากว้างสุดประมาณ 15.50 เมตร ดังนั้นการจัดงานผังบริเวณของสถานีสูบน้ำเสียจึงถูกบังคับโดยรูปลักษณะของพื้นที่ดินที่มีอยู่ภายในสถานีสูบน้ำเสียประกอบด้วยองค์ประกอบดังกล่าวคือ อาคารวิเคราะห์น้ำเสีย ท่อสูบน้ำเสียและรายละเอียดทั่วไปภายในบริเวณ

3.1.2 อาคารวิเคราะห์น้ำเสีย

อาคารวิเคราะห์น้ำเสียมีลักษณะเป็นอาคารชั้นเดียว มีพื้นที่ใช้สอยรวมทั้งสิ้น 75 ตารางเมตร ซึ่งประกอบด้วยพื้นที่เพื่อการใช้สอยดังนี้

- (1) ห้องวิเคราะห์น้ำเสียใช้ตั้งอุปกรณ์วิทยาศาสตร์ เพื่อใช้ในการวิเคราะห์ลักษณะสมบัติพื้นฐานของน้ำเสียที่จำเป็นต่อการดูแลควบคุมระบบบำบัดน้ำเสียของเมือง
- (2) ห้องควบคุมสำหรับวางตู้วงจรควบคุมการทำงานของเครื่องสูบน้ำทั้งหมด ซึ่งระบบไฟฟ้าภายในสถานีจะถูกรวบรวมเข้ามาเพื่อควบคุมในห้องนี้
- (3) ห้องน้ำภายในอาคาร กำหนดให้ห้องส้วม 2 ห้อง ห้องอาบน้ำหนึ่งห้อง และอ่างล้างมือ 2 อ่าง ซึ่งจะเพียงพอต่อการใช้งานของบุคลากรภายในสถานีสูบน้ำเสียที่ 1 ซึ่งคาดว่าจะมีไม่เกิน 10 คน
- (4) ห้องสำนักงาน ใช้สำหรับเป็นพื้นที่ในการปฏิบัติงานบริหารทั่วไปของงานวิเคราะห์น้ำเสีย
- (5) ห้องเก็บวัสดุและสารเคมีสำหรับใช้กับห้องปฏิบัติการ

3.1.3 บ่อสูบน้ำเสียที่ 1

3.1.3.1 ขนาดของบ่อสูบ

การออกแบบบ่อสูบน้ำเสียที่ 1 ได้พิจารณาประเด็นที่เกี่ยวข้องกับการออกแบบคือ

(1) ลักษณะและขีดความสามารถของเครื่องสูบน้ำที่ใช้ ซึ่งได้มีการเลือกชนิดเครื่องสูบน้ำเป็นแบบจุ่มอยู่ในน้ำ (Submersible Pump) จำนวน 3 เครื่อง และมีสำรอง 1 เครื่อง และต้องสูบน้ำได้ไม่น้อยกว่า 67,500 ม³/วัน

(2) การทำงานของเครื่องสูบน้ำ ได้กำหนดให้ทำงานทั้ง 4 เครื่องสลับกันไปโดยตลอดแต่ละเครื่องจะทำงานไม่เกิน 10 ครั้งต่อชั่วโมง และทำงานพร้อมกันเมื่อระดับน้ำขึ้นสูงเพิ่มขึ้น และหยุดพร้อมกันเมื่อระดับน้ำในบ่อสูบลดลงสู่ระดับที่กำหนด ดังแสดงในรูป 3-1

(3) การจัดวางเครื่องสูบน้ำภายในบ่อ

(4) ระดับกันท่อที่เข้ามาในบ่อสูบซึ่งมีค่า +1.239

จากประเด็นที่ (1) และ (2) คำนวณขนาดของปริมาตรบ่อสูบที่ต้องใช้เก็บกักน้ำเสียซึ่งหาปริมาตรได้จาก รูปที่ 3-2 และเมื่อพิจารณาประเด็นต่าง ๆ ทั้งหมดรูปลักษณะของบ่อสูบที่เหมาะสมคือบ่อสี่เหลี่ยมผืนผ้าขนาด 3x7.5 ม ลึก 7.00 เมตร โดยมีบ่อสำหรับติดตั้งประตูน้ำอยู่ด้านข้างและช่องสำหรับท่อเข้าและตะแกรงดักขยะ

3.1.3.2 ตะแกรงดักขยะ

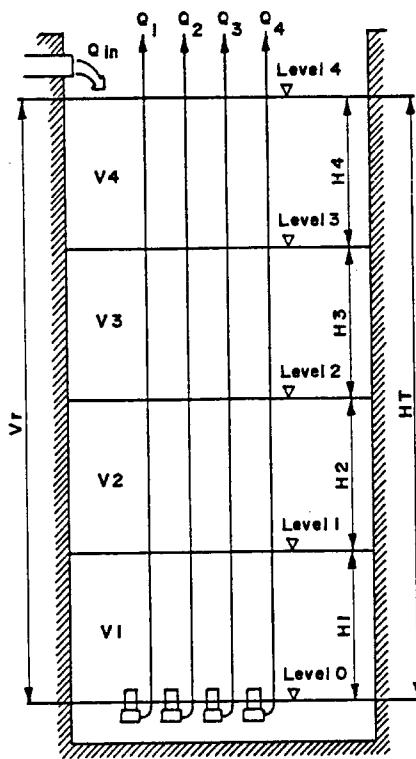
ตะแกรงดักขยะมีความสำคัญต่อสถานีสูบน้ำเสียอย่างยิ่ง เนื่องจากขยะที่หลุดผ่านเข้าไปในเครื่องสูบน้ำจะก่อให้เกิดการอุดตัน และทำให้เครื่องสูบน้ำเสียหายได้

การหาขนาดของตะแกรง มีสมการที่เกี่ยวข้องดังนี้

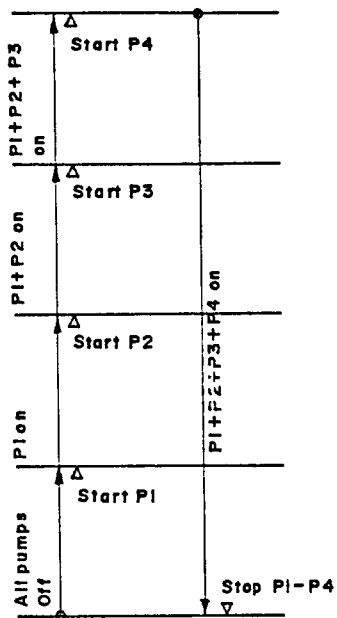
$$h = \beta \left(\frac{w'}{b} \right)^{4/3} \frac{v^2}{2g} \sin \theta \quad (1)$$

$$h = \frac{1}{0.7} \left(\frac{v^2 - v'^2}{2g} \right) \quad (2)$$

$$WD \left(\frac{b}{w'+b} \right) = \frac{Q}{\gamma} \quad (3)$$



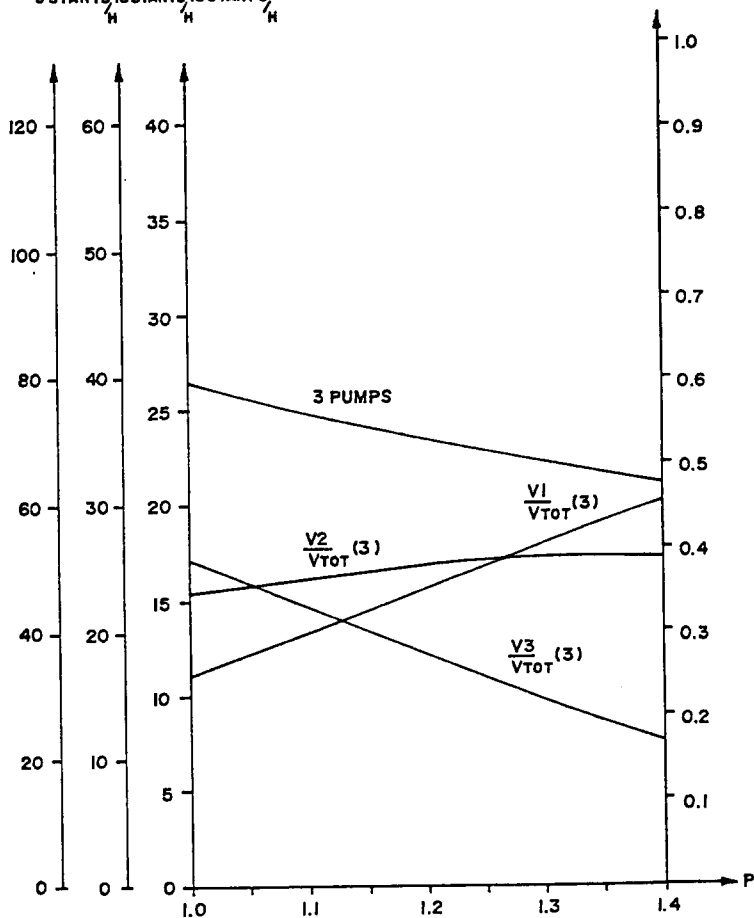
Operating sequence II



รูปที่ 3-1

$\frac{V_{TOT}}{OP}$ $\frac{V_{TOT}}{OP}$ $\frac{V_{TOT}}{OP}$
 $(\frac{L}{L/S})$ $(\frac{L}{L/S})$ $(\frac{L}{L/S})$
 T= 720S T=360S T=240S
 5 STARTS 10 STARTS 15 STARTS
 H H H

$\frac{V1}{VTOT}$ $\frac{V2}{VTOT}$
 $\frac{V3}{VTOT}$ $\frac{V4}{VTOT}$



Minimum sump volumes for 3-pumps. Sequence II, alternation.

รูปที่ 3-2

| | | | |
|-----|----------|---|---|
| โดย | h | = | head loss through rack |
| | β | = | ค่าคงที่ของ Kirschmer สำหรับตะแกรงที่มีขอบเหลี่ยม = 2.42 |
| | w' | = | ความหนาของตะแกรง |
| | b | = | ช่องว่างระหว่างตะแกรง |
| | v | = | ความเร็วของน้ำเสียที่เข้าหาตะแกรง |
| | θ | = | มุมเอียงของตะแกรงที่กระทำต่อแนวระดับ = 60° |
| | v' | = | ความเร็วของน้ำผ่านตะแกรง |
| | w | = | ความกว้างของตะแกรง |
| | D | = | ความลึกของน้ำหน้าตะแกรง |
| | Q | = | ปริมาณน้ำเสียผ่านตะแกรง |

ในการพิจารณาความลึกของน้ำที่ต้องการหน้าตะแกรง ซึ่งใช้คำนวณในสมการที่เกี่ยวข้อง จะไม่คิดรวมความลึกสำหรับเป็นที่รวบรวมขยะ ดังนั้นค่า D ซึ่งใช้งานจริงจะรวมความลึกสำหรับคักขยะไว้ด้วยประมาณ 0.03 เมตร

รายละเอียดของตะแกรงโดยทั่วไป นอกจากจะใช้สมการดังกล่าวแล้ว ยังได้พิจารณาถึงความสะดวกในการทำความสะอาด การซ่อมแซม การผูกเรือน ขนาดของท่อคักน้ำเสีย ตลอดจนปริมาณขยะที่มีโอกาสติดค้างบนตะแกรง โดยจัดแบ่งตะแกรงออกเป็นตะแกรงย่อย ๆ 3 ชั้น เพื่อสะดวกต่อการบำรุงรักษา ตัวตะแกรงทำด้วยเหล็กแผ่นหนา 12 มม. วางเรียงห่างกัน 50 มม. ทาเคลือบด้วยวัสดุป้องกันการกัดกร่อนของน้ำเสีย เช่น Coal tar epoxy 2 ชั้น

ตำแหน่งการจัดวางตะแกรงคักขยะ สำหรับสถานีสูบน้ำเสียที่ 1 พิจารณาจัดวางไว้ภายนอกบ่อสูบน้ำเสีย เพื่อรับท่อคักน้ำเสียที่มาจากถนนเทศบาล 7 และหลบหลีกอาคารควบคุม

3.1.3.3 โครงสร้างยกเครื่องสูบน้ำ

โครงสร้างยกเครื่องสูบน้ำมีความจำเป็นต่อเครื่องสูบน้ำอย่างยิ่ง เนื่องจากเครื่องสูบน้ำแต่ละชุดมีขนาดใหญ่ และมีน้ำหนักประมาณ 1 ตัน การซ่อมแซมเมื่อเกิดความขัดข้องในเครื่องสูบน้ำ ตลอดจนการบำรุงรักษาในบางกรณี จำเป็นต้องยกเครื่องสูบน้ำไปดำเนินการในสถานที่ที่สะดวกต่อการทำงานของผู้เจ้าหน้าที่

โครงสร้างยกเครื่องสูบน้ำ ประกอบด้วยโครงสร้างเหล็กและลูกรอกซึ่งสามารถยกน้ำหนักเครื่องสูบน้ำแต่ละเครื่อง และเลื่อนไปมาบนคานเหล็กได้โดยระบบล้อเลื่อน ซึ่งประกอบเข้าชุดกับลูกรอก

3.1.3.4 ราวรอบบ่อสูบน้ำเสีย

ราวรอบบ่อสูบน้ำเสีย จัดเตรียมขึ้นเพื่อป้องกันอันตรายจากการพลัดตกลงไปในบ่อสูบน้ำเสีย โดยใช้ท่อเหล็กอาบสังกะสีเพื่อป้องกันสนิม เชื่อมติดต่อกันเป็นโครงรอบตัวบ่อสูบน้ำ พร้อมประตูปิด-เปิด ส่วนบริเวณซึ่งเป็นช่องว่างแล้ว มิได้จัดเตรียมรางกันตกไว้ เนื่องจากเป็นช่องว่างแล้ว ลึกประมาณ 1 เมตร และเป็นส่วนที่ไม่จำเป็นต้องเข้าถึงเป็นประจำ ประกอบกับช่องว่างนี้ได้ถูกจัดวางติดกำแพงรั้วรอบบริเวณไม่ได้อยู่ในบริเวณที่มีการสัญจรพาดผ่านเป็นประจำ จึงเห็นสมควรไม่จำเป็นต้องมีราวรอบ

3.1.4 รายละเอียดทั่วไปภายในบริเวณ

ภายในบริเวณสถานีสูบน้ำเสีย นอกเหนือจากอาคารต่าง ๆ ดังกล่าวข้างต้นแล้วยังจะต้องมีการก่อสร้าง องค์ประกอบที่จำเป็น เพื่อให้สถานีสูบน้ำเสียมีลักษณะที่ดู เป็นระเบียบสวยงาม และความปลอดภัยของภายในบริเวณ ซึ่งจะต้องก่อสร้างคอนกรีตบล็อก 2 ข้างตลอดแนว แยกตามความลึกของพื้นที่บริเวณริมคลองห้วยจรเข้มและตามข้างทางจากคลอง 2 เมตร ก่อสร้างรั้วตาข่ายเพื่อให้สามารถมองเห็นภาพของคลองห้วยจรเข้มได้ พื้นที่ซึ่งเป็นทางเดินหรือรถสามารถขับเคลื่อนเข้าไปภายในสถานีสูบน้ำจะใช้อิฐตัวหนอนปูโดยตลอดบริเวณที่มีต้องใช้สอยประจำจะปรับปรุงให้เป็นสนามด้วยการปลูกหญ้า ภายในบริเวณนอกอาคารจะมีแสงสว่างเหมือนโดยทั่วไป เพื่อให้เกิดความปลอดภัยต่อบริเวณ ด้านหน้าประตูทางเข้าออกแบบให้ เป็นประตูบานเลื่อน เพื่อให้เกิดความสะดวกให้การเปิดใช้งานและไม่เปลืองพื้นที่ ซึ่งมีจำกัดทางด้านหน้าสถานี

3.1.5 ระบบไฟฟ้า

(1) ระบบควบคุมการทำงานของเครื่องสูบน้ำ

เนื่องจากระดับน้ำไม่คงที่ และระบบจะต้องทำงานอยู่เกือบตลอดเวลาการควบคุมมอเตอร์ปั๊ม จึงต้องทำงานได้ทั้งแบบมีคนควบคุม (manual) และแบบอัตโนมัติไม่จำเป็นต้องมีคนควบคุม

- แบบใช้คนควบคุม (manual) ออกแบบให้มีสวิทช์ควบคุม เดินเครื่อง และหยุดเครื่อง มีสัญญาณแสดงสถานะการทำงานของแต่ละเครื่อง ซึ่งแยกเป็นอิสระต่อกันทุกเครื่อง

- แบบไม่มีคนควบคุม (auto) ออกแบบให้เครื่องทำงานโดยอัตโนมัติ โดยให้ถูกกลอยเป็นตัว start-stop เครื่องและลำดับการทำงานเป็น sequence มีสัญญาณแสดงสถานะการทำงานของแต่ละเครื่อง

- การป้องกันระบบ ในการทำงานของมอเตอร์ปั๊ม ซึ่งเป็นแบบ submersible motor จะต้องมีน้ำหล่อเย็นอยู่ตลอดเวลา ระดับน้ำจะต้องไม่ต่ำกว่ามอเตอร์ ดังนั้นในทุก ๆ

กรณีมอเตอร์ปั๊มจะไม่สามารถทำงานได้ หากระดับน้ำต่ำกว่าระดับที่กำหนดไว้ และจัดให้มีสัญญาณแสดงสภาวะการโอเวอร์โหลดของมอเตอร์แต่ละตัวไว้ด้วย

- จัดให้มีสัญญาณแจ้งทั้งแสงและเสียงในกรณีที่เกิด over flow ปริมาณน้ำมากจนเกินระดับสูงสุดที่กำหนดไว้ เพื่อให้เจ้าหน้าที่จัดการแก้ปัญหาที่เกิดขึ้น

(2) ระบบไฟฟ้ากำลัง

การติดตั้งบักเสาพาดสายแรงสูง และการติดตั้งหม้อแปลงและมิเตอร์วัดไฟ จะต้องเป็นไปตามมาตรฐานของการไฟฟ้าภูมิภาค

3.2 สถานีสูบน้ำเสียที่ 2

3.2.1 ขนาดและที่ตั้ง

สถานีสูบน้ำเสียที่ 2 จะเป็นจุดรวบรวมน้ำเสียจากเทศบาลทั้งหมด ซึ่งรวมพื้นที่เทศบาลที่จะขยายใหม่ด้วย เพื่อสูบส่งเข้าไปยังบ่อบำบัดน้ำเสีย ตำแหน่งของสถานีสูบน้ำจะอยู่ในบริเวณใต้มีการพิจารณาคัดเลือกไว้ 3 แห่งคือ (1) ด้านทิศเหนือริมคลองพญาางฝั่งซ้ายของถนนเข้าวัดเกาะวังใน (2) ด้านทิศเหนือริมคลองพญาางฝั่งขวาของถนนเข้าวัดเกาะวังไทร (3) ด้านทิศใต้ริมคลองพญาางถนนเข้าวัดเกาะวังไทร ที่ตั้งบริเวณที่ (1) ทางสภาตำบลมีแผนจะก่อสร้างถนนเรียบคลอง ดังนั้นสถานีสูบน้ำจะกีดขวางทางจราจรซึ่งไม่เหมาะสมในทางเทคนิคที่จะกำหนดตำแหน่งของสถานีสูบน้ำเสียไว้เช่นนั้น ที่ตั้งบริเวณที่ (2) ประชาชนที่อยู่ข้าง ๆ ไม่เห็นด้วยเนื่องจากที่ตั้งสถานีอยู่ชิดเขตบ้าน และที่ตั้งทั้งสองแห่งอยู่ในเขตทางคลองชลประทานซึ่งความกว้างประมาณ 10 เมตร บริเวณที่ 3 ซึ่งอยู่ทางด้านใต้ของริมคลองพญาาง ซึ่งจะอยู่ในเขตทางของคลองชลประทาน ข้างถนนทางเข้าวัดเกาะวังไทรห่างจากถนนเพชรเกษมประมาณ 460 เมตร เนื่องจากมีข้อจำกัดทางด้านพื้นที่ของสถานีสูบน้ำเสียนี้ ซึ่งมีเขตคลองกว้างประมาณไม่เกิน 10 เมตร เช่นกัน ซึ่งไม่เพียงพอจึงมีความจำเป็นต้องขยายความกว้างของพื้นที่เข้าไปในร่องน้ำซึ่งในปัจจุบันมีสภาพตื้นเขินมาก โดยขยายหน้ากว้างของสถานีให้ได้น้อย 12.00 เมตร และทางยาวขยายออกไปตามการใช้สอยที่ต้องการ ซึ่งมีความยาวประมาณ 40 เมตร ดังนั้นการจัดวางผังบริเวณของบ่อสูบจึงมีข้อจำกัดคล้ายกับสถานีสูบน้ำเสียที่ 1 กล่าวคือองค์ประกอบต่าง ๆ จะต้องถูกจัดวางออกไปในทางยาวตามลักษณะของพื้นที่ดิน

ภายในสถานีสูบน้ำเสียจะมีองค์ประกอบได้แก่ อาคารวัดปริมาณน้ำเสโครก อาคารบ่อสูบน้ำเสโครก อาคารควบคุมและบ้านพัก เชื่อมผนังกันดินริมคลองและรายละเอียดทั่วไปภายในบริเวณ

3.2.2 อาคารวัดปริมาณน้ำเสีย

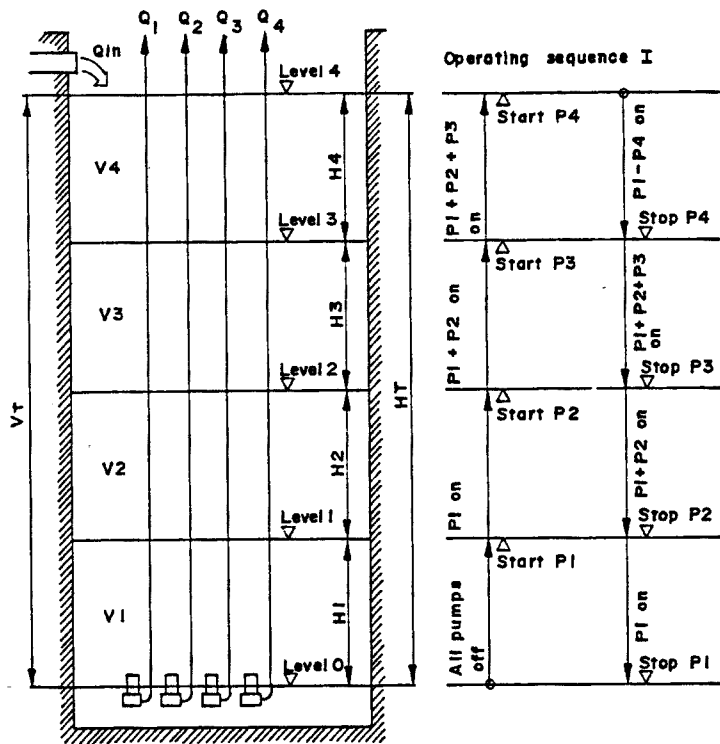
น้ำเสียที่มาตามท่อระบายน้ำก่อนที่จะถูกระบายลงสู่บ่อสูบน้ำน้ำเสีย จะถูกวัดปริมาณ และเก็บบันทึกไว้ เพื่อเก็บไว้เป็นข้อมูลในการดูแลบำรุงรักษาระบบบำบัดน้ำเสีย ตลอดจนใช้เป็น ข้อมูลเพื่อการคาดคะเนการเพิ่มและขยายตัวของระบบบำบัดน้ำเสียในอนาคต ระบบวัดปริมาณน้ำ เสีย ได้พิจารณาเลือกใช้ระบบ Ultrasonic ซึ่งจะวัดความเร็วของน้ำเสียและความลึกของ ระดับน้ำในราง ผลที่ได้จะส่งเข้าระบบควบคุม ซึ่งจะแสดงให้เห็นเป็นค่าตัวเลขของปริมาณน้ำเสีย ที่ไหลผ่าน ณ เวลาต่าง ๆ โดยตลอด ค่าต่าง ๆ เหล่านี้จะถูกบันทึกเก็บไว้โดยเครื่องบันทึก อัตโนมัติ ซึ่งมีแผ่นกระดาษและปากกาบันทึกอยู่ในตัว รางระบายน้ำภายในอาคารออกแบบให้เป็น รางรูปสี่เหลี่ยมผืนผ้าที่หน้าตัดจะแปรตามความลึกของรางเท่านั้น ซึ่งเป็นไปตามคำแนะนำของผู้ผลิต เนื่องจากท่อระบายน้ำเป็นท่อกกลม ดังนั้นระยะความยาวรางตามคำแนะนำของผู้ผลิตกำหนดให้มี ระยะ Transition ทางเข้าและออกของตัวอาคารข้างละ 1 เมตร เพื่อลดความแปรปรวน (eddy current) ในกรณีที่น้ำไหลผ่านพื้นที่หน้าตัดที่เปลี่ยนแปลงและเมื่อน้ำไหลผ่านบริเวณที่ติดตั้ง อุปกรณ์วัดปริมาณน้ำเสียระดับน้ำจะแปรปรวนน้อยที่สุด ซึ่งการแปรปรวนนี้จะก่อให้เกิดความคลาด เคลื่อนของการวัด แต่อยู่ในอัตราที่ต่ำซึ่งยอมรับได้ และเพื่อเป็นการประหยัดค่าก่อสร้างโครงสร้าง คสล. ตัวอาคารจึงกำหนดให้เป็นท่อกสี่เหลี่ยมขนาด 2X2 เมตร ยาว 5.00 เมตร และมี ทางลงคล้ายบ่อพักเพื่อการติดตั้งและตรวจสอบในอนาคต การปรับปรุงเพื่อให้ใช้งานวัดปริมาณ น้ำเสียผู้ผลิตหรือตัวแทนจะเป็นผู้ดำเนินการจนสามารถใช้งานได้

3.2.3 บ่อสูบน้ำเสียที่ 2

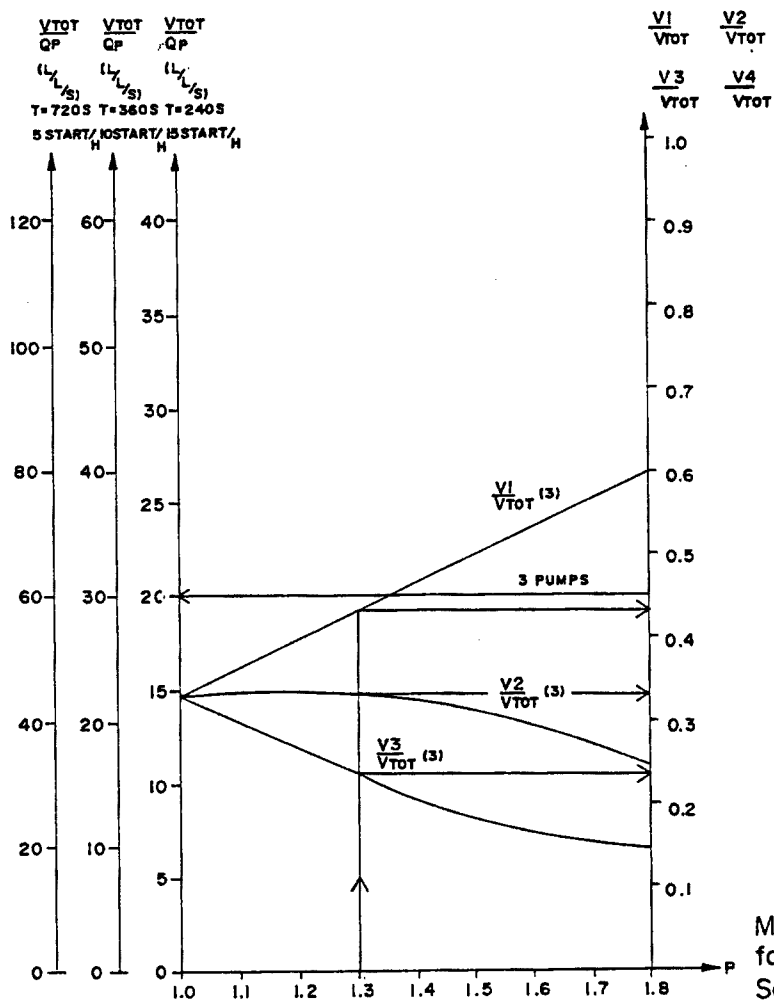
3.2.3.1 ขนาดของบ่อสูบน้ำเสีย

ในการออกแบบบ่อสูบน้ำเสียที่ 2 มีประเด็นที่ต้องพิจารณาเช่นเดียวกับการออกแบบบ่อ สูบน้ำเสียที่ 1 แต่มีความแตกต่างจากในรายละเอียดข้อมูลที่ใช้พิจารณาและลักษณะการทำงานของ เครื่องสูบน้ำ ซึ่งประเด็นที่พิจารณามีดังนี้

- (1) ใช้เครื่องสูบน้ำชนิดจุ่มในน้ำทำงาน 3 เครื่อง และมีสำรอง 1 เครื่อง สามารถสูบน้ำได้ไม่น้อยกว่า 92,000 ม³/วัน
- (2) การทำงานของเครื่องสูบน้ำ ให้เครื่องสูบน้ำทำงานทั้ง 4 เครื่อง สลับกันไป แต่ละรอบ แต่ละเครื่องจะทำงานไม่เกิน 10 ครั้ง/ชั่วโมง และจะทำงานพร้อมกันเมื่อระดับน้ำเพิ่ม สูงขึ้น และหยุดทำงานทีละ 1 เครื่อง เมื่อระดับน้ำลดลงถึงระดับกำหนด ดังแสดงในรูป 3-3
- (3) การจัดวางเครื่องสูบน้ำ
- (4) ระดับกันท่อกที่เข้ามาในบ่อสูบน้ำ มีค่า -2.50 เมตร



รูปที่ 3-3



รูปที่ 3-4

(5) การบำรุงรักษา

จากประเด็นที่ (1) และ (2) คำนวณขนาดของปริมาตรบ่อสูบน้ำสุดท้ายที่ใช้สำหรับเก็บกักน้ำเสียซึ่งหาได้จากรูป 3-4 และเมื่อพิจารณาประเด็นต่าง ๆ ทั้งหมด และรวมช่องตะแกรงดักขยะให้ตั้งอยู่ภายในบ่อ เนื่องจากพื้นที่ช่วงบริเวณสถานีสูบน้ำเสียมีไม่เพียงพอแล้ว จะได้บ่อสูบน้ำที่มีขนาด 4.80x9.00 เมตร x ลึก 8.00 เมตร โดยมีบ่อสำหรับติดตั้งประตูน้ำอยู่ด้านข้าง

3.2.4 อาคารควบคุมและบ้านพักอาศัย

พื้นที่ซึ่งจะใช้สำหรับวางตู้วงจรควบคุมระบบการทำงานของเครื่องสูบน้ำและบ้านพักอาศัยของผู้ดูแลสถานีสูบน้ำฯ ถูกออกแบบให้เป็นอาคารเดียวกันเนื่องจากข้อจำกัดของพื้นที่ภายในบริเวณ ห้องควบคุมระบบมีพื้นที่ใช้สอย 24 ตารางเมตร บ้านพักอาศัยมีพื้นที่ 26.25 ตารางเมตร และมีห้องน้ำ 2 ห้อง สำหรับผู้ปฏิบัติงานภายในสถานีสูบน้ำฯ ห้องหนึ่ง และสำหรับบ้านพักอาศัยหนึ่งห้อง อาคารทั้งหมดออกแบบเป็นอาคาร คสล. มีโครงเหล็กรับหลังคากระเบื้องลอนคู่

3.2.5 เชื้อนกันดินริมคลอง

ถูกออกแบบให้เป็นเชื้อน คสล. มีเสาและแผ่น คสล. กันดินเนื่องจากพื้นที่ภายในบริเวณจำเป็นต้องปรับขยายเข้าไปในเขตคลองพญากองอีก 2.00 เมตร และมีการถมปรับพื้นที่ให้สูงเท่ากับระดับ +3.00 เมตร ซึ่งจะป้องกันริมตลิ่งจะทำได้โดยวิธีการก่อสร้างเชิงลาดริมตลิ่งแล้ว ทิ้งหินใหญ่กันการกัดเซาะแต่เมื่อพิจารณาถึงความลาดของเชิงลาด ซึ่งต้องมีอย่างน้อย 1:1 แล้วพบว่าที่ชันเชิงลาด ถ้าเข้าไปในเขตคลองถึง 5 เมตร ซึ่งจะทำให้เห็นการกัดขวางการไหลของน้ำในคลอง จึงไม่เหมาะสมที่จะใช้วิธีดังกล่าว แม้ว่าราคาก่อสร้างจะถูก จึงพิจารณาให้ใช้เชื้อนกันดิน คสล. แทน ซึ่งแนวเชื้อนจะอยู่ที่แนวบริเวณพื้นที่สถานีสูบน้ำฯ พอดี ไม่เป็นอุปสรรคกีดขวางต่อการไหลของน้ำในคลองพญากอง และการออกแบบเชื้อนใช้ระบบ Cantilever Sheet-piling Wall เนื่องจากมีองค์ประกอบอื่น ๆ ภายในบริเวณที่เป็นอุปสรรคไม่สามารถก่อสร้าง Tierod ได้

3.2.6 รายละเอียดทั่วไปภายในบริเวณ

ภายในบริเวณสถานีสูบน้ำเสียที่ 2 นอกจากมีองค์ประกอบอาคารหลัก ๆ ดังกล่าวแล้วยังจะมีองค์ประกอบย่อยที่ต้องทำการก่อสร้างเพื่อเพิ่มความปลอดภัยในทรัพย์สินและเพิ่มสภาพความน่าดูของสถานีฯ ตลอดจนความเป็นระเบียบเรียบร้อยและสิ่งอำนวยความสะดวกที่จำเป็นในการใช้งานในสถานีสูบน้ำเสียนี้

- รั้วรอบบริเวณ ใช้รั้วลวดตาข่ายโคยรอบ ด้านหน้าก่อสร้างประตูมีล้อเลื่อนปิดเปิดทางเข้าบริเวณสถานีสูบน้ำฯ

- พื้นทางเดินและใช้สอยภายในบริเวณ จะถูกปรับให้ไ้ระดับ +3.00 เมตร และปูด้วยอิฐตัวหนอน พื้นที่ส่วนที่ไม่ได้ใช้สอยจะปลูกหญ้า เพื่อให้มีพื้นที่สีเขียวภายในบริเวณ

- แสงสว่างภายในบริเวณกำหนดให้มีเป็นระยะ ๆ เพื่อให้เกิดความปลอดภัยเพิ่มขึ้นในช่วงกลางคืน ดังรายละเอียดที่กำหนดไว้ในแผนผังไฟฟ้าภายในบริเวณ

- น้ำใช้ภายในสถานี เนื่องจากบริเวณสถานีสูบน้ำเสียฯ ยังไม่มีท่อประปา สาธารณะย่อย การจัดหาน้ำสะอาดจะต้องใช้รถขน ดังนั้นภายในสถานีจึงกำหนดให้มีถังน้ำเหล็กอบสังกะสีขนาด 1.6 ม³ จำนวน 2 ใบ ตั้งยกสูงอยู่บนขาเหล็กสูง 2.95 เมตร เพื่อให้มีน้ำมีแรงดันเพียงพอต่อการใช้งาน

3.2.7 ระบบไฟฟ้า

การออกแบบระบบไฟฟ้าของสถานีสูบน้ำเสียที่ 2 จะ เป็นไปในหลักการเดียวกันดังกล่าวในข้อ 3.1.5 ของสถานีสูบน้ำเสียที่ 1

4. ระบบส่งน้ำเสียจากสถานีสูบน้ำเสีย

องค์ประกอบของระบบ การออกแบบระบบส่งน้ำเสียแรงดัน ประกอบด้วยองค์ประกอบ
ดังนี้

- ท่อส่งน้ำเสีย
- สถานีสูบน้ำเสีย

ซึ่งในการออกแบบได้พิจารณาเกณฑ์และข้อมูลที่ใช้ในการออกแบบดังนี้

(1) ความสามารถในการสูบน้ำเสียสูงสุด

กรมโยธาธิการได้พิจารณาเห็นสมควรให้แต่ละสถานีสูบน้ำ มีความสามารถสูบส่งปริมาณน้ำเสียได้ถึงปี 2553 คือปริมาณน้ำเสียสูงสุด 67,500 ลบ.ม./วัน และ 92,034 ลบ.ม./วัน สำหรับสถานีสูบน้ำเสียที่ 1 และสถานีสูบน้ำเสียที่ 2 ตามลำดับ

(2) เครื่องสูบน้ำ

- เครื่องสูบน้ำในแต่ละสถานีสูบน้ำเสีย มีจำนวน 4 ชุด โดยเป็นเครื่องสูบน้ำใช้งาน 3 ชุด และเป็นเครื่องสูบน้ำสำรอง 1 ชุด
- อัตราการทำงานของเครื่องสูบน้ำไม่เกิน 10 ครั้ง/ชั่วโมง
- เครื่องสูบน้ำทั้งหมดมีโอกาสใช้งานเท่า ๆ กัน โดยการทำงานสลับกัน ซึ่งควบคุมด้วยระบบลูกรอกและระดับน้ำภายในบ่อสูบน้ำเสีย

(3) บ่อสูบน้ำเสีย

บ่อสูบน้ำเสียจะต้องมีขนาดและปริมาตรสอดคล้องกับการจัดวางเครื่องสูบน้ำ โดยไม่ทำให้เกิดผลกระทบต่อการทำงานของเครื่องสูบน้ำแต่ละชุด และสอดคล้องกับอัตราการสูบน้ำของเครื่องสูบน้ำ

(4) ความเร็วของน้ำในท่อส่ง

ความเร็วของน้ำเสียในท่อส่ง จะต้องไม่ต่ำกว่า 0.6 ม./วินาที และไม่เกิน 3 ม./วินาที

4.1 ระบบท่อน้ำเสียจากสถานีสูบน้ำเสียที่ 1

4.1.1 การวางท่อน้ำเสีย

การวางท่อน้ำเสียจากสถานีสูบน้ำเสียที่ 1 ถึงบ่อบำบัดที่ระยะห่างของโครงการ ได้พิจารณาแนวทางการวางท่อน้ำเสียเป็น 2 แนวทางคือ

(1) ทำการวางท่อตามแนวถนนเทศา 7 เข้าสู่ถนนเทศาและวางเข้าหาสะพานข้ามคลองห้วยจรเข้มะ และเลียบไปตามคลองห้วยจรเข้มะถึงบ่อบำบัดน้ำเสีย

(2) ทำการวางท่อตามแนวคลองห้วยจรเข้มะตลอดแนวจากสถานีสูบน้ำเสียที่ 1 ถึงบ่อบำบัดน้ำเสีย

เมื่อเปรียบเทียบทั้งสองแนวทาง แนวทาง (2) มีความเหมาะสมโดยภาพรวมมากกว่าแนวทาง (1) กล่าวคือ แนวทาง (2) ใช้ความยาวของท่อน้ำเสียน้อยกว่า การก่อสร้างสะดวกและสามารถหลีกเลี่ยงปัญหาการจราจรและซ่อมแซมผิวทาง ซึ่งเป็นปัญหาใหญ่ในการก่อสร้างเนื่องจากถนนเทศาเป็นถนนสายหลักจากตัวเมืองสู่กรุงเทพมหานคร และเป็นทางผ่านของรถประจำทางหลายสาย

ดังนั้นการวางท่อน้ำเสีย จึงได้ยึดตามแนวทาง (2) ซึ่งได้พิจารณาวิธีการวางท่อน้ำเสียเป็น 2 ลักษณะคือ

- ทำการวางใต้ดิน
- ทำการวางลอยโดยมีเสารับเป็นช่วง ๆ

ใน 2 วิธีนี้ได้พิจารณาเลือกวิธีวางลอย เนื่องจากการวางใต้ดินเมื่ออุปสรรคที่สมอและเหล็กยึดค้ำแก่งกันคลอง ซึ่งก่อสร้างไว้ทุกกระยะ 1.0-1.50 เมตร การก่อสร้างท่อน้ำเสียใต้ดินจะกระทำได้ลำบากเพราะไม่สามารถหลีกเลี่ยงสมอและเหล็กยึดเหล่านี้ได้ ทั้งยังก่อให้เกิดความเสียหายแก่ค้ำแก่งกันคลองไปตลอดแนวคลอง

ในการวางท่อผ่านสะพานคลองห้วยจรเข้มะ พิจารณาวางลอยใต้ท้องสะพาน โดยใช้ประติมากรรมก่อเป็นเสารองรับท่อ ซึ่งจะช่วยลดความยุ่งยากในการก่อสร้างท่อใต้สะพานลง รวมทั้งช่วยลดปัญหาการเกิดการทรุดตัวลงด้วย

การกำหนดระยะห่างของเสารับท่อน้ำเสีย ได้พิจารณาความเป็นไปได้และความสะดวกต่อการก่อสร้างเป็นเกณฑ์ กล่าวคือพื้นที่เสียบคลองสำหรับวางท่อน้ำเสียประมาณ 2.0 เมตร และระยะห่างของสมอและเหล็กยึดค้ำแก่งประมาณ 1.0-1.50 เมตร ดังกล่าว ทำให้การก่อสร้างเสาขนาดใหญ่เพื่อรับท่อช่วงยาวมาก กระทำได้ลำบาก จึงได้พิจารณาระยะห่างของเสา

รับท่อเป็น 12.0 เมตร ซึ่งเป็นระยะที่เหมาะสมและให้ขนาดของเสาสอดคล้องกับสภาพปัญหามากที่สุด

ชนิดของท่อส่งน้ำเสีย พิจารณาใช้ท่อเหล็กเนื่องจากมีความสามารถในการรับแรงคั้น และมีอายุการใช้งานสูง โดยต้องยึดความยาวท่อโดยการเชื่อมตลอดแนว และป้องกันการสึกกร่อนเนื่องจากสนิมเหล็ก ดังนี้

ท่อส่งน้ำเสียภายในท่อจะได้รับการเคลือบ Coal tar epoxy เพื่อป้องกันการกัดกร่อนผิวท่อโดยน้ำเสโครก ท่อน้ำเสียที่วางเหนือผิวดินภายนอก จะทาสีป้องกันสนิมและสีอลูมิเนียม ส่วนท่อที่ถูกวางฝังไว้ใต้ดินจะต้องมีการเคลือบทาคัวย Coal tar และแผ่นใยแอสเบสตอส

4.1.2 ขนาดของเครื่องสูบน้ำและท่อส่ง

ในการออกแบบขนาดของเครื่องสูบน้ำและท่อส่งน้ำเสียได้อาศัยสูตรของ Harzen-William ดังนี้

$$Q = 0.285 C d^{2.63} S^{0.54}$$

โดย Q = ปริมาณน้ำเสีย, แกลลอน/นาที
C = ค่าสัมประสิทธิ์การไหล
= 120 สำหรับท่อเหล็ก
d = ขนาดของท่อส่งน้ำเสีย, นิ้ว
S = h/L
h = ค่าความสูญเสีย, ฟุต
L = ความยาวสมมูลย์ของท่อส่ง, ฟุต

โดยใช้สูตรของ Harzen-William เป็นพื้นฐานในการจัดเตรียมรูปกราฟต่าง ๆ คือ Modified H-Q Curve และ System Head Curve เพื่อเลือกขนาดของเครื่องสูบน้ำ ซึ่งสอดคล้องกับขนาดท่อส่งน้ำเสียและสามารถสูบน้ำได้ครอบคลุมปริมาณน้ำเสียที่ต้องการ

จำนวนเครื่องสูบน้ำใช้งานและสำรอง สอดคล้องกับหลักเกณฑ์ที่เสนอไว้ในการศึกษาความเหมาะสม คือเครื่องสูบน้ำใช้งานจำนวน 3 ชุด แลเครื่องสูบน้ำสำรองจำนวน 1 ชุด

ขนาดของท่อส่งพิจารณาขนาดซึ่งสามารถให้ความเร็วของน้ำเสียต่ำสุดและสูงสุดอยู่ในช่วง 0.6-3.0 ม./วินาที ทั้งนี้ขนาดท่อที่เลือกขึ้นนี้จะต้องไม่ทำให้เกิด head loss มากเกินไปซึ่งจะทำให้ขนาดของเครื่องสูบน้ำใหญ่มาก

4.2 ระบบท่อน้ำจากสถานีสูบน้ำเสียที่ 2

4.2.1 การวางท่อน้ำแรงดัน

ได้พิจารณาการวางท่อน้ำแรงดันใต้ผิวจราจร (ใต้ทาง) เพื่อความประหยัดและความสะดวกต่อการก่อสร้าง โดยแนวเส้นผ่านศูนย์กลางของท่อน้ำจะอยู่ห่างจากแนวที่ดินเอกชนโดยเฉลี่ย 1.50 เมตร เว้นแต่ในบริเวณซึ่งไม่มีปัญหาเรื่องที่ดิน เช่นบริเวณหน้าวัดเกาะวังไทร บริเวณสะพานเจดีย์ผดุงไชย เป็นต้น และลึกจากผิวดินโดยเฉลี่ยมากกว่า 1.20 เมตร ซึ่งเป็นมาตรฐานตามการประสานครหลวงแนะนำ สำหรับท่อขนาดใหญ่เส้นผ่าศูนย์กลาง 0.80 เมตร

ในบริเวณที่ต้องผ่านคลอง ซึ่งมี 2 จุด ได้แก่สะพานขุนบุณมีและสะพานเจดีย์ผดุงไชย ในการพิจารณาตลอดหรือข้ามสะพานตั้งอยู่บนพื้นฐานของความสะดวกในการก่อสร้าง และการบำรุงรักษาตลอดจนความแข็งแรงของท่อน้ำเสีย

ตามข้อแนะนำของการประสานครหลวง และการประเมินทางด้านความแข็งแรงของท่อ พบว่า

1. การวางท่อลอดท้องคลองจะให้เสถียรภาพแก่ท่อมากกว่า แต่มีข้อเสียเปรียบที่การบำรุงรักษา

2. การวางท่อข้ามคลอง จะเกิดปัญหาใหญ่คือ การหลุดตัวของแนวท่อซึ่งการออกแบบแทนรับท่อเพียงประการเดียวไม่ได้ช่วยแก้ไขปัญหานี้ได้มากนัก จึงต้องมีกรใช้อุปกรณ์อื่น ๆ เข้าช่วย คือ Restrained Joint ซึ่งทำให้ค่าก่อสร้างเพิ่มมากขึ้น

จากเหตุผลทั้งสอง ได้นำมาพิจารณาเฉพาะจุดสะพานทั้ง 2 ได้

สะพานขุน-บุณมี

การวางท่อลอดท้องคลอง จะก่อปัญหามากกว่าการวางข้ามคลองเนื่องจาก

- คลองกว้างมาก
- คลองมีระดับลึก

ทำให้การก่อสร้างท่อน้ำมีความยุ่งยาก และมีท่อจมอยู่ลึกเป็นระยะทางยาวเกินไป ยากแก่การบำรุงรักษาหรือแก้ไขปัญหากลางหลัง ประกอบกับสะพานขุน-บุณมี มีรางสะพานเป็นฉากกัน ทำให้การยกท่อลอดข้ามคลองดูไม่สะดวก หรือบังคับทัศนียภาพสิ่งแวดล้อมมากนัก แม้ว่าจะต้องใช้ อุปกรณ์เสริม เพื่อป้องกันปัญหาการหลุดตัว แต่เมื่อเปรียบเทียบกับราคาอุปกรณ์ต่อการแก้ไขปัญหากลางต้นแล้ว พบว่าการยกท่อข้ามคลองจะให้ผลในด้านบวกมากกว่า

สะพานเจตน์ผดุงไชย

พิจารณาที่คานของเอกชน ลักษณะคลองซึ่งแคบและตื้นแล้ว พบว่าการวางท่อลอดท้องคลอง ไม่ก่อให้เกิดปัญหาใด ๆ จึงพิจารณาวางท่อลอดท้องคลอง

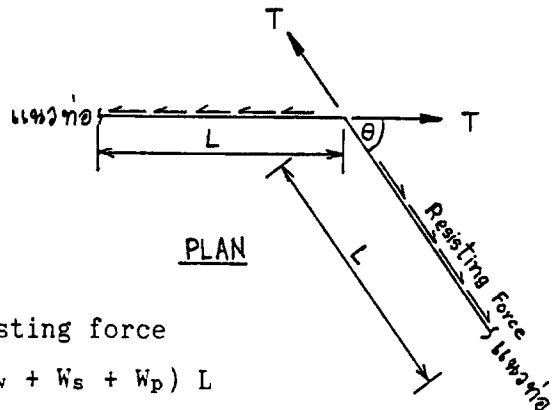
ชนิดของท่อส่งน้ำของสถานีสูบน้ำเลียยที่ 2 พิจารณาใช้ท่อเหล็ก เนื่องจากมีความสามารถในการรับแรงคั้น และมีอายุการใช้งานสูง โดยท่อยึดความยาวท่อโดยการเชื่อมตลอดแนว และป้องกันการกัดกร่อนด้วย Coal tar epoxy ทาเคลือบภายในท่อและภายนอกท่อท่อด้วย Coal tar และพันด้วยแผ่นใยแอสเบสตอส

4.2.2 การพิจารณาความจำเป็นของแท่นรองรับท่อในแนวราบและแนวตั้งสำหรับท่อใต้ดิน

การพิจารณาถึงการต้องมีแท่นรองรับท่อ ที่จุดที่มีแรงกระแทกของน้ำหรือไอน้ำนั้นอาศัย การสมดุลย์ของแรง

(1) แท่นรองรับท่อในแนวราบ :

ที่จุดสมดุลย์



R = Resisting force

$$PA(1-\text{Cos } \theta) = f (W_w + W_s + W_p) L$$

เมื่อ

- P = water pressure, กก./ม²
- A = X-Section area of pipe, ม²
- f = friction coefficient
- W_w = weight of water in pipe, กก./ม.
- W_s = weight of soil on pipe, กก./ม.
- W_p = weight of pipe, กก./ม.
- L = Restrained length

เพราะฉะนั้นจุดเปลี่ยนทิศทางที่ provide ท่อได้เท่ากับ L จะไม่ต้องใส่แท่นรองรับท่อในแนวราบ

ในการเปลี่ยนทิศทางท่อส่งในแนวราบ จากการวิเคราะห์พบว่า L จะมากที่สุดที่ theta มาก ๆ เช่น 90° ซึ่งที่ theta = 90°

$$L = \frac{PA (1-\cos 90^\circ)}{f(\Sigma W)}$$

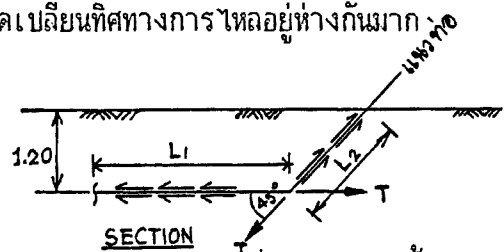
$$L = \frac{30,000 \times \frac{\pi \times 0.8^2}{4}}{0.3 \left(\frac{\pi \times 0.8^2}{4} \times 1,000 + 800 \times 0.85 \times 1.20 + 300 \right)}$$

$$= 31 \text{ m.}$$

ที่ 45° $L = (1-\cos 45^\circ) 31 = 9 \text{ m.}$

เพราะฉะนั้นในการวางท่อจะให้แต่ละจุดเปลี่ยนทิศทางการไหลอยู่ห่างกันมากกว่า 9 หรือ 31 เมตร แล้วแต่กรณี

(2) แท่นรองรับท่อในแนวโค้ง



ในทำนองเดียวกันกับการเปลี่ยนทิศทางการไหลของน้ำในแนวราบ พบว่าโดยทั่วไป L_2 จะสั้นกว่า Restrained Length ที่ต้องการ ดังนั้นที่จุดเปลี่ยนทิศทางในแนวโค้งจะต้องใส่แท่นรองรับท่อเสมอเช่น ที่บริเวณยกท่อข้ามคลอง

มุมเบี่ยงเบน = 45°

L_1 หรือ L_2 จะต้องมากกว่า 9 เมตร ซึ่งในทางปฏิบัติ $L_2 = 1.70$ เมตร เท่านั้น ดังนั้นต้องเพิ่มโครงสร้างช่วยรับแรงกระแทกส่วนเกินคือ Thrust box ที่บริเวณจุดเปลี่ยนทิศทางการไหล

4.2.3 ขนาดของเครื่องสูบน้ำ

ในการออกแบบขนาดเครื่องสูบน้ำใช้หลักการเดียวกันกับที่ได้กล่าวไว้ในข้อ 4.1.2

4.9 ตะแกรงคักขยะ

มีพื้นฐานเช่นเดียวกับตะแกรงในข้อ 3.1.9.2 แต่มีการจัดวางไว้ภายในบ่อสูบน้ำเสีย เนื่องจากมีบริเวณสำหรับจัดวางบ่อสูบน้ำเสียค่อนข้างจำกัด การวางตะแกรงไว้ภายในบ่อสูบน้ำ จะช่วยให้สถานีสูบน้ำเสียกระชับขึ้นและประหยัดเนื้อที่มากขึ้น

4.4 โครงสร้างยกเครื่องสูบน้ำ

พิจารณาถึงความจำเป็นและความสามารถในการยกน้ำหนักเครื่องสูบน้ำ ซึ่งหนักไม่น้อยกว่า 2 ตัน ในลักษณะเช่นเดียวกับสถานีสูบน้ำเสียที่ 1

4.5 ราวรอบบ่อสูบน้ำเสีย

พิจารณาโดยหลักการ เช่นเดียวกับสถานีสูบน้ำเสียที่ 1 แต่ในกรณีของสถานีสูบน้ำเสียที่ 2 จะจัดวางราวรอบบ่อสูบทั้งหมด รวมถึงช่องใส่สลักด้วย เนื่องจากช่องใส่สลักถูกจัดวางไว้ชิดเขตถนนตรงภายใน ซึ่งหากไม่ติดตั้งราวรอบ จะเพิ่มอันตรายให้แก่ยานพาหนะที่ผ่านบริเวณนั้นได้

5. ระบบบำบัดน้ำเสียชุมชนเทศบาลเมืองนครปฐม

5.1 คาบระยะเวลาของระบบบำบัดน้ำเสีย

ตามรายงานการศึกษาความเหมาะสมของระบบระบายน้ำและระบบบำบัดน้ำเสียเมืองนครปฐมเดือนพฤษภาคม 2532 ได้เสนอให้ใช้ระบบบ่อผึ่ง (Waster Stabilization Pond) โดยให้ก่อสร้างระบบบำบัดน้ำเสียระยะที่ 1 รองรับปริมาณน้ำเสียของเมืองจนถึงปี พ.ศ. 2543 ซึ่งเป็นปริมาณ 14,900 ม³/วัน และได้เสนอให้มีการจัดหาที่ดินจำนวน 180 ไร่ ซึ่งเทศบาลได้จัดหาที่ดินไว้ 280 ไร่ และจากการหารือระหว่างเทศบาลและกรมโยธาธิการแล้ว ได้เสนอให้ วท. ทำการออกแบบระบบก่อสร้างรองรับน้ำเสียปี พ.ศ. 2543 และให้สามารถขยายบ่อเดิมออกไป แต่เนื่องจากลักษณะพื้นที่ดินที่มีอยู่ ไม่มีรูปทรงทางเรขาคณิตที่ดี เมื่อพิจารณาถึงการขยายตัวบ่อในอนาคตแล้วจะมีผลกระทบต่อระบบบำบัดน้ำเสียที่เป็นอยู่ (ดูรูปที่ 5-1) และพิจารณาถึงระยะเวลาที่ก่อสร้าง โครงการระยะที่ 1 แล้วเสร็จ ซึ่งคาดว่าประมาณปี พ.ศ. 2538 จะเห็นได้ว่า ในระยะอีก 2-3 ปี ข้างหน้าหลังจากเสร็จสิ้นการก่อสร้าง จะต้องเริ่มแผนงานการขยายบ่อบำบัดน้ำเสียระยะที่ 2 ประกอบกับขนาดของพื้นที่ดิน ซึ่งเทศบาลจัดหาไว้มีขนาดเพียงพอ วท. จึงเสนอให้ออกแบบให้เต็มโครงการรับน้ำเสียได้ถึงปี 2553 และลงทุนก่อสร้างทีเดียว ซึ่งทางเทศบาลและกรมโยธาธิการเห็นชอบให้ดำเนินการ

5.2 การออกแบบบ่อบำบัดน้ำเสีย

5.2.1 Facultative Pond

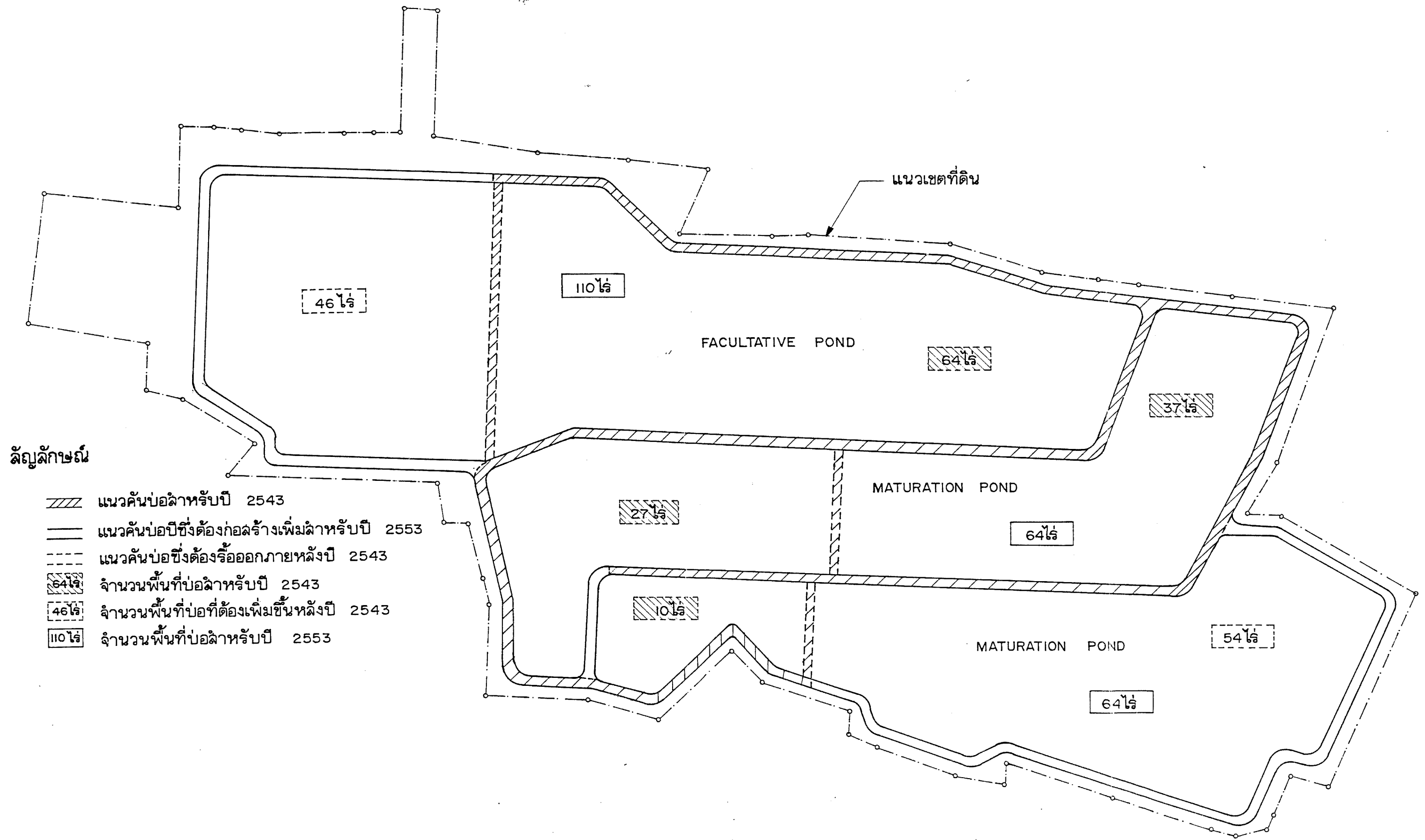
ในการออกแบบบ่อ Facultative Pond ซึ่งมีวัตถุประสงค์ เพื่อลด BOD ในน้ำเสีย วิธีที่สะดวกและมักนิยมมาใช้กันคือ ควรพิจารณาให้เป็น Completely mixed reactor ซึ่ง ค่า BOD จะถูกกำจัดไปโดยลักษณะของ first order kinetic ซึ่งจะเขียนสมการได้ดังนี้

$$\frac{L_e}{L_i} = \frac{1}{1+K_1 t}$$

L_i = influent BOD, mg/l
 L_e = effluent BOD, mg/l
 K_1 = rate constant for BOD removal, d⁻¹
 t = retention time, d.

ค่า K_1 จะแปรเปลี่ยนตามอุณหภูมิซึ่งจะหาได้จาก

$$K_1 = K_1(20^\circ\text{C})(1.05)^{T-20}$$
$$K_1 = 0.3 \text{ d}^{-1} \text{ at } 20^\circ\text{C}$$



ลักษณะ

- //// แนวคั่นบ่อสำหรับปี 2543
- ==== แนวคั่นบ่อปีซึ่งต้องก่อสร้างเพิ่มสำหรับปี 2553
- แนวคั่นบ่อซึ่งต้องรื้อออกภายหลังปี 2543
- 64ไร่ จำนวนพื้นที่บ่อสำหรับปี 2543
- 46ไร่ จำนวนพื้นที่บ่อที่ต้องเพิ่มขึ้นหลังปี 2543
- 110ไร่ จำนวนพื้นที่บ่อสำหรับปี 2553

ผังแสดงบ่อบำบัดน้ำสำหรับปี 2553
 โครงการก่อสร้างระบบระบายน้ำเสียและบำบัดน้ำเสีย
 เทศบาลเมืองนครปฐม

รูปที่ 5-1

ในการออกแบบ Facultative Pond จะใช้ค่า

| | | | |
|-----------------------|---|--------|-------------------|
| Li | = | 151 | mg/l |
| Le | = | 40 | mg/l |
| T | = | 25.5°C | (mean min) |
| K ₁ 25.5°C | = | 0.392 | day ⁻¹ |

จากสมการที่ใช้ออกแบบจะเป็นได้ว่าในกรณีที่ เป็นบ่อเดี่ยว ลักษณะทางชลศาสตร์จะเข้าใกล้ Complete mixing มากกว่า plug flow แต่หากพิจารณาว่าเป็นหลายบ่อมาต่อกัน แต่ละบ่อมีลักษณะการไหลของน้ำเป็น Complete mixing และก็จะได้ลักษณะการไหลในการรวมทั้งหมดมีลักษณะเป็น Plug flow ซึ่งเมื่อพิจารณา Mass Balance ของ BOD ตลอดทั้งจำนวนบ่อต่าง ๆ ที่ต่อกันจะได้สมการ

$$\frac{Le}{Li} = \frac{1}{(1+K_1 t)^n}$$

ซึ่งจะให้ผลต่อค่า effluent BOD ที่ดีกว่าที่จะรวมบ่อย่อย ๆ ทั้งหมดเป็นบ่อเดียวกัน ดังนั้นในการจัดวางรูปของแบบได้พยายามทำให้เกิดสภาพการณ์ทางชลศาสตร์ ในลักษณะของ Plug flow ให้มากที่สุดที่จะทำได้ เพื่อให้ได้บ่อที่มีประสิทธิภาพสูงสุด ในการบำบัดน้ำเสีย นอกเหนือจากการพิจารณาขนาดของบ่อด้วยสมการ first order kinetic แล้วภาวะสารอินทรีย์บนพื้นผิว (Organic surface loading) ยังเป็นปัจจัยที่สำคัญตัวหนึ่ง ซึ่งจะต้องให้ความสำคัญและพิจารณาในการออกแบบด้วย ซึ่งในการออกแบบครั้งนี้ เลือกใช้ค่า organic surface loading 275 kg/ha/day ซึ่งเมื่อเทียบจากข้อมูลที่ได้จากการใช้ออกแบบและได้ให้ไว้ดังแสดงในรูป 5-2 จะเห็นได้ว่าค่าที่ใช้ออกแบบนี้จะต่ำกว่า ซึ่งเชื่อว่าจะมีค่าความปลอดภัยเพิ่มมากขึ้น

5.2.2 Maturation Ponds

เพื่อที่จะให้ค่า BOD ของน้ำเสียก่อนปล่อยน้ำทิ้งลงในลำน้ำลดลง จนได้คุณภาพตามมาตรฐานน้ำทิ้ง สำนักงานสิ่งแวดล้อมแห่งชาติ และปริมาณแบคทีเรียจะถูกลดลงโดยสมมติให้เป็นไปในลักษณะ first order kinetics ดังสมการต่อไปนี้

$$Ne = \frac{Ni}{1+K_b(\tau)^t}$$

Ne = Number of FC/100 ml of effluent

Ni = Number of FC/100 ml of influent

$$K_b(T) = \text{first order rate constant for F.C. removal at } T^{\circ}\text{C, (day)}^{-1}$$

$$t = \text{detention time, day}$$

เนื่องจาก Faecal coliform ในน้ำเสียของเมืองนครปฐมมีค่าสูงมากกว่า 24×10^7 MPN/100ml จึงจำเป็นต้องมีบ่อ เพื่อลดจำนวน FC มากกว่าหนึ่งบ่อ เนื่องจากจำนวนบ่อที่มากกว่าจะให้ผลการลด FC ที่ดีกว่า แม้ว่าระยะเวลาเก็บกักในบ่อจะมีค่าเท่ากัน ดังนั้น การลดปริมาณ FC ในบ่อที่ต่อกันหลายบ่อ จะเป็นไปตาม

$$N_e = \frac{N_i}{(1+K_b(T)t_1)(1+K_b(T)t_2) \dots (1+K_b(T)t_n)}$$

$$K_b(T) = 2.6 (1.19)^{(T-20)} = 6.768 \text{ d}^{-1}$$

ค่าที่ใช้ออกแบบ Maturation Pond ได้พิจารณาจากผลการวิเคราะห์น้ำเสียในช่วงการศึกษาความเหมาะสมและดูจากมาตรฐานแหล่งรับน้ำแล้วได้เสนอให้ใช้ค่า ดังนี้

$$N_i = 24 \times 10^7 \text{ MPN/100 ml}$$

$$N_e = 4 \times 10^3 \text{ MPN/100 ml}$$

$$T = 25.5 \text{ }^{\circ}\text{C}$$

$$K_b(25.5) = 6.768 \text{ d}^{-1}$$

ระยะเวลารวมที่น้ำเสียถูกน้ำเสียถูกเก็บกักไว้ในบ่อต่าง ๆ จะมีระยะเวลา ดังนี้

| | |
|--------------------------|--------|
| Facultative Pond | 75 วัน |
| Maturation Pond บ่อที่ 1 | 5 วัน |
| Maturation Pond บ่อที่ 2 | 5 วัน |

ซึ่งจากการคำนวณหาขนาดบ่อและปริมาณ F.C. ที่ออก คาดว่า F.C. ที่ออกจากบ่อสุดท้ายจะได้ค่าน้อยกว่า 4×10^3

5.3 องค์ประกอบของบ่อบำบัดน้ำเสีย

(1) คันดินบ่อบำบัด เพื่อล้อมรอบเก็บกักน้ำ กำหนดให้มีคันดิน กว้าง 6.00 เมตร และให้บ่อมีความลึก ดังนี้

| | |
|------------------|-----------|
| Facultative pond | |
| ระยะน้ำลึก | 1.30 เมตร |
| Sludge storage | 0.50 เมตร |
| Free Board | 0.60 เมตร |
| รวม | 2.40 เมตร |

| | |
|---------------------------|-----------|
| Nutration Pond ทั้งสองบ่อ | |
| ระยะน้ำลึก | 1.50 เมตร |
| Free Board | 0.60 เมตร |
| รวม | 2.10 เมตร |

การกำหนดระดับความสูงของคันดิน จะพิจารณาการก่อสร้างคันดินจะให้น้ำดินที่ขุดได้จากบริเวณภายในถมก่อสร้างคันดินโดยจะลอกหน้าดินออกไปทิ้ง หรือถมพื้นที่เหลือ ซึ่งไม่ใช้ในการก่อสร้างและดินส่วนที่อยู่ใต้ชั้น 0.30 จากดินทั่วไปจึงนำมาใช้ในการก่อสร้าง คันดินบ่อบำบัดภายในบ่อจะก่อสร้างแผ่น ค.ส.ล. เพื่อป้องกันการกัดเซาะของน้ำในบ่อเนื่องจากคลื่นของน้ำภายในบ่อ ส่วนตอนบนของเชิงลาดเหนือ แผ่น ค.ส.ล. จะปลูกหญ้าเพื่อป้องกันการกัดเซาะ ผิวบนของคันดินจะปูด้วยดินลูกรังหน้าประมาณ 15 ซม. เพื่อช่วยบำรุงรักษาผิวดินและอำนวยความสะดวกต่อการบำรุงรักษา

(2) อาคารรับน้ำทางเข้าบ่อบำบัด

น้ำเสียที่มาจากสถานีสูบน้ำเสียที่ 2 จะถูกส่งมาโดยท่อขนาด ϕ 800 มม. ปริมาณน้ำสูงสุดจะรวมน้ำฝนที่เข้ามาในระบบท่อด้วย

อาคารรับน้ำทางเข้าบ่อ ได้พิจารณาออกแบบใช้รางคอนกรีตเสริมเหล็กกว้าง 1.50 เมตร พร้อมวางผาตะแกรงเหล็กอาบสังกะสีปิด ตลอดความยาวรางเพื่อป้องกันอุบัติเหตุ รางคอนกรีตเสริมเหล็ก จะมีท่อ ϕ 0.60 เมตร สำหรับระบายน้ำเข้าท่อโดยวางห่างกันทุก ๆ ระยะ 50 เมตร เพื่อให้ น้ำเสียสามารถเข้าบ่อบำบัดได้ตลอด ความกว้างของตัวบ่อและจะลดปัญหาของ point load ของตัวบ่อ

(3) ท่อเชื่อมต่อบหว่างบ่อ

ท่อเชื่อมต่อบหว่าง Facultative Pond และ Maturative Ponds ใช้ท่อคอนกรีตเสริมเหล็กกว้าง 3 แนว ϕ 80 เมตร ท่อแนวกลางมีบ่อพักพร้อมผาตะแกรงเหล็กอาบสังกะสีเพื่อให้สามารถในการเก็บตัวอย่างน้ำที่ออกจากแต่ละบ่อเพื่อนำไปวิเคราะห์ระดับปากท่อทางเข้าและออกของบ่อ จะอยู่ใต้น้ำเพื่อไม่ให้ scum ที่เกิดขึ้นในแต่ละบ่อไหลออกไปยังบ่ออื่นได้

การออกแบบการเชื่อมต่อระหว่างบ่อได้พิจารณาถึง head loss ที่ผ่านบ่อโดยเพิ่มจำนวนแนวท่อให้เพียงพอเพื่อให้ระดับน้ำระหว่างบ่อมีความแตกต่างกันน้อยที่สุดในขณะที่มี Peak flow เข้าบ่อ ค่าระดับน้ำที่แสดงในการก่อสร้างจะเป็นค่าความแตกต่างสูงสุดของระดับน้ำที่ยอมรับให้เกิดขึ้นระหว่างบ่อ จากการคำนวณพบว่าค่าดังกล่าวจะเห็นเท่าที่แสดงไว้

(4) อาคาร

น้ำเสียที่ผ่านการบำบัดจนถึง Maturation Pond บ่อสุดท้าย และพร้อมที่จะออกจากบ่อลงสู่คลองข้างบริเวณ อาคารระบายน้ำออกจำนวน 2 อาคาร และน้ำจะถูกระบายออกจากอาคารโดยท่อ \varnothing 80 เมตร การกำหนดให้มีอาคารระบายน้ำออกจากบ่อ 2 อาคารได้พิจารณาจากความรุนแรงและปริมาณน้ำที่ระบายออกและ Flow Require ในบ่อสุดท้ายแล้ว อาคาร 2 แห่งจะช่วยลด Stagnant ที่มูบ่อได้ดีกว่าการมีอาคารตัวเดียว อาคารระบายน้ำออกถูกออกแบบให้เป็นอาคารน้ำล้นมีทางน้ำล้น สองข้างของตัวอาคารยาวข้างละ 4.00 เมตร จากตัวคันบ่อ มีสะพานคอนกรีตเดินเชื่อมต่อถึงตัวอาคาร ที่ตัวอาคารมีช่องเปิดและบันไดลงไปในตัวอาคาร เพื่อการบำรุงรักษาที่ระดับพื้นอาคารจะติดตั้ง ท่อเหล็กหล่อพร้อมประตุน้ำขนาด \varnothing 200 มม. เพื่อใช้ระบายน้ำทั้งหมดออกจากบ่อในกรณีที่ต้องมีการซ่อมบำรุงบ่อ

รายการคำนวณ

Project : NAKHON PATHOM
 Subject : SEWER DESIGN
 Line : ID-1
 Date : 02-Sep-90

| Sub catchment No. | Location | | Area | | Design Population | | | Domestic flow | | | Infiltration | | Design flow | | Sewer design | | | | | | | | | | | |
|-------------------------|--------------------|----------------------------|----------------------------|------------------------|-------------------------------|---------------------------|--------------------------|---------------------------------|----------------------------------|----------------|----------------------------------|------------------------------|---|----------------------------------|----------------------------------|--------------------------|----------------|------------------------------|---------------------------|----------------|----------------|----------------|----------------|--|--|--|
| | From STA. | To STA. | Length of sewer (m.) | Cum. total (ha.) | Pop. density (pers./ha) | Incre- ment (pers.) | Cum. Total (pers.) | Avg. unit flow (l/c/d) | Cum. avg. flow (cu.m/d) | Peak factor | Cum. peak flow (cu.m/d) | Peak I/I allow. (%) | Cum. Peak I/I allow. (cu.m/d) | Cum. avg. flow (cu.m/s) | Cum. peak flow (cu.m/s) | Manning n = 0.015 | | | | | | | | | | |
| | Increment (ha.) | Pop. density (pers./ha) | Increment (pers.) | Cum. total (ha.) | Pop. density (pers./ha) | Increment (pers.) | Cum. Total (pers.) | Avg. unit flow (l/c/d) | Cum. avg. flow (cu.m/d) | Peak factor | Cum. peak flow (cu.m/d) | Peak I/I allow. (%) | Cum. Peak I/I allow. (cu.m/d) | Cum. avg. flow (cu.m/s) | Cum. peak flow (cu.m/s) | Pipe diameter (m.) | Slope (m/m) | Capacity full (cu.m/s) | Velocity full (m/s) | Q avg. full | V avg. full | V avg. full | Q max. full | | | |
| 1/63.1 | | | | 33.94 | 33.94 | 35 | 2938 | 195 | 572.99 | 3.00 | 1719 | 20 | 344 | 0.0090 | 0.0239 | | | | | | | | | | | |
| 1/64 | | | | 19.43 | 103.37 | 24 | 466 | 195 | 663.82 | 3.00 | 1991 | 20 | 392 | 0.0092 | 0.0277 | | | | | | | | | | | |
| 1/2 | | | | 11.49 | 114.86 | 99 | 1138 | 235 | 988.91 | 3.00 | 2964 | 20 | 593 | 0.0137 | 0.0412 | | | | | | | | | | | |
| 1/4 | 0.200 | 380.593 | 381 | 8.22 | 123.08 | 99 | 814 | 5358 | 1219.94 | 3.00 | 3650 | 20 | 732 | 0.0165 | 0.0508 | 0.40 | 0.00150 | 0.070 | 0.56 | 0.242 | 0.83 | 0.46 | 0.726 | | | |
| 1/65.66, | | | | 36.70 | 209.78 | 24 | 2081 | 7436 | 1625.70 | 3.00 | 4377 | 20 | 975 | 0.0228 | 0.0677 | | | | | | | | | | | |
| 1/2 | | | | 12.10 | 221.88 | 35 | 424 | 7860 | 1708.23 | 3.00 | 5125 | 20 | 1025 | 0.0232 | 0.0712 | | | | | | | | | | | |
| 1/5 | 380.593 | 960.619 | 580 | 7.32 | 229.20 | 99 | 754 | 8614 | 1923.28 | 3.00 | 5770 | 20 | 1154 | 0.0267 | 0.0801 | 0.60 | 0.00100 | 0.168 | 0.60 | 0.159 | 0.74 | 0.44 | 0.476 | | | |
| 1/62.17-22 | | | | 142.37 | 371.57 | 99 | 14095 | 22709 | 5940.25 | 3.00 | 17821 | 20 | 3564 | 0.0525 | 0.2475 | | | | | | | | | | | |
| 1/10-11,6-7 | 960.619 | 1229.000 | 268 | 10.83 | 382.40 | 99 | 1072 | 23781 | 6245.82 | 3.00 | 18777 | 20 | 3747 | 0.0887 | 0.2602 | 0.80 | 0.00080 | 0.324 | 0.65 | 0.287 | 0.86 | 0.55 | 0.802 | | | |
| 1/8 | 1229.000 | 1317.513 | 89 | 0.28 | 383.58 | 99 | 87 | 23968 | 6270.54 | 3.00 | 18812 | 20 | 3752 | 0.0871 | 0.2610 | 0.80 | 0.00080 | 0.324 | 0.65 | 0.288 | 0.86 | 0.55 | 0.805 | | | |
| 1/9.12 | 1317.513 | 1721.231 | 404 | 7.56 | 391.14 | 99 | 748 | 24617 | 6483.95 | 3.00 | 19452 | 20 | 3840 | 0.0901 | 0.2702 | 0.80 | 0.00080 | 0.324 | 0.65 | 0.273 | 0.86 | 0.55 | 0.833 | | | |
| 1/15.16 | 1721.231 | 2279.200 | 558 | 7.91 | 399.05 | 99 | 783 | 25400 | 6707.13 | 3.00 | 20121 | 20 | 4024 | 0.0932 | 0.2795 | 0.80 | 0.00080 | 0.324 | 0.65 | 0.297 | 0.87 | 0.56 | 0.861 | | | |
| 1/13.14.52 | 2279.200 | 2419.500 | 140 | 26.15 | 425.20 | 99 | 2589 | 27988 | 7444.95 | 3.00 | 22535 | 20 | 4467 | 0.1034 | 0.3102 | 0.80 | 0.00080 | 0.324 | 0.65 | 0.319 | 0.89 | 0.57 | 0.956 | | | |
| 1/21-22,53,54 | 2419.500 | 2758.000 | 339 | 38.39 | 513.59 | 99 | 8751 | 36739 | 9938.88 | 3.00 | 29317 | 20 | 5963 | 0.1380 | 0.4141 | 1.00 | 0.00080 | 0.588 | 0.75 | 0.235 | 0.83 | 0.62 | 0.704 | | | |
| 1/55 | 2758.000 | 2920.770 | 163 | 1.52 | 515.11 | 99 | 150 | 36890 | 9981.76 | 3.00 | 29443 | 20 | 5989 | 0.1386 | 0.4159 | 1.00 | 0.00080 | 0.588 | 0.75 | 0.236 | 0.83 | 0.62 | 0.707 | | | |
| 1/56 | 2920.770 | 3081.142 | 160 | 1.66 | 516.77 | 99 | 164 | 37054 | 10028.60 | 3.00 | 30396 | 20 | 6017 | 0.1393 | 0.4179 | 1.00 | 0.00080 | 0.588 | 0.75 | 0.237 | 0.83 | 0.62 | 0.710 | | | |
| 1/57.58 | 3081.142 | 3431.179 | 350 | 3.67 | 520.44 | 99 | 363 | 37417 | 10132.15 | 3.00 | 30596 | 20 | 6079 | 0.1407 | 0.4222 | 1.00 | 0.00080 | 0.588 | 0.75 | 0.239 | 0.83 | 0.62 | 0.718 | | | |
| 1/59.60 | 3431.179 | 4105.541 | 674 | 8.51 | 528.95 | 99 | 842 | 38260 | 10372.26 | 3.00 | 31117 | 20 | 6233 | 0.1441 | 0.4322 | 1.00 | 0.00080 | 0.588 | 0.75 | 0.245 | 0.84 | 0.63 | 0.735 | | | |
| 1/43-51,51, ID-2,3,4 | | | | 202.39 | 731.34 | 99 | 20086 | 58346 | 16096.30 | 3.00 | 48290 | 20 | 9623 | 0.2236 | 0.6707 | | | | | | | | | | | |
| ID-3 | | | | 12.06 | 743.90 | 23 | 277 | 58623 | 15150.99 | 3.00 | 48453 | 20 | 9691 | 0.2243 | 0.6730 | | | | | | | | | | | |
| ID-4 | 4105.541 | 4198.187 | 93 | 60.78 | 804.68 | 35 | 2127 | 60751 | 16565.71 | 3.00 | 49697 | 20 | 9939 | 0.2301 | 0.6902 | 1.20 | 0.00080 | 0.957 | 0.85 | 0.241 | 0.83 | 0.70 | 0.722 | | | |

Project : NAKHON PATHOM
 Subject : SEWER DESIGN
 Line : ID-3
 Date : 27-Jul-90

| Sub catchment No. | Location | | Design flow | | Sewer design | | | | | | | | | | Sewer layout | | | | |
|-------------------|-----------|---------|----------------------|-------------------------|-------------------------|--------------------|-------------|------------------------|---------------------|-------------|-------------|--------------|-------------|-------------|--------------|--------------------------|----------------|------------------|------------|
| | From STA. | To STA. | Length of sewer (m.) | Cum. avg. flow (cu.m/s) | Cum. peak flow (cu.m/s) | Manning n = 0.015 | | | | | | | | | | Ground surface elevation | | Invert elevation | |
| | | | | | | Pipe diameter (m.) | Slope (m/m) | Capacity full (cu.m/s) | Velocity full (m/s) | Q avg. full | V avg. full | V avg. (m/s) | Q max. full | V max. full | V max. (m/s) | At U/S manhole | At D/S manhole | At U/S end | At D/S end |
| ID4, MF2 | | | | 0.0328 | 0.0983 | | | | | | | | | | | | | | |
| 3/16 | | | | 0.0339 | 0.1016 | | | | | | | | | | | | | | |
| 3/4-15 | 0.000 | 55.092 | 55.08 | 0.0584 | 0.1753 | 0.80 | 0.00080 | 0.324 | 0.65 | 0.180 | 0.77 | 0.50 | 0.540 | 1.02 | 0.66 | 3.31 | 4.25 | -0.350 | -0.394 |
| 3/1-2 | 55.082 | 392.336 | 337.25 | 0.0597 | 0.1792 | 0.80 | 0.00080 | 0.324 | 0.65 | 0.184 | 0.78 | 0.50 | 0.552 | 1.02 | 0.66 | 4.25 | 0.00 | -0.394 | -0.664 |
| N3 | | | | 0.0621 | 0.1862 | | | | | | | | | | | | | | |
| 3/3 | 392.336 | 808.198 | 415.86 | 0.0631 | 0.1892 | 0.80 | 0.00080 | 0.324 | 0.65 | 0.194 | 0.79 | 0.51 | 0.583 | 1.03 | 0.66 | 4.31 | 3.62 | -0.664 | -0.997 |
| ID2 | 808.198 | 821.527 | 13.33 | 0.0786 | 0.2358 | 0.80 | 0.00080 | 0.324 | 0.65 | 0.242 | 0.83 | 0.54 | 0.727 | 1.07 | 0.69 | 3.62 | 2.48 | -0.997 | -1.007 |
| | 821.527 | 845.011 | 23.48 | 0.0786 | 0.2358 | 0.80 | 0.00080 | 0.324 | 0.65 | 0.242 | 0.83 | 0.54 | 0.727 | 1.07 | 0.69 | 2.48 | 2.40 | -1.135 | -1.154 |
| | 845.011 | 861.193 | 16.18 | 0.0786 | 0.2358 | 0.80 | 0.00080 | 0.324 | 0.65 | 0.242 | 0.83 | 0.54 | 0.727 | 1.07 | 0.69 | 2.40 | 3.40 | -1.154 | -1.167 |

Project : WAKHON PATHOK

Subject : SEWER DESIGN

Line : ID-4

DATE : 17-Apr-90

| Location | | Area | | Domestic flow | | | | Infiltration | | Design flow | | | | Sewer design | | | | | | Sewer layout | | | | | | | | | | | | | | |
|-----------------|-----------|----------|----------------------|----------------------|------------------|-------------------------|--------------------|--------------------|------------------------|--------------------|----------------|-------------------------|------------------------|-----------------------------|-------------------------|-------------------------|---------------------------------|---------------------------|----------------------|--------------------|-------------|------------------------|---------------------|--------------|--------------------------|--------------|------------------|------------------|------------------|--------------|--------------|-------|--------|--------|
| Sub station No. | From STA. | To STA. | Length of sewer (m.) | Cum. Increment (ha.) | Cum. total (ha.) | Pop. density (pers./ha) | Design Population | | Avg. unit flow (l/c/d) | Cum. flow (cu.m/d) | Peaking factor | Cum. peak flow (cu.m/d) | Peak I/I allowance (%) | Cum. I/I allowance (cu.m/d) | Waste | | Rain | | Manning n = 0.015 | | | | | | Ground surface elevation | | Invert elevation | | | | | | | |
| | | | | | | | Incr- ment (pers.) | Cum. Total (pers.) | | | | | | | Cum. avg. flow (cu.m/s) | Cum. peak flow (cu.m/s) | Overflow pipe capacity (cu.m/s) | Cum. Peak Runoff (cu.m/s) | Design flow (cu.m/s) | Pipe diameter (m.) | Slope (m/m) | Capacity full (cu.m/s) | Velocity full (m/s) | Q min. (m/s) | V min. (m/s) | Q max. (m/s) | V max. (m/s) | At upper manhole | At lower manhole | At upper end | At lower end | | | |
| 4/15 | 0.000 | 0.000 | 0.000 | 60.78 | 60.78 | 35 | 2127 | 2127 | 195 | 414.82 | 3.00 | 1244 | 20 | 249 | 0.006 | 0.017 | 0.000 | 0.000 | 0.017 | 0.60 | 0.00125 | 0.188 | 0.67 | 0.031 | 0.00 | 0.00 | 0.092 | 0.00 | 0.00 | 3.50 | 3.50 | 2.250 | 2.250 | |
| 4/11-14 | 0.000 | 0.000 | 0.000 | 15.28 | 76.06 | 99 | 1513 | 3640 | 285 | 845.95 | 3.00 | 2538 | 20 | 508 | 0.012 | 0.035 | 0.000 | 0.000 | 0.035 | 0.60 | 0.00125 | 0.188 | 0.67 | 0.052 | 0.00 | 0.00 | 0.187 | 0.00 | 0.00 | 3.50 | 3.50 | 2.250 | 2.250 | |
| 4/1 | 0.000 | 107.373 | 107.373 | 3.90 | 79.96 | 99 | 386 | 4026 | 285 | 955.99 | 3.00 | 2868 | 20 | 574 | 0.013 | 0.040 | 0.509 | 1.800 | 0.040 | 0.60 | 0.00125 | 0.188 | 0.67 | 0.071 | 0.59 | 0.39 | 0.212 | 0.80 | 0.53 | 3.50 | 3.60 | 2.250 | 2.116 | |
| 4/2 | 107.373 | 193.774 | 86.401 | 2.35 | 82.31 | 99 | 233 | 4259 | 285 | 1022.29 | 3.00 | 3067 | 20 | 613 | 0.014 | 0.043 | 0.307 | 0.480 | 0.043 | 0.60 | 0.00125 | 0.188 | 0.67 | 0.075 | 0.50 | 0.40 | 0.226 | 0.82 | 0.54 | 3.60 | 3.63 | 2.116 | 2.008 | |
| 4/3 | 193.774 | 445.000 | 251.226 | 3.10 | 85.41 | 99 | 307 | 4566 | 285 | 1109.76 | 3.00 | 3329 | 20 | 666 | 0.015 | 0.046 | 0.397 | 0.500 | 0.046 | 0.60 | 0.00125 | 0.188 | 0.67 | 0.082 | 0.62 | 0.41 | 0.246 | 0.84 | 0.56 | 3.63 | 3.76 | 2.008 | 1.694 | |
| 4/4 | 445.000 | 696.000 | 251.000 | 2.58 | 87.99 | 99 | 255 | 4821 | 285 | 1182.55 | 3.00 | 3548 | 20 | 719 | 0.016 | 0.049 | 0.420 | 0.540 | 0.049 | 0.60 | 0.00125 | 0.188 | 0.67 | 0.087 | 0.63 | 0.42 | 0.262 | 0.85 | 0.57 | 3.76 | 3.38 | 1.500 | 1.186 | |
| 4/5 | 696.000 | 936.500 | 240.500 | 2.48 | 90.47 | 99 | 246 | 5067 | 285 | 1252.53 | 3.00 | 3758 | 20 | 752 | 0.017 | 0.052 | 0.393 | 0.230 | 0.163 | 0.60 | 0.00125 | 0.406 | 0.81 | 0.043 | 0.51 | 0.41 | 0.129 | 0.70 | 0.56 | 3.38 | 3.40 | 0.986 | 0.686 | |
| 4/6-4/8/1 | 936.500 | 1228.700 | 292.200 | 3.90 | 94.37 | 99 | 386 | 5453 | 285 | 1362.57 | 3.00 | 4088 | 20 | 818 | 0.019 | 0.057 | 0.476 | | 0.476 | 1.00 | 0.00125 | 0.735 | 0.94 | 0.026 | 0.45 | 0.42 | 0.077 | 0.61 | 0.57 | 3.40 | 3.17 | 0.486 | 0.120 | |
| 4/7-10 | 1228.700 | 1480.000 | 156.300 | 14.13 | 108.50 | 99 | 1399 | 6852 | 285 | 1761.24 | 3.00 | 5284 | 20 | 1057 | 0.024 | 0.073 | 1.458 | | 1.458 | 2.097 | 1.5*1.2 | 0.00100 | 2.266 | 1.259 | 0.011 | 0.35 | 0.44 | 0.032 | 0.47 | 0.59 | 3.17 | 3.10 | -0.080 | -0.236 |

1480

Project : NAKHON PATHOM
 Subject : SEWER DESIGN

Line : L 1-4

DATE : 08-Jul-90

| Sub catchment No. | From STA. | To STA. | Length of sewer (m.) | Increment Area A (Km ²) | Catchment Length L (Km.) | Difference Level H (m.) | Tc. | | Rainfall Intensity I (mm/Hr) | Run-off Coeff. C | Design Discharge Q (cu.m./s) | Cum. Design Discharge Qd (cu.m./s) | Pipe diameter (m.) | Slope (m/m) | n = 0.015 | | Ground Elev. | | Invert Elev. | |
|-------------------------|--------------|------------|----------------------------|--|-----------------------------------|----------------------------------|------|------|---------------------------------------|------------------------|---------------------------------------|--|--------------------------|----------------|------------------------------|---------------------------|------------------------|------------------------|--------------------|--------------------|
| | | | | | | | Hour | Min. | | | | | | | Capacity full (cu.m/s) | Velocity full (m/s) | At upper manhole | At lower manhole | At upper end | At lower end |
| 1/31 | 0.000 | 402.021 | 402.021 | 0.0327 | 0.50 | 0.15 | 0.88 | 53 | 65 | 0.40 | 0.24 | 0.236 | 0.80 | 0.00020 | 0.324 | 0.65 | 3.50 | 3.60 | 3.022 | 2.700 |
| 1/32-33 | 402.021 | 544.200 | 142.779 | 0.0206 | 0.32 | 0.15 | 0.53 | 32 | 83 | 0.40 | 0.19 | 0.426 | 0.9*0.9 | 0.00020 | 0.685 | 0.85 | 3.60 | 3.60 | 2.600 | 2.486 |
| 1/29/1.30 | 544.200 | 634.176 | 89.376 | 0.0575 | 0.67 | 0.15 | 1.24 | 74 | 52 | 0.40 | 0.33 | 0.759 | 1.2*0.9 | 0.00020 | 1.031 | 0.95 | 3.60 | 3.60 | 2.486 | 2.415 |
| 1/34 | 634.176 | 649.503 | 15.327 | 0.0324 | 0.25 | 0.15 | 0.40 | 24 | 93 | 0.40 | 0.34 | 1.094 | 1.2*0.9 | 0.00090 | 1.093 | 1.01 | 3.60 | 3.63 | 2.415 | 2.401 |
| 1/28-29 | 649.503 | 883.500 | 233.997 | 0.0452 | 0.34 | 0.15 | 0.57 | 34 | 81 | 0.40 | 0.41 | 1.501 | 1.2*1.2 | 0.00090 | 1.564 | 1.09 | 3.60 | 3.76 | 2.101 | 1.890 |
| 1/27 | 883.500 | 1333.500 | 450.000 | 0.0387 | 0.45 | 0.15 | 0.78 | 47 | 70 | 0.40 | 0.30 | 1.802 | 1.5*1.2 | 0.00090 | 2.150 | 1.19 | 3.76 | 3.38 | 1.890 | 1.485 |
| 1/23-26 | 1333.500 | 1464.719 | 131.219 | 0.1037 | 0.65 | 0.15 | 1.20 | 72 | 53 | 0.40 | 0.61 | 2.414 | 1.5*1.5 | 0.00090 | 2.835 | 1.26 | 3.38 | 3.38 | 1.185 | 1.067 |
| 1/35-39 | 1464.719 | 1824.100 | 359.381 | 0.0900 | 0.87 | 0.15 | 1.68 | 101 | 42 | 0.40 | 0.42 | 2.834 | 1.5*1.5 | 0.00090 | 2.835 | 1.26 | 3.38 | 3.17 | 1.067 | 0.744 |
| 1/40-41 | 1824.100 | 2196.200 | 372.100 | 0.1434 | 0.40 | 0.15 | 0.68 | 41 | 75 | 0.40 | 1.20 | 4.030 | 1.8*1.5 | 0.00110 | 4.068 | 1.51 | 3.17 | 3.10 | 0.744 | 0.334 |
| 1/52 | 2196.200 | 2225.000 | 28.800 | 0.1030 | 0.76 | 0.15 | 1.43 | 86 | 46 | 0.20 | 0.26 | 4.293 | 1.8*1.5 | 0.00125 | 4.337 | 1.61 | 3.40 | 0.00 | 0.334 | 0.298 |

Project : NAKHON PATHOM
 Subject : SEWER DESIGN

Line : A-1

DATE : 30-May-90

| Sub catchment No. | Location | | Length of sewer (m.) | Area | | Domestic flow | | | | | Infiltration | | Design flow | | | | | Sewer design | | | | Sewer layout | | | | | | | | | |
|--------------------|-----------------|-------------------|----------------------|-----------------|------------------|-------------------------|-------------------|--------------------|------------------------|-------------------------|----------------|-------------------------|------------------------|----------------------------------|-------------------------|-------------------------|----------------------|---------------------------------|---------------------------|----------------------|--------------------|--------------------|------------------------|--------------------------|------------------|------------------|----------------|----------------|--|--|--|
| | From STA. | To STA. | | Increment (ha). | Cum. total (ha). | Pop. density (pers./ha) | Design Population | | Avg. unit flow (l/c/d) | Cum. avg. flow (cu.m/d) | Peaking factor | Cum. peak flow (cu.m/d) | Peak I/I allowance (%) | Cum. Peak I/I allowance (cu.m/d) | Waste | | Rain | | | Manning n = 0.015 | | | | Ground surface elevation | | Invert elevation | | | | | |
| | | | | | | | Increment (pers.) | Cum. Total (pers.) | | | | | | | Cum. peak flow (cu.m/d) | Cum. peak flow (cu.m/d) | Peak Runoff (cu.m/s) | Overflow pipe capacity (cu.m/s) | Cum. Peak Runoff (cu.m/s) | Design flow (cu.m/s) | Pipe diameter (m.) | Slope (m/m) | Capacity full (cu.m/s) | Velocity full (m/s) | At upper manhole | At lower manhole | At upper end | At lower end | | | |
| 1/42-43.53 1/46 | 0.000 67.000 | 67.000 216.852 | 67.000 149.852 | 15.57 3.40 | 15.57 18.97 | 99 99 | 1541 337 | 1541 1878 | 285 285 | 439.31 535.24 | 3.00 3.00 | 1.18 1.606 | 20 20 | 264 321 | 1582 1927 | 0.0183 0.0223 | 1.360 0.425 | 0.000 0.000 | 1.360 1.785 | 1.360 1.785 | 1.50 1.50 | 0.00090 0.00090 | 1.640 1.840 | 1.04 1.04 | 3.50 3.50 | 3.50 0.00 | 0.476 0.416 | 0.416 0.281 | | | |
| | | | | | | | | | | | | | | | | | | | | 0.425 1.360 | 1.00 1.5*1.0 | 0.00750 0.00100 | 1.901 1.798 | 2.29 1.198 | | | | | | | |
| MH. No. 1 | 0.000 | 25.000 | 25.000 | | | | | | | | | | | | | | | | | | | | | | | | | | | | |
| 2 | 25.000 | 50.000 | 25.000 | | | | | | | | | | | | | | | | | | 1.50 | 0.00100 | 1.939 | 1.10 | 3.82 | 3.79 | 0.650 | 0.625 | | | |
| 3 | 50.000 | 67.000 | 17.000 | | | | | | | | | | | | | | | | | | 1.50 | 0.00100 | 1.939 | 1.10 | 3.79 | 3.75 | 0.625 | 0.600 | | | |
| 4 | 67.000 | 85.000 | 18.000 | | | | | | | | | | | | | | | | | | 1.50 | 0.00100 | 1.939 | 1.10 | 3.75 | 3.72 | 0.600 | 0.583 | | | |
| 5 | 85.000 | 100.209 | 15.209 | | | | | | | | | | | | | | | | | | 1.50 | 0.00100 | 1.939 | 1.10 | 3.72 | 3.70 | 0.583 | 0.565 | | | |
| 6 | 100.209 | 105.000 | 4.791 | | | | | | | | | | | | | | | | | | 1.50 | 0.00100 | 1.939 | 1.10 | 3.70 | 3.68 | 0.565 | 0.550 | | | |
| 7 | 105.000 | 115.000 | 10.000 | | | | | | | | | | | | | | | | | | 1.5*1.0 | 0.00100 | 1.798 | 1.198 | 3.68 | 3.67 | 0.550 | 0.525 | | | |
| 8 | 115.000 | 145.000 | 30.000 | | | | | | | | | | | | | | | | | | 1.5*1.0 | 0.00100 | 1.798 | 1.198 | 3.67 | 3.60 | 0.525 | 0.510 | | | |
| 9 | 145.000 | 175.000 | 30.000 | | | | | | | | | | | | | | | | | | 1.50 | 0.00100 | 1.939 | 1.10 | 3.67 | 3.60 | 0.510 | 0.490 | | | |
| 10 | 175.000 | 192.000 | 17.000 | | | | | | | | | | | | | | | | | | 1.50 | 0.00100 | 1.939 | 1.10 | 3.60 | 3.60 | 0.490 | 0.480 | | | |
| 11 | 192.000 | 250.500 | 58.500 | | | | | | | | | | | | | | | | | | 1.50 | 0.00100 | 1.939 | 1.10 | 3.60 | 4.03 | 0.480 | 0.450 | | | |
| | 200.500 | 212.152 | 11.652 | | | | | | | | | | | | | | | | | | 1.50 | 0.00100 | 1.939 | 1.10 | 4.03 | 4.03 | 0.450 | 0.427 | | | |
| | 212.152 | 216.852 | 4.700 | | | | | | | | | | | | | | | | | | 1.50 | 0.00100 | 1.939 | 1.10 | 4.03 | 4.17 | 0.427 | 0.425 | | | |
| | | | | | | | | | | | | | | | | | | | | | 1.50 | 0.00100 | 1.939 | 1.10 | 4.03 | 4.17 | 0.425 | 0.413 | | | |
| | | | | | | | | | | | | | | | | | | | | | 1.50 | 0.00100 | 1.939 | 1.10 | 4.03 | 4.17 | 0.413 | 0.408 | | | |

Project: NAKHON PATHOM
 Subject: SEWER DESIGN
 Line : A-2
 DATE : 30-May-90

| Sub catchment No. | Location | | Area | | | Domestic flow | | | | Infiltration | | Design flow | | | | Sewer design | | | | Sewer layout | | | | | | | | | |
|-------------------|-----------|---------|----------------------|-----------------|------------------|-------------------------|-------------------|--------------------|------------------------|-------------------------|----------------|-------------------------|------------------------|----------------------------------|-------------------------|-------------------------|----------------------|---------------------------------|----------------------|---------------------------|--------------------|--------------------------|------------------------|---------------------|------------------|------------------|--------------|--------------|--|
| | From STA. | To STA. | Length of sewer (m.) | Increment (ha.) | Cum. total (ha.) | Pop. density (pers./ha) | Design Population | | Avg. unit flow (l/c/d) | Cum. avg. flow (cu.m/d) | Peaking factor | Cum. peak flow (cu.m/d) | Peak I/I allowance (%) | Cum. Peak I/I allowance (cu.m/d) | Waste | | Rain | | Design flow (cu.m/s) | Manning n = 0.015 | | Ground surface elevation | | Invert elevation | | | | | |
| | | | | | | | Increment (pers.) | Cum. Total (pers.) | | | | | | | Cum. peak flow (cu.m/d) | Cum. peak flow (cu.m/d) | Peak Runoff (cu.m/s) | Overflow pipe capacity (cu.m/s) | | Cum. Peak runoff (cu.m/s) | Pipe diameter (m.) | Slope (v/m) | Capacity full (cu.m/s) | Velocity full (m/s) | At upper manhole | At lower manhole | At upper end | At lower end | |
| 1/57-2 1/2 | 0.000 | 270.758 | 270.758 | 14.83 | 14.83 | 99 | 1468 | 1468 | 295 | 418.43 | 3.00 | 1255 | 20 | 251 | 1506 | 0.0174 | 1.624 | 0.588 | 1.036 | 1.036 | 1.20 | 0.00100 | 1.070 | 0.95 | 3.50 | 3.50 | 0.476 | 0.205 | |
| | 270.758 | 396.573 | 125.815 | 1.99 | 16.82 | 99 | 197 | 1665 | 285 | 474.58 | 3.00 | 1724 | 20 | 285 | 1708 | 0.0198 | 0.099 | 0.588 | 1.135 | 1.135 | 1.20 | 0.00125 | 1.196 | 1.06 | 3.50 | 0.00 | 0.205 | 0.048 | |
| | | | | | | | | | | | | | | | | | | | | | | | | | | | | | |
| | | | | | | | | | | | | | | | | | | | | | | | | | | | | | |
| | | | | | | | | | | | | | | | | | | | | | | | | | | | | | |
| | | | | | | | | | | | | | | | | | | | | | | | | | | | | | |
| | | | | | | | | | | | | | | | | | | | | | | | | | | | | | |
| | | | | | | | | | | | | | | | | | | | | | | | | | | | | | |
| | | | | | | | | | | | | | | | | | | | | | | | | | | | | | |
| | | | | | | | | | | | | | | | | | | | | | | | | | | | | | |
| | | | | | | | | | | | | | | | | | | | | | | | | | | | | | |
| | | | | | | | | | | | | | | | | | | | | | | | | | | | | | |
| | | | | | | | | | | | | | | | | | | | | | | | | | | | | | |
| | | | | | | | | | | | | | | | | | | | | | | | | | | | | | |
| | | | | | | | | | | | | | | | | | | | | | | | | | | | | | |
| | | | | | | | | | | | | | | | | | | | | | | | | | | | | | |
| | | | | | | | | | | | | | | | | | | | | | | | | | | | | | |
| | | | | | | | | | | | | | | | | | | | | | | | | | | | | | |
| | | | | | | | | | | | | | | | | | | | | | | | | | | | | | |
| | | | | | | | | | | | | | | | | | | | | | | | | | | | | | |
| | | | | | | | | | | | | | | | | | | | | | | | | | | | | | |
| | | | | | | | | | | | | | | | | | | | | | | | | | | | | | |
| | | | | | | | | | | | | | | | | | | | | | | | | | | | | | |
| | | | | | | | | | | | | | | | | | | | | | | | | | | | | | |
| | | | | | | | | | | | | | | | | | | | | | | | | | | | | | |

MH. No. 1

| | | |
|---------|---------|--------|
| 0.000 | 10.300 | 10.300 |
| 10.300 | 40.600 | 20.300 |
| 40.600 | 70.900 | 30.600 |
| 70.900 | 100.000 | 30.600 |
| 100.000 | 118.066 | 18.066 |
| 118.066 | 145.000 | 26.934 |
| 145.000 | 175.000 | 30.000 |
| 175.000 | 205.000 | 30.000 |
| 205.000 | 230.000 | 25.000 |
| 230.000 | 254.049 | 24.049 |
| 254.049 | 270.758 | 16.709 |
| 270.758 | 285.000 | 14.242 |
| 285.000 | 310.000 | 25.000 |
| 310.000 | 335.000 | 25.000 |
| 335.000 | 360.000 | 25.000 |
| 360.000 | 380.000 | 20.000 |
| 380.000 | 392.173 | 12.173 |
| 392.173 | 396.573 | 4.400 |

Calculation Sheets

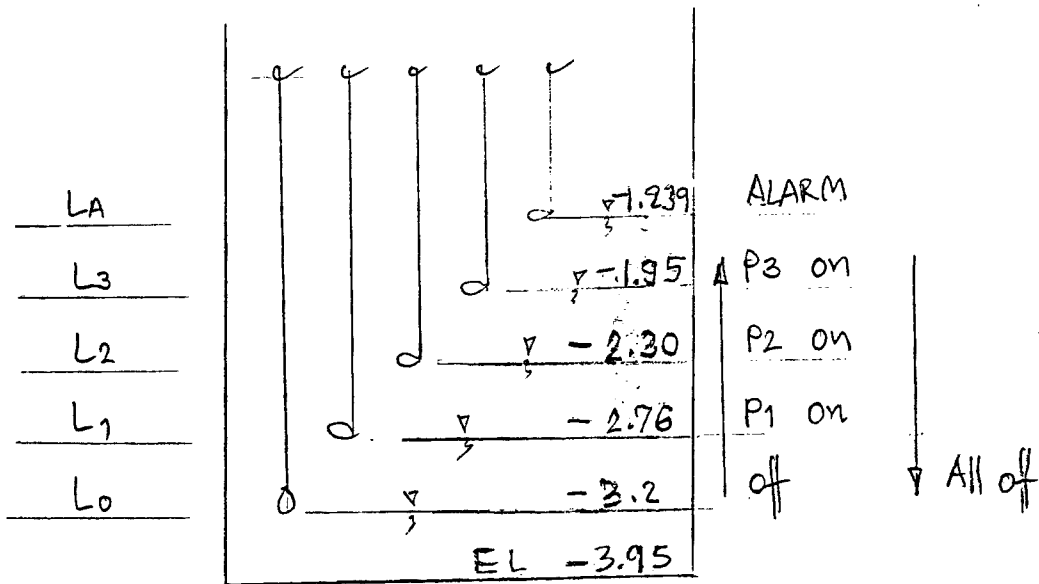
①

Design Data of Pumping Stations & Rising Main

| Description | Unit | PS. 1 | PS. 2 |
|----------------------------------|-----------------------|-----------|-----------|
| 1. Q_{peak} (B.E. 2553) | m^3/d | 3x 22,500 | 3x 30,678 |
| | l/s | 781.25 | 1,065.21 |
| 2. Interceptor | | | |
| • diameter | m | 1.20 | 1.20 |
| • invert elevation | MSL | -1.239 | -2,500 |
| 3. Ground elevation | MSL | +2,850 | +3,000 |
| 4. max. discharging elevation | MSL | +3,500 | +3,800 |
| 5. rising main distance | m | 183 | 2,944.50 |
| 6. no. of bend | unit | | |
| 70°-90° | | 1 | 6 |
| 30°-69° | | 10 | 14 |
| <30° | | 2 | 19 |

การคำนวณระดับน้ำ

Pumping Station no. 1



Concept :

| | | | |
|----------|---|-----|------|
| มี pump | 1 | ชุด | 100% |
| on duty | 3 | ชุด | |
| stand by | 1 | ชุด | |

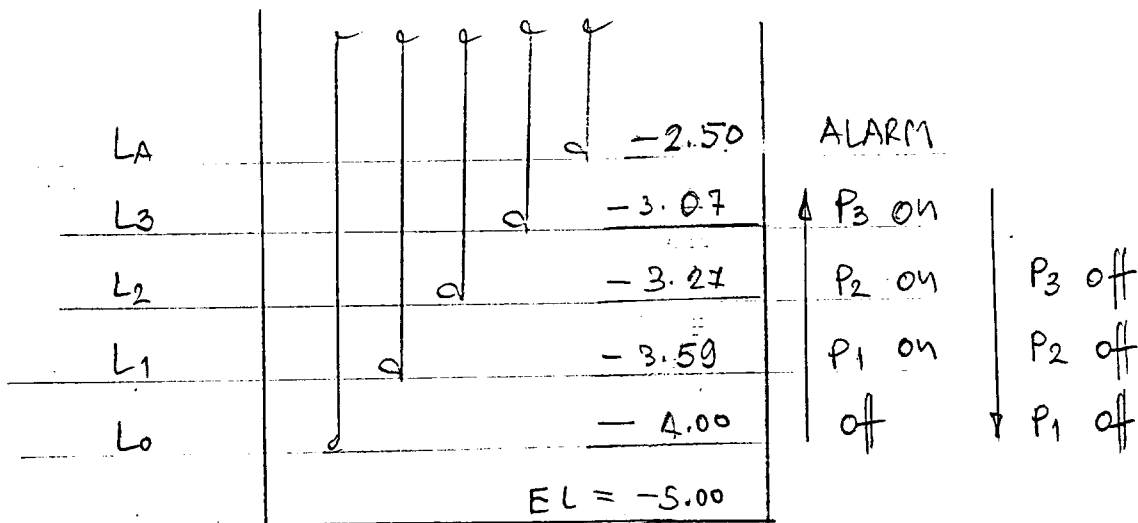
Design

1. ในการนี้ ระดับน้ำ ที่สูงเกิน ระดับ L1 ให้อัตโนมัติ ๑2 ชั่วโมง เพื่อ
 1 ชุด และ ระดับน้ำ เริ่มเกิน ไม่ตามลำดับ คือ P1, P2, P3 และ P4 เพื่อ
 ๑2 ชั่วโมง เมื่อ ระดับน้ำ เริ่มถึง ระดับ L1 และ ๑๒ ชั่วโมง เมื่อระดับน้ำ
 ลงถึง ระดับ L0

2. ในการนี้ ระดับน้ำ สูงกว่า L1 ให้อัตโนมัติ ๑๒ ชั่วโมง เริ่มทำงาน
 ที่เริ่มเกิน ๑๒ ชั่วโมง ตามระดับน้ำ สูงขึ้น จาก L1 เริ่ม L2 และ L3 งานทำงาน
 พร้อมกัน 3 ชุด และ เมื่อ ระดับน้ำ ลดลง ถึง ระดับ L0 pump ทุกตัวจะ
 หยุด พร้อมกัน และ เริ่มทำงานใหม่ เมื่อระดับน้ำ เริ่มขึ้นใหม่ เพื่อ เริ่มทำงาน สลับ
 กัน ดังนี้

ကမ္ဘောဇရေလှောင်ကန်

Pumping Station no. 2



Concept

| | | |
|----------|--------|-------|
| ရေ Pump | 4 နှစ် | တစ်ခု |
| on duty | 3 နှစ် | |
| stand by | 1 နှစ် | |

Design

1. အောက်ဖော်ပြပါ အဆင့်များတွင် ရေကန် L1 ကမ္ဘောဇရေလှောင်ကန်မှ ရေကို ဖြည့်ရန် ကမ္ဘောဇရေလှောင်ကန်မှ Pumping Station no. 1 မှ ရေကို ဖြည့်ရန်
2. အောက်ဖော်ပြပါ အဆင့်များတွင် ရေကန် L1 ကမ္ဘောဇရေလှောင်ကန်မှ ရေကို ဖြည့်ရန် အဆင့်များမှာ L1, L2, L3 နှင့် L0 ဖြစ်ပြီး ရေကန် L2 နှင့် L1 တို့သည် အဆင့်များတွင် ရေကို ဖြည့်ရန် အဆင့်များမှာ L2 နှင့် L1 တို့သည်

| | | | | | | | | |
|-----------|-------|----------------|----------------|----------------|------------|----------------|----------------|----------------|
| Cycle I | រថងក់ | L ₁ | L ₂ | L ₃ | រថងក់ | L ₂ | L ₁ | L ₀ |
| | កំហូរ | P ₁ | P ₂ | P ₃ | ឧទ្យោកំហូរ | P ₃ | P ₂ | P ₁ |
| Cycle II | រថងក់ | L ₁ | L ₂ | L ₃ | រថងក់ | L ₂ | L ₁ | L ₀ |
| | កំហូរ | P ₂ | P ₃ | P ₄ | ឧទ្យោកំហូរ | P ₄ | P ₃ | P ₂ |
| Cycle III | រថងក់ | L ₁ | L ₂ | L ₃ | រថងក់ | L ₂ | L ₁ | L ₀ |
| | កំហូរ | P ₃ | P ₄ | P ₁ | ឧទ្យោកំហូរ | P ₁ | P ₄ | P ₃ |
| Cycle IV | រថងក់ | L ₁ | L ₂ | L ₃ | រថងក់ | L ₂ | L ₁ | L ₀ |
| | កំហូរ | P ₄ | P ₁ | P ₂ | ឧទ្យោកំហូរ | P ₂ | P ₁ | P ₄ |

3. គណិតវិទ្យា រថ 3 របស់ pumping station no. 1 ខាងក្រុងភ្នំពេញ
 ឧទ្យោកំហូរ រថ 1 នៅ pumping station no. 1 ឧទ្យោកំហូរ រថងក់ 1
 pumping station no. 2 គណិតវិទ្យា រថងក់ 2 រថងក់ 2 រថងក់ 2
 រថងក់ 2 រថងក់ 2 រថងក់ 2 រថងក់ 2 រថងក់ 2 រថងក់ 2 រថងក់ 2

3.1 រថងក់ 2 រថងក់ 2 រថងក់ 2 រថងក់ 2 រថងក់ 2 រថងក់ 2 រថងក់ 2
 រថងក់ 2 រថងក់ 2 រថងក់ 2 រថងក់ 2 រថងក់ 2 រថងក់ 2 រថងក់ 2
 រថងក់ 2 រថងក់ 2 រថងក់ 2 រថងក់ 2 រថងក់ 2 រថងក់ 2 រថងក់ 2

3.2 រថងក់ 2 រថងក់ 2 រថងក់ 2 រថងក់ 2 រថងក់ 2 រថងក់ 2 រថងក់ 2
 រថងក់ 2 រថងក់ 2 រថងក់ 2 រថងក់ 2 រថងក់ 2 រថងក់ 2 រថងក់ 2
 រថងក់ 2 រថងក់ 2 រថងក់ 2 រថងក់ 2 រថងក់ 2 រថងក់ 2 រថងក់ 2

4. រថងក់ 2 រថងក់ 2 រថងក់ 2 រថងក់ 2 រថងក់ 2 រថងក់ 2 រថងក់ 2
 រថងក់ 2 រថងក់ 2 រថងក់ 2 រថងក់ 2 រថងក់ 2 រថងក់ 2 រថងក់ 2
 រថងក់ 2 រថងក់ 2 រថងក់ 2 រថងក់ 2 រថងក់ 2 រថងក់ 2 រថងក់ 2
 រថងក់ 2 រថងក់ 2 រថងក់ 2 រថងក់ 2 រថងក់ 2 រថងក់ 2 រថងក់ 2

រថងក់ 2 រថងក់ 2 រថងក់ 2 រថងក់ 2 រថងក់ 2 រថងក់ 2 រថងក់ 2
 រថងក់ 2 រថងក់ 2 រថងក់ 2 រថងក់ 2 រថងក់ 2 រថងក់ 2 រថងក់ 2
 រថងក់ 2 រថងក់ 2 រថងក់ 2 រថងក់ 2 រថងក់ 2 រថងក់ 2 រថងក់ 2

Calculation

(b)

Pumping Station no. 1

1. Modified H-Q Curve

From Hazen-William formular

$$Q = 0.285 C d^{2.63} S^{0.54}$$

C = steel pipe, 120

d = discharge pipe diameter of each pump, 14"

L = total equivalent length

elbow = $2 \times 10.7 = 21.4$ m.

check valve = 27.4 "

gate valve = 2.4 "

sudden enlargement = 6.7 "

pipe = $\frac{6.1}{15.85}$ "

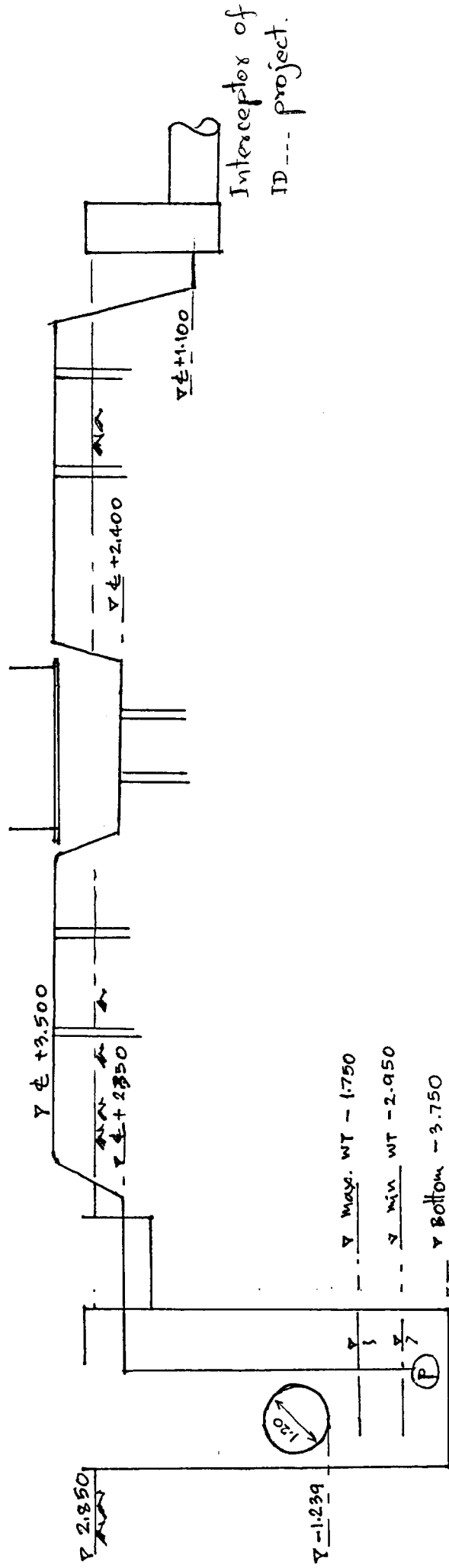
64 "

$$Q = \frac{0.285 \times 120 \times 14^{2.63}}{15.85} \left(\frac{h}{64}\right)^{0.54}$$

$$Q, \text{ l/sec} = 236.03 h^{0.54}$$

| Q, l/sec | h, m |
|----------|------|
| 0 | 0 |
| 100 | 0.20 |
| 200 | 0.74 |
| 300 | 1.56 |
| 400 | 2.66 |

Dimensions



Interceptor of
ID --- project.

Diagram of PS.1 Rising Main.

Details of Modified H-Q Curve

| $Q, \text{ l/s}$ | $H, \text{ m}$ |
|------------------|------------------|
| 0 | H_0 |
| 100 | $H_{100} - 0.20$ |
| 200 | $H_{200} - 0.71$ |
| 300 | $H_{300} - 1.56$ |
| 400 | $H_{400} - 2.66$ |

When $H_0, H_{100} \dots H_{400}$ are heads of selected pump at discharge of 0, 100 ... 400 l/sec.

2. System Head Curve

From Hazen-William formular

$$Q = 0.285 C d^{2.63} S^{0.54}$$

C = steel pipe 120

d = rising main diameter, 24"

L = total equivalent length

| | | | |
|------------|---|---------------------------|----------|
| elbow | = | 18.3 | m |
| ≈ 45° bend | = | 10 × 9.15 | = 91.5 m |
| < 30° bend | = | $\frac{2 \times 9.15}{2}$ | = 9.2 m |
| pipe | = | 183 | m |
| | | <hr/> | |
| | | 302 | m |

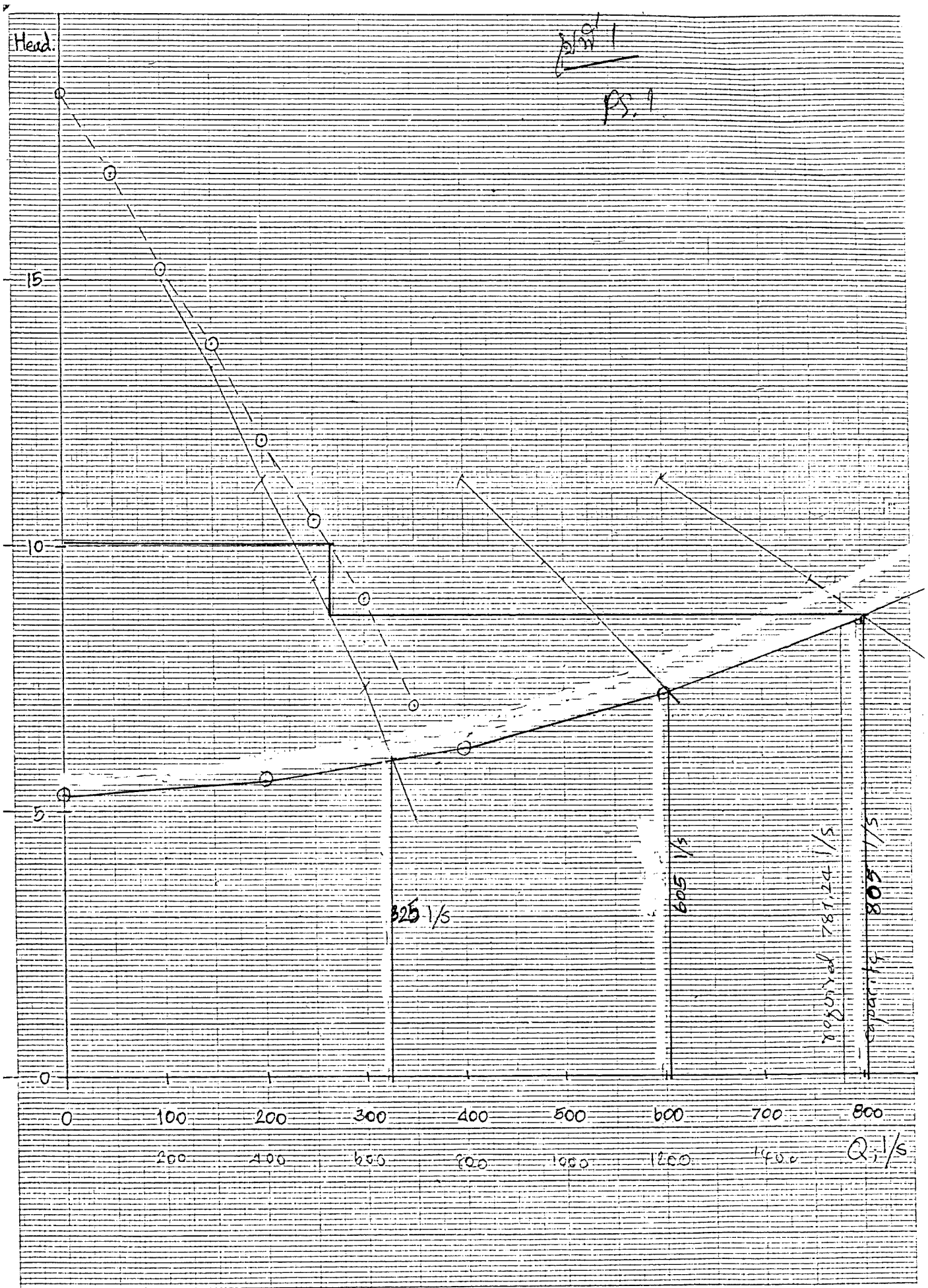
$$Q = \frac{0.285 \times 120 \times 24^{2.63}}{15.85} \left(\frac{h}{302} \right)^{0.54}$$

$$= 121.15 h^{0.54}$$

static head = 3500 + 1750 = 5.25 m sag 5.30 m.

∴ total head = static head + h

| Q, l/sec | H, m |
|----------|-------|
| 0 | 5.30 |
| 200 | 5.55 |
| 400 | 6.21 |
| 600 | 7.22 |
| 800 | 8.58 |
| 1,000 | 10.25 |



3. Sump Volume

(11)

From H-Q curve and system head curve : given

$$1 \text{ pump operation : } \dot{Q} = 325 \text{ l/s}$$

$$3 \text{ pump operation : } \dot{Q} = 805 \text{ "}$$

$$\text{factor } P = \frac{3 \times 325}{805} = 1.2$$

From chart: minimum sump volumes

at $p = 1.2$, 10 start/hr.

$$\frac{V_{\text{Total}}}{Q_{\text{peak}}} = 35$$

$$V_{\text{Total}} = \frac{35 \times 805}{1000} = 28.2 \text{ m}^3$$

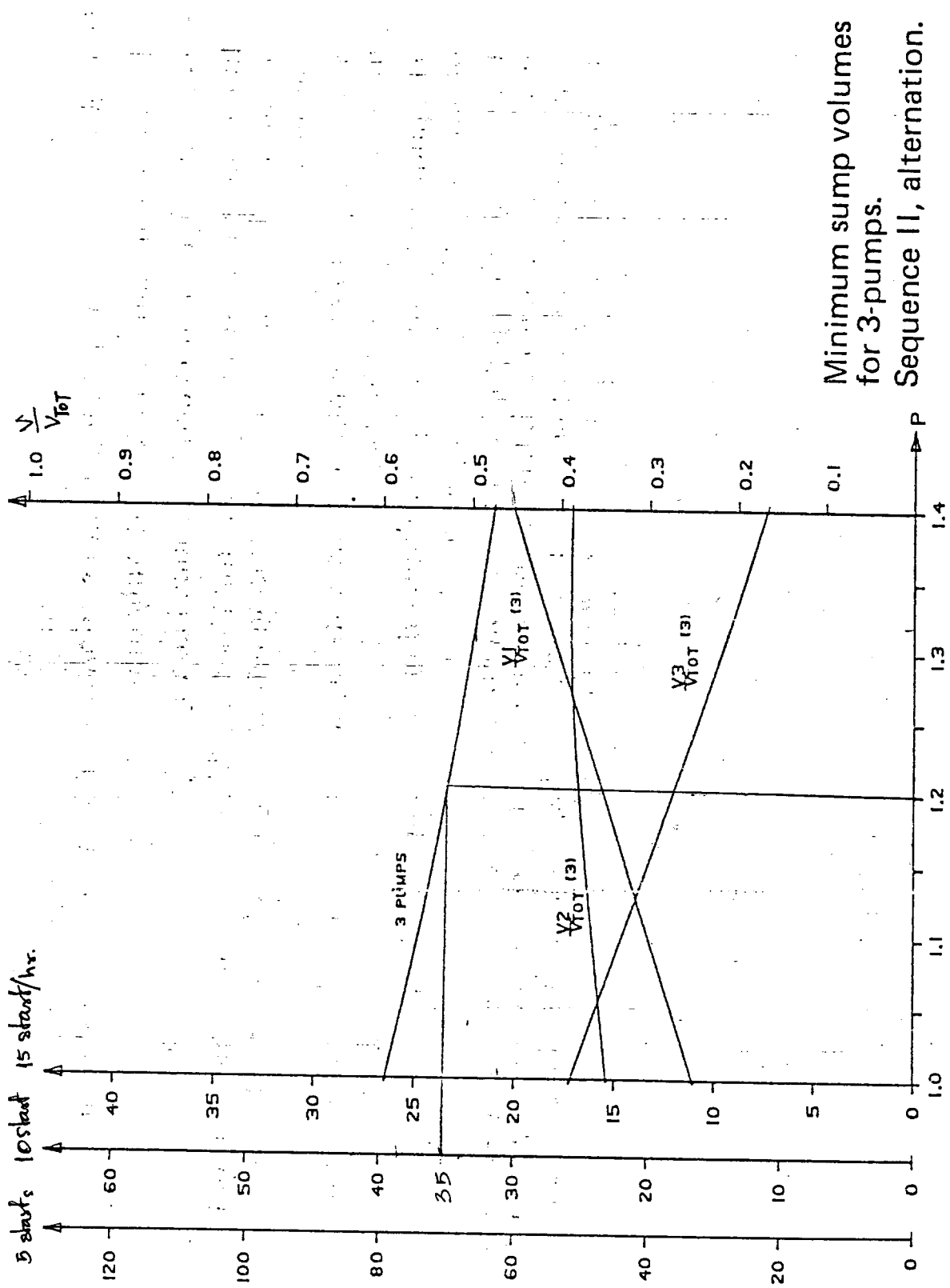
$$\text{sump dimension} = 7.50 \times 3.0 \text{ m.}$$

$$\therefore \text{ WW depth} = \frac{28.2}{7.5 \times 3} = 1.25 \text{ m.}$$

$$\text{storage depth} = 0.70 \text{ m.}$$

$$\therefore \text{ total WW. depth} = 1.25 + 0.70 = 1.95 \text{ m.}$$

$$\text{Say } 2.00 \text{ m.}$$



3 pumps 10 stand 15 stand/hr.

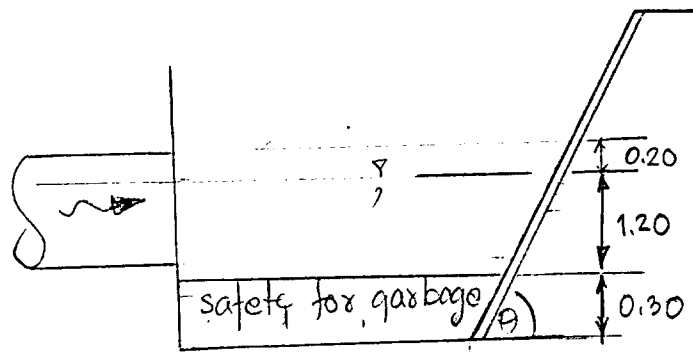
$$\frac{V_{TOT}}{Q_p}$$

Handwritten signature

Minimum sump volumes for 3-pumps. Sequence II, alternation.

4. Screening

(13)



Head loss through screening :

$$h = \beta \left(\frac{w'}{b} \right)^{4/3} \frac{v^2}{2g} \sin \theta$$

$\beta = 2.42$, a bar-shape factor for sharp edged rectangular.

w' = maximum cross-sectional width of bar facing direction of flow = 0.012 m.

b = minimum clear spacing of bar = 0.05 m.

v = velocity of flow approaching rack
= 0.6 m/s

g = gravity acceleration , 9.81 m/sec²

θ = angle of rack with horizontal , 60°

$$\therefore h = 2.42 \left(\frac{0.012}{0.05} \right)^{4/3} \frac{0.6^2}{2 \times 9.81} \sin 60^\circ$$

$$= 5.71 \times 10^{-3} \text{ m}$$

From head loss formula

$$h = \left(\frac{V^2 - v^2}{2g} \right)^{0.7}$$

When v = velocity through screen, m/s

$$\therefore v = \left[0.6^2 - (5.74 \times 10^{-3} \times 2 \times 9.81 \times 0.7) \right]^{\frac{1}{2}}$$

$$= 0.53 \text{ m/s}$$

Screening Dimension

$$WD \left(\frac{b}{w'+b} \right) = \frac{Q}{v}$$

W = total width of screen

Q = flow approaching rack = 67,477.32 m³/d
= 0.781 m/s

D = water depth in front of rack.
= 1.20 m.

$$\therefore W = \frac{0.781}{0.53} \times \left(\frac{0.05+0.012}{0.05} \right) \times \left(\frac{1}{1.20} \right) = 1.52 \text{ m}$$

USE $W = 1.80 \text{ m}$

$\therefore D = 1.0 \text{ m}$ OK

Calculation

Pumping Station no. 2

1. Modified H-Q Curve

$$Q = 0.285 C d^{2.63} S^{0.54}$$

C = steel pipe, 120

d = discharge pipe diameter of each pump = 12"

L = total equivalent length

| | | | | | |
|--------------------|---|----------|---|-------------|---|
| elbow | = | 2 x 9.75 | = | 19.50 | m |
| check valve | = | | | 21.40 | " |
| gate valve | = | | | 2.10 | " |
| sudden enlargement | = | | | 7.60 | " |
| pipe | = | | | <u>6.50</u> | " |
| | | | | 60.10 | " |

$$Q = \frac{0.285 \times 120 \times 12^{2.63}}{15.85} \left(\frac{h}{60.10} \right)^{0.54} = 162.8 h^{0.54}$$

| Q, l/s | h, m |
|--------|-------|
| 0 | 0 |
| 100 | 0.41 |
| 200 | 1.46 |
| 300 | 3.10 |
| 400 | 5.28 |
| 500 | 7.99 |
| 600 | 11.20 |
| 700 | 14.90 |

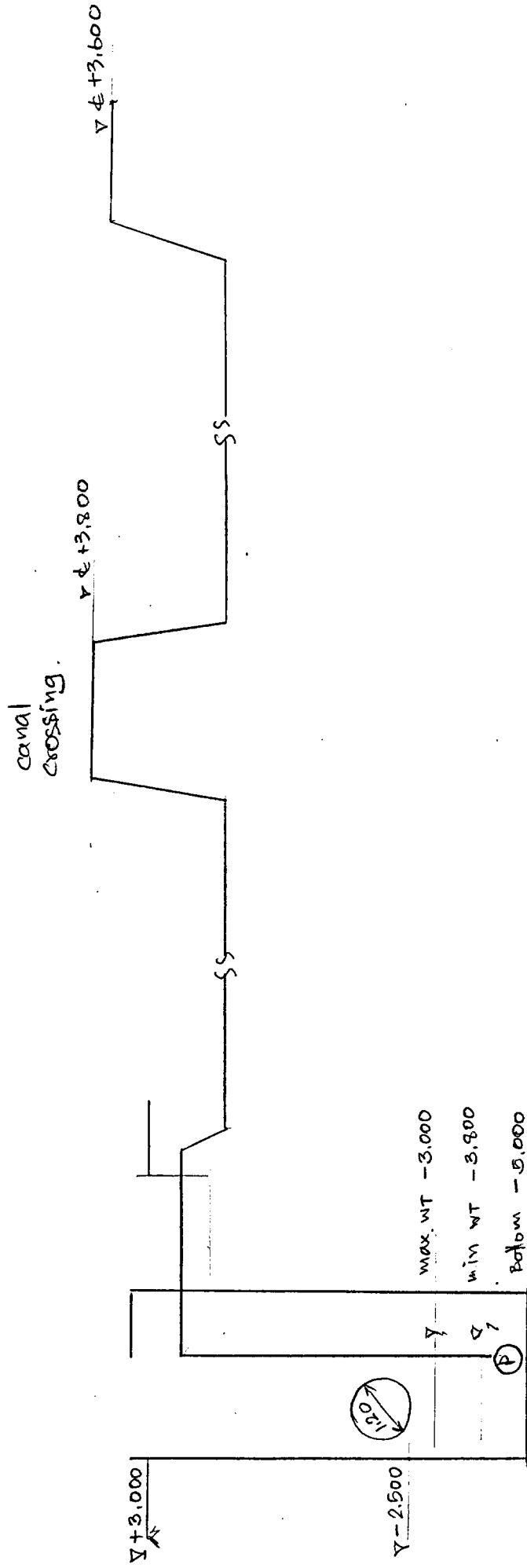


Diagram of P.S. 2 Rising Main.

Modified H-Q curve

| Q, l/s | H, m |
|--------|-------------------|
| 0 | H_0 |
| 100 | $H_{100} - 0.41$ |
| 200 | $H_{200} - 1.26$ |
| 300 | $H_{300} - 3.10$ |
| 400 | $H_{400} - 5.28$ |
| 500 | $H_{500} - 7.99$ |
| 600 | $H_{600} - 11.20$ |
| 700 | $H_{700} - 14.90$ |

When $H_0, H_{100}, \dots, H_{700}$ are heads of selected pump at discharge of 0, 100... 700 l/s.

2. System Head Curve

From Hazen-William formulae

$$Q = 0.285 C d^{2.63} S^{0.54}$$

C = steel pipe : 120

d = rising main diameter, 32"

L = equivalent length

$$70-90^\circ \text{ bend} = 6 \times 73.15 = 146.30 \text{ m.}$$

$$30-69^\circ \text{ bend} = 14 \times 12.20 = 170.80 \text{ "}$$

$$<30^\circ \text{ bend} = 19 \times 6.10 = 115.90 \text{ "}$$

$$\text{pipe} = \underline{2,944.50 \text{ "}}$$

$$3,377.50 \text{ "}$$

$$Q = \frac{0.285 \times 120 \times 32^{2.63}}{15.85} \left(\frac{h}{3,377.50} \right)^{0.54} = 243,84 h^{0.54}$$

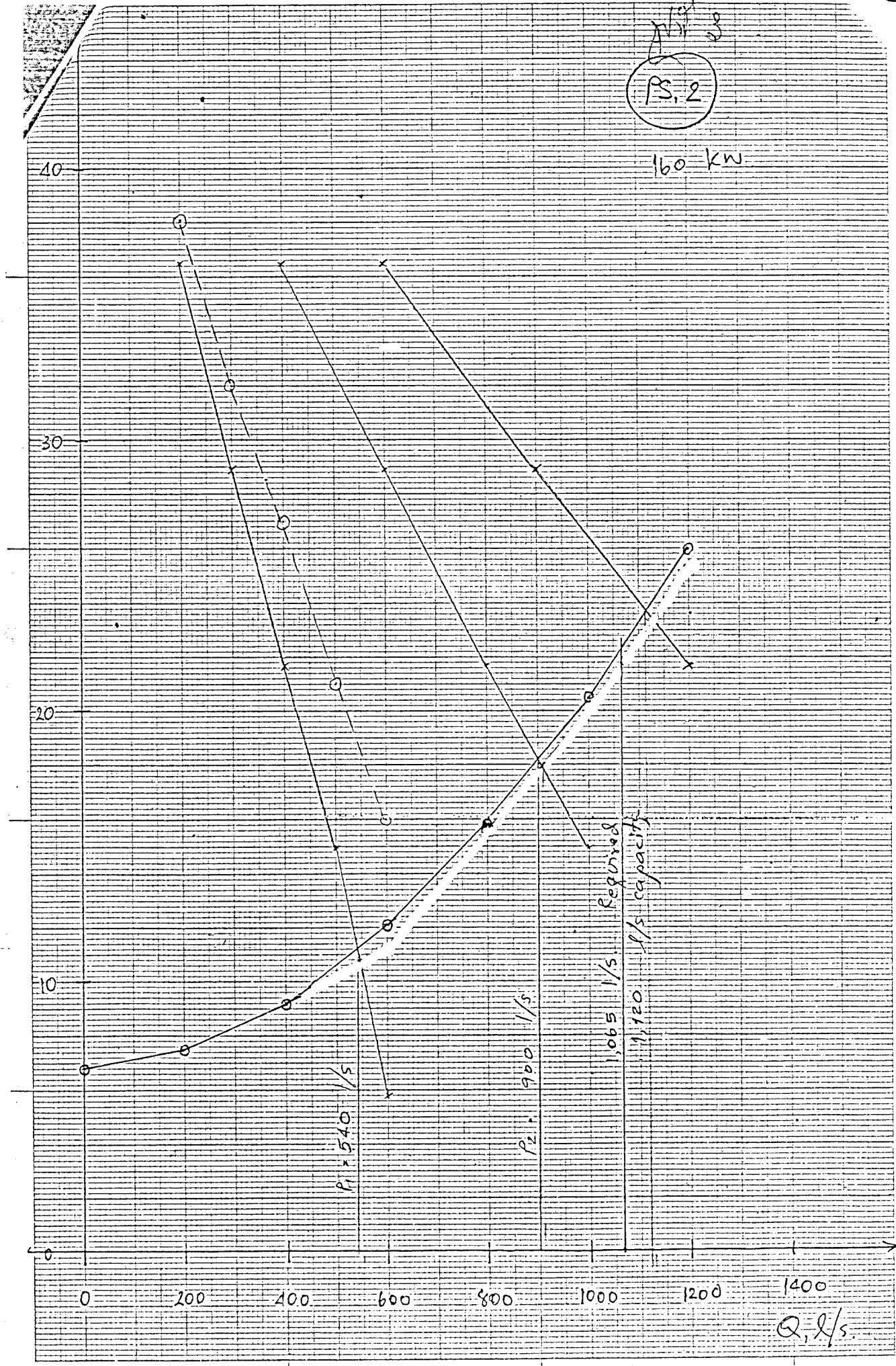
static head = 3.800 + 3.00 = 6.80 m.

total head = static head + h

| Q, l/s | H |
|--------|-------|
| 0 | 6.80 |
| 200 | 7.49 |
| 400 | 9.31 |
| 600 | 12.11 |
| 800 | 15.84 |
| 1,000 | 20.47 |
| 1,200 | 25.96 |

PS. 2

160 kW



3. Sump Volume

From H-Q curve and system head curve.
given

- 1 pump operation : Q = 540 l/s
- 3 pump operation : Q = 1,120 "

$$\text{factor } P = \frac{3 \times 540}{1,120} = 1.45$$

From chart : minimum sump volumes
dt : p = 1.45 , 10 start / hrs.

$$\frac{V_{\text{total}}}{Q_{\text{peak}}} = 30$$

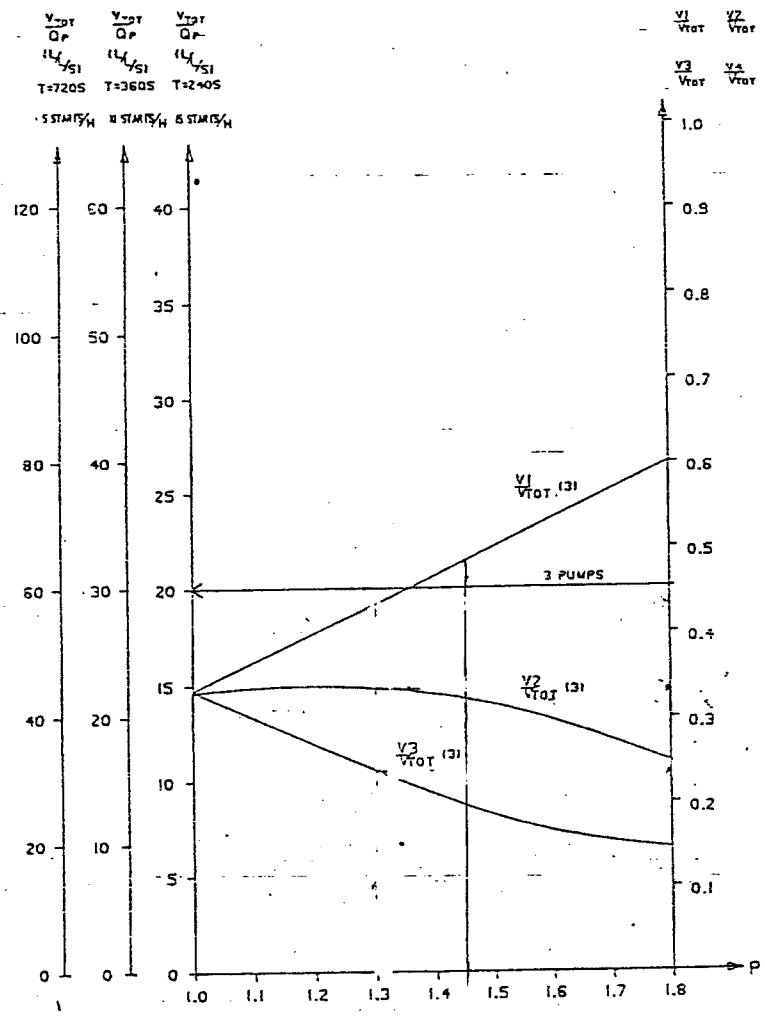
$$V_{\text{total}} = \frac{30 \times 1,120}{1,000} = 33.6 \text{ m}^3$$

$$\text{selected sump dimension} = 9.0 \times 4.80 \text{ m.}$$

$$\therefore \text{ww. depth} = \frac{33.6}{9 \times 4.8} = 0.8 \text{ m.}$$

$$\text{storage depth} = 1.20 \text{ m.}$$

$$\text{Total ww. depth} = 1.20 + 0.80 = 2.00 \text{ m.}$$



4. Screening

Same as PS.1 screen

check D:

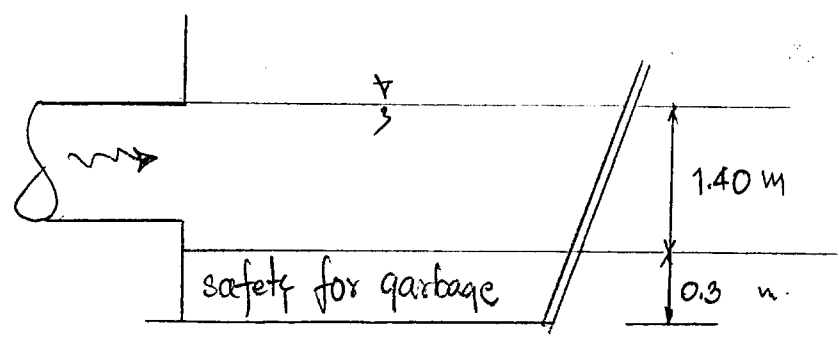
$$wD \frac{b}{w+D} = \frac{Q}{v}$$

$$Q = 92,031 \text{ m}^3/\text{d}$$

$$= 1.065 \text{ m/s}$$

$$W = 1.80 \text{ m.}$$

$$\therefore D = \frac{1.065}{0.53} \times \frac{0.05+0.012}{0.05} \times \frac{1}{1.80} = 1.40 \text{ m.}$$



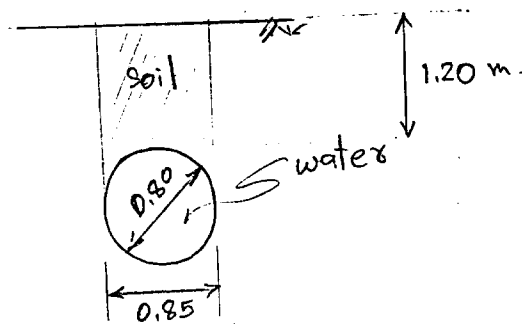
5. Restrained Length of underground rising main

From formulae.

$$L = \frac{PA(1 - \cos \theta)}{f(\Sigma W)}$$

- L = restrained length
 P = water pressure = 30 m. water
 A = cross section area of rising main
 f = friction coefficient = 0.30
 ΣW = total weight
 = water in pipe + soil over pipe + selfweight
 θ = deflection angle

for max. restrained length. : $\theta = 90^\circ$

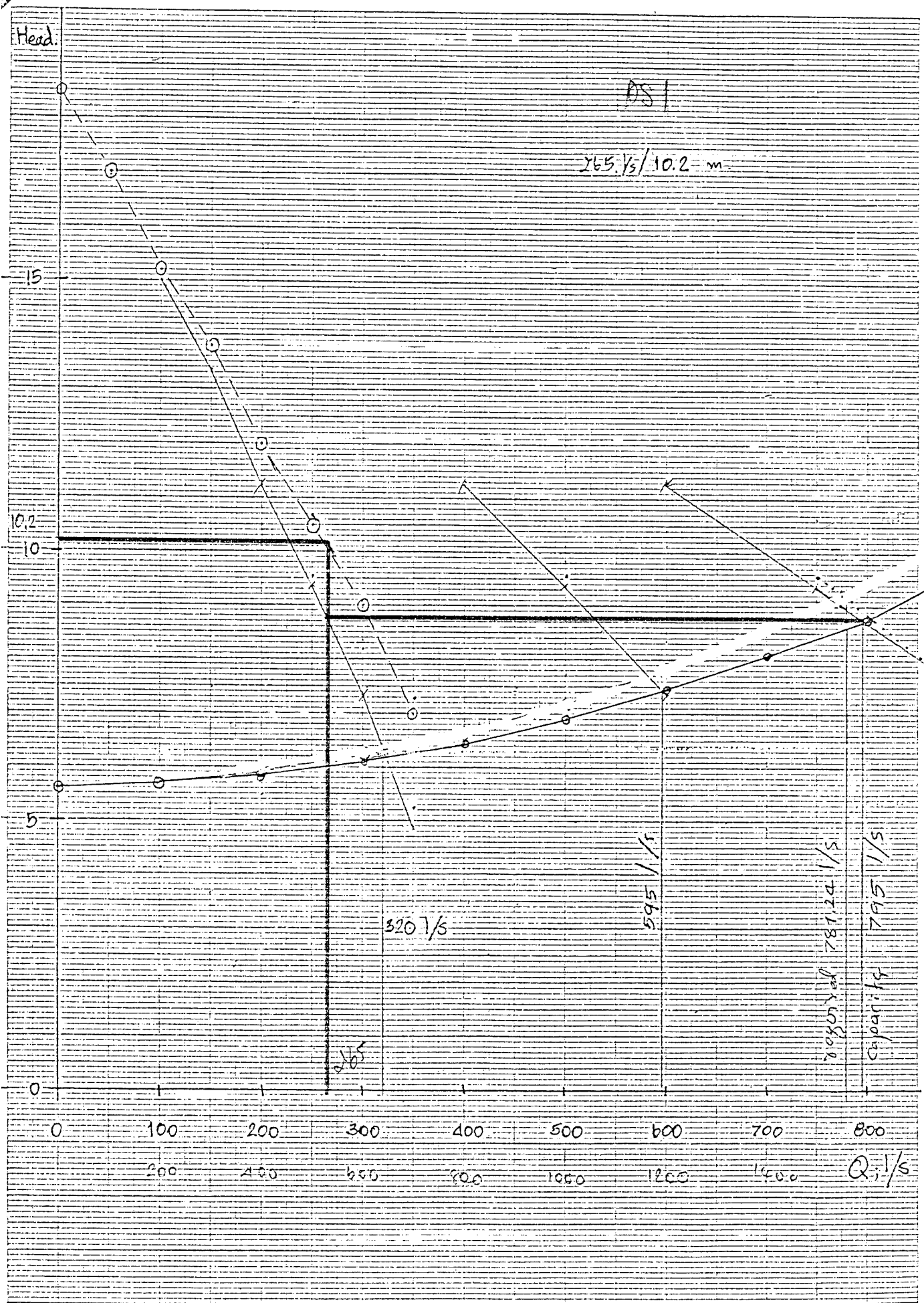


$$\begin{aligned}
 \text{water weight} &= \frac{\pi}{4} 0.8^2 \times 1000 = 503 \text{ kg/m} \\
 \text{soil weight} &= (1,800 - 1,000) 0.85 \times 1.20 = 816 \text{ kg/m} \\
 \text{self weight} &= 300 \text{ kg/m} \\
 \therefore \Sigma W &= 1,619 \text{ kg/m}
 \end{aligned}$$

$$L = \frac{30 \times 10^3 \times \frac{\pi}{4} 0.8^2}{0.3 \times 1619} = 31 \text{ m.}$$

At deflection angle = 45°

$$L = 31(1 - \cos 45^\circ) = 9.10 \text{ m.}$$



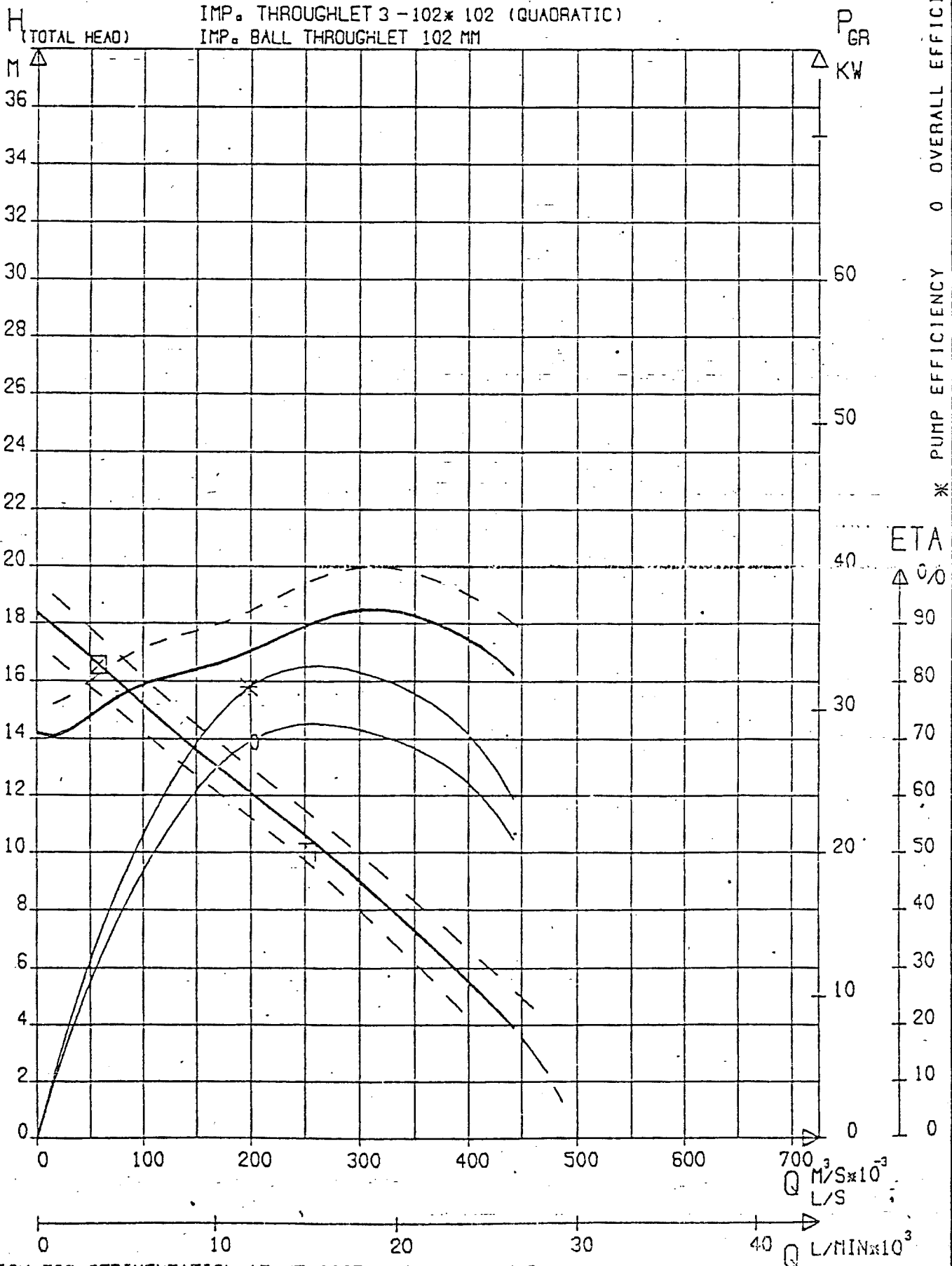
FLYGT

PERFORMANCE CURVE

| | | | |
|-------------------|-------------|------|----|
| PRGD | CP 3300.180 | TYPE | LT |
| CURVE NO | | | |
| 53-802-0-6010 | | | |
| COMMENTS | | | |
| IMP. DIAM. 455 MM | | | |

| | | | | |
|-------------|---------|------------------|---------------------|------------|
| DATE | QN M3/S | HN M | ETA MAX | ETA GR MAX |
| 1985-03-11 | 0.2594 | 10.3 | 83 0/0 | 73 0/0 |
| ID NO | VCLT | MAX AMP | P GR MAX WATT | |
| 84052415154 | 380 | 70.17 | 36971 | |
| ISSUE | TESTS | IMPELLER PART NO | PUMPHOUSING PART NO | |
| 1 | 4 | 435 14 11 | 319 34 00 | |

ACCEPTANCE-TEST IN ACC. WITH ISO 2548 (FLYGT(404) A 3204.1)



RISK FOR SEDIMENTATION AT VELOCITY BELOW 0.60 M/S
CHANCE TO SMALLER PIPE DIAM. AT POINT X (STANDARD DIAM 350 MM)

3300.180 Technical Specifications

The Flygt 3300.180 submersible pump with a capacity of up to 400 l/s covers a number of applications.

The electric motor and the pump comprise a compact and robust unit which requires little space and is easy to handle.

The pumped liquid may contain particles up to a size which corresponds to the throughlet of the pump.

The C version is designed to pump liquid containing solid particles, such as waste water.

For pumping salt water or corrosive liquids in industrial applications, the C version is available in some models in *bronze* or stainless steel respectively.

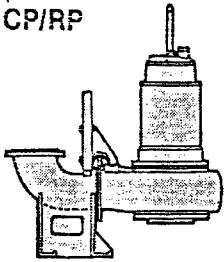
The R version with high efficiency is used for pumping clean or raw water.

The L version, is used for land drainage, reclamation and dam projects. The pump section, which contains a two-vane impeller combined with a diffuser with three guide vanes, is connected (nominal diameter 600 mm) on the suction side. The diffuser slows up the rotation of the water and directs it outwards and upwards.

INSTALLATION ALTERNATIVES

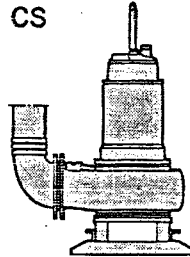
The pump is submersible, compact and it is simple to install. The different models are available in one or more versions, depending on the type of installation.

CP/RP



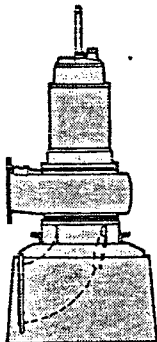
This system with guide bar and discharge connection permits automatic connection of the pump to the discharge line. The pump can be lifted up for inspection without anyone having to climb down into the sump. The pump works completely or partially submerged.

CS



A portable pump intended for operating completely or partially submerged in the pumped liquid. It is equipped with base stand and hose connection.

CT/RT



The pump is installed dry on a concrete base and is connected directly to the inlet and outlet lines. The submersible design of the pump prevents damage in the event of flooding.

LL

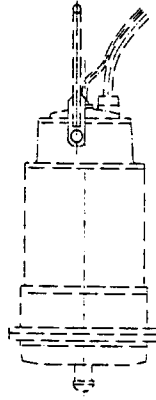


The pump is installed in a station which consists of two sections, a lower inlet section and an upper outlet section, divided by an intermediate deck. The pump is placed in a hole in the intermediate deck, whereby the diffuser rests on a plate against which it is sealed by a rubber ring. The pump is lowered and hoisted by means of a simple lifting arrangement. The pump operates completely submerged.

Different versions of the hydraulic section

Depending on desired performance, the pump is available for clean water, waste water and sludge in low-, medium- and high-head versions, as well as a special high-head R version for clean and raw water.

The L version, also intended for raw water, is available in a low-head version.



C version

| | | Impeller | | |
|---|---|---|-----------------|-------------------------|
| | | Curve No. | Number of vanes | Throughlet mm |
| LT low-head version for CP, CT and CS installation | | 801—807 | 3 | Square 102 |
| MT medium-head version for CP, CT and CS installation | | 632 | 1 | Circular 190 |
| | | 636 | 1 | Elliptical 176 x 180 |
| | | 638 | 1 | 150 x 180 |
| | | 640 | 1 | 134 x 180 |
| | | 641* | 2 | Square 100 |
| | | 642* | 2 | 100 |
| | | 644* | 2 | 100 |
| | | 646* | 2 | 100 |
| | | 648* | 2 | 100 |
| | | HT high-head version for CP, CT and CS installation | | 452 |
| 454 | 1 | | | 76 x 90 |
| 460—468 | 2 | | | Square 76 |

* Impeller available in stainless steel.

R version

| | | Impeller | | |
|---|--|-----------|-----------------|---------------|
| | | Curve No. | Number of vanes | Throughlet mm |
| HT high-head version for RP and RT installation | | 480 | 6 | Square 37 |
| | | 484 | 6 | 32 |

L version

| | | Impeller | | |
|--|--|-----------|-----------------|-------------------------|
| | | Curve No. | Number of vanes | Throughlet mm |
| LT low-head version with guide vanes for LL installation | | 612 | 2 | Elliptical 146 x 180 |
| | | 614 | 2 | 132 x 170 |
| | | 616 | 2 | 125 x 160 |
| | | 812 | 2 | 146 x 180 |
| | | 814 | 2 | 132 x 170 |
| | | 816 | 2 | 125 x 160 |

TECHNICAL DATA

| Pump type | Motor: Squirrel-cage, 3-phase AC motor Insulation class F 50 Hz | | | | | | | Power cable* | | | | | |
|---|--|------------|---------------|--------------|--------------|--------------|--------------|--|--|--|--|--|--|
| | Rated power | | Rated current | | | | | Direct on-line start | | | Star-delta start | | |
| | kW | rev/min | 220 V | 380 V | 415 V | 500 V | 660 V | 220 V | 380— 500 V | 660 V | 220 V | 380— 500 V | 660 V |
| C version CP, CT, CS-3300, LT L version LL-3300, LT | 20 37 | 730 725 | 78 A 138 A | 44 A 80 A | 40 A 73 A | 33 A 61 A | 25 A 46 A | 4 × 25 mm ² 4 × 25 mm ² | 4 × 10 mm ² 4 × 10 mm ² | 4 × 10 mm ² 4 × 10 mm ² | 4 × 10 mm ² 4 × 10 mm ² | 4 × 10 mm ² 4 × 10 mm ² | 4 × 10 mm ² 4 × 10 mm ² |
| C version CP, CT, CS-3300, LT, MT L version LL-3300, LT | 44 | 970 | 144 A | 83 A | 76 A | 63 A | 48 A | 4 × 35 mm ² | 4 × 25 mm ² | 4 × 10 mm ² | 4 × 25 mm ² | 4 × 25 mm ² | 4 × 10 mm ² |
| C version CP, CT, CS-3300, HT, LT, MT | 34 | 970 | 116 A | 67 A | 62 A | 51 A | 39 A | 4 × 35 mm ² | 4 × 16 mm ² | 4 × 10 mm ² | 4 × 16 mm ² | 4 × 10 mm ² | 4 × 10 mm ² |
| C version CP, CT, CS-3300, HT R version RP, RT-3300, HT | 54 | 1470 | 180 A | 105 A | 96 A | 80 A | 61 A | 4 × 35 mm ² | 4 × 35 mm ² | 4 × 16 mm ² | Autotransformer start only | | |

* For details of local cable requirements contact your local Flygt agent.

Weights

Weight without motor cable in kg.

| Pump type | Pump unit | Discharge connection |
|--|--------------------------------|--|
| CP 3300 LT CP 3300 MT CP 3300 HT | 1090 1120 930 | 210 205 66 |
| CS 3300 LT CS 3300 MT CS 3300 HT | 1145 1218 1425 1008 1135 | incl. base stand incl. hose conn. and base stand |
| RP 3300 HT | 930 | Discharge connection 66 |
| CT 3300 LT CT 3300 MT kruva 632—640 CT 3300 MT kurva 641—642 CT 3300 HT | 1320 1350 1275 1040 | incl. inlet bend and base stand |
| RT 3300 HT | 1210 | |
| LL 3300 LT | 755 | — |

Access frame with cover: 138 kg.

Materials

| | | BS | DIN |
|--|---|------------------|-----------------------|
| Cast parts in all versions: | Cast iron | 1452 Grade 14 | 1691 GG 20 |
| Shaft: | Carbon steel | 970 En 5 c | 17200 C 35 |
| Studs, nuts, screws and washers: | Stainless steel | 304 S 15 | 17440 X5 CrNi 18/9 |
| Lifting handle and casing: | Galvanized steel | 970 En 3 | 17100 St 37 |
| O-rings: | Nitrile rubber (70° IRH) | | |
| Stationary wear ring: | Brass or nitrile-rubber-clad steel | 1400 LG 2 | 1705 Rg 5 |
| Rotating wear ring: | Stainless steel | 304 S 15 | 17440 X5 CrNi 18/9 |
| Mechanical shaft seals: | | | |
| — upper | Carbon/tungsten carbide | | |
| — lower | Tungsten carbide/tungsten carbide | | |
| Surface treatment | | | |
| Impeller, special for raw and clean water: | Primed | | |
| Impeller, two-vane for high-head version: | Primed | | |
| Impeller, other versions: | Coated with amide plastic, RILSAN | | |
| Outer casing: | The outer casing is primed with PVC Epoxy and then painted with black chloric rubber paint. | | |

Practical limitations

- The 3300 is also available in 60 Hz.
- The 3300 in its standard version can pump liquids at temperatures of up to 40°C (~105°F).
- The pump can be submerged down to 20 m (65 ft) below the surface.
- The pump section, including seals, is designed for working pressures of up to 0.9 MPa.
- The motors are designed to supply their rated outputs at deviations of up to ±5% of the rated frequency and voltage. Voltage variations of up to ±10% are possible without overheating.
- The 3300 can be started up to 15 times per hour.
- Starting methods: Direct on-line start or star-delta start.
- The pump shall not be used in explosive or flammable environments or with flammable liquids.

Impeller of stainless steel

The C version's closed two-vane impellers, curves 641—648, are also available in stainless steel, grade DIN 17440 X8 CrNiMo 27 5 or DIN 17440 X5 CrNiMo 18 12 (BS En 58 J).

DESIGN

1. Junction box

The junction box is completely sealed off from the surrounding liquid.

2. Cooling

A built-in cooling system enables the pump to work continuously at its rated output regardless of whether the electric motor is above or below the surface of the liquid.

A portion of the pumped liquid is circulated from the pump casing up between the cooling jacket and the stator casing and carries away the heat generated by the motor.

Where external cooling is required, the cooling jacket can be sealed off from the pump casing and connected to a separate cooling system.

The lift model has no cooling jacket, the stator being cooled by the liquid circulating around the pump.

3. Motor

Flygt motors are tested according to IEC 34-1. Motor insulation to Class F means a maximum working temperature of 155°C (310°F) and permits a temperature rise of 100°C (210°F).

The temperature rise in Flygt motors does not normally exceed 80°C (175°F). The insulation material is chosen with the greatest care, and most materials are classified as Class H 180°C (355°F) materials or very close to Class H. This means an expected service life far beyond what is required for Class F.

4. Bearings

The upper bearing consists of a roller bearing and the lower bearing is a two-row angular contact ball bearing.

5. Shaft seals

3300.180 has two mechanical seals.

The seals work independently of each other and seal off the motor from the pump section casing.

6. Oil casing

The oil lubricates and cools the seals and acts as a buffer between the pumped liquid and the electric motor.

Pressure build-up within the oil casing is reduced by means of a built-in air volume.

7. Impellers

The pump is available with the following types of impellers: single-vane impeller, two-vane impeller, three-vane impeller or multi-vane impeller.

8. Wear rings

The pump casing bottom and the impeller are equipped with easily replaceable wear rings.

Monitoring system

The stator incorporates three thermal switches connected in series.

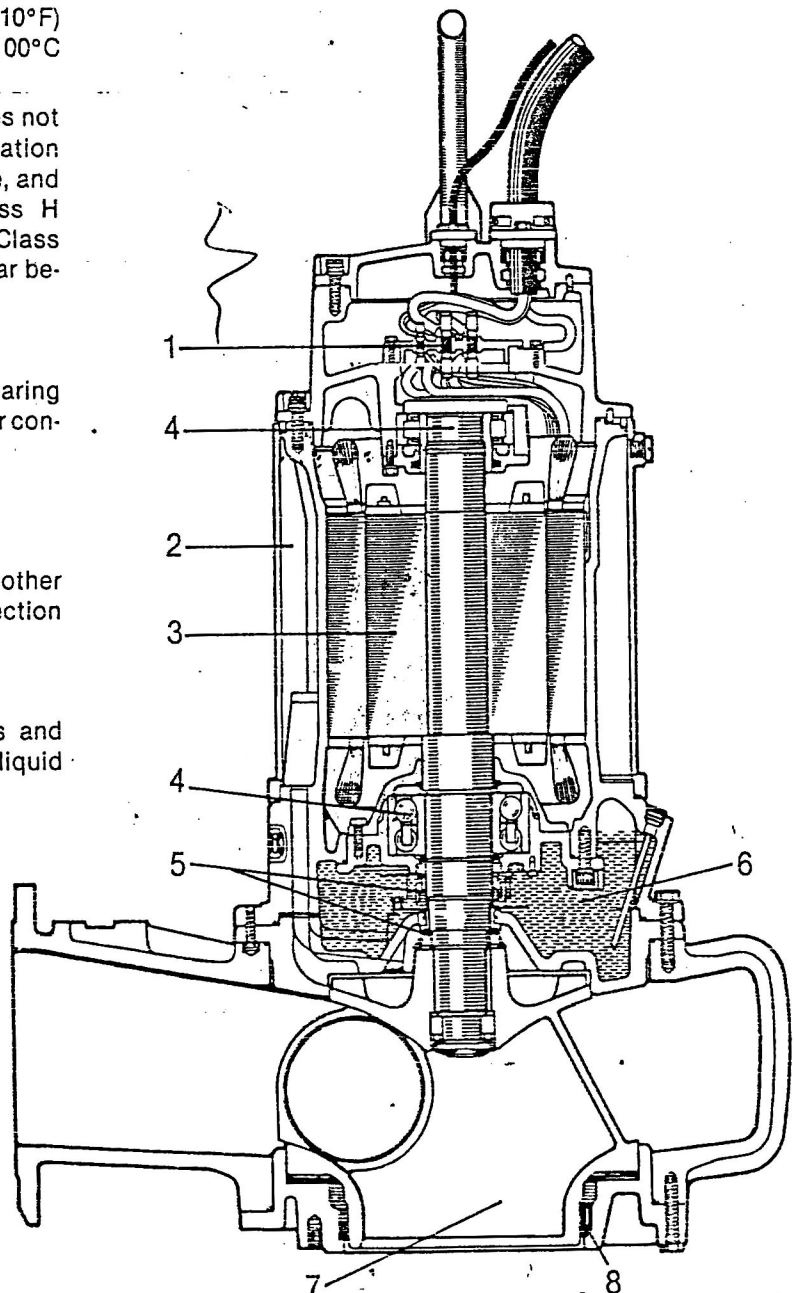
The thermal switches open at 125°C (255°F). 3300.180 is available with built-in leakage sensors for sensing the presence of any water in the oil and/or stator housing.

Special executions

This size pump is available in special executions for:

- explosive environments approved according to PTB, BASEEFA or NEC by FM certified (3300.180 in its standard version is CSA approved).
- pumping salt water, the C version is available in some models in bronze.
- pumping corrosive liquids in industrial applications, the C version is available in some models in stainless steel.

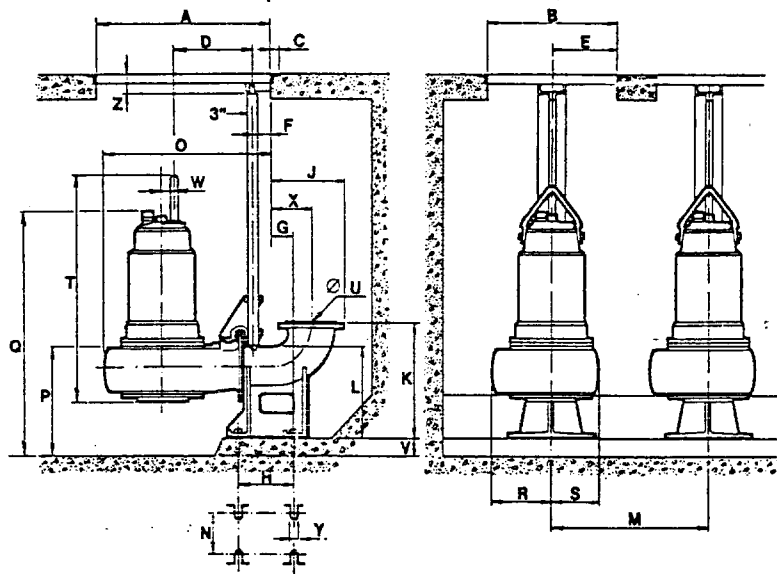
Contact your local Flygt representative.



DIMENSIONS

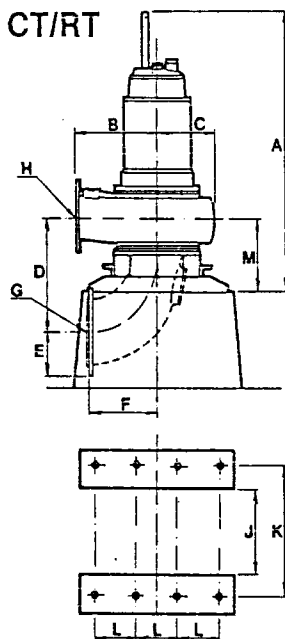
All dimensions in mm

CP/RP

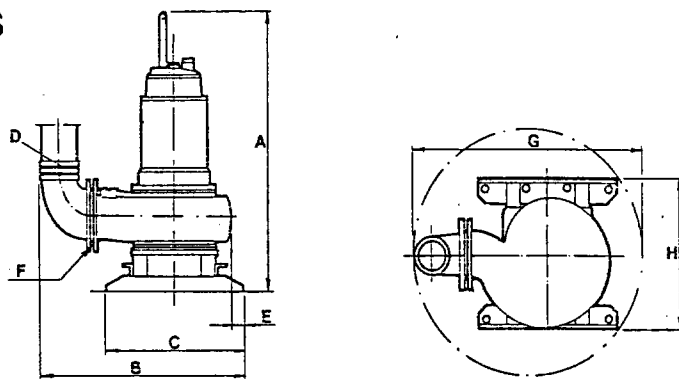


| CP/RP version | A | B | C | D | E | F | G | H | J | K | L | Dim. M min. |
|---------------|------|------|----|-----|-----|-----|-----|-----|-----|-----|-----|-------------|
| CP LT | 1455 | 1150 | 50 | 681 | 523 | 135 | 194 | 500 | 591 | 850 | 685 | 2000 |
| MT | 1455 | 1150 | 50 | 681 | 523 | 135 | 194 | 500 | 540 | 800 | 660 | 2000 |
| HT | 1455 | 1150 | 50 | 581 | 523 | 135 | 89 | 280 | 344 | 450 | 360 | 2000 |
| RP | 1455 | 1150 | 50 | 581 | 523 | 135 | 89 | 280 | 344 | 450 | 346 | 2000 |

| CP/RP version | N | O | P | Q | R | S | T | U | Dim. V min. | W | X | Y | Z |
|---------------|-----|------|-----|------|-----|-----|------|-------|-------------|----|-----|----|-----|
| CP LT | 530 | 1233 | 756 | 1730 | 450 | 311 | 1660 | Ø 350 | 150 | 35 | 324 | 23 | 130 |
| MT | 530 | 1292 | 728 | 1705 | 501 | 378 | 1654 | Ø 300 | 150 | 35 | 299 | 23 | 130 |
| HT | 245 | 1070 | 523 | 1500 | 341 | 305 | 1566 | Ø 200 | 200 | 35 | 174 | 23 | 130 |
| RP | 245 | 1056 | 582 | 1457 | 320 | 305 | 1614 | Ø 200 | 230 | 35 | 174 | 23 | 130 |



CS



| CS version | A | B | C | D | E | F | G | H |
|-------------------|------|------|------|-------|-----|---------------------|------|------|
| LT (flange conn.) | 1920 | 1470 | 1050 | — | 143 | ¹⁾ Ø 250 | 1675 | 1000 |
| MT (flange conn.) | 1915 | 1419 | 1050 | — | 84 | ¹⁾ Ø 200 | 1624 | 1000 |
| HT (hose conn.) | 1827 | 1289 | 1050 | Ø 200 | 206 | ¹⁾ Ø 150 | 1494 | 1000 |

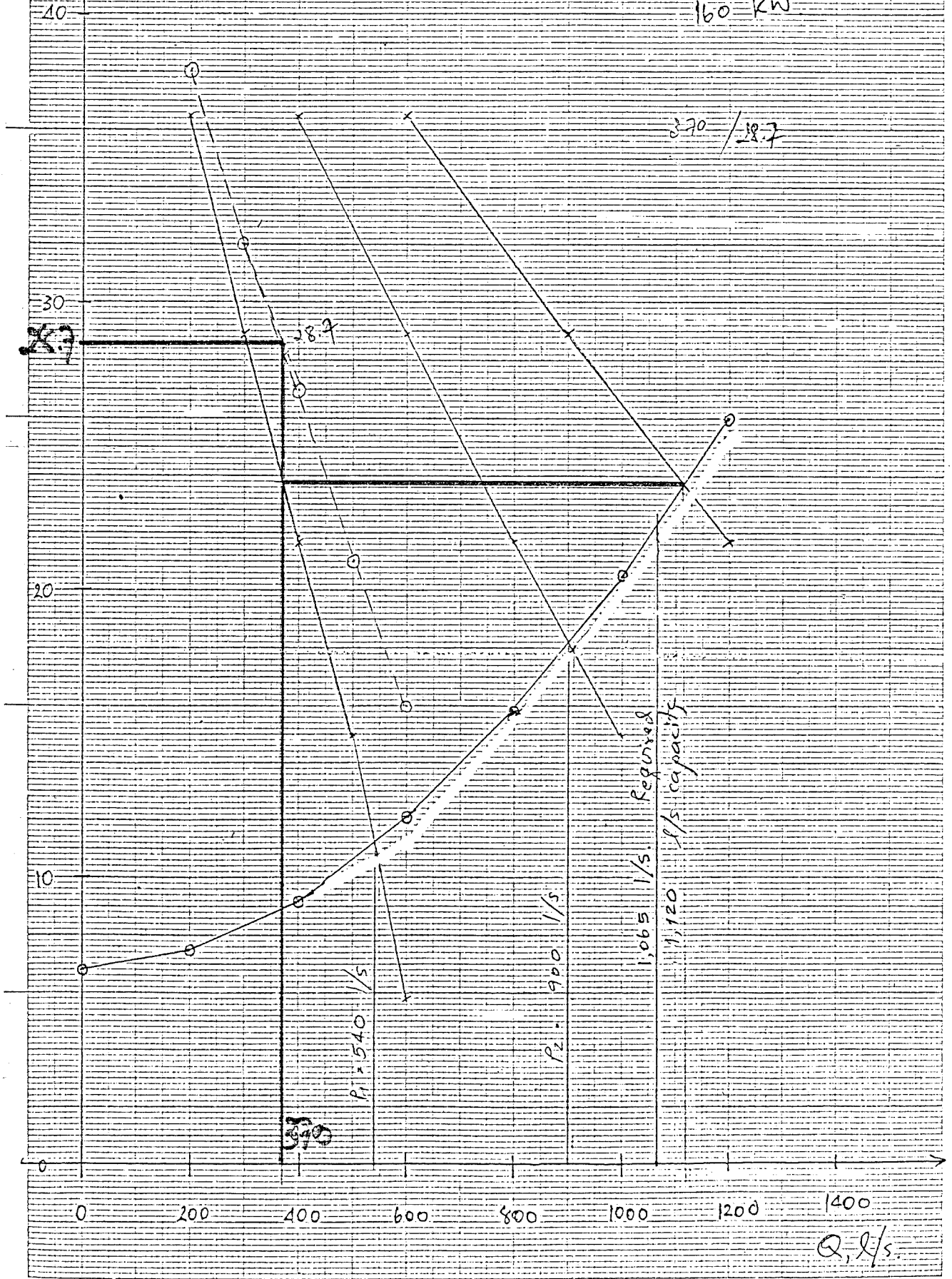
| CT/RT version | A | B | C | D | E | F | G | H | J | K | L | M |
|---------------|------|-----|-----|-----|-----|-----|---------------------|----------------------|-----|-----|-----|-----|
| CT LT | 1920 | 600 | 382 | 790 | 298 | 500 | ¹⁾ Ø 400 | ¹⁾ Ø 300 | 680 | 900 | 300 | 510 |
| MT | | | | | | | | | | | | |
| curve 632—640 | 1915 | 600 | 441 | 810 | 298 | 500 | ¹⁾ Ø 400 | ¹⁾ Ø 250 | 680 | 900 | 300 | 530 |
| curve 641—648 | 1895 | 600 | 441 | 553 | 241 | 400 | ¹⁾ Ø 300 | ¹⁾ Ø 250 | 680 | 900 | 300 | 507 |
| HT | 1827 | 500 | 319 | 484 | 175 | 450 | ¹⁾ Ø 200 | ²⁾ Ø 150* | 680 | 900 | 300 | 454 |
| RT | 1838 | 500 | 305 | 675 | 200 | 350 | ¹⁾ Ø 250 | ²⁾ Ø 150 | 680 | 900 | 300 | 439 |

¹⁾ Flange connection drilled to SMS 342, DIN 2532 or BS 4622:1970 table 11.

²⁾ Flange connection drilled to SMS 342, DIN 2532 or BS 4622:1970 table 11.

FS, 2

160 kW



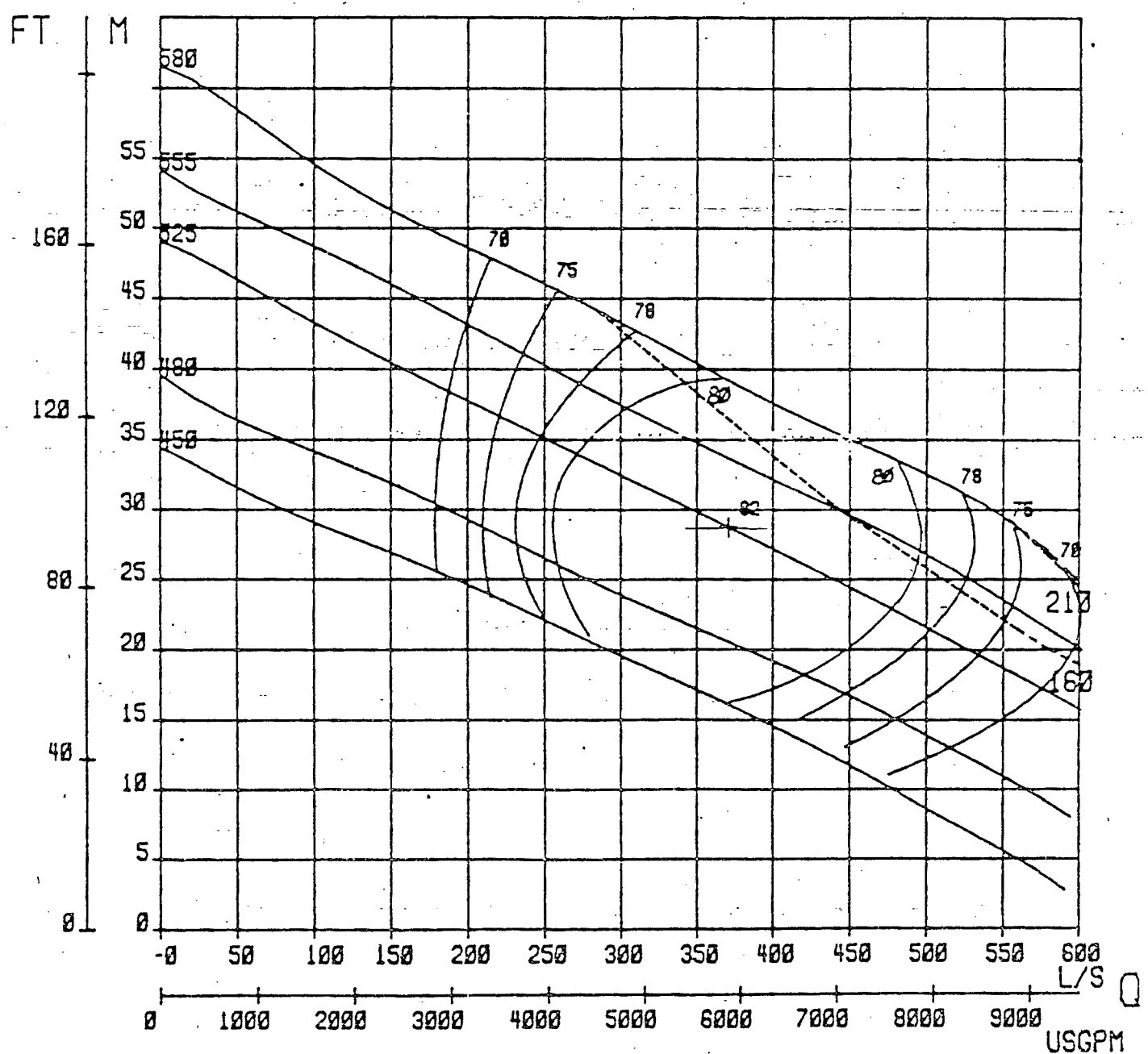
FLYGT

PERFORMANCE CURVES

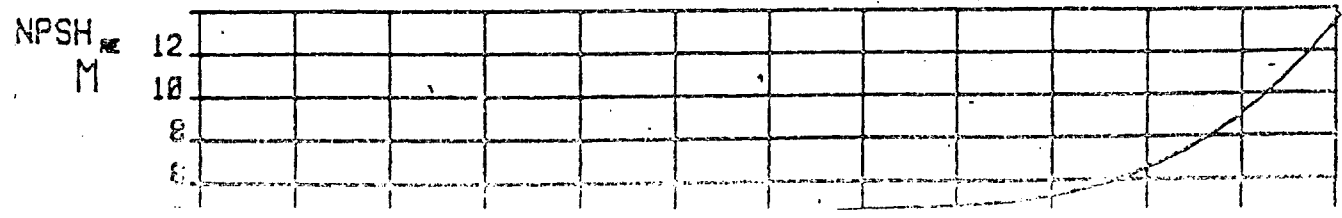
PROJ. 3311

| | | | | |
|-------------------------------|----------------------------------|---------------------------|-------------------------------|-------------------------------------|
| DATE 1982-09-16 | ISSUE 1 | HZ 50 | NOMINAL PUMP SPEED.RPM 985 | CURVE NO 53-632-1 |
| IMPELLER PART NO 435 12 00 | PUMPHOUSING PART NO 373 86 01 | OUTLET/INLET 300 / 350 | NO OF VANES 3 | IMP.THROUGLET 103 * 103 CIRCULAR |
| DRIVE UNIT | MOTORS | POLES | SHAFT POWER.KW | RATED PUMP SPEED.RPM |
| 820 | 51-43-6 | 6 | 160 | 986 |
| 860 | 51-56-6 | 6 | 210 | 986 |
| | | | | |
| | | | | |
| | | | | |
| | | | | |

H NOTE: CURVES ARE BASED ON NOMINAL PUMP SPEED
CURVES SHOW PERFORMANCE WITH CLEAR WATER



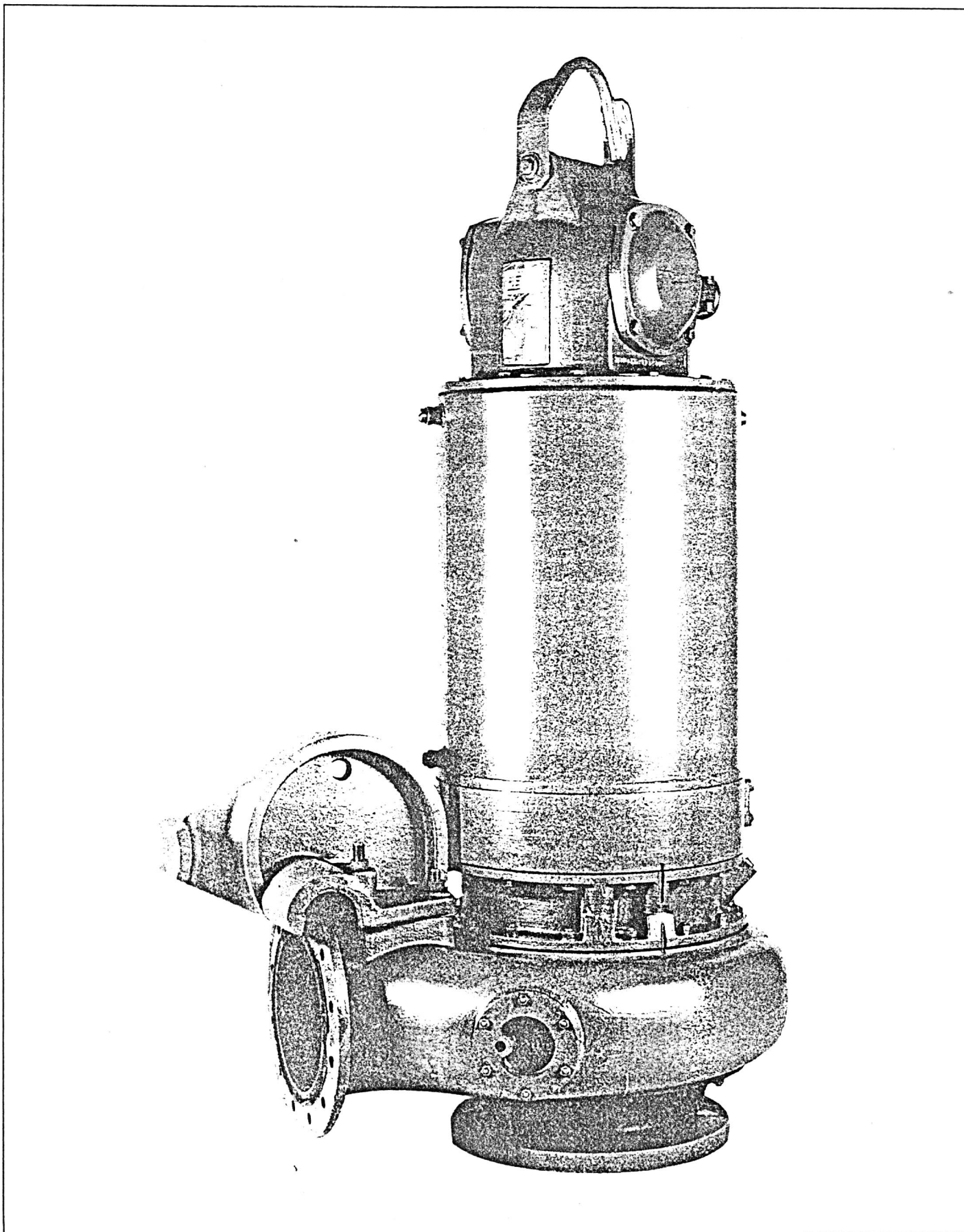
PUMP EFFICIENCY/SHAFT POWER.



for P.S. 2



Technical specification



3311 Technical specification

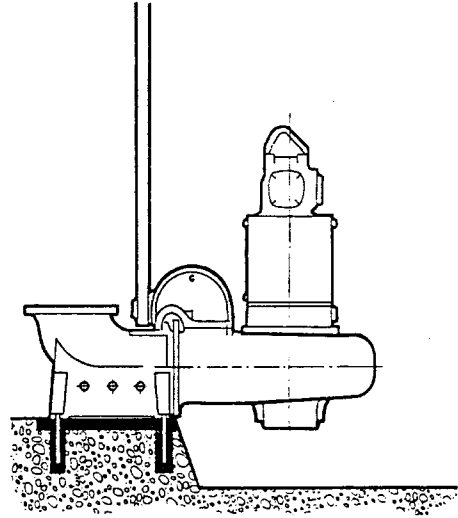
The Flygt 3311 submersible pump is designed to pump liquids containing solid particles, such as waste water. Pump capacity up to 600 l/s.

The electric motor and the pump comprise a compact and robust unit which requires little space and is easy to handle. The pump housing (Nom. size 300 mm) and the 3-vane impeller can pass solids of diametres up to 103 mm.

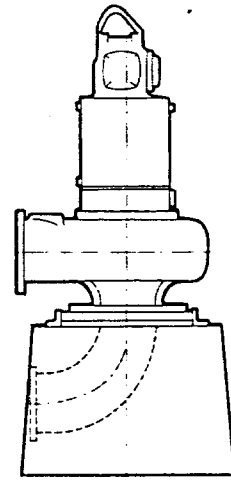
Installation alternatives

The pump is submersible, compact and simple to install. The 3311 is available in three versions, depending on the type of installation:

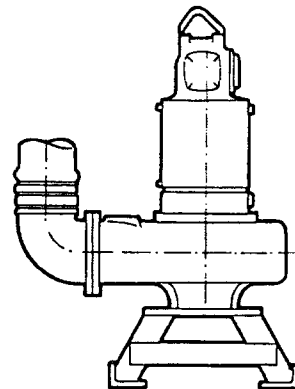
CP This system with guide bar and discharge connection permits automatic connection of the pump to the discharge line. The pump can be lifted up for inspection without anyone having to climb down into the sump. The pump works completely or partially submerged under water.



CT The pump is installed dry on a concrete base and is connected directly to the inlet and outlet lines. The submersible design of the pump prevents damage in the event of flooding.



CS A portable pump intended for operating completely or partially submerged in the pumped liquid. It is equipped with base stand and hose connection.



Technical data

| | | | | | |
|----------------------|--|------------|---------------|--------------|--------------|
| Pump/Drive unit type | Motor: Squirrel-cage, 3-phase, 50 Hz Insulation Class F according to IEC 34-1 | | | | |
| 3311/820 3311/860 | Rated power | rev/min | Rated current | | |
| | kW | | 380V | 415V | 500V |
| | 160 210 | 985 985 | 296A 384A | 281A 352A | 232A 292A |

Power cables

- Cable entry diameters 23 through 90 mm.
- For details of local cable requirements contact your local Flygt agent.

Hydraulic section

| Curve No. | No. of vanes | Throughlet |
|-----------|--------------|--------------|
| 632 | 3 | Circular 103 |

- The pump housing design permits the impeller to be pulled out either from the top or the bottom.
- Replaceable wear ring in pump housing in brass or rubber. Wear ring on impeller in stainless steel.
- ✗ — The impeller is also available in stainless steel.

Weights in kg

| Pump type | Pump unit | Discharge connection |
|----------------------------|--------------|--------------------------------------|
| CP 3311/820 CP 3311/860 | 1950 2250 | dia. 300 mm: 240 dia. 350 mm: 270 |
| CT 3311/820 CT 3311/860 | 1900 2200 | Inlet bend: 235 |
| CS 3311/820 CS 3311/860 | 2150 2350 | Incl. base stand and hose connection |

Materials

| | | | |
|---------------------------------|------------------------------------|---------------------|-----------------------|
| Cast parts | Cast iron | BS 1452 Grade 14 | DIN 1691 GG 20 |
| Shaft | Carbon steel | 97J En 5 c | 17200 C 35 |
| Studs, nuts, screws and washers | Stainless steel | 304 S 15 | 17440 X5 CrNi 18/9 |
| Lifting handle and casing | Galvanized steel | 970 En 3 | 17100 St 37 |
| O-rings | Nitrile rubber (70° IRH) | | |
| Stationary wear ring | Brass or nitrile-rubber-clad steel | 1400 LG 2 | 1705 Rg 5 |
| Rotating wear ring | Stainless steel | 304 S 15 | 17440 X5 CrNi 18/9 |
| Mechanical shaft seals: | | | |
| — upper | Carbon/Tungsten carbide | | |
| — lower | Tungsten Carbide/tungsten carbide | | |

| | | |
|-----------------------------|-------|-------------------------|
| Impeller of stainless steel | | 17440 X8 CrNiMo 27 5 |
| Shaft of stainless steel | En 57 | 17440 X22 CrNi 17 |

Surface treatment

| | |
|--------------|--|
| Impeller | Primed |
| Outer casing | The outer casing is primed with PVC Epoxy and then painted with blue chlorinated rubber paint. |

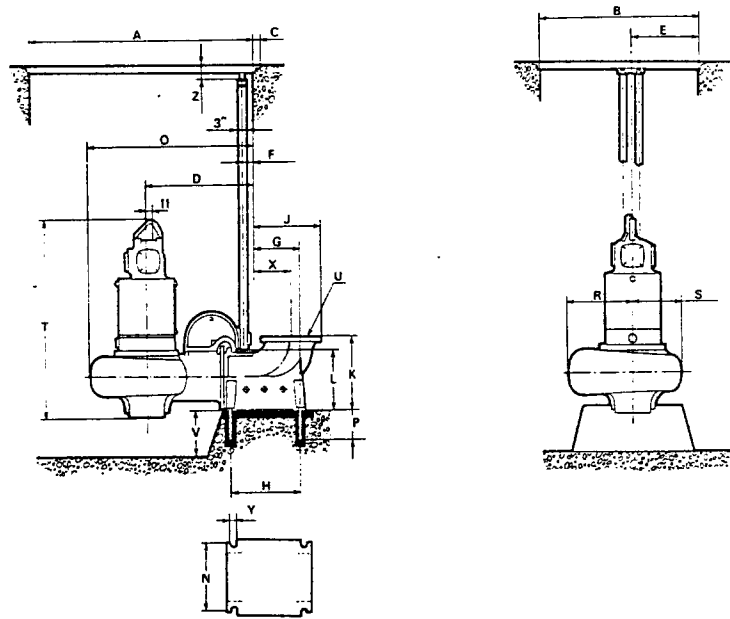
Practical limitations

- The 3311 can pump liquids at temperatures of up to 40°C.*
- The pump can be submerged down to 20 m below the surface of the liquid.
- The pump section, including seals, is designed for working pressures of up to 1,0 MPa.
- The motors are designed to supply their rated outputs at deviations of up to ±5% of the rated frequency and voltage. Voltage variations of up to ±10% are possible without overheating.
- The 3311 can be started up to 15 times per hour.
- Starting methods: Direct on-line start or stardelta start.

* For details of local cable requirements contact your local Flygt agent.

Dimensions in mm

CP



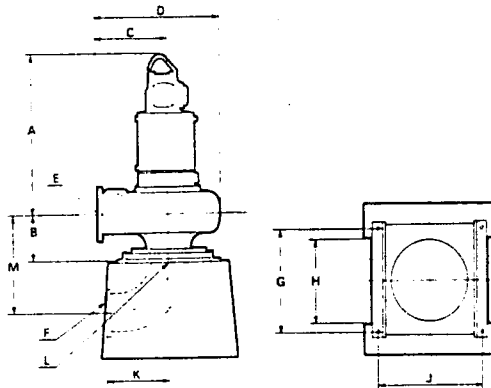
| Version | A | B | C | D | E | F | G (dia. 300) | G (dia. 350) | H | J (dia. 300) | J (dia. 350) | K | L (dia. 300) | L (dia. 350) | N |
|---------|------|------|----|-----|-----|-----|--------------|--------------|-----|--------------|--------------|-----|--------------|--------------|-----|
| CP 3311 | 1960 | 1425 | 50 | 959 | 662 | 135 | 411 | 406 | 650 | 557 | 608 | 600 | 450 | 475 | 600 |

| Version | O | P | R | S | T (drive unit 820) | T (drive unit 860) | U* | U* | V min. dim. | X (dia. 300) | X (dia. 350) | Y | Z |
|---------|------|-----|-----|-----|--------------------|--------------------|----------|----------|-------------|--------------|--------------|----|-----|
| CP 3311 | 1375 | 400 | 490 | 405 | 2055 | 2185 | dia. 300 | dia. 350 | 350 | 316 | 341 | 30 | 130 |

* Flange dimensions in accordance with SMS 342, DIN 2532 or BS 4622: 1970 table 11.

Consult your local Flygt representative for sump dimensions and access frame sizes.

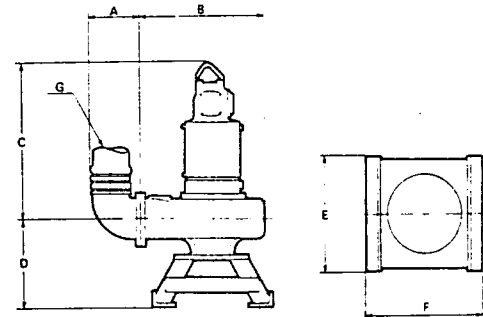
CT



| Version | A (dr. u. 820) | A (dr. u. 860) | B | C | D | E* | F* | G | H | I | K | L* | M |
|---------|----------------|----------------|-----|-----|------|----------|----------|-----|-----|-----|-----|----------|-----|
| CT 3311 | 2080 | 2210 | 333 | 650 | 1066 | dia. 300 | dia. 400 | 850 | 650 | 800 | 525 | dia. 350 | 885 |

* Flange dimensions in acc. with DIN 2532, SMS 342 or BS 4622: 1970 table 11.

CS



| Version | A | B | C | D | E | F | G |
|-------------|-----|------|------|-----|------|------|-----|
| CS 3311/820 | 320 | 1066 | 2080 | 676 | 1200 | 1370 | 250 |
| CS 3311/860 | 320 | 1066 | 2210 | 676 | 1200 | 1370 | 250 |

The manufacturers reserve the right to alter performance, specifications or design without notice.



Design of the pump

1. **The junction box** is completely sealed off from the motor.

2. Built-in cooling system

The cooling system enables the 3311 to operate continuously at its rated output, regardless of whether the electric motor is above or below the surface of the liquid. Some of the pumped liquid is circulated through the cooling jacket which surrounds the motor and dissipates the heat generated by the motor.

Where external cooling is required, the cooling jacket can be sealed off from the pump housing and instead be connected to an external cooling medium system.

3. Class F motor insulation

Class F means that the maximum operating temperature is 155°C and that a temperature rise of 100°C is permitted. The temperature rise in Flygt motor does normally not exceed 80°C. This temperature reduction increases the service life of the motor by a factor of nearly 4. The stator is impregnated three times.

4. Bearings

Upper bearing: Roller bearing

Lower bearing: Angular contact ball bearings and roller bearings

The bearings are greased and do not have to be regreased until after three years of continuous operation.

5. **Two mechanical face seals** operating independently of each other seal off the motor from the pump housing. The two seal rings in the lower seal are made of tungsten carbide for long life. The upper seal, which rotates in an oil bath, has a stationary seal ring made of tungsten carbide and a rotating ring made of graphite.

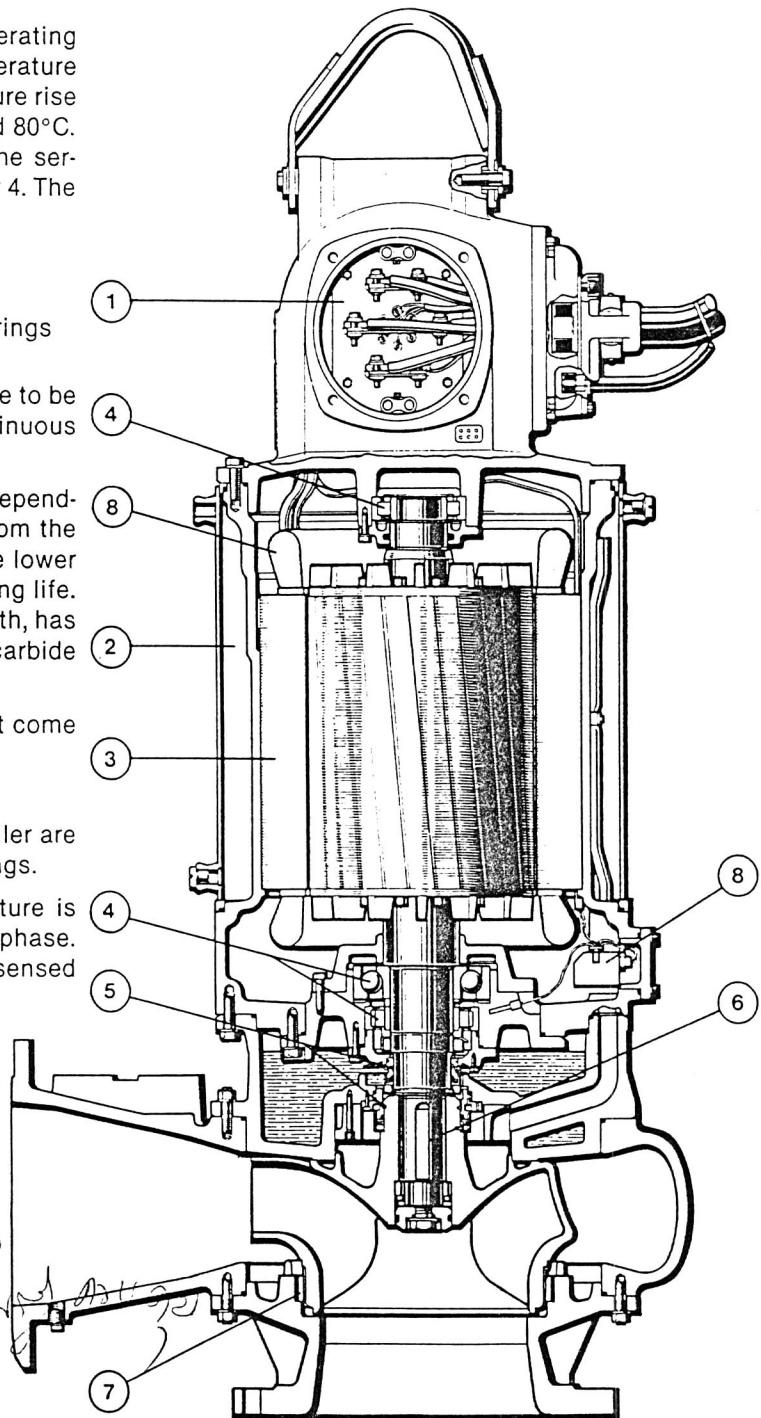
6. **The common pump/motor shaft** does not come into contact with the pumped liquid.

7. Replaceable wear rings

The pump housing bottom and the impeller are equipped with easily replaceable wear rings.

8. **Monitoring system.** The motor temperature is sensed by three thermistors, one for each phase. The temperature of the lower bearing is sensed

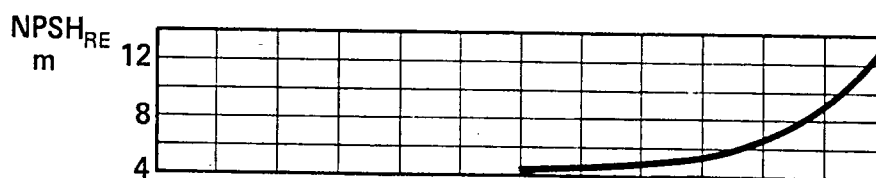
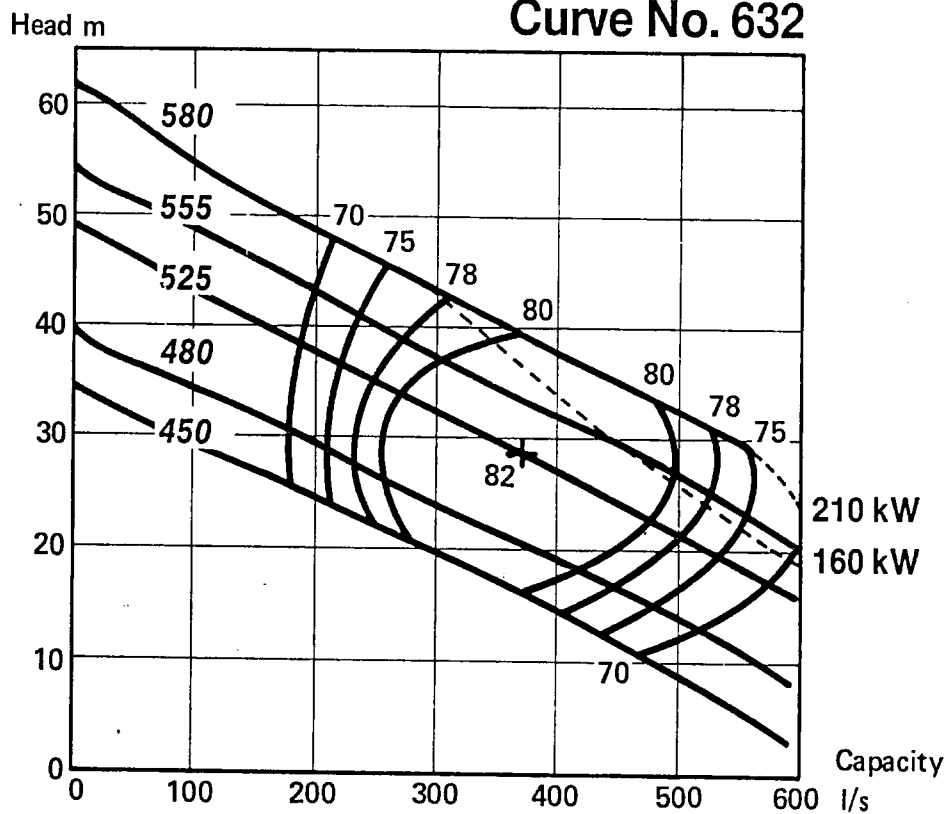
by 1 thermistor. There is a leakage detector in the stator casing. All three systems are connected to an external monitoring unit, in which an overtemperature in the motor normally trips the pump, whilst excessive bearing temperature or leakage trigger an alarm. All three functions can, however, be connected in such a manner that the pump switches off whichever system is activated. (The motor temperature system is activated if the motor attains an absolute temperature of 130°C. The corresponding value for the bearing system is 95°C.)



*Measure of motor
on pump shaft
CAS control unit of
control and stator
Control and stator
Three real protection by
leakage resistor*

3311 Performance curves

Curve No. 632



- The performance is given for different diameter steps of the impeller at constant motor speed.
- Pump efficiency is indicated.
- The power limit for available motors are indicated by the dashed lines along the curve.

ENH-10

Controlling the
liquid level

FLYGT



ENH-10

Level regulator

The simplest possible method for level control! A mercury switch in a plastic casing, freely suspended at the desired height from its own cable. When the liquid level reaches the regulator, the casing will tilt and the mercury switch will close or break the circuit, thereby starting or stopping a pump or actuating an alarm device. No moving parts, no wear, no maintenance! In sewage pumping stations, for ground water and drainage pumping — in fact, for most level control applications — the ENH-10 is the ideal solution.

The regulator casing is made of polypropylene and the cable is sheath-

ed with a special PVC compound. The plastic components are welded and screwed together — adhesive is never used. Impurities and deposits will not adhere to the smooth casing.

This level regulator is available in different versions, depending upon the medium in which it is to be used. As standard, the regulator can be obtained with 6, 13 or 20 metres (20, 45 or 66 feet) of cable for liquids with specific gravities between 0.95 and 1.10; for other specific gravities, the regulator is only available with 20 metres (66 ft) of cable. The regulator can withstand up to 60°C (122°F).

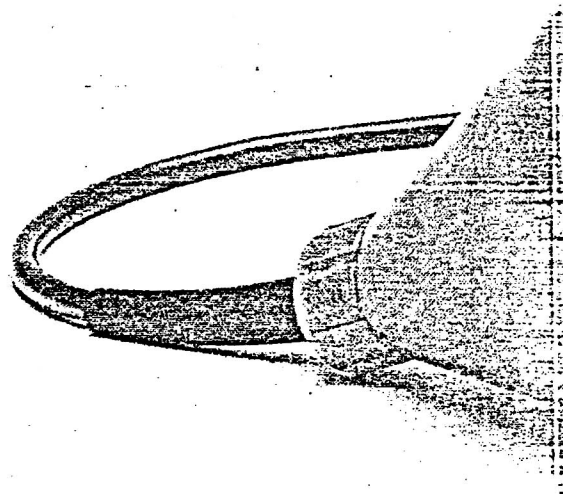
Wiring alternative

To conform to local regulations, the level regulators are normally connected through a transformer to a low-tension control circuit. Two regulators are used — one for starting

and one for stopping. A third regulator can be connected if an alarm is required at a given level. Identical regulators can be used for all functions.

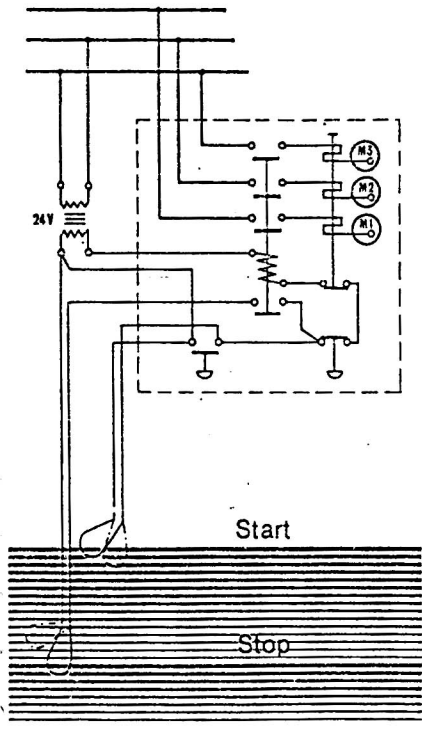
Technical data

| | |
|---|-----------------------|
| Suitable for media with specific gravity | 0.65—1.50 |
| Max. working temperature | + 60°C |
| Min. working temperature | ± 0°C |
| Max. working pressure at + 20°C | 4 kgf/cm ² |
| Interrupting capacity | 250V—10A |
| | 380V— 6A |
| <i>Note that local regulations may limit the voltage.</i> | |
| Length of casing | 190 mm |
| | (7.5 in) |
| Diameter of casing | 100 mm |
| | (3.9 in) |
| Weight with 6 m of cable | 1.3 kg |
| | (2.9 lb) |



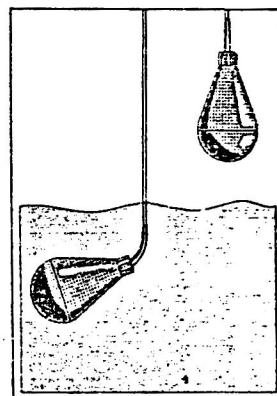
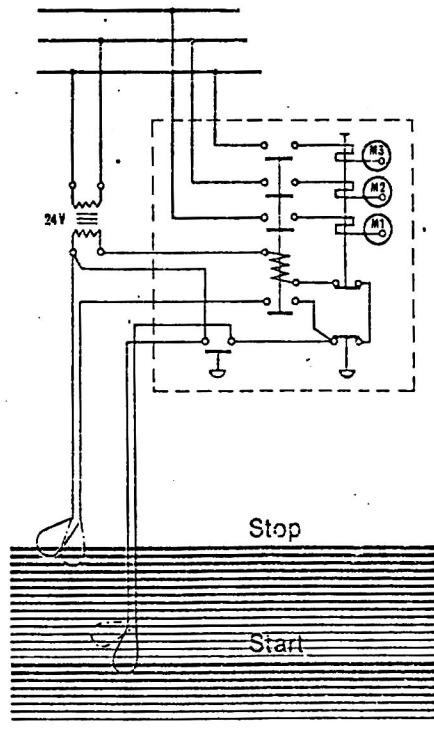
A. Connected for emptying

Connect the blue and black leads.
Insulate the brown lead.

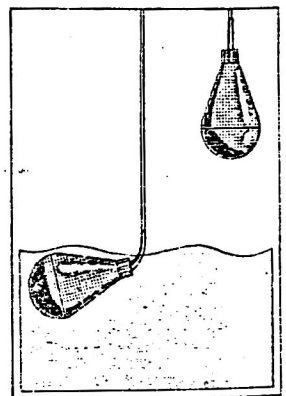


B. Connected for filling

Connect the blue and brown leads.
Insulate the black lead.



Let the level drop ...



... to the lowest permissible point.

Can regulate the level in different kinds of liquid

The liquid in which level regulation is practiced most frequently is, of course, water. Of the millions of regulators in use all over the world today, it is estimated that nine out of ten work in water.

But with a float body of polypropylene and a cord of PVC, the ENH-10 is virtually insensitive to many aggressive liquids.

The table shows how resistant the material is to different chemicals at two differ-

ent temperatures. The classification is broken down into three categories:

A = fully resistant, B = partially resistant and C = non-resistant. The sign — means that information is not available.

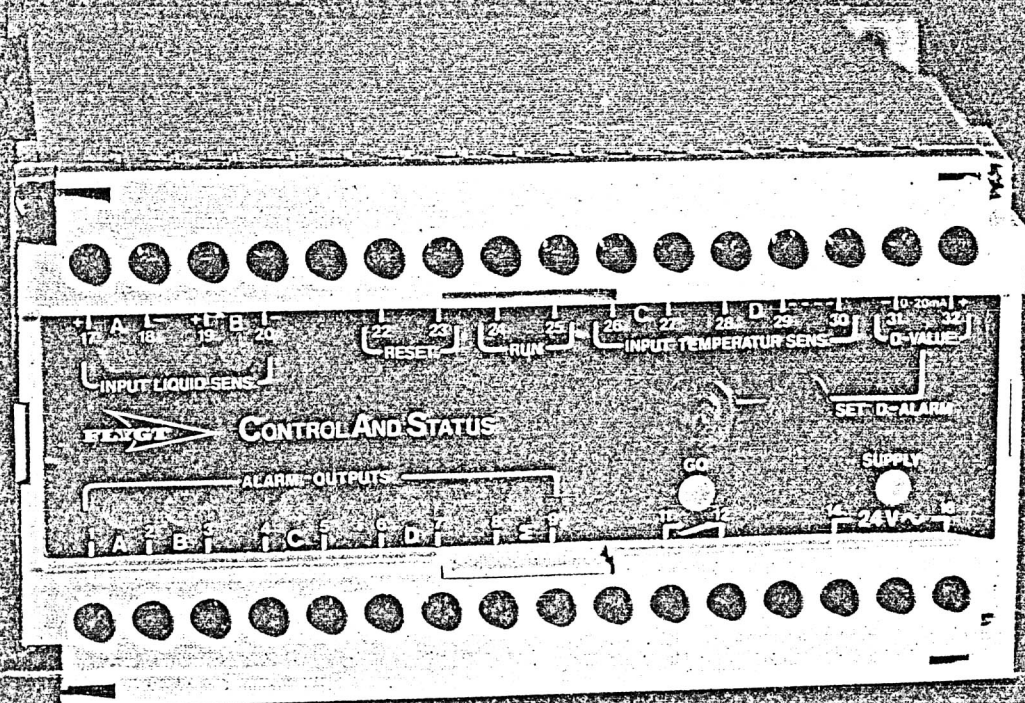
Keep in mind also that the density of the liquid determines the buoyancy of the regulator. The ENH-10 is made for seven different densities: 0.65—0.80; 0.80—0.95; 0.95—1.10; 1.05—1.20; and 1.3, 1.4 and 1.5.

Always observe local regulations:
Take particular note of: • risk of fire/explosion • risk of poisoning • hygiene requirements

| Acids | 20°C 60°C | | Acid salts | 20°C 60°C | | Organic substances and solvents | 20°C 60°C | |
|-----------------------|--------------|---|--|-----------|-------------------|---------------------------------|-----------|---|
| | Benzoic Acid | C | | C | Aluminum Chloride | | A | A |
| Boric Acid | A | — | Aluminum Phosphate | A | A | Ethyl Acetate | C | C |
| Hydrobromic Acid 25% | A | A | Copper Chloride | A | A | Ethyl Alcohol | A | — |
| Citric Acid | A | A | Copper Sulphate | A | A | Ethylene Dichloride | | |
| Hydrocyanic Acid | A | — | Ferrous Sulphate | A | A | Ethylene Chloride | C | C |
| Phosphoric Acid | A | C | Ferric Chloride | A | A | Ethyl Ether | C | C |
| Phosphoric Acid 25% | A | A | Tin Chloride | A | A | Phenol | C | C |
| Phosphoric Acid 85% | — | — | Zink Chloride | A | A | Formaldehyde 37% | A | B |
| Phthalic Acid | A | A | Zink Sulphate | A | A | Kerosene | C | C |
| Tannic Acid | A | — | | | | Chlorobenzene | C | C |
| Chromic Acid | C | C | Basic salts | | | Chloroform | C | C |
| Maleic Acid | C | C | Potassium Dicarboxate | A | A | Carbon Disulphide | C | C |
| Oleic Acid | B | — | Potassium Carbonate | A | A | Carbon Tetrachloride | C | C |
| Oxalic Acid | A | A | Sodium Dicarboxate | A | — | Linseed Oil | C | C |
| Nitric Acid 5% | A | B | Sodium Carbonate | A | — | Methylene Alcohol | A | A |
| Nitric Acid 65% | C | C | Sodium Phosphate | A | A | Methylene Chloride | C | C |
| Hydrochloric Acid 10% | A | A | Trisodium Phosphate | A | A | Methyl Ethyl Ketone | C | C |
| Hydrochloric Acid 37% | A | C | | | | Mineral Oils | C | C |
| Butyric Acid | A | — | Neutral salts | | | Nitrobenzene | C | C |
| Sulphuric Acid 10% | A | A | Calcium Chloride | A | A | Castor Oil | B | C |
| Sulphuric Acid 78% | C | C | Calcium Nitrate | A | A | Silicone Oils | A | A |
| Sulphuric Acid 93% | C | C | Calcium Sulphate | A | A | Turpentine | C | C |
| Tartaric Acid | A | — | Magnesium Chloride | A | A | Toluene | C | C |
| Acetic Acid 10% | A | — | Potassium Nitrate | A | A | Trichlorethylene | C | C |
| Acetic Acid 50% | A | B | Potassium Sulphate | A | A | Vegetable Oils | B | C |
| Acetic Acid 75% | C | C | Sodium Chloride | A | A | Xylene | C | C |
| Acetic Acid 100% | C | C | Sodium Nitrate | A | A | | | |
| Hypochloric Acid | B | C | Sodium Sulphate | A | A | Gases | | |
| Bases | | | Organic substances and solvents | | | Chlorine (wet) | C | C |
| Ammonium Hydroxide | A | — | Aceton | C | C | Chlorine (dry) | C | C |
| Calcium Hydroxide | A | — | Aniline | C | C | Carbon Dioxide | A | A |
| Potassium Hydroxide | A | C | Benzene | C | C | Carbon Monoxide | A | A |
| Sodium Hydroxide | A | C | Gasoline | — | C | Sulphur Dioxide (wet) | C | C |
| | | | Butyl Alcohol | A | — | Sulphur Dioxide (dry) | A | A |
| | | | | | | Hydrogen Sulphide | A | — |

The manufacturers reserve the right to alter performance specification or design without notice.





CAS

Flygt's monitoring unit, CAS is designed for use in all pumps from model 3230 and larger models equipped with drive units 720-940. Turbines equipped with generators 760—930 are also covered by the monitoring system.

The monitoring unit is connected to the sensors incorporated in all the products covered. CAS has four channels designed for monitoring different functions.

The pump/turbine is equipped with sensors which activate alarms on the CAS unit if: liquid penetrates into the statorhousing, the oil pressure in the lubrication system of the gear is too low, the temperature in the stator is too high or if the temperature in the lower bearing of the drive unit/generator is too high.

CHANNEL A **liquid level**

This channel is used, for example, for monitoring of liquid leakage into the stator casing. A sensor is incorporated in the lower part of the stator casing. If liquid enters the alarm function will be activated after about 5 seconds. The alarm will stop the pump/turbine.

CHANNEL B **oil pressure or liquid level**

This channel has basically the same function as channel A but with RUN connected it is used to monitor the oil pressure on machines equipped with a gear unit. If the oil pressure is too low alarm is activated after about 5 seconds. The alarm will stop the pump. A pilot lamp will be lit to indicate interruption or shortcircuit.

CHANNEL C **temperature monitoring**

This channel is intended to monitor the stator temperature with thermal switches or up to 3 PTC thermistor. If the stator's temperature

reaches 155°C (310°F) $\pm 5^{\circ}$ alarm is activated and the pump/turbine is stopped immediately. Resetting can only be done when the stator has cooled down.

CHANNEL D **Pt-100 thermistor**

This channel is used to monitor the drive unit/generator lower bearing temperature.

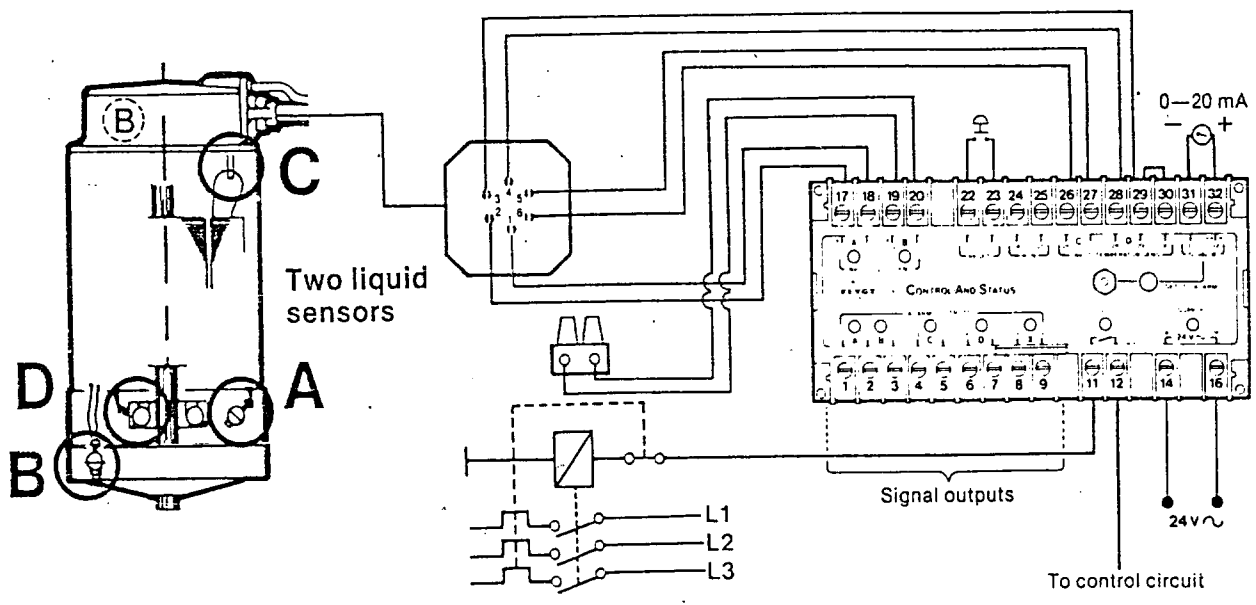
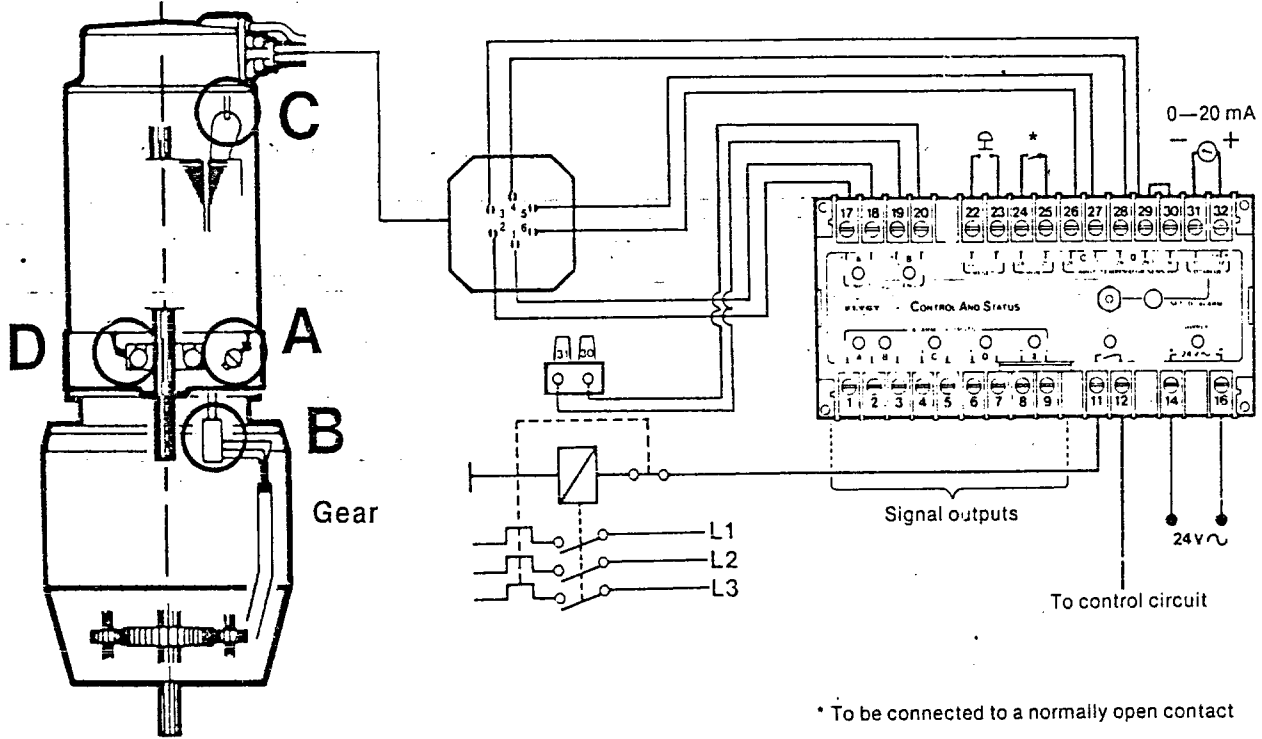
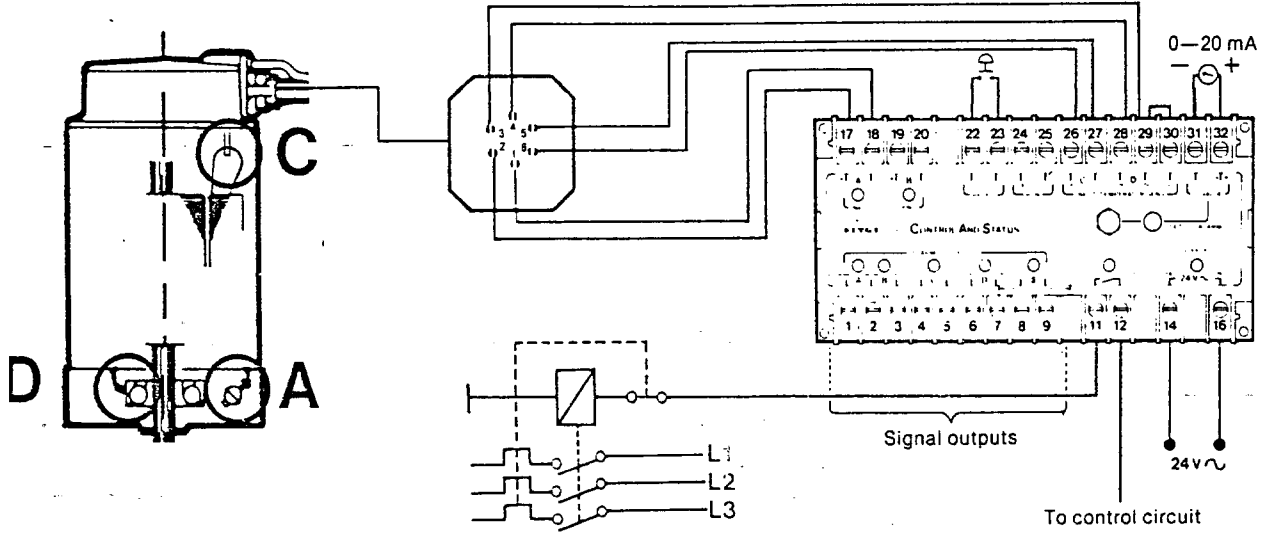
The channel operates with a type Pt-100 (DIN 43760) temperature sensor. The unit is delivered with the alarm value preset to 100°C (212°F) but it is adjustable between 50°C (122°F) and 150°C (302°F).

The monitoring unit gives an analogue (0—20 mA) output of the sensed lower bearing temperature, for connection, as extra, to an analogue indicator.

Reset

Resetting can only be done manually.

Connection to machine



TECHNICAL DATA

| | |
|--------------------|--|
| Supply voltage | 24 V ± 10 % 50—60 Hz |
| Power consumption | Ca 5 VA |
| Dimensions mm (in) | (W × H × D) 150 × 70 × 112 (59 × 27.5 × 44) |
| Temperature range | 0°C — + 50°C (32°F—122°F). Max 80 % RH |
| Mounting | On a 35 mm symetric DIN rail or on a flat face |

Channel A

| | |
|---------------------|---------------------------------|
| Voltage to detector | 12 V |
| Alarm | $I > 20 \text{ mA}$ |
| Output alarm | Solid state relay 24 VAC 100 mA |

Channel B

| | |
|---------------------|--|
| Voltage to detector | 12 V |
| Alarm | $I > 20 \text{ mA}$ ($I < 20 \text{ mA}$. If RUN is activated) |
| Output alarm | Solid state relay 24 VAC 100 mA |

Channel C

| | |
|--------------|---------------------------------|
| Alarm | $R \geq 3 \text{ k}\Omega$ |
| Output alarm | Solid state relay 24 VAC 100 mA |
| Reset | Manual when $R \leq 900 \Omega$ |

Channel D

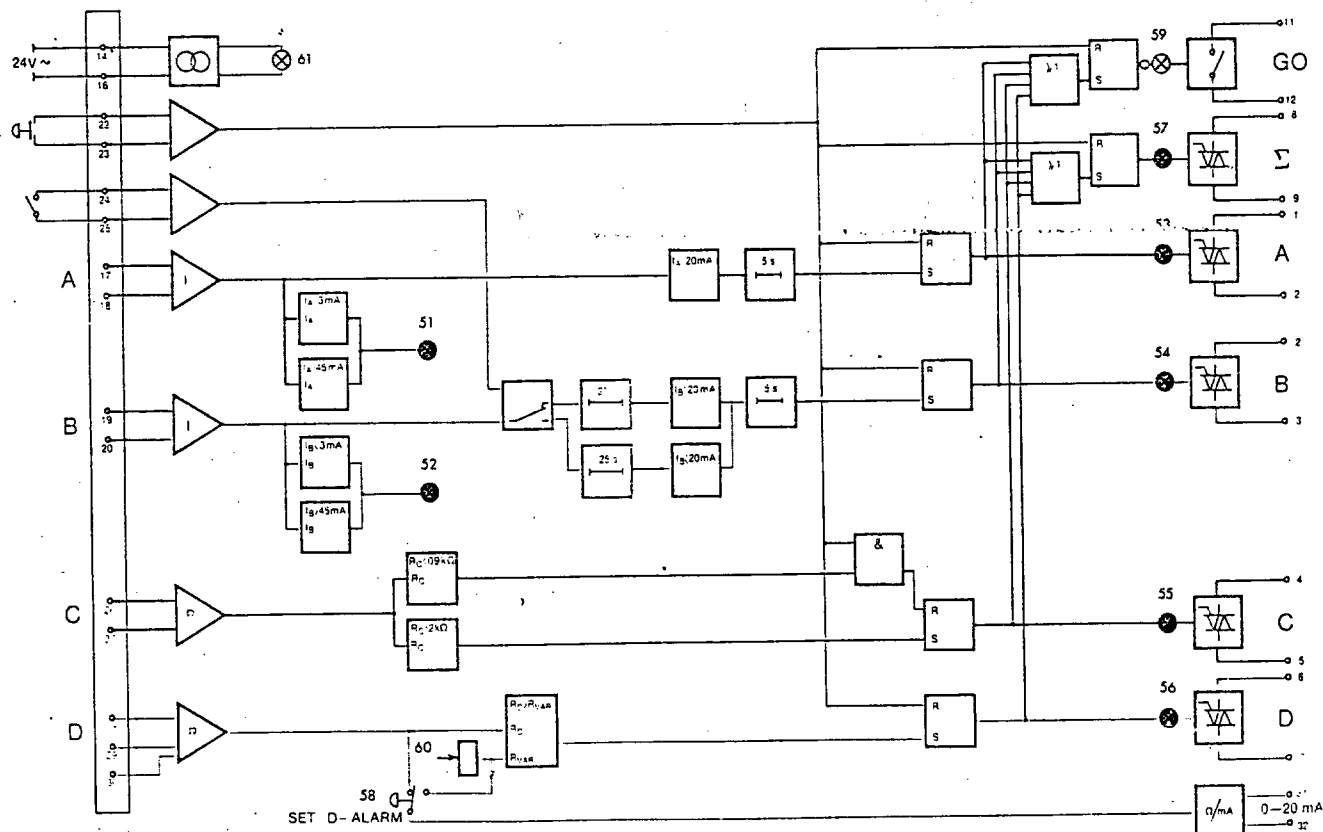
| | |
|--------------|---|
| Alarm | $R > R_{\text{set}}$ |
| Output alarm | Solid state relay 24 VAC 100 mA |
| Output | 0—20 mA range 50°C—150°C (122°F—302°F). (0.2 mA/°C ± 2,5 %) |

Σ-alarm

| | |
|--------------|---|
| Alarm | Activated by alarm from each individual channel |
| Output alarm | Solid state relay 24 VAC 100 mA. |

Interlock

| | |
|-------------------|--|
| Alarm | Activated by alarm and supply failures |
| Function | Normally closed |
| Breaking capacity | 240 V 4 A at $\cos \varphi = 1$ |





บริษัท ออนโน จำกัด

ONNO CO., LTD.

150/22 Soi Boromnivas Rama 1 Road,
Patumwan, Bangkok 10500 Thailand.
Tel. 214-4125 Fax: (662) 215-5520

ระบบบันทึกอัตราการไหลแบบ DOPPLER AQUASONIC SYSTEM

1. LEVEL SENSOR วัดระดับน้ำไฮโดรค และส่งสัญญาณไปยังตัวควบคุม (Controller)

วัสดุ : ทำด้วย PVC

ส่งสัญญาณความถี่ : 40 KHz

Tapeten Soei

2. DOPPLER SENSOR IND/CHA วัดความเร็วของน้ำไฮโดรคที่ไหลผ่านฝั่งอยู่กันราง

วัสดุ : สแตนเลสป้องกันการเกิดสนิม

ส่งสัญญาณความถี่ : 625 KHz

T₂ - 20 - 78

1. ของใช้ในห้องน้ำ ใช้หัวของ

3. FLOW TRANSMITTER ทำหน้าที่รับสัญญาณของความเร็ว เพื่อส่งต่อและแปลงสัญญาณต่อไปยัง

ภาคควบคุมคือ ตัว controller ในตัว transmitter จะแสดงค่า velocity ของสิ่งของในขณะนั้น

4. CONTROL UNIT แสดงค่าอัตราการไหลและค่าผลรวมของปริมาณน้ำไฮโดรคที่ไหลผ่านทั้งหมด

แสดงออกมาทางตัว เลขที่หน้าปัด เครื่อง

ค่าวัดสูงสุดของการไหล : 1999 ลิตร/วินาที (3½ digit)

ค่าความถูกต้อง : ± 1% ของค่าที่อ่านได้

สัญญาณออก : 4-20 มิลลิแอมป์

ใช้ไฟฟ้า : 220/240 VAC 50Hz

ช่วงอุณหภูมิการทำงาน : -20°C to 45°C

มาตรฐานการป้องกันของกล่องใส่ (enclosure)

: weatherproofing IP 65 polycarbonatehousing

with window to observe keyboard display

5. DISPLAY UNIT จะแสดงค่าอัตราการไหลในเวลาขณะนั้น และจะติดไว้ในชุด control unit

6. RECORDER เครื่องบันทึกการไหล ชนิด 1 ปากกา

สัญญาณเข้า : 4-20 มิลลิแอมป์

ช่วงการวัด : 0-1500 ลิตร/วินาที

ความไวในการรับสัญญาณ : 5 วินาที สามารถปรับค่าเป็น 1วินาที

ความคลาดเคลื่อน เนื่องจากอุณหภูมิ : 0.2%

ชนิดของกระดาษบันทึก : แบบพับ

การบันทึก : ใช้ปากกาแบบ fibre-tip

ค่าความผิดพลาด : class 0.5 to din 43782

ความเร็วในการเคลื่อนกระดาษ : 20/120 มม./ชม.

ใช้ไฟ : 220 VAC 50 Hz

የጠቅላይ ልማት ሚኒስቴር

- ①. አጠቃላይ ስራ ሰደድ ምዕራብ ግዛት
- ②. አጠቃላይ ስራ ሰደድ ምዕራብ ግዛት
- ③. አጠቃላይ ስራ ሰደድ ምዕራብ ግዛት
- ④. አጠቃላይ ስራ ሰደድ ምዕራብ ግዛት
- ⑤. ጥቅም ላይ የዋለው ስራ ሰደድ
- ⑥. ጥቅም ላይ የዋለው ስራ ሰደድ

ps-1.

ps-1. $\frac{1}{x^2}$

criteria design

$$f_c = 200 \text{ kg/cm}^2 \quad (166)$$

$$f_c = 80 \text{ kg/cm}^2$$

$$f_s = 1200 \text{ kg/cm}^2$$

$$n = 9$$

$$k = 0.375$$

$$j = 0.875$$

$$R = 13.12 \text{ kg/cm}^2$$

$$v = 0.20 \sqrt{f_c'} = 4.1 \text{ kg/cm}^2$$

$$= 0.32 \sqrt{f_c'} = 7.5 \text{ kg/cm}^2$$

$$= 1.32 \sqrt{f_c'} = 25.5 \text{ kg/cm}^2$$

$$= 0.53 \sqrt{f_c'} = 18.4 \text{ kg/cm}^2$$

PS-1

3

Load = 910 kg/m

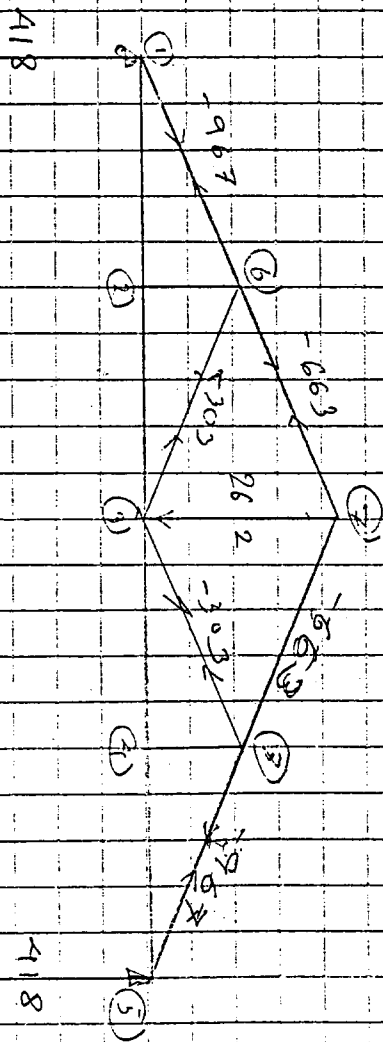


Diagram 2007

Design vol.

Total Load = 70 kg/m²

m = $\frac{1}{8} \times 11^2$

= $\frac{1}{8} \times 70 \times 11^2$

= 78.75 kg-m

S = $\frac{78.75 \times 100}{1440}$

= 5.46 cm³

S-1

t = 0.1

2.5 x 3

m = 0.2

$$\left. \begin{aligned} \text{UL} &= 300 \text{ kg/m}^2 \\ \text{DL} &= 210 \text{ kg/m}^2 \end{aligned} \right\} 510 \text{ kg/m}^2$$

$$d = 0.075$$

$$\begin{aligned} m &= 0.064 \text{ m}^2 \\ &= 0.164 \times 510 \times 2.5^2 \\ &= 216 \text{ kg-m} \end{aligned}$$

$$A_s = 2.74 \text{ cm}^2$$

⇒ use R3 9 @ 0.20 ←

$$W_s = 450 \text{ kg/m}$$

$$W_L = 531 \text{ kg/m}$$

B-1.

Assume section 0.9 x 0.9

$m_c = 3400 \text{ kg-m}$ $d = 36$

$W_{sl} = 20450 \text{ kg/m}$

$W_{DL} = 199 \text{ kg/m}$

$W_{wall} = 468 \text{ kg/m}$

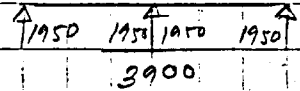
1560 kg/m

(2.6 x 180)

$M = \frac{w \cdot l^2}{8}$

$= \frac{1 \times 1560 \times 2.5^2}{8}$

$= 1219 \text{ kg-m}$



$A_s = \frac{1219 \times 100}{100 \times 0.875 \times 36}$

$= 3.22 \text{ cm}^2$

$2-RB/5 \Rightarrow 3.54 \text{ cm}^2$

STIRUP RB 6 @ 0.20

B-2

Assume section 0.5 x 0.4

$W_{sl} = 531 \text{ kg/m}$

$W_{DL} = 192 \text{ kg/m}$

$W_{wall} = 468 \text{ kg/m}$

1191 kg/m

1986.5

3.54

$M = \frac{1 \times 1191 \times 3^2}{8}$

$= 1340 \text{ kg-m}$

$A_s = 3.54 \text{ cm}^2 = 2-RB/2 = 3.54 \text{ cm}^2$

STIRUP RB 6 @ 0.20

B-2

0.2 x 0.4

$$\left. \begin{aligned} W_{23-1} &= 2 \times 531 \text{ kg/m} \\ W_{DL} &= 192 \text{ kg/m} \end{aligned} \right\} 1254 \text{ kg/m}$$

$$m = \frac{1}{8} w l^2$$

$$= \frac{1}{8} \times 1254 \times 3^2$$

$$= 1411 \text{ kg-m}$$

| | | |
|------|------|------|
| 1881 | 1071 | 1881 |
| 2962 | | |

$A_s = 3.93 \text{ cm}^2$ use 2-PB 19

stirrup RB 6 @ 0.20

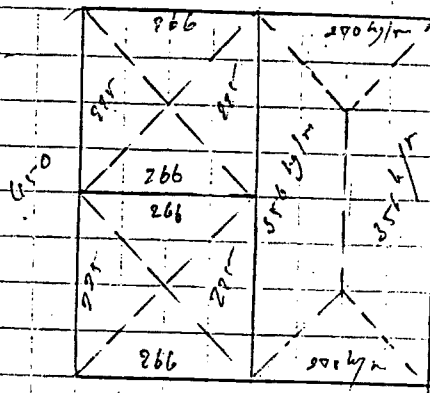
вспомогательный

A

B

C

B-1 = Day B-2



$$\left. \begin{aligned} W_s &= 225 + 956 \\ DL &= 192 \\ \text{wall} &= 468 \end{aligned} \right\} 1241 \text{ kg/m}$$

Point load = $\frac{111201.5}{2} = 834 \text{ kg}$

$$m = \frac{1}{8} w l^2 + \frac{PL}{4}$$

$$= \frac{1}{8} \times 1241 \times 2.5^2 + \frac{834 \times 2.5}{4}$$

$$= 970 = 521$$

$$= 1941 \text{ kg-m}$$

$A_s = 3.94 \text{ cm}^2$

use 2-PB 19

B-2

| | |
|------|------|
| 419 | 419 |
| 1551 | 1551 |
| 1968 | |

1.335

| | |
|------|------|
| 47 | 47 |
| 9002 | 9009 |
| 9056 | |
| 2010 | 2019 |

$$m = 1045 + 521 = 1564$$

$A_s = 2.14 \text{ cm}^2$ 2-PB-19

B-2

$$\left. \begin{aligned} W_s &= 240 + 531 \\ W_{DL} &= 192 \\ W_{\text{wall}} &= 468 \end{aligned} \right\} 1269 \text{ kg/m}$$

$$m = \frac{1}{8} w l^2 + \frac{PL}{4}$$

$$= \frac{1}{8} \times 1269 \times 1.961^2 + \frac{11900 \times 1.961}{4}$$

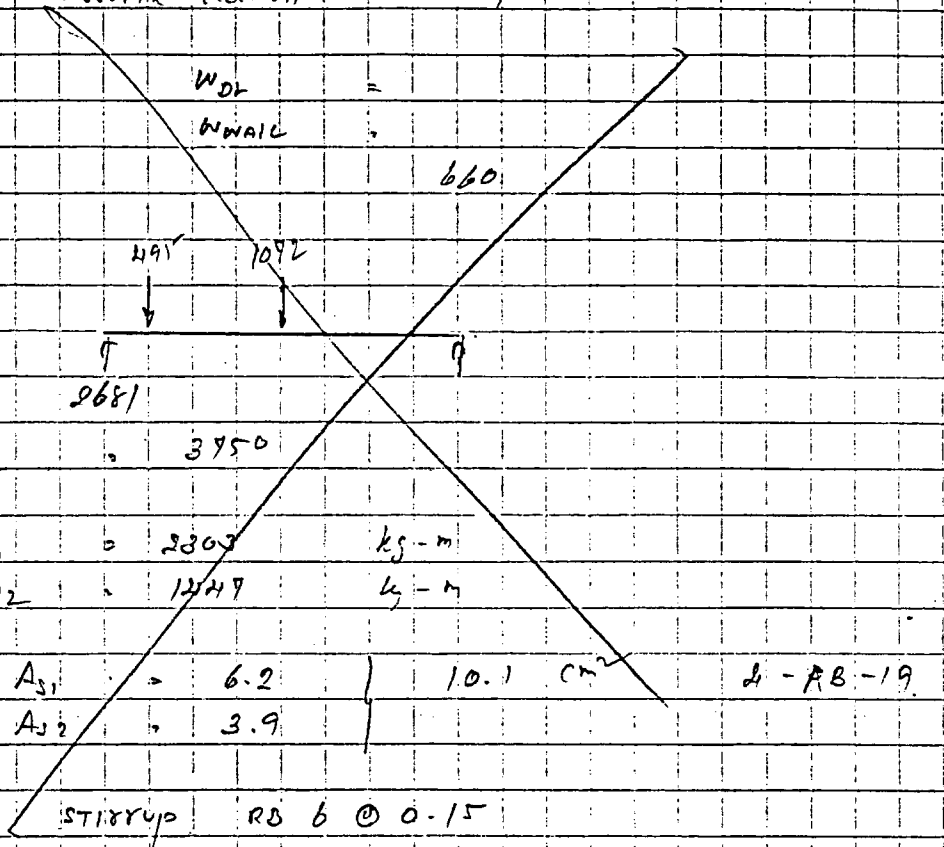
Point load = $\frac{1968}{2} = 984 \text{ kg}$

$$= 1498 + 586$$

B-3

As:

Assume section 0.2×0.4



$W_{DR} =$

$W_{WALL} =$

660

4.91

1092

2681

$M = 3750$

$M_1 = 2303 \text{ kg-m}$

$M_2 = 1249 \text{ kg-m}$

$A_{s1} = 6.2$

$A_{s2} = 3.9$

$10.1 \text{ cm}^2 \text{ } \phi - \text{RB} - 19$

STIRREP RB 6 @ 0-15

C1:

check for column

Assume 0.2×0.2

$P_c = 0.25 \times 0.85 \times 200 \times 400$

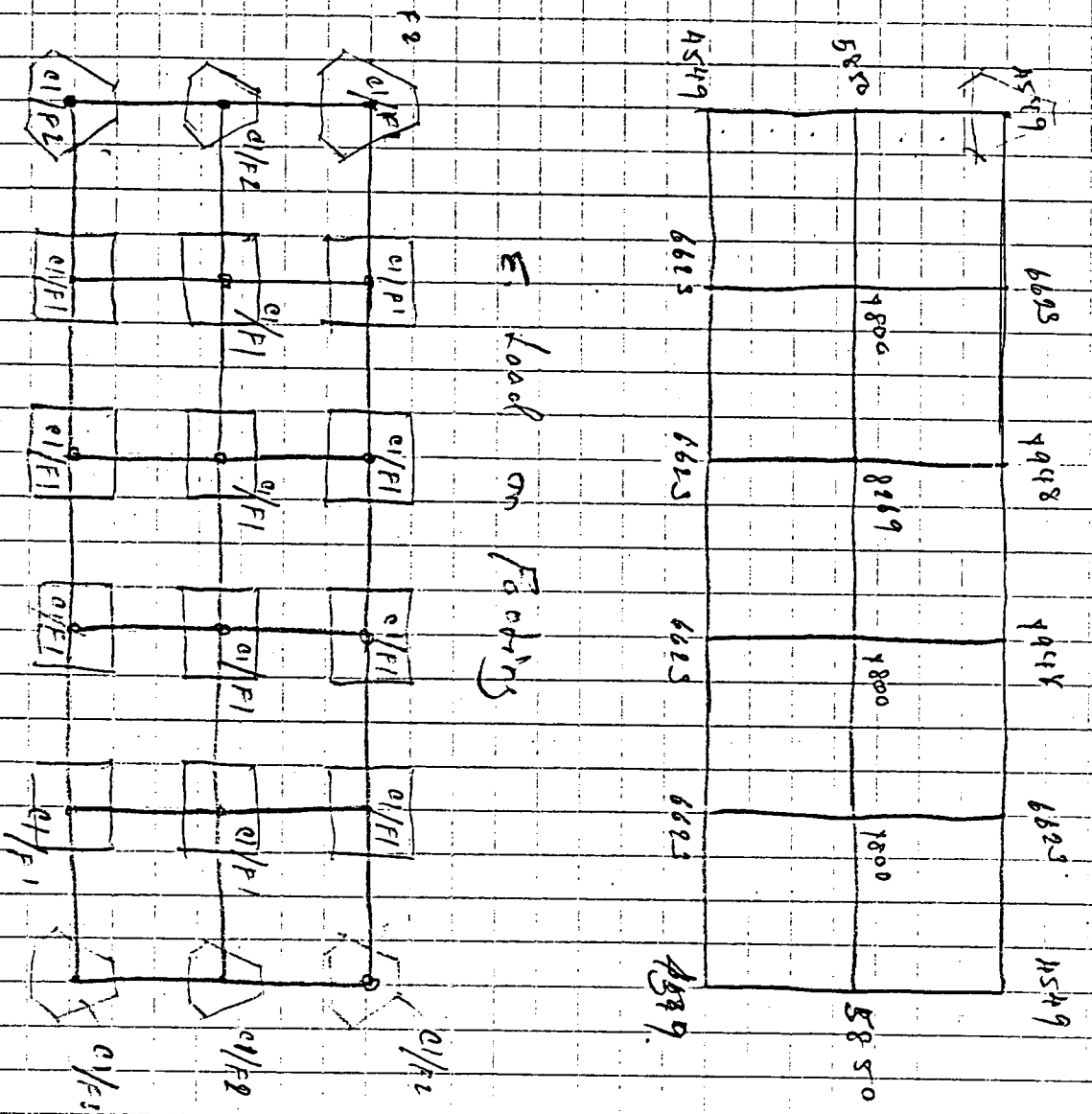
$= 17.0 \text{ ton}$

$P_3 = 0.25 \times 1200 \times 400 \times 1.13$

$= 11.6 \text{ ton}$

$P = 17.0 + 11.6 \text{ ton}$

$= 30.6 \text{ ton} \text{ ok}$

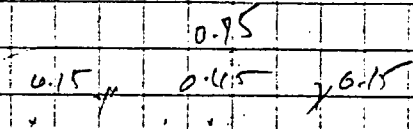


соединяется с шиной

E Load on Feathers

F-1

பெரிய அளவுகளை உடனடி லாட் 1-8/100



$1.8 \times 4 = 7.2 \text{ Ton.}$

புற அளவு 0.30

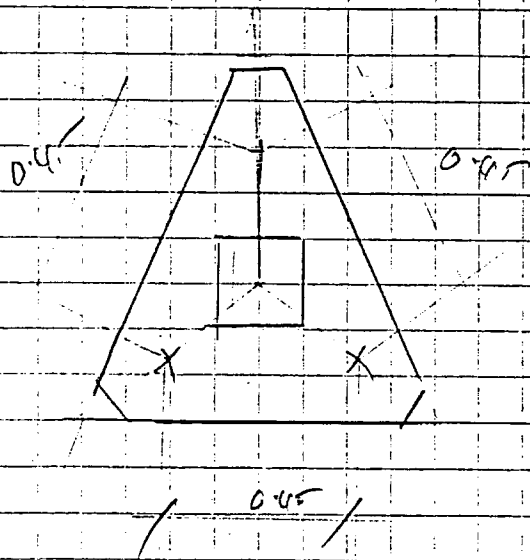
$M = 1.8 \times 2 \times 0.125$

$= 450 \text{ kg-m}$

$A_s = 1.7 \text{ cm}^2$

5 - RB-9 @ 0.20 #

F-2



18x3 0.4

$1.8 \times 3 = 5.4 \text{ Ton/meter}$

exterior Design

f'c = 200 kg/cm² (compression)

fc = 80 kg/cm²

fc = 1400 kg/cm² (80-80)

check for shear

v = 0.29 / sqrt(fc) = 2.1 kg/cm²

= 0.53 / sqrt(fc) = 4.50 kg/cm²

= 0.32 / sqrt(fc) = 4.5 kg/cm²

= 1.32 / sqrt(fc) = 12.7 kg/cm²

n = 9

k = 0.339

j = 0.887

f = 12.03 kg/cm²

Note: 15% increase in load

B-1

CASE 1

Assume section 0.2 x 0.4

$$M_c = 3400 \text{ kg-m}$$

$$d = 36 \text{ cm}$$

$$\left. \begin{aligned} W_{DL} &= 2 \times 250 \text{ kg/m} \\ W_{LL} &= 192 \text{ kg/m} \\ W_{WALL} &= 3.6 \times 180 = 648 \end{aligned} \right\} 1740 \text{ kg/m}$$

$$M = \frac{1}{8} w l^2$$

$$= \frac{1}{8} \times 1740 \times 0.5^2$$

$$= 1360 \text{ kg-m}$$

$$A_s = \frac{1360 \times 100}{1400 \times 0.887 \times 36}$$

$$= 3.04 \text{ cm}^2$$

A_{2175} A_{2175} A_{2175} A_{2175}
 4350

USE. → 2-DB 16

Stirrup RB 6 @ 0.20

B-1

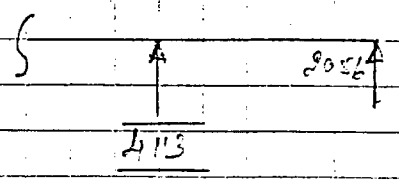
CASE 2

$$\left. \begin{aligned} W_{DL} &= 531 \text{ kg/m} \\ W_{LL} &= 192 \text{ kg/m} \\ W_{WALL} &= 648 \end{aligned} \right\} 1371 \text{ kg/m}$$

$$M = \frac{1}{8} w l^2$$

$$= \frac{1}{8} \times 1371 \times 0.5^2$$

$$= 1542 \text{ kg-m}$$



$$A_s = 3.45 \text{ cm}^2$$

USE. 2-DB 16

Stirrup RB 6 @ 0.20

8-2. 2.500.0

(14)

$$\left. \begin{aligned} W_{30-1} &= 1.531 \text{ kg/m} \\ W_{32} &= 1.92 \end{aligned} \right\} 1.25 \text{ kg/m}$$

$$m = \frac{1 \times 1.25 \times 6 \times 3^2}{8} \\ = 14.11 \text{ kg-m}$$

$$A = 3.00 - 2.00$$

use 2-56 B

stirrup AC 3 @ 0.20

NONIUM/RC PS-1

Criteria Design.

$$f_c' = 200 \text{ kg/cm}^2 \text{ (normal)}$$

$$f_c = 80 \text{ kg/cm}^2$$

$$f_s = 1400 \text{ kg/cm}^2 \text{ (SD-30)}$$

check for shear

$$v = 0.20 \sqrt{f_c'} = 4.1 \text{ kg/cm}^2$$

$$= 0.53 \sqrt{f_c'} = 7.50 \text{ kg/cm}^2$$

$$= 0.52 \sqrt{f_c'} = 4.5 \text{ kg/cm}^2$$

$$= 1.32 \sqrt{f_c'} = 18.7 \text{ kg/cm}^2$$

$$n = 9$$

$$k = 0.359$$

$$j = 0.887$$

$$R = 12.03 \text{ kg/cm}^2$$

concept. Design. PS-1 - R-32

- ①. Lateral earth pressure.
- ②. Lateral earth pressure + water table.
- ③. Inside water pressure.
- ④. ① - ③
- ⑤. 2 - ③

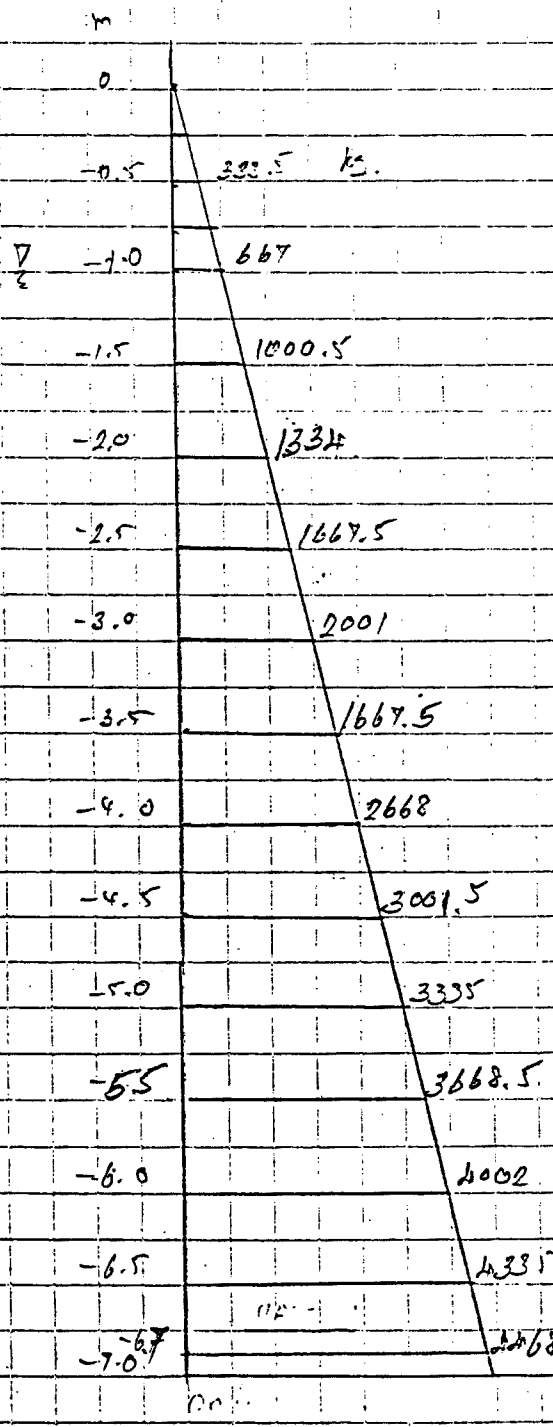
Maximum or minimum value of σ_v is maximum or minimum value.

Pumping Station PSI

① Lateral earth pressure

CASE I sand fill.

φ 30



$P_a = k_a \gamma h$

$k_a = 1/3$
 $\gamma = 2000$

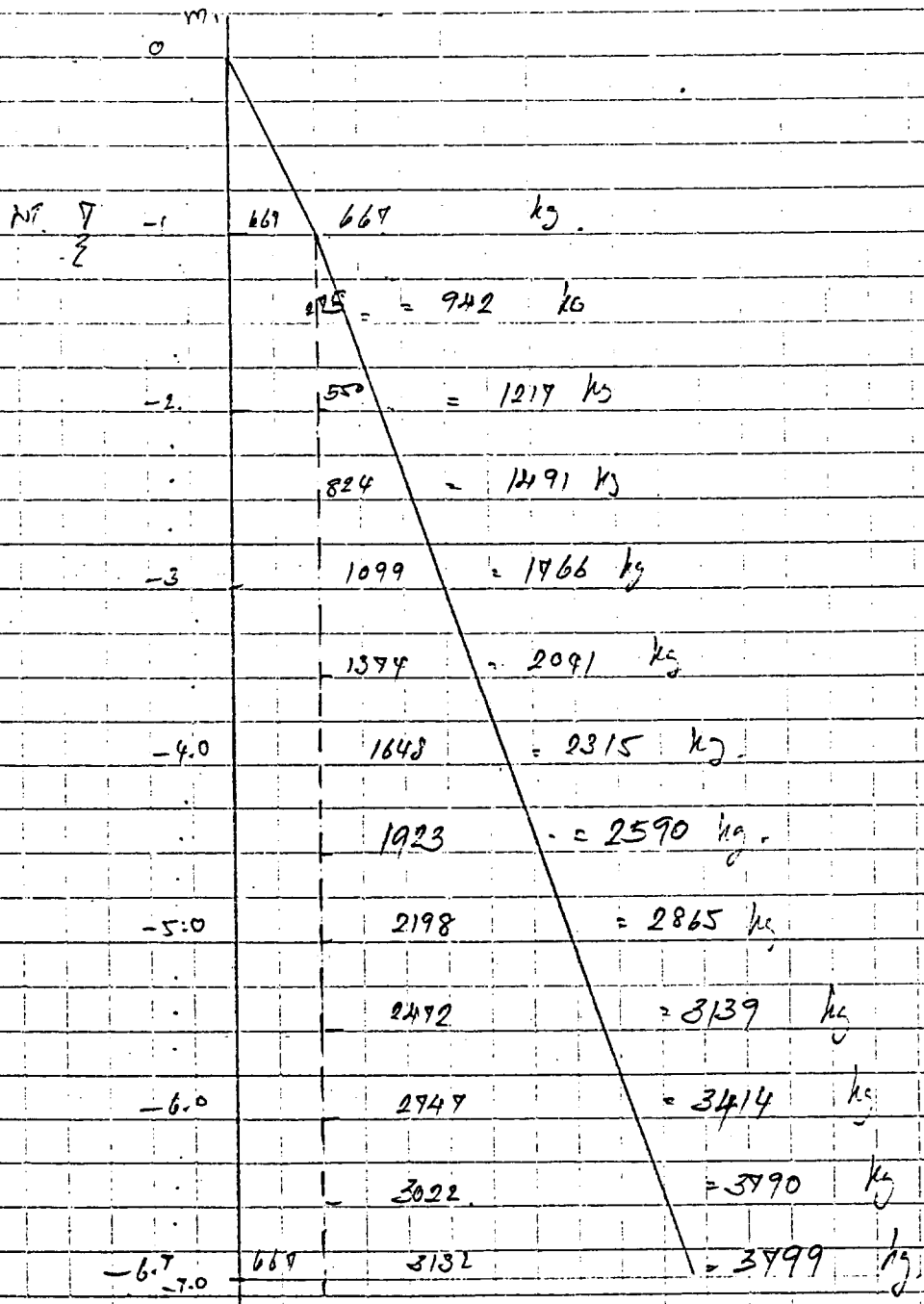
$= \tan^2(45 - \frac{\phi}{2}) \gamma h$
 $= \tan^2(45 - \frac{30}{2}) 2000 h$
 $= 667 h \text{ kg}$

(Maximum value at bottom)

Note - Maximum value at bottom CASE I

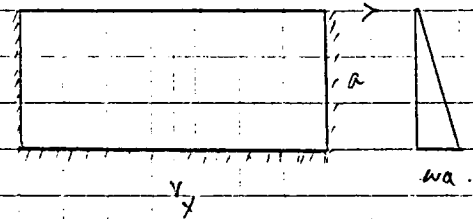
Latensi earth pressure + water table
sin WJ. $\rho_{air} \sigma_{sub} = 1.65$

$p = 0.333 \times 1650 h.$



CASE 7 from table b/a a/a

Inside WAFER:



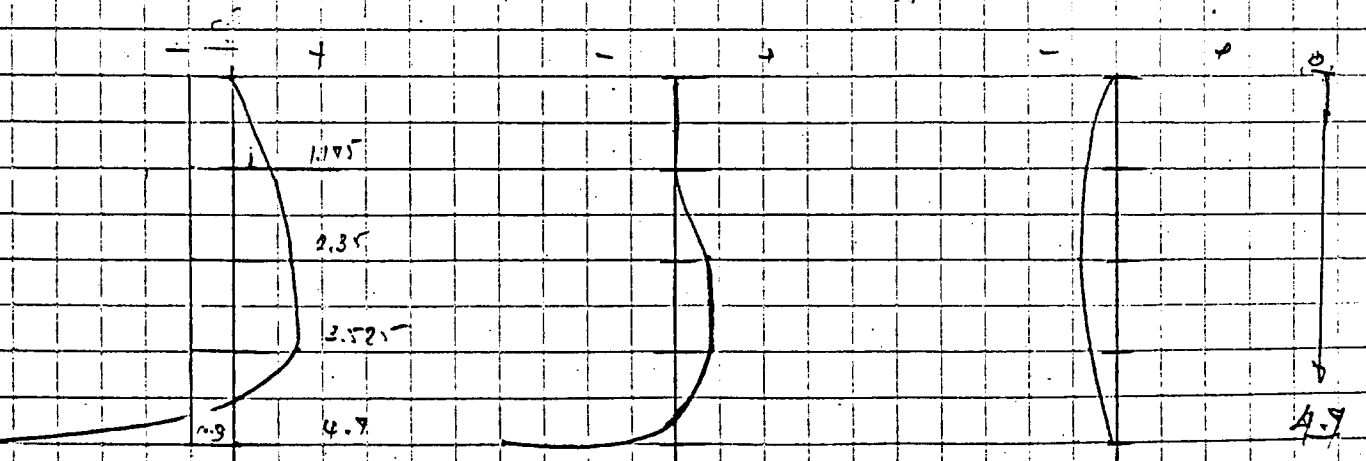
$M_0 = C_0 / \omega a^3$ $t = 0.3$

$\omega a =$

$b = 4.25$
 $a = 4.90$
 $b/a = 0.90$

Interpolate between 0.95 - 0.90.

| x/a | | $y = 0$ | | $y = b/4$ | | $y = b/2$ | | Unit |
|-------|-------|---------|---------|-----------|---------|-----------|---------|-------------------------|
| | | M_x | M_y | M_x | M_y | M_x | M_y | |
| 0 | C_0 | 0 | +0.009 | - | +0.0016 | - | -0.0136 | ks-m cm ² |
| | M_0 | - | +726 | - | +166 | - | -1412 | |
| | A_s | - | 2.4 | - | 0.55 | - | 4.72 | |
| $1/4$ | C_0 | +0.0016 | +0.0098 | - | +0.0026 | -0.0038 | -0.0182 | 1.195 |
| | M_0 | 166 | +1014 | - | +290 | -394 | -1890 | |
| | A_s | 0.55 | 3.40 | - | 0.90 | 1.32 | 6.31 | |
| $1/2$ | C_0 | +0.0094 | +0.0118 | +0.0038 | +0.0092 | -0.0098 | -0.0292 | 2.35 |
| | M_0 | 768 | +1025 | +395 | +436 | -498 | -2312 | |
| | A_s | 2.56 | 4.02 | 1.32 | 1.46 | 1.66 | 8.29 | |
| $3/4$ | C_0 | +0.0096 | +0.0096 | +0.0092 | +0.0036 | -0.0036 | -0.0192 | 3.525 |
| | M_0 | +789 | +789 | +436 | +373 | -379 | -1786 | |
| | A_s | 2.64 | 2.64 | 1.46 | 1.24 | 1.25 | 6.00 | |
| 1 | C_0 | -0.0306 | -0.0062 | -0.0192 | -0.0092 | - | - | 4.7 |
| | M_0 | -3177 | -644 | -1993 | -436 | - | - | |
| | A_s | 10.67 | 2.15 | -6.66 | 1.46 | - | - | |



$(M_x)_{y=0}$

$(M_x)_{y=b/4}$

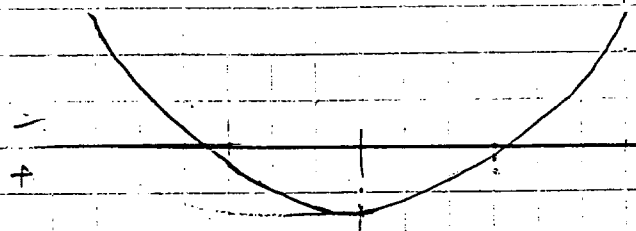
$(M_x)_{y=b/2}$

(M_x) moment diagram

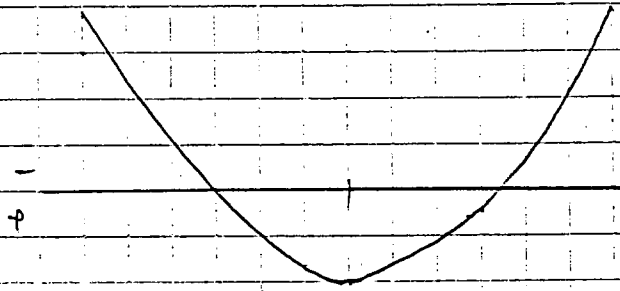
wall thickness = 0.30 ; $d = 0.25$

inversion k_s $\phi_{fs} = 0.9 + 1500 = 1250$ $1/cm^2$

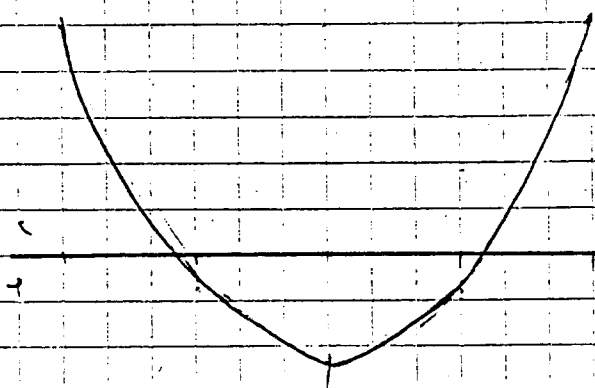
0, b/4, b/2



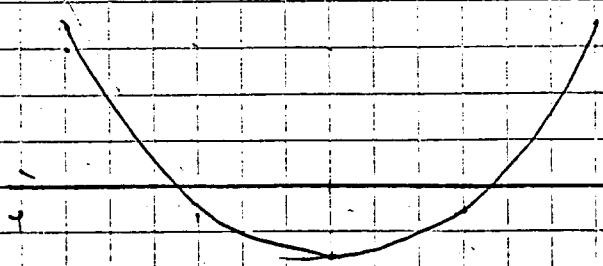
$$(M_y)_{x/a} = 0$$



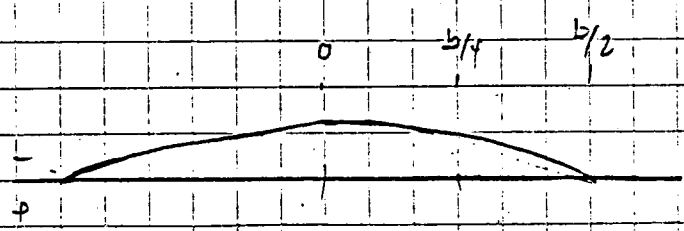
$$(M_y)_{x/a} = \frac{1}{4}$$



$$(M_y)_{x/a} = \frac{1}{2}$$



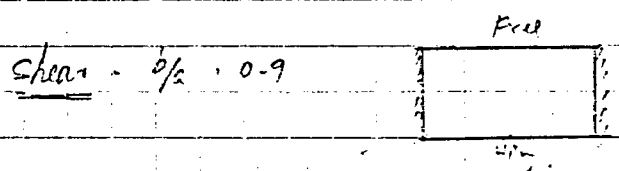
$$(M_y)_{x/a} = \frac{3}{4}$$



$$(M_y)_{x/a} = 1$$

(±)

Moment diagram



mid-point of bottom edge. = +0.2217 wa²
= +1897 kg

corner at bottom edge = -0.404 wa²
= -8924 kg

Top of fixed side edge = +0.002 wa²
= 197 kg

Mid point of fixed side edge = +0.232 wa²
= 5125 kg

Lower third-point of side edge = +0.284 wa²
= 6271 kg

Lower quarter point of side edge = +0.246 wa²
= 6006 kg

Total at bottom edge = +0.8264 wa²b
= 8096 kg $\frac{5.03 \times 20}{6 \times 100} = 1.67 \text{ cm/m}$

Total at one fixed side edge = 0.207 wa²b
= 19431 kg $\frac{19431}{6 \times 100} = 32.38 \text{ cm/m}$

Total at all four edges = 0.5 wa²b
= 46941 kg

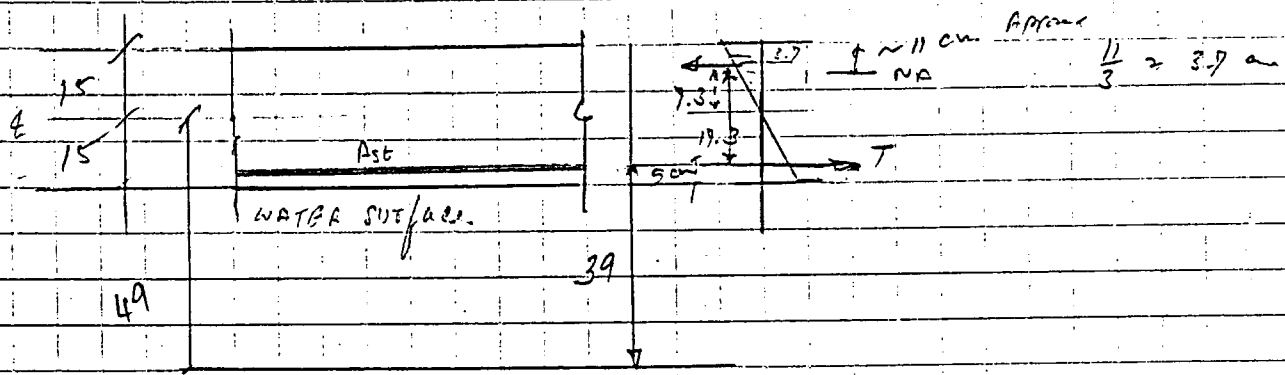
check for Horizontal steel from eccentric load.

Maximum Moment (edge)

M_y = 2512 kg-m

Shear = 5125 kg.

e of tensile force = 2512 / 5125 = 0.49 m



5125 (39 + 19.3) = A_{st} × 1350 × 19.3

288527.5 = A_{st} 23355

A_{st} = 12.4 cm²

DB 16 @ 0.15 ~ 12.06 cm² (13.5)

Maximum moment middle point

e = 1225 / 6406 = 19

6406 (9 + 19.3) = A_{st} × 1350 × 19.3

A_{st} = 7.21

DB 16 @ 0.30 ~ 6.03 cm² (6.7)

DB 16 @ 0.25 = 8.04 cm²

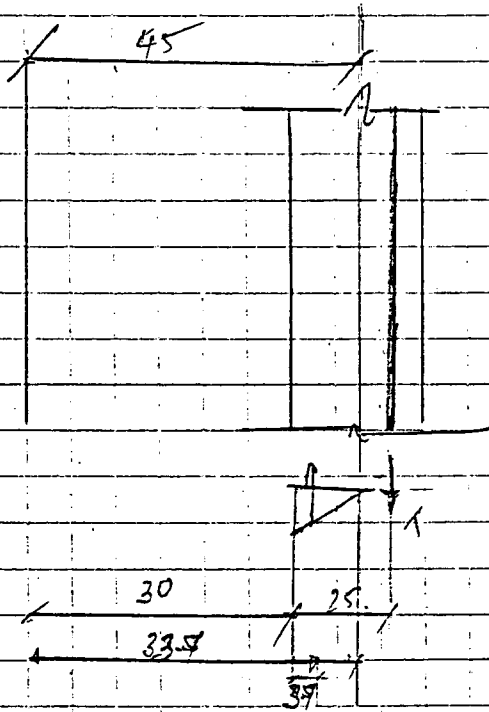
Vertical Moment check for eccentric load

$$DL = \frac{4.7 \times 0.3 \times 2400}{2}$$

$$= 1692 \text{ kg/m}$$

(Mid point)

$$\frac{M}{P} \cdot e = \frac{968}{1692} = 0.45$$



$$1692 \times 33.7 = A_s \times 1350 \times (25 - 3.7)$$

$$A_s = 2.0 \text{ cm}^2$$

$$\text{Minimum} = 0.002 \times 100 \times 30$$

$$= 6 \text{ cm}^2$$

DB 16 @ 0.30

Is can it rise maximum can 5050 wall?

CASE II from lateral earth pressure. & water table.

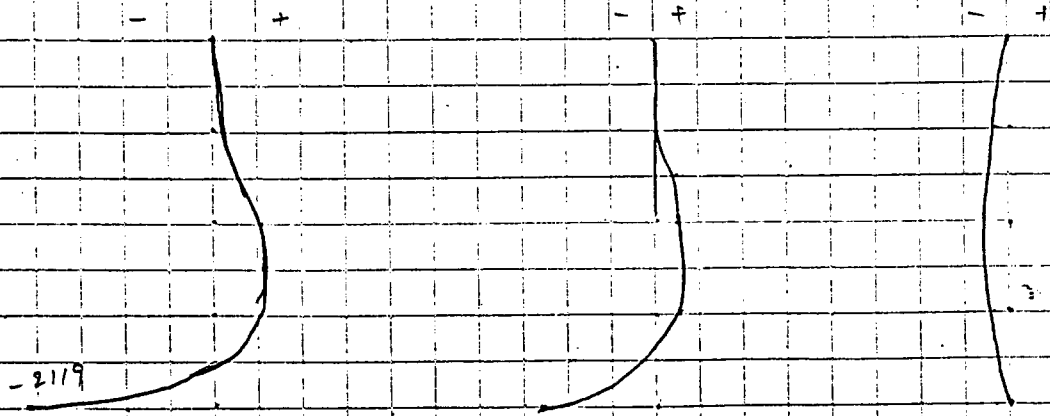
ਖਰਮਰਨਬਲਿਕਾਨਲ test ਮਸ਼ੀਨ ਟੋਰ ਟੋਰੀ / ਟੋਰੀਖਾਨ - Design ਮਿੰ. ਪੈਰਮਿਟ

(water pressure ਪਿੱਛੇ ਟੋਰੀ)

check.

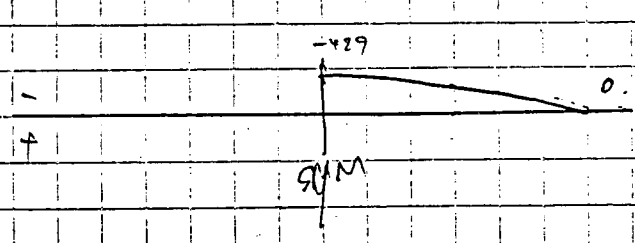
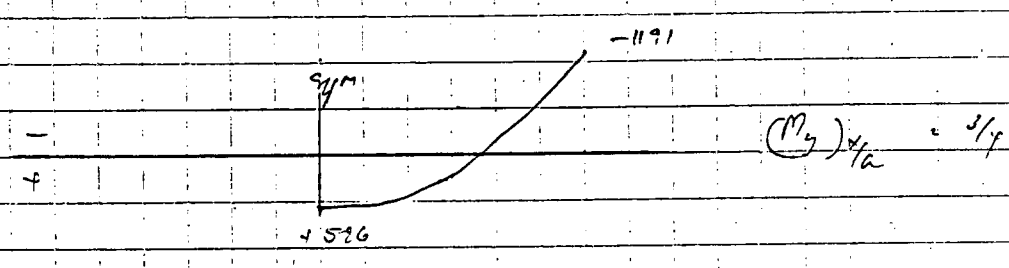
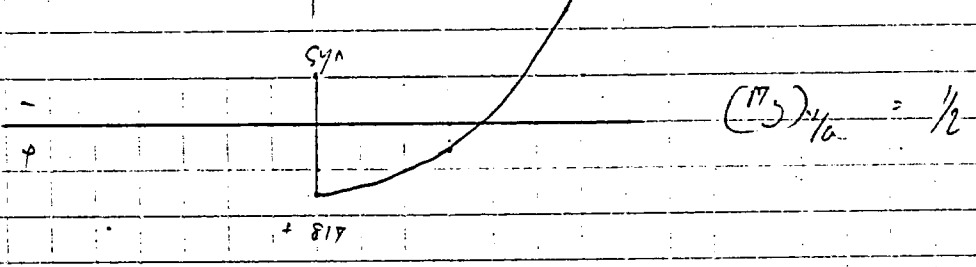
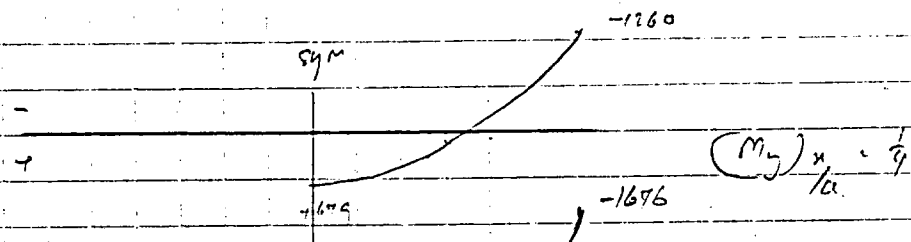
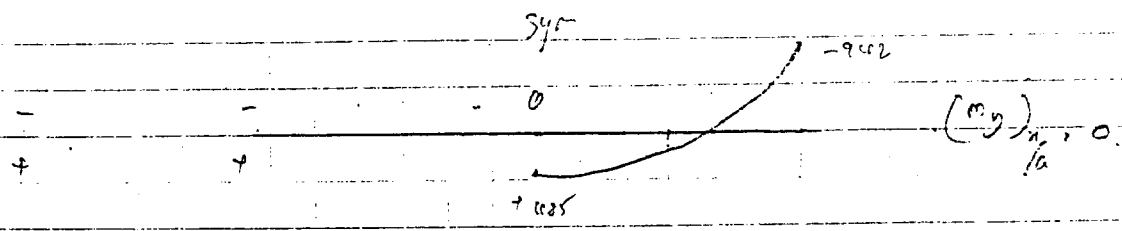
CASE II ਟੋਰੀ lateral earth pressure.

| $\frac{x}{a}$ | | $y = 0$ | | $y = b/4$ | | $y = b/2$ | |
|---------------|-------|---------|---------|-----------|---------|-----------|---------|
| | | M_x | M_y | M_x | M_y | M_x | M_y |
| 0 | C_0 | 0 | +0.007 | - | +0.0016 | - | -0.0186 |
| | M_0 | - | +485 | - | +111 | - | -942 |
| | A_0 | - | 1.6 | - | 0.4 | - | 3.1 |
| $\frac{1}{6}$ | | +0.0016 | +0.0099 | - | +0.0026 | -0.0038 | -0.0182 |
| | | +111.0 | +649 | - | +180 | -263 | -1060 |
| | | 0.4 | 2.2 | - | 0.6 | 0.9 | 4.2 |
| $\frac{1}{2}$ | | +0.0074 | 0.0118 | +0.0038 | +0.0042 | -0.0048 | -0.0292 |
| | | +512 | +817 | +264 | +291 | -333 | -1676 |
| | | 1.7 | 2.7 | 0.9 | 1.0 | 1.1 | 5.6 |
| $\frac{3}{4}$ | | +0.0076 | +0.0076 | +0.0042 | +0.0036 | -0.0036 | -0.0172 |
| | | +526 | +526 | +291 | +259 | -249 | -1191 |
| | | 1.7 | 1.7 | 1.0 | 0.8 | 0.8 | 3.9 |
| 1 | | -0.0906 | -0.0062 | -0.0192 | -0.0042 | - | - |
| | | -2119 | -429 | -1330 | -291 | - | - |
| | | 7.0 | 1.40 | 4.4 | 1.0 | - | - |



$(M_x)_{y=0}$

$(M_x)_{y=b/2}$



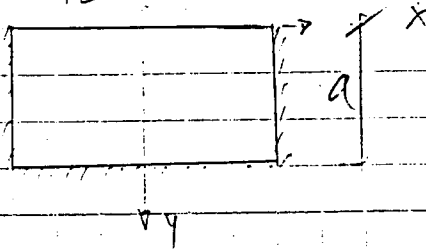
π

CASE 3 Deflect and rotate (w-d)

w-2

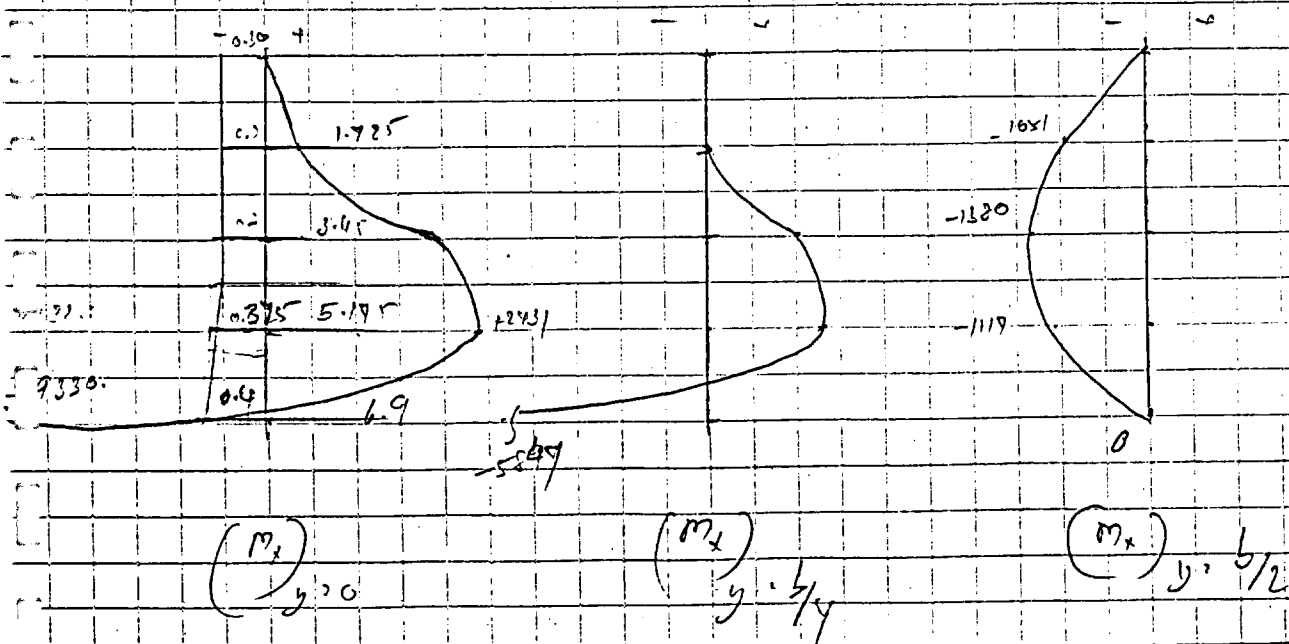
b/2 b/2

a = 6.9
b = 8.1
b/a = 0.85



| x/a | | $y = 0$ | | $y = b/4$ | | $y = b/2$ | |
|-------|-------|---------|---------|-----------|---------|-----------|---------|
| | | M_x | M_y | M_x | M_y | M_x | M_y |
| 0 | Def. | - | +0.006 | - | +0.0014 | - | -0.0114 |
| | M_x | - | +1991 | - | +460 | - | -3945 |
| | A_x | - | 6.5 | - | 1.5 | - | 12.5 |
| 1/4 | Def. | +0.0014 | +0.0092 | - | +0.0024 | -0.0032 | -0.0158 |
| | M_x | +460 | +3651 | - | +988 | -1051 | -5190 |
| | A_x | 1.5 | 10.8 | - | 2.6 | 3.5 | 17.3 |
| 1/2 | Def. | +0.0066 | +0.0112 | +0.0032 | +0.0038 | -0.0042 | -0.0218 |
| | M_x | +1991 | +3679 | +1051 | +1248 | -1320 | -9161 |
| | A_x | 6.6 | 12.3 | 3.5 | 4.2 | 4.6 | 23.9 |
| 3/4 | Def. | +0.0094 | +0.0074 | +0.0038 | +0.0034 | -0.0034 | -0.0158 |
| | M_x | +2431 | +2431 | +1248 | +1117 | -1117 | -5190 |
| | A_x | 6.2 | 6.2 | 3.2 | 2.9 | 2.9 | 13.3 |
| 1 | Def. | -0.0084 | -0.0058 | -0.0178 | -0.0032 | - | - |
| | M_x | -2320 | -1905 | -5849 | -1051 | - | - |
| | A_x | 22.26 | 4.5 | 14.0 | 2.5 | - | - |

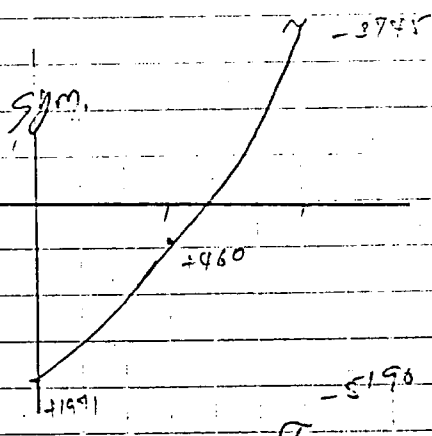
DB 20 @ 0.125



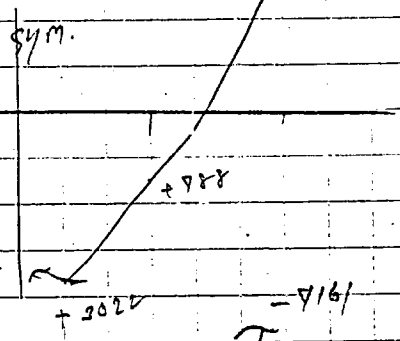
Moment diagram

-495

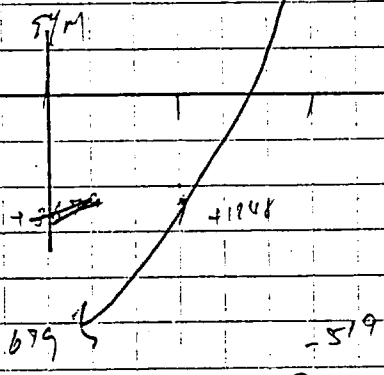
101



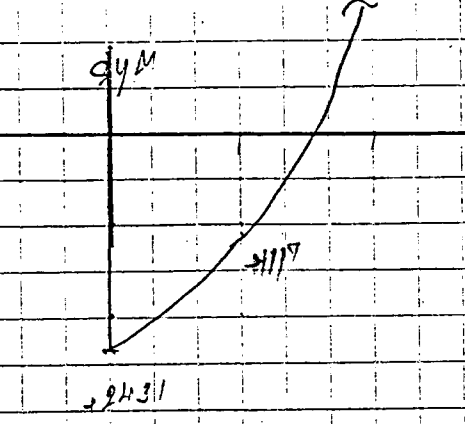
$$(M_y)_{x/a} = 0$$



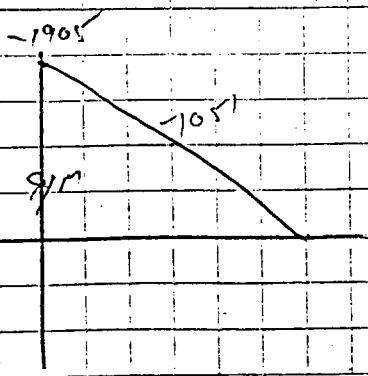
$$(M_y)_{x/a} = \frac{1}{9}$$



$$(M_y)_{x/a} = \frac{1}{2}$$



$$(M_y)_{x/a} = \frac{3}{4}$$



$$(M_y)_{x/a} = 1$$

Moment diagram

Shear

$$b/a = 0.85$$

$$\begin{aligned} \text{Midpoint of bottom edge} &= +0.2117 wa^2 \\ &= 10099 \quad ks \end{aligned}$$

$$\begin{aligned} \text{Corner of bottom edge} &= -0.3850 wa^2 \\ &= -18349 \quad ks \end{aligned}$$

$$\begin{aligned} \text{Top of fixed side edge} &= +0.007 wa^2 \\ &= +333 \quad ks \end{aligned}$$

$$\begin{aligned} \text{Midpoint of fixed side edge} &= +0.219 wa^2 \\ &= 10426 \quad ks \end{aligned}$$

$$\begin{aligned} &50000.15 \\ &52000.15 \end{aligned}$$

$$\begin{aligned} \text{Lower third-point of side edge} &= +0.2699 wa^2 \\ &= +12250 \quad ks \end{aligned}$$

step 1.2

$$\begin{aligned} \text{Lower quarter point of side edge} &= +0.2781 wa^2 \\ &= +12940 \quad ks \end{aligned}$$

$$\begin{aligned} \text{Total at bottom edge} &= +0.0816 wa^2 \\ &= +3885 \quad ks \end{aligned}$$

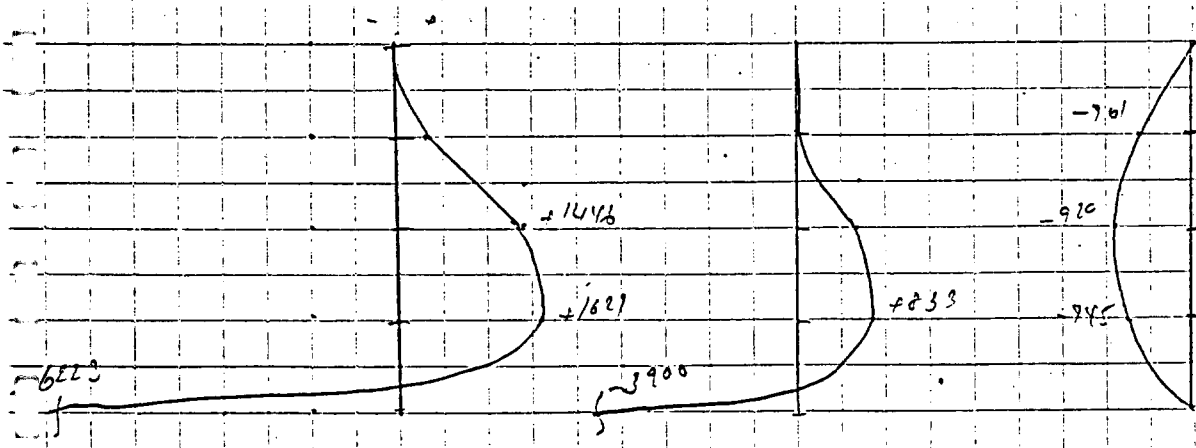
$$\begin{aligned} \text{Total at one fixed side edge} &= +0.2092 wa^2 \\ &= +9960 \quad ks \end{aligned}$$

$$\begin{aligned} \text{Total at all four sides} &= 0.5 wa^2 \\ &= 23805 \quad ks \end{aligned}$$

Case II lateral earth pressure = wt.

| $\frac{x}{a}$ | | $y = 0$ | | $y = b/4$ | | $y = b/2$ | |
|---------------|-------|---------|---------|-----------|---------|-----------|---------|
| | | M_x | M_y | M_x | M_y | M_x | M_y |
| 0 | Coef. | -1 | +0.006 | - | +0.0014 | - | -0.0114 |
| | M_0 | - | -1315 | - | +307 | - | -2497 |
| | A_s | - | 4.4 | - | 1.0 | - | 8.3 |
| 1/4 | Coef. | +0.0014 | +0.0092 | - | +0.0024 | -0.0032 | -0.0158 |
| | M_0 | +507 | +2016 | - | +526 | -701 | -3162 |
| | A_s | 1.0 | 6.7 | - | 1.7 | 2.3 | 11.5 |
| 1/2 | Coef. | +0.0066 | +0.0112 | +0.0032 | +0.0038 | -0.0042 | -0.0218 |
| | M_0 | +1446 | +2454 | +701 | +833 | -920 | -2777 |
| | A_s | 4.8 | 8.1 | 2.3 | 2.8 | 3.0 | 15.8 |
| 3/4 | Coef. | +0.0074 | +0.0074 | +0.0038 | +0.0034 | -0.0034 | -0.0158 |
| | M_0 | +1621 | +1621 | +833 | +745 | -745 | -3262 |
| | A_s | 4.1 | 4.1 | 2.1 | 1.9 | 1.9 | 8.8 |
| 1 | Coef. | -0.0224 | -0.0058 | -0.0178 | -0.0032 | - | - |
| | M_0 | -6223 | -1271 | -3900 | -701 | - | - |
| | A_s | 14.0 | 3.0 | 9.2 | 1.6 | - | - |

DB 16 @ 0.125 = 16.2 mm²

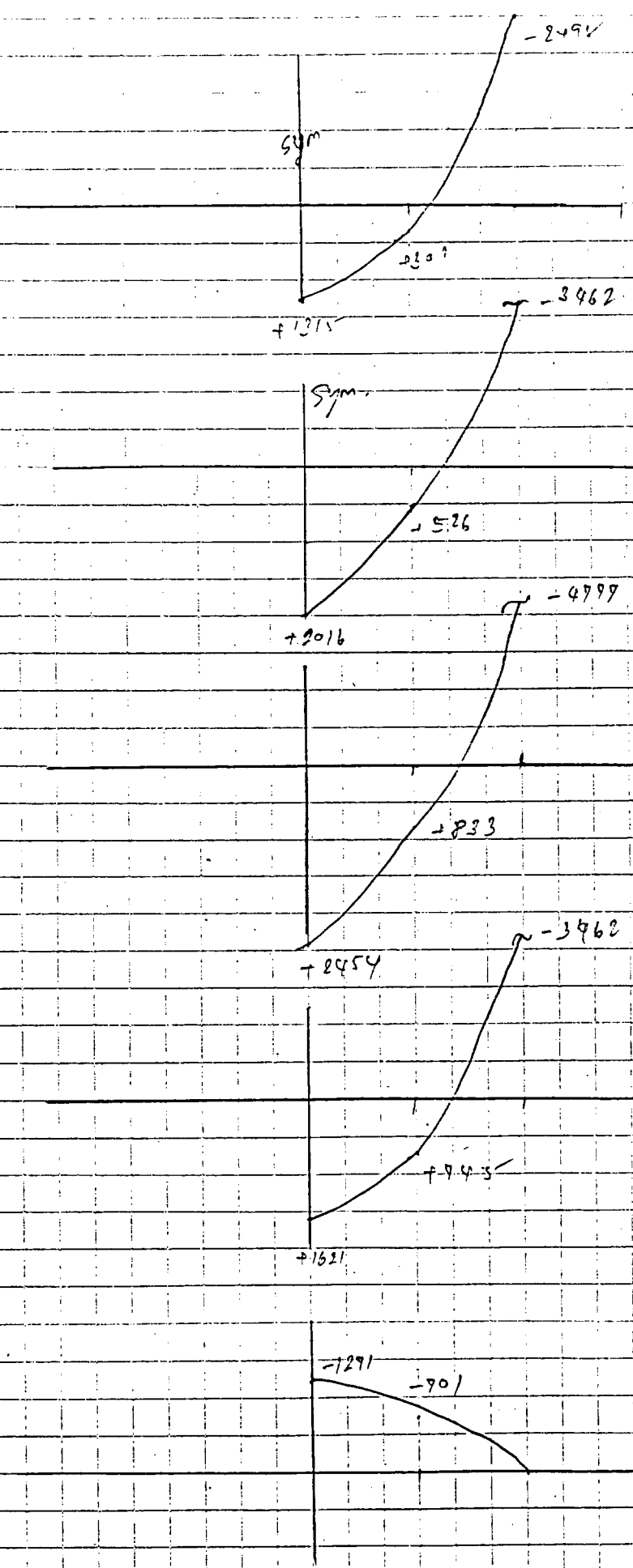


(M_x)_{y=0}

(M_x)_{y=b/4}

(M_x)_{y=b/2}

moment diagram



$(M_y)_{x/l_2} = 0$

$(M_y)_{x/l_2} = \frac{1}{4}$

Moment diagram

Design for slab on ground. $d = 0.25$ in $t = 0.40$

$$\left. \begin{array}{l} DL = 840 \text{ kg/m}^2 \\ \text{Water} = 6900 \text{ kg/m}^2 \end{array} \right\} 7740$$

$$m = \frac{1 \text{ sur.}}{8}$$

$$= \frac{1 \times 7740}{8}$$

$$= 968 \text{ kg-m}$$

1987

7740

$$A_s = 2.7 \text{ cm}^2/\text{m}$$

Temperature steel = 8.75 cm² DB 12 @ 0.20 # 60%
DB 16 @ 0.25 #

Design for uplift pressure.

uplift pressure. (dead)

$$0.27 \times 1.8 \times 2.5 \times 0.4 = 4.10 \text{ T/m}^2$$

$$\text{min. net upward} = 0.96 \text{ T/m}^2$$

uplift. in horizontal direction.

$$= 6.5 \text{ T/m}^2$$

$$m = \frac{1}{8} \text{ sur.}$$

$$= \frac{1}{8} \times 6500 \times 3^2$$

$$= 7312.5 \text{ kg-m}$$

$$A_s = 17.21 \text{ cm}^2$$

DB 20 @ 0.15

m = 1/8
1.25

uplift balance

① $6.5 \times 3 \times 7.5 = 146.25 \text{ Ton}$

② $4.02 \times 1.80 \times 3.0 = 22.11 \text{ Ton}$

③ $1.0 \times 2.5 \times 7.5 = 18.75 \text{ Ton}$
186.11

max. storage

Vol. = $1.004 + 1.044 + 18.0 \times 2 + 14.5 \times 0.23 + 5.07 + 7.17 + 11.9 + 2.32$

SUM = 83.3 m^3

$W_T = 83.3 \times 2400 = 200 \text{ Ton} > 180 \text{ Ton}$

F.S. = $\frac{200}{180} = 1.11$

(max storage) \Rightarrow Balance uplift.

Check for load carrying

* Bearing Capacity of soil $q_u = 6.90$ and $B = 3.80$

$B = 3.80 \text{ m}$

$$q_u = c N_c + \sigma D N_q + \frac{1}{2} \gamma B N_\gamma$$

$\phi = 0$

$i/c = 5.14$

$N_q = 1$

$N_\gamma = 0$

5.14

$$q_u = 5.14 S_u + \sigma$$
$$= 5.14 S_u + 2.0 \times 6.9$$

S_u - Undrain shear strength of soil ≈ 22 (86 m)

प्रस्तावित गहराई पर $S_u = 22$ (86 m)

- Factor of safety ≈ 1.62 and $6.9 \times 2.0 = 13.8$

$6.9 \times 2.0 = 13.8$

Note: S_u is the undrain shear strength of soil

प्रस्तावित गहराई पर S_u का उपयोग करके Design

use 1.62

$$q_u = 5.14 \times 1.62 + 2.0 \times 6.9 = 20.13 \text{ T/m}^2$$

$$q_{allow} = \frac{22}{2} = 11 \text{ T/m}^2$$

SF = 2

$$\text{or } \frac{20.13}{7.86} = 2.57$$

SF = 2.57

CASE ②

Check for bearing capacity (from Soil test)

$$q = 13 \text{ CN}_2 + 25 \text{ CN}_2 + 0.7 \text{ BM}_9$$

$$= 1.3 \times 1.22 + 5.10 = 5.8$$

$$= 12.16 + 5.8$$

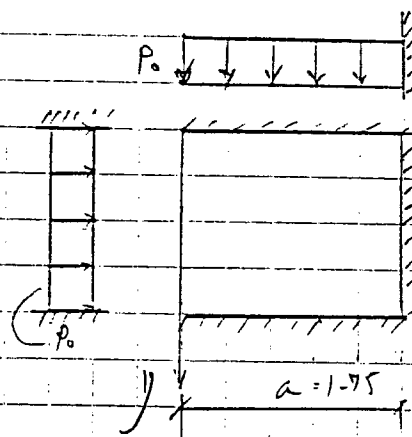
$$17.96 \text{ T/m}^2$$

$$\text{max. } \sigma_{D3-D1} = 6.9^{1/2} = 0.95 \text{ T/m}^2$$

$$= 7.86 \text{ T/m}^2$$

$$S.F = \frac{17.96}{7.86} = 2.28 \text{ ok}$$

নিচের ধরে:



$$\nu = 0.15$$

(33)

$$2400 \text{ kg/m}^2$$

$$P_0 = 2400 \times 288 = 3188 \text{ kg/m}^2$$

$$b = 1.80$$

$$a/b = b/a = 1.0$$

$$a = 1.75$$

CASE

$$(1) \quad (m_x)_{x=a, y=l/2} = \alpha P_0 a^2 = -0.0559 \times 3188 \times 1.75^2 = -546.0 \text{ kg-m}$$

$$(2) \quad (m_x)_{x=a/2, y=b/2} = c_1 P_0 b^2 = +0.0084 \times 3188 \times 1.8^2 = +87.0 \text{ kg-m}$$

$$(3) \quad (m_y)_{x=a/2, y=b/2} = c_2 P_0 b^2 = +0.0295 \times 3188 \times 1.8^2 = +284.0 \text{ kg-m}$$

$$(4) \quad (m_y)_{x=0, y=b/2} = c_3 P_0 b^2 = +0.0435 \times 3188 \times 1.8^2 = +429.0 \text{ kg-m}$$

$$(5) \quad (m_y)_{x=a/2, y=0, b} = \beta P_0 b^2 = -0.0664 \times 3188 \times 1.8^2 = -686.0 \text{ kg-m}$$

$$(6) \quad (m_x)_{x=0, y=0, b} = \gamma P_0 b^2 = -0.0851 \times 3188 \times 1.8^2 = -879.0 \text{ kg-m}$$

for $a/b = 1$

$$c_1 = +0.0084$$

$$c_2 = +0.0295$$

$$\alpha = -0.0559$$

$$\beta = -0.0664$$

$$c_3 = +0.0435$$

$$\gamma = -0.0851$$

CASE

$$(1) \quad A_s = 5.6 \text{ cm}^2$$

$$(2) \quad A_s = 0.9 \text{ cm}^2$$

$$(3) \quad A_s = 2.9 \text{ cm}^2$$

$$(4) \quad A_s = 4.6 \text{ cm}^2$$

$$(5) \quad A_s = 7.06 \text{ cm}^2$$

$$(6) \quad A_s = 9.05 \text{ cm}^2 \text{ for DB 12 @ 0.125}$$

$$t = 0.12 \text{ m} \quad \text{for } t = 0.15 \text{ mm}$$

$$d = 0.08 \text{ m}$$

MMXII 2012 PS-2

Critical Design

Pump

(32)

Control Horz. (2)

$$f_c = 900 \text{ kg/cm}^2$$

$$f_c = 80 \text{ kg/cm}^2$$

$$f_c = 1100 \text{ kg/cm}^2$$

Critical Design

$$v = 0.99 \sqrt{f_c} = 4.1 \text{ kg/cm}^2$$

$$v = 0.53 \sqrt{f_c} = 7.50 \text{ kg/cm}^2$$

$$v = 0.32 \sqrt{f_c} = 4.5 \text{ kg/cm}^2$$

$$v = 1.32 \sqrt{f_c} = 12.7 \text{ kg/cm}^2$$

$$n = 9$$

$$k = 0.337$$

$$j = 0.887$$

$$R = 12.03 \text{ kg/cm}^2$$

S-1

t = 0.10

$$\begin{aligned}
 D1 &= 200 \text{ kg/m}^2 \\
 D2 &= 240 \text{ kg/m}^2 \\
 D3 &= 440 \text{ kg/m}^2
 \end{aligned}$$

$$m = 0.875 \quad 4 \times 3.5$$

$$\begin{aligned}
 m &= 0.068 \times 440 \times 2.5 \\
 &= 367 \text{ kg-m}
 \end{aligned}$$

$$A_s = \frac{367 \times 100}{1400 \times 0.87777}$$

4.22 cm² DB 12 @ 0.20

$$\begin{aligned}
 W_L &= 595 \text{ kg/m} \\
 W_s &= 513 \text{ kg/m}
 \end{aligned}$$

S-2

$$\begin{aligned}
 m &= \frac{1}{8} \times 4.40 \times 1.5^2 \\
 &= 124 \text{ kg-m}
 \end{aligned}$$

$$A_s = \frac{124 \times 100}{1400 \times 0.87777}$$

1.16 cm² DB 12 @ 0.20

$$W_L = 330 \text{ kg/m}$$

B-1

| | | | | | |
|------------|---|-------------------------------|---|------|-------------|
| W_{PSI} | = | 513×2 | = | 1026 | } 1806 kg/m |
| W_{wall} | = | 3×180 | = | 540 | |
| W_{SL} | = | $0.2 \times 0.15 \times 9000$ | = | 270 | |

$m = \frac{1}{8} w l^2$

$= \frac{1}{8} \times 1026 \times 3.5^2$, $\frac{1}{8} \times 1806 \times 11^2$

$= 2765 \text{ kg-m}$, $= 3612 \text{ kg-m}$

$A_1 = \frac{2765 \times 100}{1000 \times 0.25 \times 9.8}$, $\frac{3612 \times 100}{1400 \times 0.25 \times 9.8}$

$= 6.2 \text{ cm}^2$, 8.3 cm^2

$\rightarrow 4-DB 16$, $5-DB 16$

$V = 46 @ 0.20$, $V = (3161 - 13) / 1.15 = 2708$

$U = 3.0 \text{ @ } 0.1 \text{ kilor} \quad d$

B-2

| | | | | | |
|------------|---|----------------|---|----------|-------------|
| W_{PSI} | = | 330×2 | = | 660 kg/m | } 1260 kg/m |
| W_{wall} | = | 2×180 | = | 360 kg/m | |
| W_{SL} | = | | = | 240 kg/m | |

$m = \frac{1}{8} \times 1260 \times 2.5^2$

$= 990$

$A_1 = 8.3 \text{ cm}^2 \rightarrow 2-DB 16$

$V = 46 @ 0.20$

B-1

| | | | | | |
|------------|---|--------------------------------|---|------|-------------|
| W_{RS} | = | 513×2 | = | 1026 | } 1806 kg/m |
| W_{Wall} | = | 3×180 | = | 540 | |
| W_{DL} | = | $0.2 \times 0.15 \times 25000$ | = | 750 | |

$$M = \frac{1}{8} w l^2$$

$$= \frac{1}{8} \times 1806 \times 3.5^2$$

$$= 2765 \text{ kg-m}$$

$$= \frac{1}{8} \times 1806 \times 11^2$$

$$= 3612 \text{ kg-m}$$

$$A_1 = \frac{2765 \times 100}{1000 \times 0.22 \times 9.85}$$

$$= 6.2 \text{ cm}^2$$

$$\rightarrow 6-DB 16$$

$$A_2 = \frac{3612 \times 100}{1000 \times 0.22 \times 9.85}$$

$$= 8.3 \text{ cm}^2$$

$$\rightarrow 5-DB 16$$

$$V = 46 @ 0.20$$

$$V = (3161 - 813) / 1.15 = 2758$$

$$V = 3.0 @ 0.1 \text{ klcr2 cl}$$

B-2

| | | | | | |
|------------|---|----------------|---|----------|-------------|
| W_{RS} | = | 330×2 | = | 660 kg/m | } 1260 kg/m |
| W_{Wall} | = | 2×180 | = | 360 kg/m | |
| W_{DL} | = | | = | 240 kg/m | |

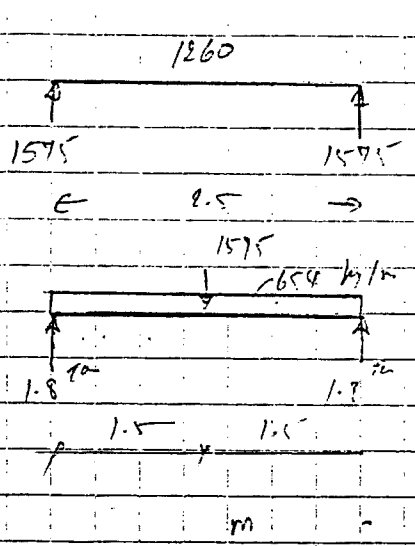
$$M = \frac{1}{8} \times 1260 \times 2.5^2$$

$$= 99.0$$

$$A_1 = 2.3 \text{ cm}^2 \rightarrow 2-DB 16$$

$$V = 46 @ 0.20$$

B-3



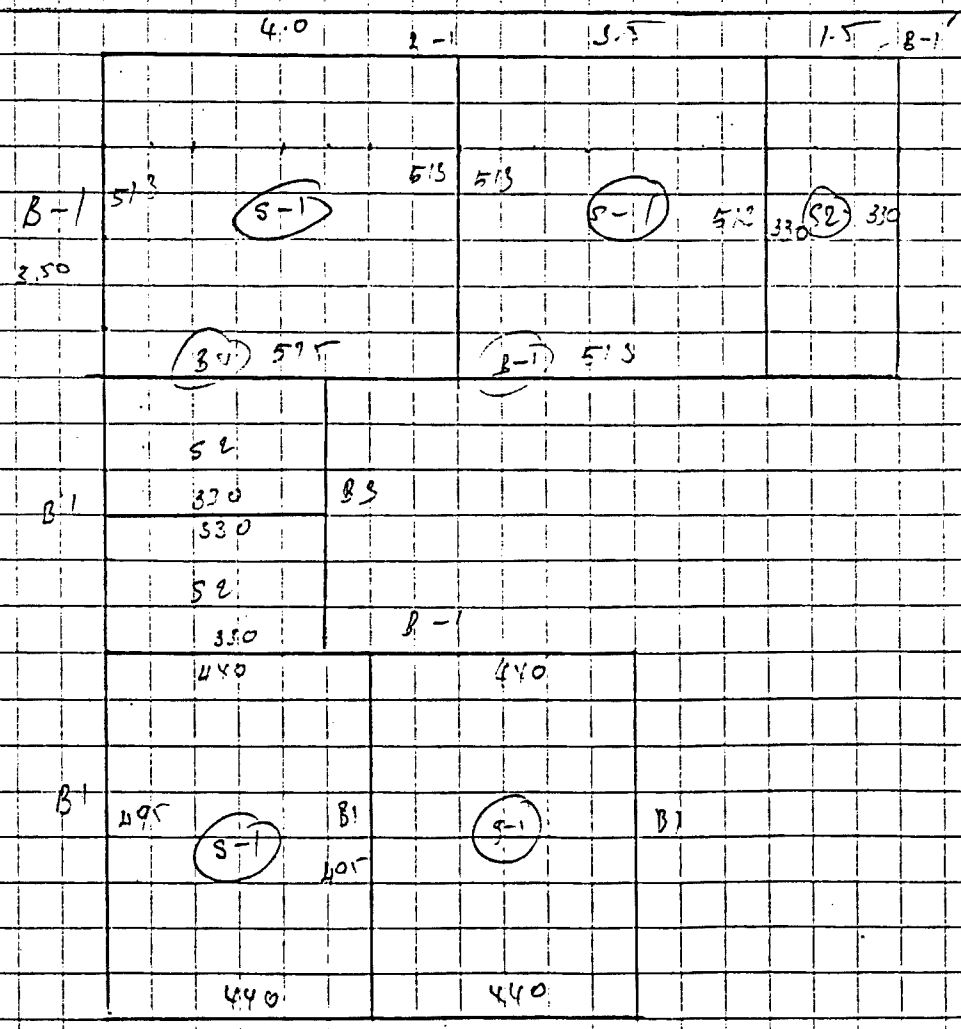
$W_{DL} = 2 \times 180 = 360$
 $W_{SS} = 2 \times 330 = 660$
 $W_{DL} = 240$
1260 kg/m

$W_{DL} = 2.5 \times 180 = 450$
 $W_{SS} = 840$
654 kg/m

$A_s = \frac{1917 \times 100}{1450 \times 0.667 \times 21}$
 $= 6.2 \text{ cm}^2$

Use 4 - 2E / 6

87 φ 6 @ 0.20



7/12 700

| | | |
|-----|-----|------------|
| 9.6 | | |
| 9.6 | 2.6 | 3.1 2.3 |

| | | |
|--|-----|---------------------|
| | 1.7 | |
| | | SUM = 8 + 1.5 = 9.5 |

7.5 Tu

| | | |
|-----|-----|------------|
| 1.9 | 1.9 | 1.9 |
| 1.9 | 1.9 | 3.1 1.9 |

SUM 9.9 + 5 = 14.9

P1 MAY 14 Tu

P2 MAY 9 Tu max.

> 6.9 + 2.7

16 on 2 ps-1

| | | |
|--|-----|--|
| | | |
| | 1.7 | |

F-1 17 4 56

F-2 17 3 56

2.43

1.8

4.23

НОМЕРИ ГР. РС-2

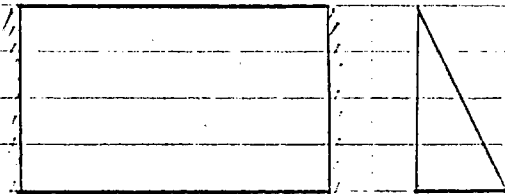
Состав Держ. Стандарт РС-1)

CASE I

Beam with Full. $\frac{b}{a}$

Step 2

20



$M = Co. / y a^3$

$b/a = 9/8 = 1.125$

$b = 9.0$

$a = 8.0$

$w = 1000$

| $\frac{y}{a}$ | | $y = 0$ | | $y = b/a$ | | $y = b/2$ | |
|---------------|-------|---------|---------|-----------|---------|-----------|---------|
| | | M_1 | M_2 | M_1 | M_2 | M_1 | M_2 |
| 0 | Co. | 0 | +0.012 | 0 | +0.0025 | 0 | -0.0235 |
| | M_0 | - | 6144 | - | 1280 | - | -12032 |
| | A_1 | - | 14.5 | - | 3.0 | - | 28.0 |
| | | | | | | | |
| $\frac{1}{4}$ | Co. | +0.0035 | +0.013 | +0.001 | +0.004 | -0.006 | -0.0285 |
| | M_0 | 1792 | 6656 | 512 | 2048 | 3072 | 14592 |
| | A_1 | 3.0 | 11.0 | 0.8 | 3.4 | 5.0 | 24.0 |
| | | | | | | | |
| $\frac{1}{2}$ | Co. | +0.0115 | +0.014 | +0.0065 | +0.006 | -0.0065 | -0.033 |
| | M_0 | 5888 | 7168 | 3328 | 3072 | 3328 | 16896 |
| | A_1 | 10.8 | 13.12 | 6.1 | 5.6 | 6.0 | 30.9 |
| | | | | | | | |
| $\frac{3}{4}$ | Co. | +0.007 | +0.0095 | +0.005 | +0.0045 | -0.0045 | -0.022 |
| | M_0 | 3584 | 3840 | 2560 | 2304 | 2304 | 11264 |
| | A_1 | 5.9 | 6.3 | 4.22 | 3.8 | 3.8 | 18.6 |
| | | | | | | | |
| 1 | Co. | -0.041 | -0.008 | 0.0265 | -0.0055 | 0 | 0 |
| | M_0 | 20992 | 4096 | 13560 | 2816 | - | - |
| | A_1 | 31.4 | 6.7 | 22.4 | 4.6 | - | - |
| | | | | | | | |

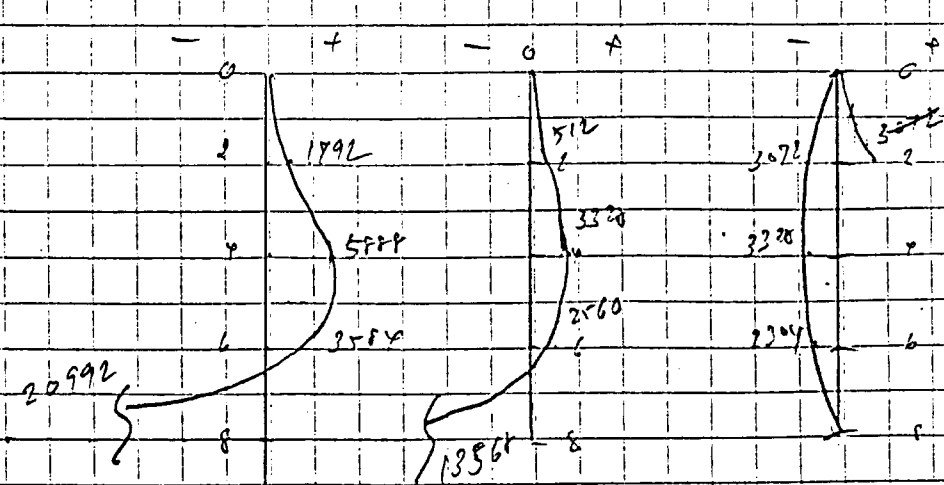
0.40

0.45

0.50

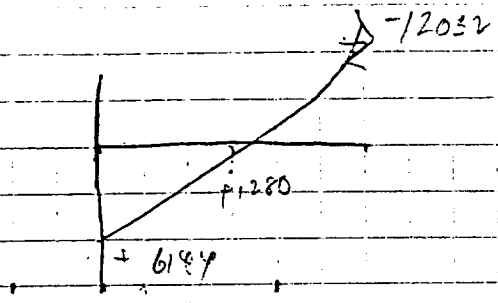
0.55

0.60



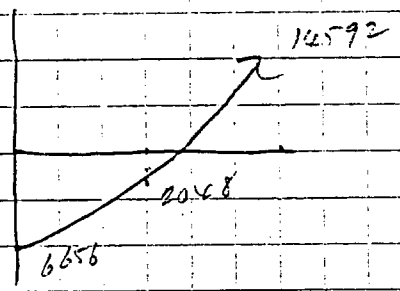
0.05

M_2 / Moment diagram



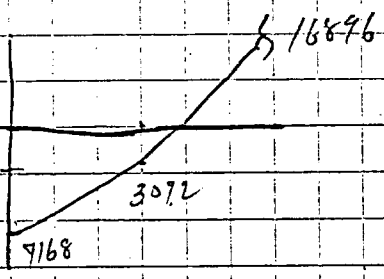
$$\frac{x}{a} = 0$$

0.4



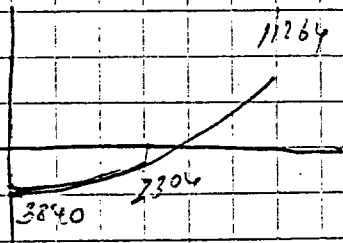
$$\frac{x}{a} = \frac{1}{4}$$

0.45



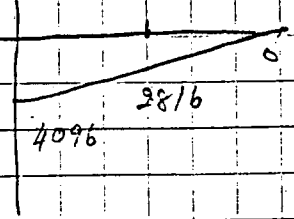
$$\frac{x}{a} = \frac{1}{2}$$

0.50



$$\frac{x}{a} = \frac{3}{4}$$

0.55



0.6

CASE: Lateral soil pressure

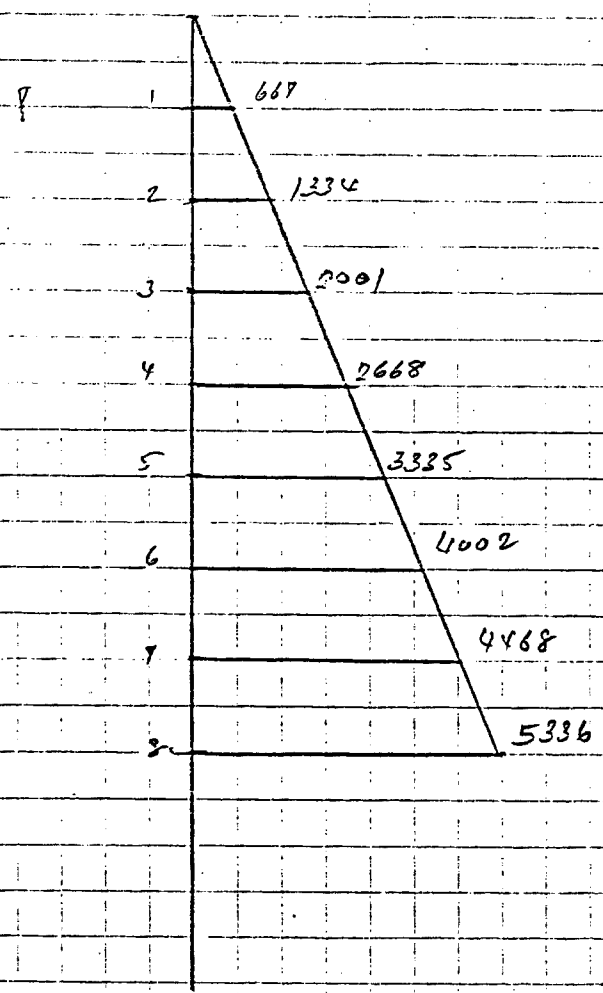
22/2000

$$P_a = k_0 \gamma h$$

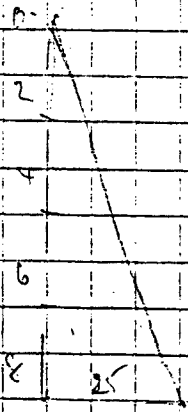
$$= \tan^2(45^\circ - \frac{\phi}{2}) \gamma h$$

$$= \tan^2(45^\circ - \frac{30^\circ}{2}) \gamma h$$

$$= 0.667 \gamma h \quad \text{kg}$$



| $\frac{x}{a}$ | | $y = 0$ | | $y = b/4$ | | $y = b/2$ | | | |
|---------------|-------|---------|---------|-----------|---------|-----------|----------|---|------------|
| | | M_x | M_y | M_x | M_y | M_x | M_y | | |
| 0 | Coef | - | +0.012 | - | +0.0025 | - | -0.0235 | 0 | t = 0.31 |
| | M_0 | - | +4098 | - | 857 | - | 8025 | | |
| | A_s | - | 11.75 | - | | - | 22.0 | | |
| | | | 0.00025 | | | | 0.000475 | | |
| 1/4 | Coef | +0.0035 | +0.012 | +0.001 | +0.004 | -0.006 | -0.0285 | 2 | t = 0.4125 |
| | M_0 | +1195 | 4420 | 391 | 1366 | 2049 | 9733 | | |
| | A_s | 2.7 | 10.1 | 6.2 | 3.1 | 4.6 | 22.12 | | |
| 1/2 | Coef | +0.0115 | +0.010 | 0.0065 | +0.006 | -0.0065 | -0.033 | 4 | t = 0.495 |
| | M_0 | 3927 | 4781 | 2220 | 2049 | 2220 | 11270 | | |
| | A_s | 7.6 | 9.3 | 4.3 | 4.0 | 4.3 | 21.8 | | |
| 3/4 | Coef | -0.009 | +0.0235 | +0.005 | +0.0045 | -0.0045 | -0.022 | 6 | t = 0.5275 |
| | M_0 | 2390 | 2561 | 1707 | 1537 | 1536 | 7513 | | |
| | A_s | 4.0 | 4.3 | | 2.6 | 2.6 | 12.7 | | |
| 1 | Coef | -0.041 | -0.008 | -0.0265 | -0.0055 | - | - | 8 | t = 0.6 |
| | M_0 | -14002 | 2732 | -9050 | 1278 | - | - | | |
| | A_s | 20. | 4.1 | 13.6 | 2.8 | - | - | | |
| | | 21.0 | | | | | | | |



Shape:

Midpoint of bottom edge. = $0.296 wa^2 = + 11722 \frac{1}{2}$

Center of bottom edge. = $-0.476 wa^2 = - 20319 \frac{1}{2}$

Top of fixed side edge = $+0.032 wa^2 = + 1366$

Midpoint of fixed side edge = $+0.227 wa^2 = 12251$

Lower third-point of side edge. = $+0.335 wa^2 = 14290$

Upper quarter-point of side edge = $+0.334 wa^2 = 14258$

Total at bottom edge = $0.229 wa^2 = 47256$

$\frac{47256}{9.00 \times 55}$

Total at on fixed side edge = $0.188 wa^2 = 72228$

Total at all four edge = $0.561 wa^2 = 192096$

WALSH'S DO.

bottom edge. = $\frac{47256 \frac{1}{2}}{20 \times 8} = \frac{295 \text{ cm}^2 / 1.65}{6.28} \approx 47 \text{ cm} / 1.21$

$\therefore \text{res. DC} \approx 50 \text{ cm} / 1.35$

$\frac{72228}{20 \times 8 \times 6.28} = 72 \text{ cm} / 1.21$

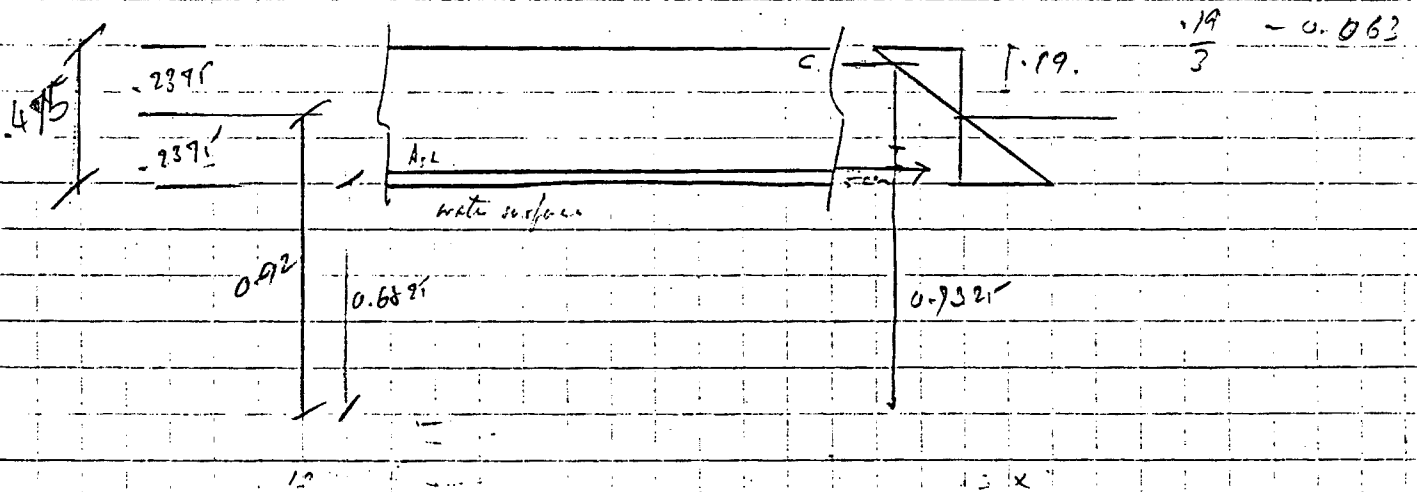
Check for Horizontal Stress From eccentric load

Maximum Moment (edge)

$M_{max} = 11270$

$e = \frac{11270}{12251} = 0.92$

Shear = 12251



$12251(0.6825 + 0.2375 + 0.126) = A_{st} \times 1800(-1.26 + 0.2375)$

$12814 = A_{st} \times 509$

$A_{st} = 25.2$

$DB\ 20\ @\ 0.125 = 25.12$

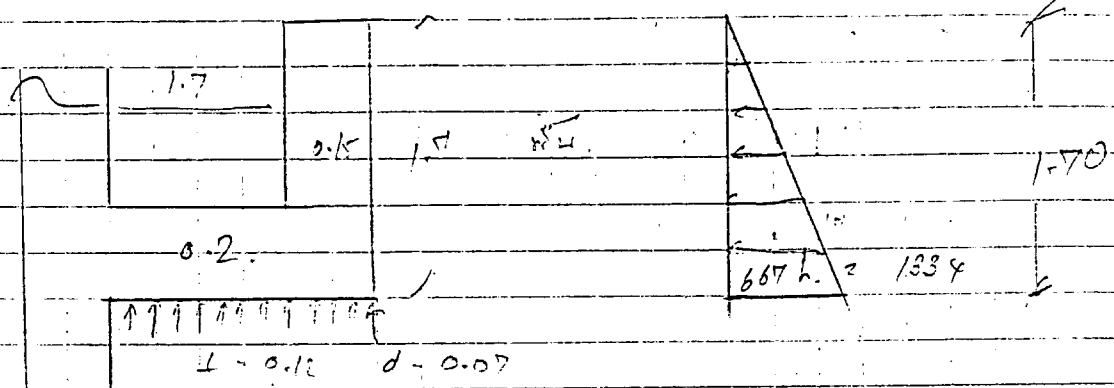
Wahl der l_1

$$b/2 = 0.5 = 0.2$$

$$L = 0.2$$

| $\frac{x_1}{a}$ | | $y = 0$ | | $y = b/4$ | | $y = b/2$ | |
|-----------------|---------------|---------|---------|-----------|---------|-----------|---------|
| | | M_x | M_y | M_x | M_y | M_x | M_y |
| 0 | σ_{ij} | - | +0.0007 | - | +0.0016 | - | -0.0136 |
| | M_0 | - | -200 | - | 200 | - | 1000 |
| | A_2 | - | 4.87 | - | 1.1 | - | 9.46 |
| $\frac{1}{4}$ | σ_{ij} | +0.0016 | +0.0098 | - | +0.0026 | -0.0038 | -0.0182 |
| | M_0 | -200 | +1225 | - | 325 | 475 | -2275 |
| | A_2 | 1.1 | 6.82 | - | 1.81 | | 12.66 |
| $\frac{1}{2}$ | σ_{ij} | +0.0074 | +0.0118 | +0.0038 | +0.0072 | -0.0044 | -0.0242 |
| | M_0 | +200 | +1275 | +475 | 525 | 600 | 3025 |
| | A_2 | 5.15 | 8.21 | 2.64 | 2.92 | | 16.84 |
| $\frac{3}{4}$ | σ_{ij} | +0.0076 | +0.0076 | +0.0042 | +0.0036 | -0.0036 | -0.0214 |
| | M_0 | +950 | 950 | +525 | 470 | 450 | 3325 |
| | A_2 | 5.29 | 5.29 | 2.92 | 2.5 | 2.5 | 18.79 |
| 1 | σ_{ij} | -0.0306 | -0.0054 | -0.0192 | -0.0402 | - | - |
| | M_0 | -3825 | -675 | -2400 | 825 | - | - |
| | A_2 | 21.3 | 3.76 | 13.36 | 2.92 | - | - |

DB 20 G 0.125
DB 16 O 0.10



$$m = \frac{1780 \times 1.7}{8}$$

$$= 394$$

$$A = 8.5 \quad \text{SB 12 O 0.125}$$

$$\text{WALL } m = \frac{1}{2} \times 1334 \times 1.7 \times \frac{1}{3} \times 1.7$$

$$= 602$$

$$A = 5.4 \quad \text{SB 12 O 0.15}$$

check for uplift: $200 \frac{m^2}{m}$

$$= 1700 - 420 = 1280 \text{ k/m}$$

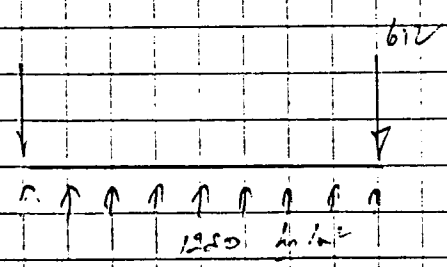
$$m = \frac{1280 \times 1.7^2}{2}$$

$$= 1863 \text{ kg-m}$$

(consideration of the soil)

$$A = 9.7 \text{ cm}^2 \quad \text{SB 12 O 0.125}$$

1200 x 200 mm reinforcement



$$m = \frac{1}{2} \times 1220 \times 1.7^2$$

$$= 440$$

$$A = 2.4 \text{ cm}^2 < A_{req}$$

PC 2. CRANE HOIST

| | | | | | | |
|--------------------|---|------|-----|---|------|-----|
| mm. pump | = | 2500 | kg. | } | 2600 | kg. |
| mm. DSH | = | 100 | kg | | | |
| mm. m ² | = | 20 | kg | | | |

Impact load 25 %

$$W_T = 1.25 (2600)$$

$$= 3275 \text{ kg.}$$

mm. w₀ = 60 kg/m.

$$M = \frac{1}{4} \cdot 3275 \times 2.5 + \frac{1}{8} \times 60 \times 4.5^2$$

$$= 3684 + 152$$

$$= 3836 \text{ kg-m}$$

$$F_a = 0.6 \times 2600$$

$$= 1440 \text{ kg/cm}^2$$

$$S = \frac{3836 \times 100}{1440}$$

$$= 266.4 \text{ cm}^3$$

I 200 x 150 x 50.4 kg/m

I 250 x 125 x 38.3 kg/m.

| | | | | | | |
|-------|---|-------|-----------------|---|-----|-------|
| t_1 | = | 9 | | | = | 7.5 |
| t_2 | = | 16 | | | = | 10.5 |
| r_1 | = | 15 | | | = | 12 |
| r_2 | = | 7.5 | | | = | 6 |
| A | = | 64.16 | | | = | 48.79 |
| I_x | = | 4060 | cm ⁴ | | = | 5180 |
| I_y | = | 753 | | | = | 337 |
| i_x | = | 8.34 | | | = | 10.3 |
| i_y | = | 3.43 | | | = | 2.63 |
| Z_x | = | 446 | cm ³ | | = | 414 |
| Z_y | = | 10 | | | = | 53.9 |
| r_y | = | 0.26 | bf | = | 3.9 | |
| | | | | | = | 3.25 |

მისწავლით მოხდა

$$\frac{157.7}{\sqrt{3}} < \frac{b_f}{\sqrt{12}} = \frac{150}{2 \times 0}$$

$$\frac{125}{2 \times 7.5} = 2.3 < 8.9$$

მისწავლით მოხდა

$$\frac{4}{\lambda_T} = \frac{150}{3.9} = 115.6$$

$$\frac{150}{8.25} = 188.5$$

$$F_A = 760$$

$$S = 504$$

$$n C_b = 1.85$$

$$637.2 b_f = 195 < L_b$$

$$\sqrt{F_y}$$

$$1,106,000$$

$$F_y (d/A_T)$$

$$C_L < 2.32$$

$$\sqrt{\frac{717 \times 10^4 \times 2.32}{9000}} = 83 < \frac{L}{\lambda_T} \Rightarrow > 2.3 \Rightarrow F_b = 1195$$

$$S = \frac{3236 \times 100}{1195}$$

$$= 321 < 446 \text{ cm}^3$$

$$\sqrt{\frac{3585 \times 10^4 C_b}{F_y}} = 186 > \frac{L}{\lambda_T} \Rightarrow 137 < 138$$

$$F_b = \frac{1195 \times 10^3 C_b}{(21.7)^2}$$

$$= 1098$$

$$S = \frac{3236 \times 100}{1098}$$

$$= 350 \text{ cm}^3$$

$$\frac{L}{\lambda_T} = 115$$

$$\frac{L}{\lambda_T} = 138$$

$$F_b = \left[\frac{0}{3} - \frac{F_c (1-\mu)}{10756 \times 10^8 \text{ cb}} \right] F_c$$

$$= \left[\frac{0}{3} - \frac{2200 (1-\mu)}{10756 \times 10^8 \text{ cb}} \right] 2200$$

$$= 1294.9 \text{ kg/cm}^2$$

$$S = \frac{3256 \times 10^4}{1294.9} = 2518 \text{ cm}^2 < 2516$$

$$F_b = \left[\frac{0}{3} - \frac{2200 (1-\mu)}{10756 \times 10^8 \text{ cb}} \right] 2200$$

$$= 1160 \text{ kg/cm}^2$$

$$S = \frac{3256 \times 10^4}{1160} = 2807 \text{ cm}^2 < 2816$$

модуль упругости $V = \frac{3295 \times 60 \times 4.5}{2}$

$$= 3410$$

$$f_u = \frac{3410}{0.9(200 - 2 \times 16)}$$

$$= 22.6 < 1500$$

$$f_v = \frac{3410}{0.75(250 - 8 \times 12.5)}$$

$$= 20.2 < 1200$$

Deflection

$$\Delta = \frac{Pl^3}{48EI} + \frac{5WL^4}{384EI}$$

$$\Delta = \frac{3295 \times 2150^3}{48 \times 2.04 \times 10^8 \times 4460} + \frac{5 \times 70 \times 4.5^4 \times 470}{384 \times 2.04 \times 10^8 \times 4460}$$

$$= 0.68 + 0.009$$

$$= 0.7 < 2.5 \text{ cm ok}$$

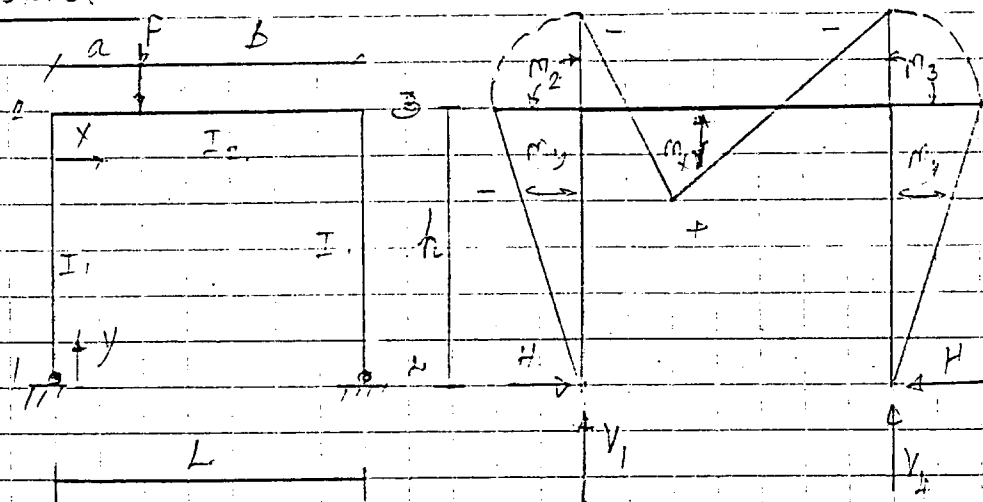
$$\Delta = \frac{3295 \times 450^3}{48 \times 2.04 \times 10^8 \times 5180} + \frac{5 \times 70 \times 4.5^4 \times 470}{384 \times 2.04 \times 10^8 \times 5180}$$

$$= 0.6 + 0.009$$

$$= 0.7 < 2.5 \text{ cm ok}$$

модуль $I = 280 \times 120 \times 38.3 \text{ cm}^4/m$

Pin support



$$M_2 = M_3 = -\frac{3Pkab}{2L}$$

$$M_y = M_0 \frac{y}{h}$$

$$V_1 = P \left(1 - \frac{a}{L}\right)$$

$$V_2 = \frac{Pa}{L}$$

$$H = -\frac{M_2}{h}$$

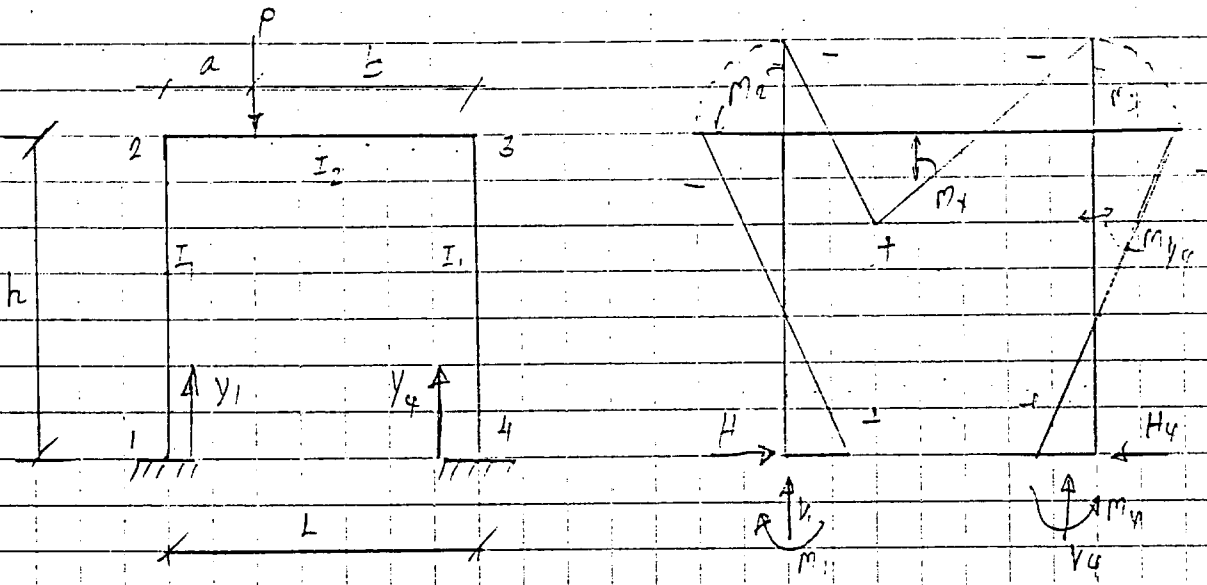
when $x \leq a$,

$$M_x = \frac{Pbx}{L} = M_2$$

when $x > a$

$$M_x = \frac{Pa(1-x)}{L} = M_2$$

Fixed Supports



$$M_1, M_4 = \frac{Pab}{2L} \left[\frac{1}{D} + \frac{L-2a}{LE} \right]$$

$$H = \frac{3Pab}{2hD}$$

For $\pm M_1 = -M_4 = +$

$$M_2, M_3 = \frac{Pab}{L} \left[\frac{1}{D} + \frac{L+2a}{LE} \right]$$

where $M_2 = +$ and $M_3 = -$

$$V_4 = \frac{Pa}{L} \left[1 - \frac{b - (2ab/L)}{LE} \right]$$

$$V_1 = P - V_4$$

when $x \leq a$: $m_x = (Pb - M_4) \frac{x}{L} = m_2 \left(1 - \frac{x}{L} \right)$

when $x > a$: $m_x = (Pa + M_1) \left(1 - \frac{x}{L} \right) = m_3 \frac{x}{L}$

$$m_{y1} = \frac{m_2 y_1}{h} = m_2 \left(1 - \frac{y_1}{h} \right)$$

$$m_{y4} = \frac{m_3 y_4}{h} = m_3 \left(1 - \frac{y_4}{h} \right)$$

$$F = \frac{I_2}{I_1} \left(\frac{h}{b}\right)$$

$$c = \frac{I_2}{I_1} \left(\frac{h}{l}\right)$$

$$G = 2 + 2c$$

$$c = 2 + 2c$$

$$J = 40 + 3$$

$$F = 1 - 3c$$

$$k = \frac{1}{3 + 2c}$$

$$F_1 = F \left(\frac{1 - c^2}{h^2} \right)$$

h = Radius of gyration

h = Horizontal component of force vector h

I = Moment of inertia in m^4

$$c = \frac{I_2}{I_1} \left(\frac{h}{l}\right) = \frac{1}{1} \left(\frac{h}{3}\right) = 1.33$$

$$d = 2 + 1.33 = 3.33$$

$$F = 1 - 6 \times 1.33 = 2.98$$

$$m_1, m_2 = \frac{9150 \times 40 \times 80}{2 \times 120} \left[\frac{1}{3.33} + \frac{120 + 5446}{120 \times 898} \right]$$

$$= \frac{95333}{3.33} \left[\frac{1}{3.33} + 0.037 \right]$$

$$\Rightarrow \textcircled{a} = 25101 \text{ lb-in} = 285 \text{ lb-m}$$

$$\textcircled{b} = 32156 \text{ lb-in} = 365 \text{ lb-m}$$

$$S = \frac{365}{1446} = 25.35 \text{ cm}^3$$

$$\text{WR } 150 \times 150 \times 22.315 \text{ kg/m} \quad S = 319 \text{ cm}^3$$

$$\text{WR } 15 \times 1250 = 125 \times 257 \text{ kg/m}$$

$$m_m = 2992$$

113°

Содержание. Содержание. / Contents.

| | | | | |
|---------------------|-----|---|-----|-----------|
| влияние / influence | P-1 | - | 1.5 | 100 / 100 |
| | P-2 | - | 2.5 | 100 / 100 |

| | | | | |
|----------------------------|------|---|----|---|
| общая часть / general part | φ 80 | - | 30 | m |
| | φ 60 | - | 50 | m |

| | | | | |
|------|---|---|-------|---------|
| φ 80 | 0 | - | 2.116 | 2.5 m/s |
| | | | | 2.2 l/s |

| | | | |
|---|---|-------|-------------------|
| Q | - | 1.065 | m ³ /s |
| | | 1065 | liters/s |

| | | | |
|--|---|-------|-----|
| | - | 0.007 | |
| | - | 2.2 | 700 |

Design For Thrust Block.

- calculation of Resultant Thrust Bend.

$$R = 2(PA + \rho QV) \sin \frac{\theta}{2} \quad \text{--- (1)}$$

R . Resultant thrust (N)

P . pressure. (Pa)

A . cross-sectional area (m²)

ρ . density (kg/m³) for water at 20°C.

Q . discharge (m³/s)

v . velocity of flow (m/s)

θ . Angle of bend (degree).

- Since the velocity head is negligible in most water supply system the above formula can be rewritten in the form

$$R = 1.541 \times 10^{-5} H \cdot D^2 \sin \frac{\theta}{2} \quad \text{--- (2)}$$

R . resultant thrust (kN)

H . total head (m)

D . pipe external diameter (mm)

سؤال رقم 20 cm 45° Bend

$$p = 0.35 \times 10^6 \quad (\text{Pa}) \quad (20 \text{ m})$$

$$A = \frac{\pi \times 0.8^2}{4} \quad (\text{m}^2)$$

$$\rho = 1000 \quad (\text{kg/m}^3)$$

$$Q = 1.26 \quad \text{m}^3/\text{s}$$

$$V = 2.5 \quad \text{m/s}$$

$$\theta = 45^\circ$$

$$R = 2 \left(0.35 \times 10^6 \times \frac{\pi \times 0.8^2}{4} + 1000 \times 1.26 \times 2.5 \right) \sin \frac{45^\circ}{2}$$

$$= 139061 \quad \text{N}$$

$$= 13972 \quad \text{kg}$$

أي 14 طن.

→ Velocity head is negligible

$$R = 1.541 \times 10^5 (20) (800)^2 \sin \frac{45^\circ}{2}$$

$$= 113.22 \quad \text{kN}$$

$$= 11.5 \quad \text{طن}$$

For Design use 14 طن.

If use 5 Times to increase

$$R = 70 \quad \text{طن}$$

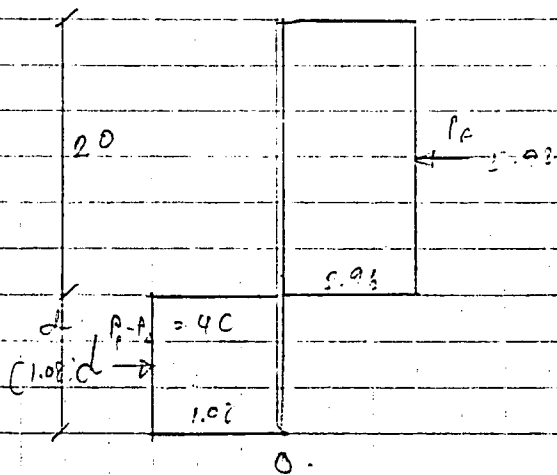
For eq (1)

$$R = 57.5 \quad \text{طن}$$

For eq (2)

CASE ① PROBLEM 5.17

W.T.



$$C_p = \bar{x}_c - 2c$$

$$= (1.75)2 - \frac{0.5d + 2}{2}$$

$$= 2.96$$

$$F_p = 2.96 \times 2$$

$$= 5.92$$

$$h_c = \frac{0.5d + 2}{2}$$

$$= 1.08$$

$$E M_o = 0$$

$$5.92(d+1) - (1.08d) \frac{d}{2} = 0$$

$$5.92d + 5.92 - \frac{1.08d^2}{2} = 0$$

$$10.96d + 10.96 - d^2 = 0$$

$$d^2 - 10.96d - 10.96 = 0$$

$$d = 1.1$$

neg sol. $d_{min} = 1.63 \geq 4 \text{ in } d$

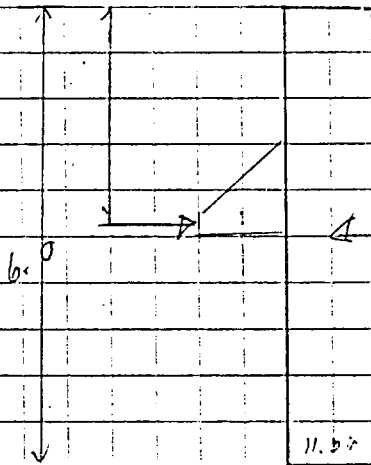
Ques. 138

$$P = 12 \text{ ton}$$

Approximate 50% for friction

$$P = 21.0 \text{ ton}$$

pile: 8-EPX55 = 3.0 m
(100 = 3.0 m)



$$P_f = 21 \times 20$$

$$s_p = 1.75 \times 6 + \frac{21 \times 20}{2}$$

$$P_f = 11.04$$

$$P_f = 11.04 \times 642$$

$$= 132.48 \text{ ton}$$

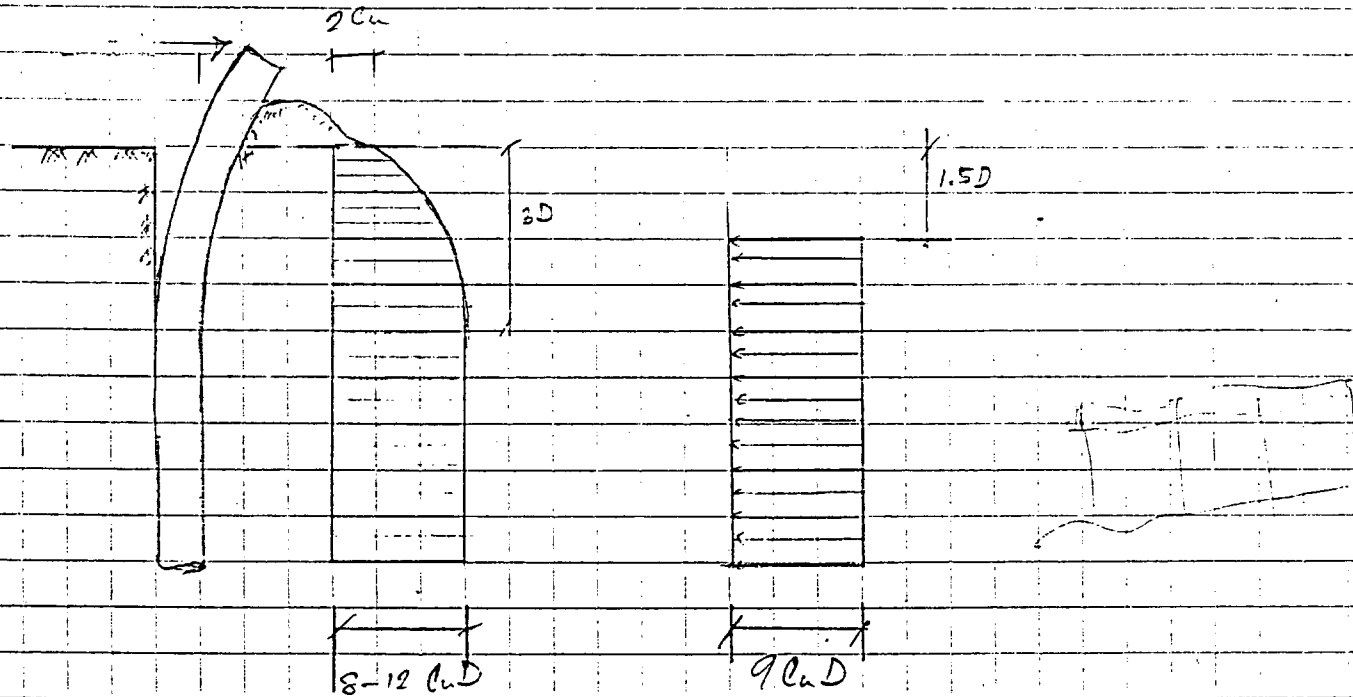
$$S.F = \frac{132.48}{21.0} = 6.3 \text{ cm}$$

$$\text{Allow stress } 21 \text{ ton} = 0.95 \times 0.85 \times 200 \times A$$

$$A = 174 \text{ cm}^2$$

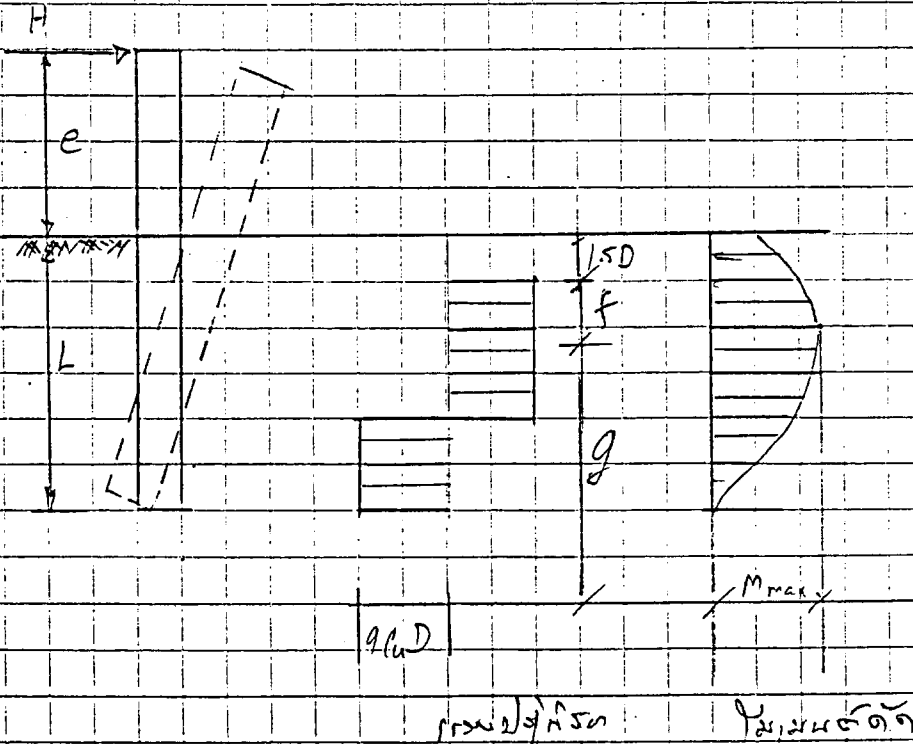
$$A \text{ min } \text{allowable} = 174 \text{ cm}^2$$

Design of Laterally Loaded pile in cohesive soil



CASE (1)

1. M_{max} at top of pile



2. M_{max} at top of pile

3. M_{max} at top of pile

$$f = H_{ult} / 2C_u D$$

$$M_{max} = H_{ult} (e + 1.5D + 0.5f)$$

$$M_{max} = 2.25 C_u D^2$$

170

τ_{max} : \int $\frac{V}{I} \cdot y \cdot dy$

τ_u : ultimate shear strength

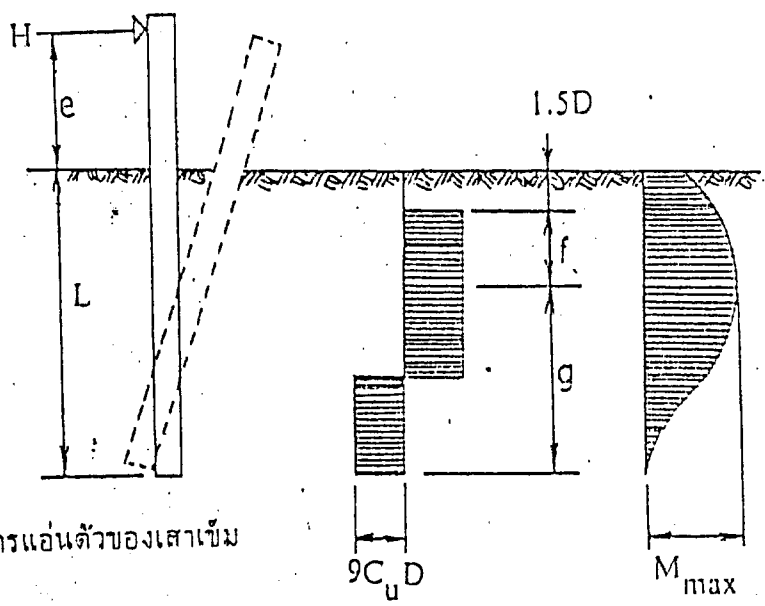
D = $\frac{1}{2} \left(\frac{V}{I} \cdot y \cdot dy \right)$
196 0.9: 0.1

f, e, g = $\frac{1}{2} \left(\frac{V}{I} \cdot y \cdot dy \right)$

11. การตั้งราคาขายปลีก
12. การตั้งราคาขายส่ง

13. การตั้งราคาต้นทุน

14. การตั้งราคาขายปลีก
15. การตั้งราคาขายส่ง
16. การตั้งราคาต้นทุน

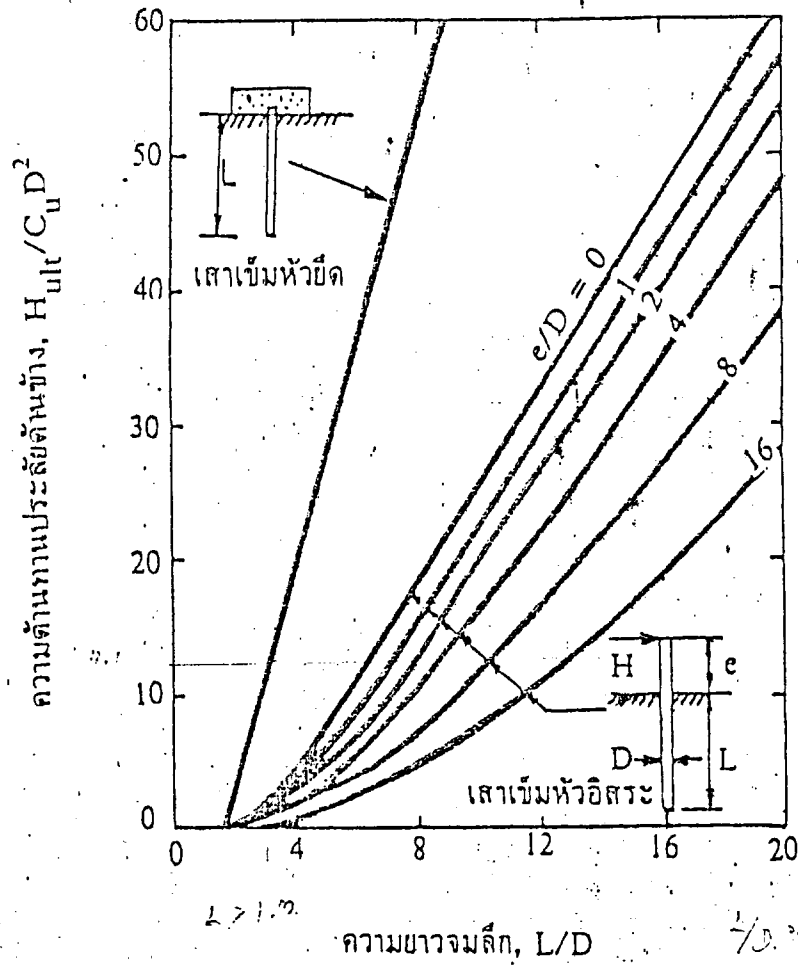


(ก) การแอ่นตัวของเสาเข็ม

(ข) แรงปฏิกิริยาของดิน

(ค) โมเมนต์ดัด

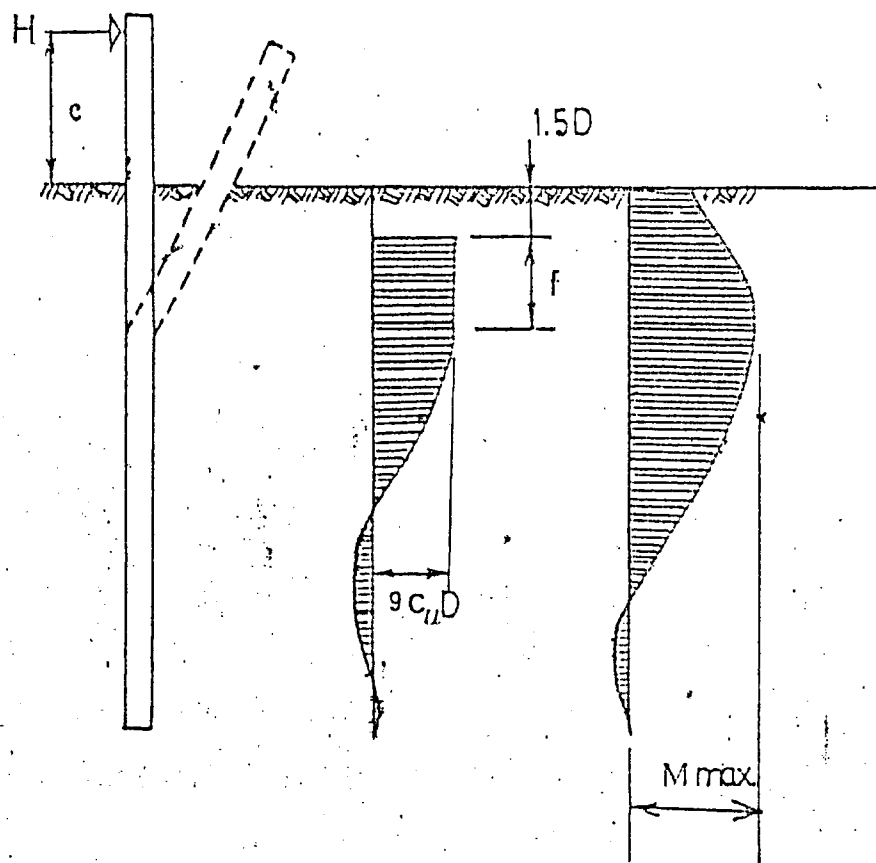
แสดงการแอ่นตัวด้านข้าง แรงปฏิกิริยาของดิน และการกระจายโมเมนต์ดัดของเสาเข็มต้นหัวอิสระ



$\frac{e}{D} = 13.0$
 $e = 16.7$

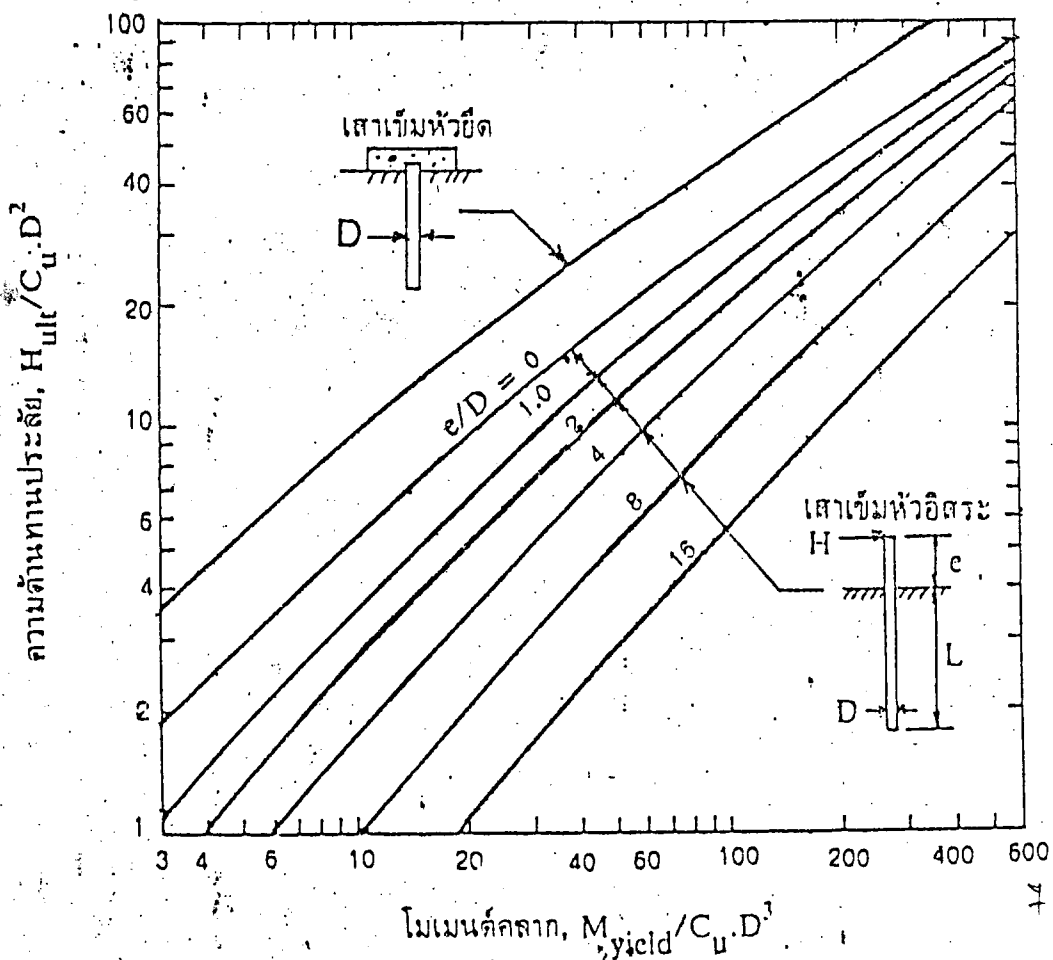
$L/D = 13.0$
 $L = 3.9 > 1.7$

แสดงความสัมพันธ์ระหว่างความต้านทานประลัยกับความยาวจลิกของเสาเข็ม

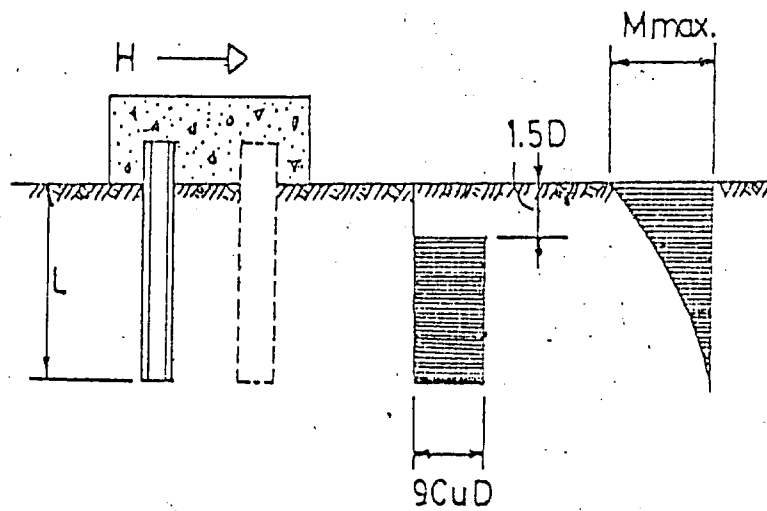


(ก) การแอ่นตัวของเสาเข็ม (ข) แรงปฏิกิริยาของดิน (ค) โมเมนต์กัก

แสดงการแอ่นตัวด้านข้างแรงปฏิกิริยาของดิน และการกระจายโมเมนต์ตัดของเสาเข็มยาวหัวอิสระ



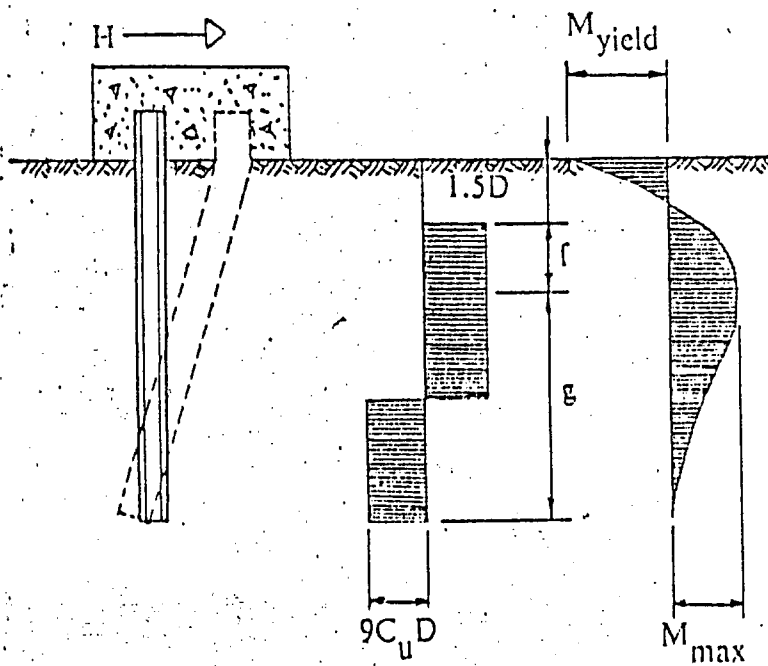
แสดงความสัมพันธ์ระหว่างความต้านทานด้านข้างประลัยกับโมเมนต์กลาก



(ก) การแอนตัวของเสาเข็ม (ข) แรงปฏิกิริยาของดิน (ค) โมเมนต์ดัด

8

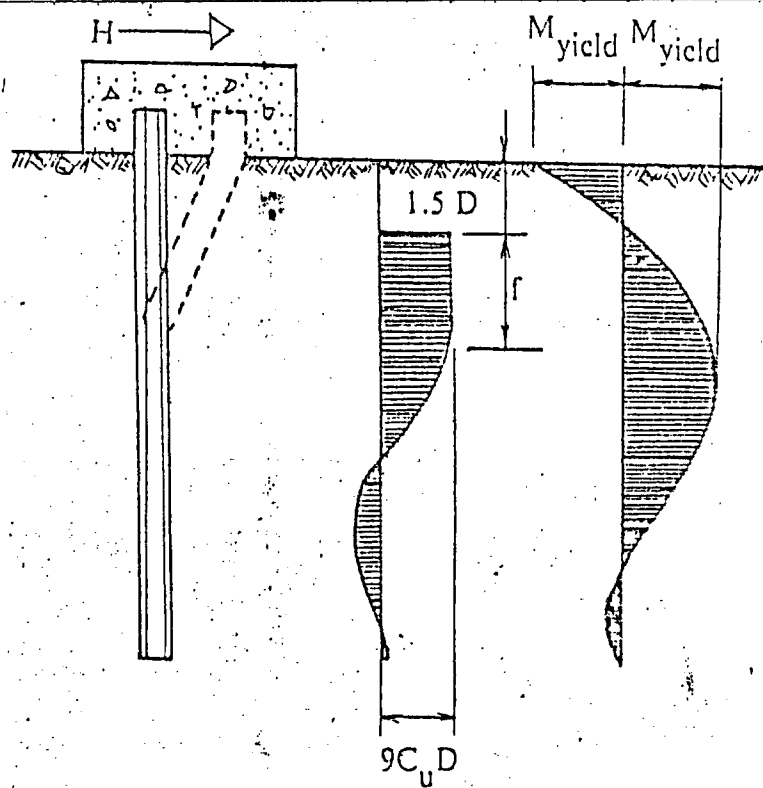
แสดงการแอนตัวด้านข้าง แรงปฏิกิริยาของดิน และการกระจายโมเมนต์ดัดของเสาเข็มสั้นหัวยึด



(ก) การแอนตัวของเสาเข็ม (ข) แรงปฏิกิริยาของดิน (ค) โมเมนต์ดัด

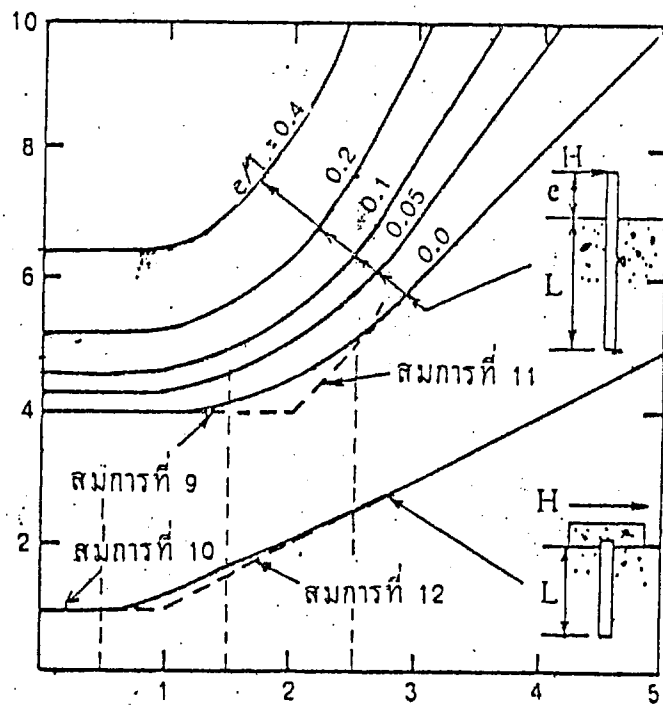
9

แสดงการแอนตัวด้านข้าง แรงปฏิกิริยาของดิน และการกระจายโมเมนต์ดัดของเสาเข็มยาวปานกลางหัวยึด



(ก) การแอนตัวของเสาเข็ม (ข) แรงปฏิกิริยาของดิน (ค) โมเมนต์คัต
 แสดงการแอนตัวด้านข้าง แรงปฏิกิริยาของดิน และการกระจายโมเมนต์คัตของเสา เข็มยาวหัวยึด

ระยะแอนตัวด้านข้างเสาเข็ม, Y_0 kDL/H

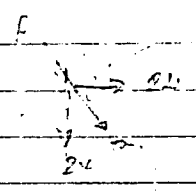


ความยาวของเสาเข็ม, βL

แสดงความสัมพันธ์ระหว่างความยาวจมลึกและระยะแอนตัวด้านข้างที่ผิวดินของเสาเข็ม

masuna

10' x 10' x 10'



| | | |
|-------------------|---|----|
| F | = | 21 |
| F _{ult.} | = | 5 |
| P ₂₁ | = | 3 |
| P ₂₀ | = | 30 |
| 2200 | = | 5 |
| Design load | = | 35 |

$P_{21} \square 10 \times 10 \times 10 \text{ m} =$

$\phi \text{ ultimate} = 25$

$U_x 10 - \square 0.18 \times 0.18 \times 10.00 \text{ m} \quad \alpha \quad 6 - \square 0.18 \times 0.18 \times 10.00 \text{ m} \quad SF = 9.22$

Design load = 35

S.F = 9.14 > 2.5 $\frac{0.6}{1}$

given

$M = 4 \times 3.5 \times 0.15$

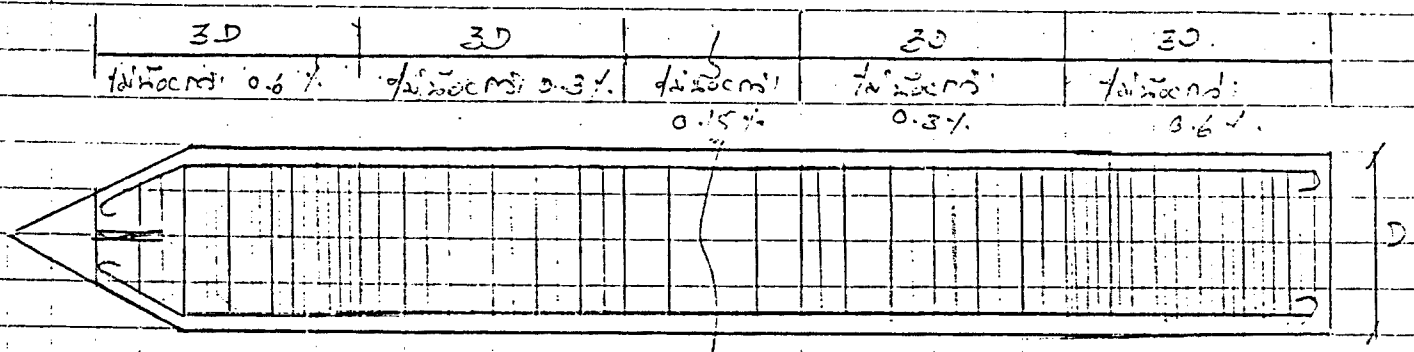
$= 2.1 \text{ m}^2$

$A_c = \frac{2.1 \times 10^6}{1500 \times 0.85} = 730$

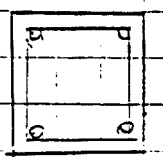
$= 6.67 \text{ cm}^2 \quad \phi 12 @ 0-10 \quad ? 115 \text{ cm}^2 \quad \frac{0.6}{1}$

check for lateral load

အောက်ဖက်ရှိ ခုတ်ပုံကို အသုံးပြု၍ အောက်ဖက်ရှိ ခုတ်ပုံကို အသုံးပြု၍



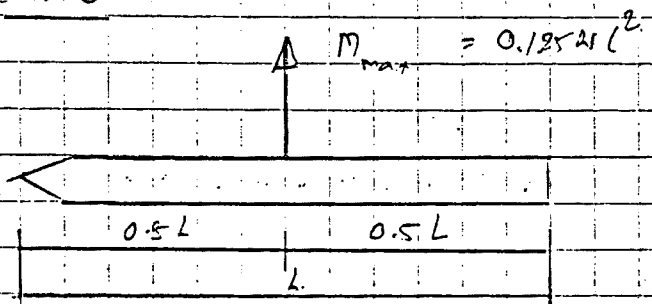
အောက်ဖက်ရှိ ခုတ်ပုံကို အသုံးပြု၍ အောက်ဖက်ရှိ ခုတ်ပုံကို အသုံးပြု၍
 တိုင်းပိုင်း: 0.6% | တိုင်းပိုင်း: 0.3% | တိုင်းပိုင်း: 0.15% | တိုင်းပိုင်း: 0.3% | တိုင်းပိုင်း: 0.6%



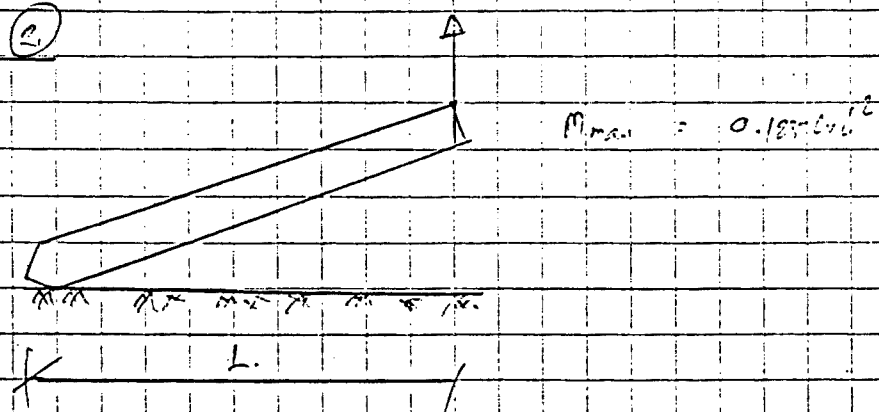
အောက်ဖက်ရှိ ခုတ်ပုံကို အသုံးပြု၍

အောက်ဖက်ရှိ ခုတ်ပုံကို အသုံးပြု၍ အောက်ဖက်ရှိ ခုတ်ပုံကို အသုံးပြု၍

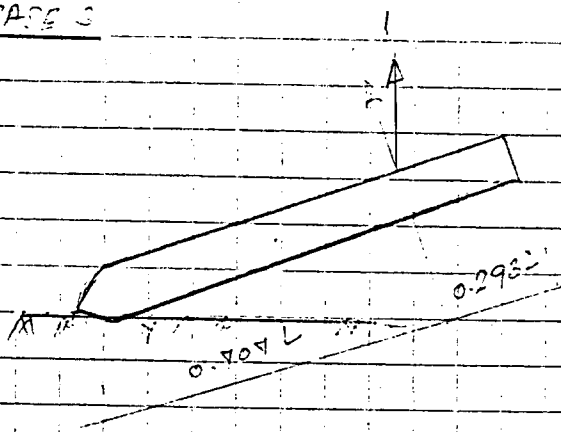
CASE (1)



CASE (2)

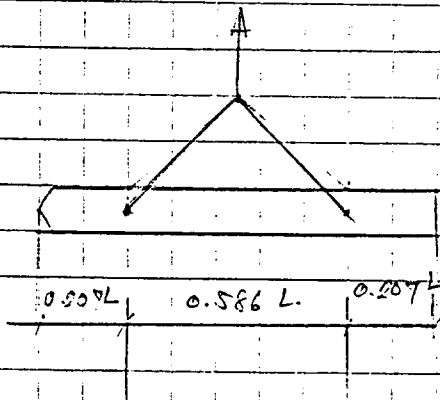


CASE 3



$$M_{max} = 0.043 W L^2$$

CASE 4



$$M_{max} = 0.011 W L^2$$

Given

$$P_{max} = \text{Maximum load at } x = L$$

$$W = \text{Total load} = \frac{1}{2} P_{max} L$$

$$L = \text{Length of beam}$$

รายการคำนวณข้อบกพร่องน้ำเสียเทศบาล

Inlet Sump

size 2.5 x 2.4

Simplified to be 1.8 m retaining wall

$$P_a = .4 \times 1800 \times 1.80 + 1000 \times .80$$
$$= 2096 \text{ kg/m}^2$$

$$M = \frac{1}{2} \times 2096 \times \frac{1.8^2}{3}$$
$$= 1132 \text{ kg-m}$$

$$d = \sqrt{\frac{1132}{8.69 \times 1}} = 11.4$$

use $d = 15 + \text{cover } 5$

$$A_s = \frac{1132}{1500 \times .89 \times .15}$$

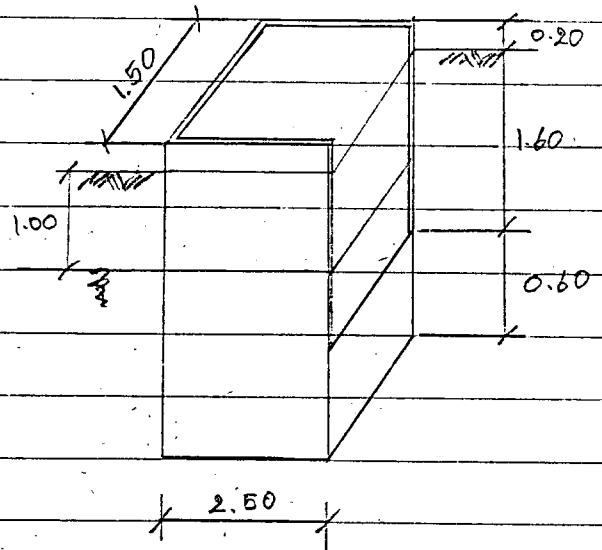
$$= 5.65 \text{ cm}^2/\text{m} \quad \phi 12 @ .20$$

size 1.5 x 2.4 \Rightarrow LH/LV = $\frac{1.70}{2.4} = .7$

M_b use steel = size 2.5 x 2.4

earth pressure

$$P_a = .5 (1800) \times 1 + .5 (1800 - 1000) \times 1.2 + 1000 \times 1.2$$
$$= 2620 \text{ kg/m}^2$$



$$M_b^- = .02 \times 2640 \times 2.2^2$$

$$= 235 \text{ kg-m}$$

$$M_s^- = .06 \times 2640 \times 1.7^2$$

$$= 458 \text{ kg-m}$$

$$A_s = 2.3 \text{ cm}^2/\text{m } \phi 10 @ .25$$

bottom slab

$$\text{wall } (2.5 + 2.5 + 1.9 + 1.9) \times 2.4 \times 2 \times 2400$$

$$= 4224 \text{ kg} \Rightarrow \frac{4224}{2.5 \times 3.2} = 528$$

$$\frac{29}{1171222} = 6750 \text{ km}$$

$$\text{bottom slab} = 2.5 \times 3.2 \times 2 \times 2400 = 3840 \text{ km}$$

$$\text{total wet} = 14814 \text{ kg}$$

$$\text{unit area wet} = \frac{14814}{2.5 \times 3.2} = 1.8 \text{ Ton/m}^2$$

bottom slab

$$M^+ = .055 \times 528 \times 1.7^2$$

$$= 84 \text{ kg-m}$$

$$\text{use } \phi 10 @ 25$$

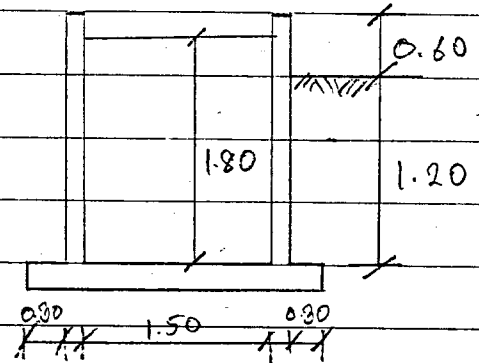
Inlet channel

$$p_a = 1.6 \times 1000$$

$$= 1600 \text{ kg/m}^2$$

$$M = \frac{1}{2} \times 1600 \times \frac{1.6^2}{3}$$

$$= 683 \text{ kg-m}$$



$$d = \sqrt{\frac{683}{8.65 \times 1}} = 8.9$$

use $d = .15 + .05$

$$A_s = \frac{683}{1500 \times 8.9 \times .15}$$

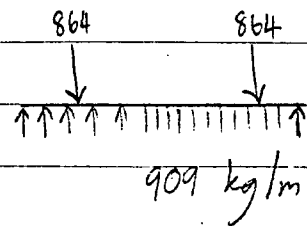
$$= 3.4 \text{ cm}^2 \quad \phi 12 @ .25$$

bottom slab

$$\text{wall} = 864 \text{ kg/m}$$

$$M^- = \frac{1}{8} \times 909 \times 1.7^2$$

$$= 328 \text{ kg/m}$$



$$A_s = 1.6 \text{ cm}^2/\text{m}$$

$$0.11050 = 500 \text{ kg/m}$$

$$\text{Channel wt} = 2448 \text{ kg/m}$$

$$\text{Water wt} = 2100$$

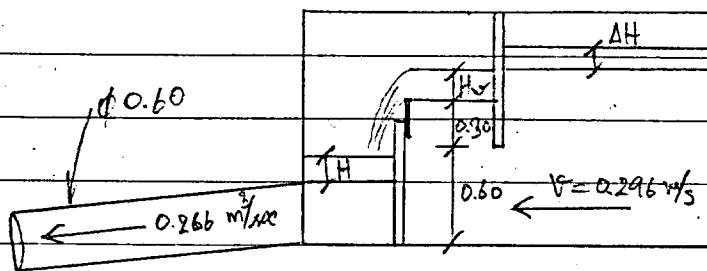
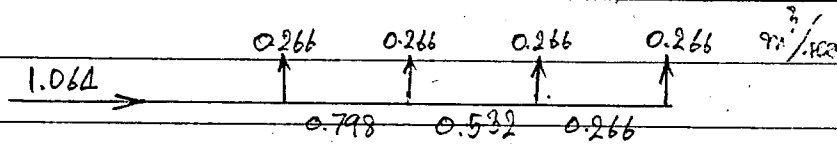
$$\hline 5348$$

$$\left. \begin{array}{l} \text{Channel wt} \\ \text{Water wt} \end{array} \right\} \text{Bearing} = \frac{5.3}{2} = 2.65$$

Inlet chamber

$$\begin{aligned}
 Q_{avg} &= 0.355 \text{ m}^3/\text{sec} \\
 Q_{plak} &= 3 \times 0.355 \\
 &= 1.065 \text{ m}^3/\text{sec}
 \end{aligned}$$

use A outlet



Flowing with outlet control

$$H = H_v + H_e + H_f$$

from Figure C-8 (from *Handbook of Hydraulics* Malaysia)

$$H = 0.3 \text{ ft} = 9 \text{ cm.}$$

Neir use 1.5 m weir length

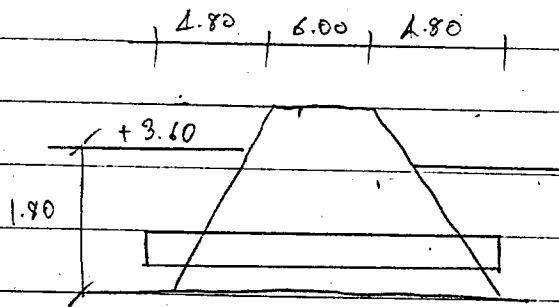
$$Q = 1.73 B H_w^{3/2}$$
$$0.226 = 1.73 (1.5) H_w^{3/2}$$
$$H_w = 0.22 \text{ m.}$$

$$AH = H_v + H_e$$

$$= \frac{.296^2}{2(9.81)} + \frac{0.5 (.296)^2}{2(9.81)}$$

$$= 0.0067$$

Interpond Connection Pipe



$$Q_{\text{peak}} = 1.065 \quad \text{m}^3/\text{sec} \quad L = 50'$$

$$\text{RCP } 2 \phi 0.80 \text{ M} \quad n = 0.015 \quad L_1 = 75'$$

from Fig C-8, $q = 12.50 \text{ cfs}$, $H = 0.15 \text{ ft} \Rightarrow 5.2 \text{ cm}$.

$$Q_{\text{avg}} = 0.355 \quad \text{m}^3/\text{sec} \quad L = 50'$$

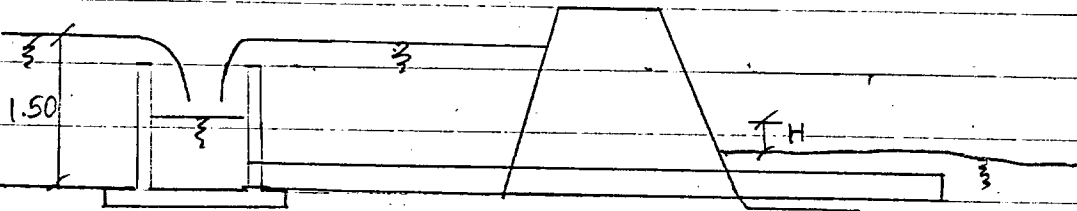
$$\text{RCP } 3 \phi 0.80 \text{ M} \quad n = 0.015 \quad L_1 = 75'$$

$$\frac{Q_{\text{avg}}}{3} = 1.2 \text{ CFS}, \quad H \Rightarrow 0$$

Outlet Sump

use overflow sump with pipe culrest 2. ϕ 80

$$Q_p = 1.065 \text{ m}^3/\text{sec}$$



Pipe Culrest $\frac{Q_p}{2} = 0.53 \text{ m}^3/\text{sec}$ $L = 100'$

$$= 18.8 \text{ cfs}, \quad n = .015$$

Figure C-8 $H = 0.38 \text{ ft.}$

$$= 11.6 \text{ cm}$$

$$Q_{avg} = 0.355 \text{ m}^3/\text{sec}$$

$$\frac{Q_{avg}}{2} = 6.3 \text{ cfs}, \quad L = 100'$$

$$n = .015$$

$$H = 0.05' = 1.5 \text{ cm.}$$

Over flow weir

$$Q_{peak} = 1.065 \text{ m}^3/\text{sec} \quad L = 8.00$$

$$Q/2 = 1.73 L (H)^{3/2}$$

$$0.532 = 1.73 \times 8 (H)^{3/2}$$

$$H = 0.114 \Rightarrow 11.4 \text{ cm}$$

$$Q_{avg} = 0.1775 \text{ cm}^3/\text{sec}, \quad L = 8.00 \text{ km}$$

$$0.1775 = 1.73 (8) (H)^{3/2}$$

$$H = 0.055 \text{ m} \Rightarrow 6 \text{ cm}$$

Outlet sump

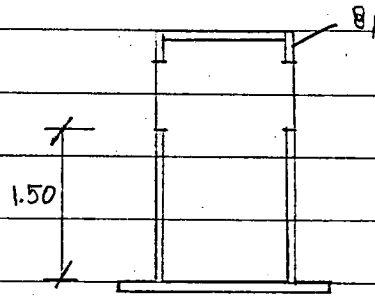
$$P = \gamma_w H$$

$$= 1000 \times 1.5$$

$$= 1500 \text{ kg/m}^2$$

$$M = \frac{1}{2} \times 1500 \times \frac{1.5^2}{2}$$

$$= 563 \text{ kg-m}$$



$$d = \sqrt{\frac{563}{8.65 \times 1}} = 8$$

use $d = 15 + \text{covering } 5 \text{ cm}$

$$A_s = \frac{563}{1500 \times 0.89 \times 1.5} = 2.8 \text{ cm}^2 \phi 12 @ .30$$

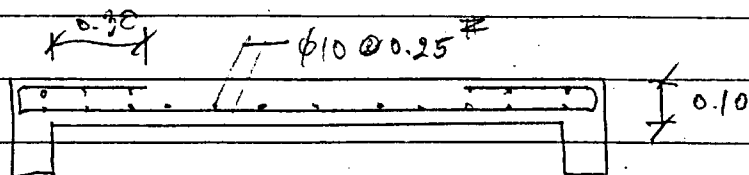
Top slab $10 \text{ m} + \text{th. } 500 = 740 \text{ kg/m}^2$

(S1)

$$M = \frac{1}{8} \times 740 \times 1.7^2$$

$$= 267$$

$$A_s = 2.9 \text{ cm}^2/\text{m} \phi 10 @ .25$$



$$b_1 = 20 \times 35 = 168$$

$$\rho_{lab} = 555$$

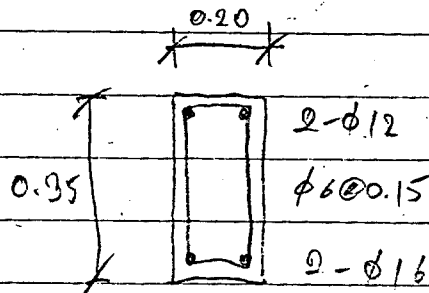
$$723 \text{ kg/m}$$

$$M = \frac{1}{8} \times 723 \times 4.2^2$$

$$= 1594 \text{ kg-m}$$

$$d = \sqrt{\frac{1594}{8.6 \times .25}} = 30.4 \text{ cm}$$

$$A_s = \frac{1594}{1500 \times 8.89 \times .92} = 3.7 \text{ cm}^2 \quad 2\phi 16$$

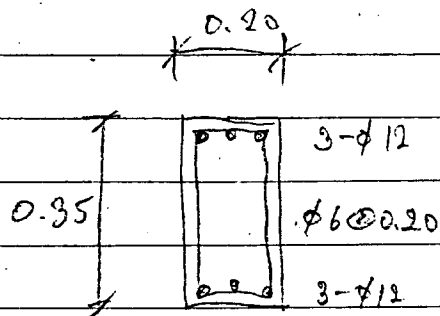


dimensi

$$\begin{array}{r} B_1 \\ 20 \times 35 \\ \text{slab + LI} \\ \hline 168 \\ 555 \\ \hline 723 \text{ kg/m} \end{array}$$

$$\begin{aligned} M &= \frac{1}{9} \times 723 \times 9.4^2 \\ &= 1045 \text{ kg-m} \end{aligned}$$

$$A_s = 2.4 \text{ cm}^2 \quad 3 \phi 12$$



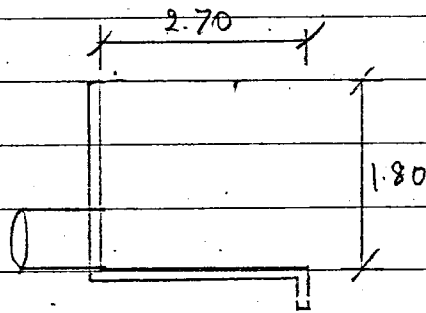
Culvert Head Wall (פגיוס גשר/מאבטח קולברט)

$$P_a = 0.5 \times 1500 \times 1.8$$

$$= 1620 \text{ kg/m}^2$$

$$M = \frac{1}{2} \times 1620 \times \frac{1.8^2}{3}$$

$$= 875 \text{ kg-m}$$



$$d = \sqrt{\frac{875}{8.65 \times 1}}$$

$$= 10 \text{ cm} + \text{covering } 5 \text{ cm}$$

$$A_s = \frac{875}{1500 \times 8.875 \times 10}$$

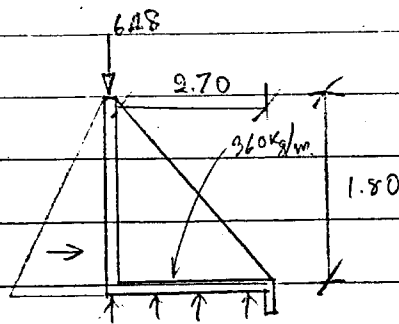
$$= 6.7 \text{ cm}^2 \quad \phi 12 @ 15$$

Apron slab

$$M^- = 0$$

$$a = \frac{875}{648}$$

$$= 1.35 \text{ m.}$$





INDEX INTERNATIONAL GROUP CO., LTD.

Job:

No.

By

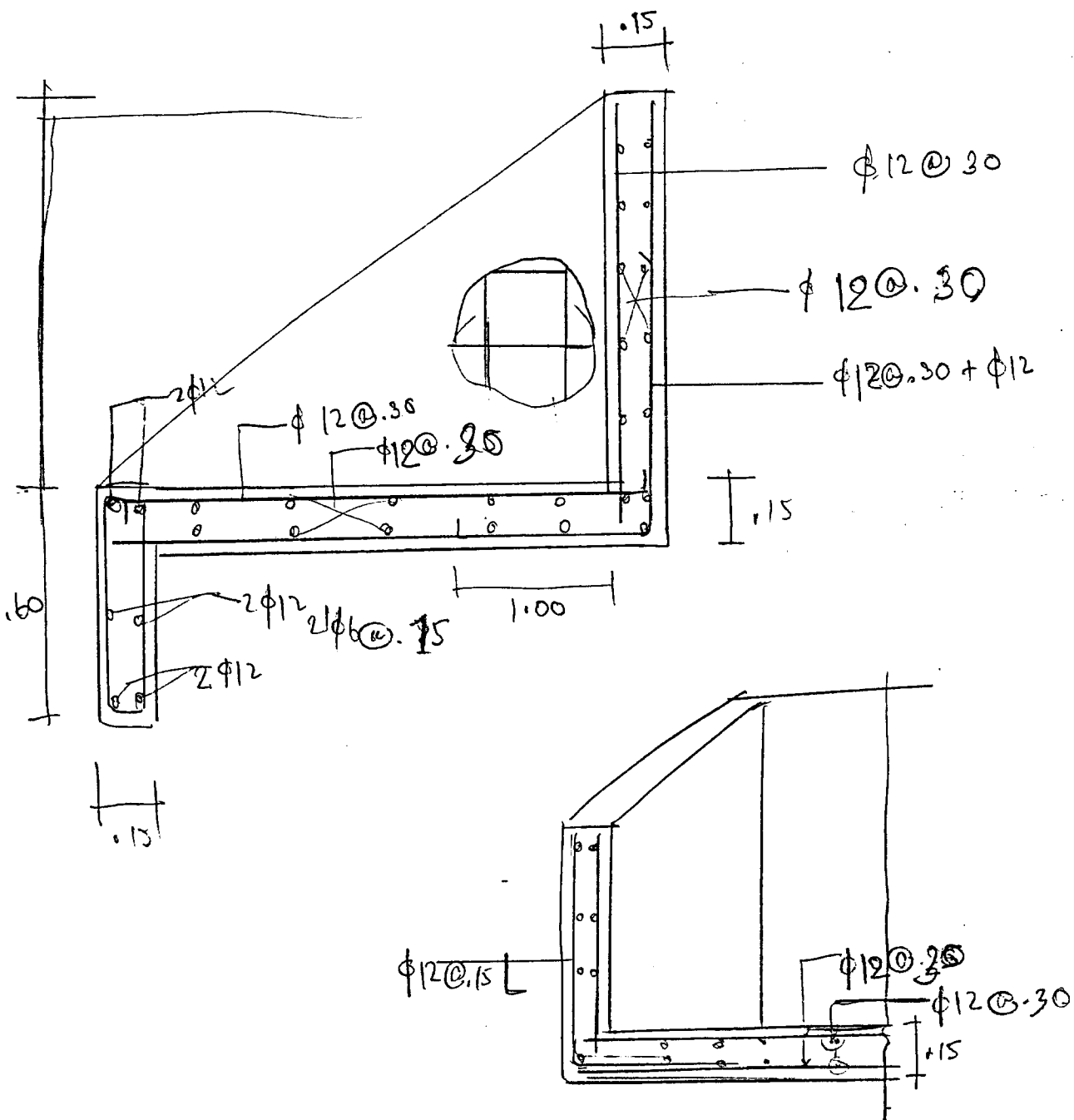
Date

Sheet
of

Checked by

Date

Subject:



Concrete Support no ϕ 600 sec (for force Main PS 1)

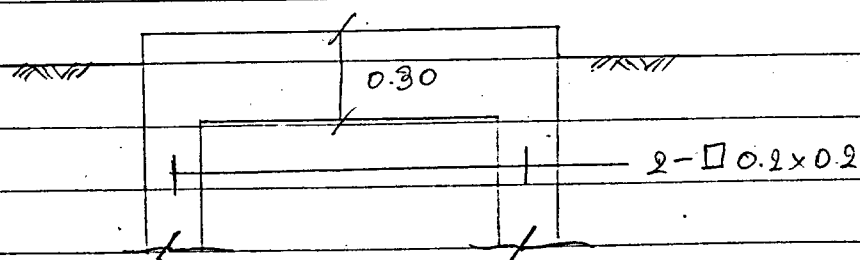
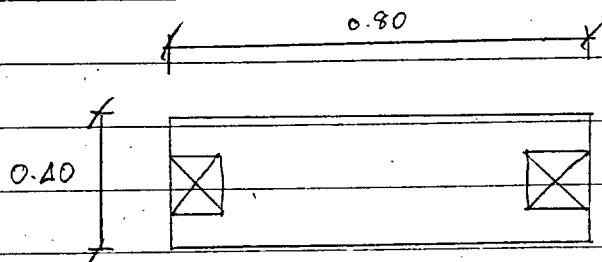
| | | |
|--------------------------------------|--------|-----------------|
| pipe of 600 mm. | = wt = | 200 kg/m |
| Water wt $1000 \times \pi \cdot 3^2$ | = | 283 kg/m |
| | | <u>483 kg/m</u> |

span spacing 6.00 m

| | | |
|---------------------------------|---|----------------|
| \therefore wt of each support | = | 6×483 |
| | = | 2898 kg |

| | | |
|------------------------------|---|----------------|
| support beam .40 x .80 x .30 | = | 230 kg |
| | | <u>3128 kg</u> |

use 2 \square 20 x 20 - 5.00 @ 2.2 ton/pile



NO. 10 MS 00011111

at r.i.d. 2553

| | | | | |
|------------|--------------------|---|-------|-----------|
| population | Q_{pop} | = | 24915 | m^3/day |
| | BOD | = | 150 | mg/l |
| Industry | Q_{in} | = | 3742 | m^3/day |
| | BOD | = | 905 | kg/day |
| | $Q_{pop} + Q_{in}$ | = | 25565 | m^3/day |

Infiltration 20% of $(Q_{pop} + Q_{in})$

$$\text{Total } Q = 1.2 (Q_{pop} + Q_{in}) = 30678 \text{ } m^3/day$$
$$\text{BOD} = 3742 + 905 = 4647 \text{ } kg/day$$

$$\text{Inf BOD } (L_i) = 151 \text{ } mg/l$$

$$\text{Eff BOD } (L_e) = 40$$

$$\text{Temperature (min mean) } (t) = 25.5 \text{ } ^\circ C$$

$$\text{Inf. Faecal coliform (MPN/100 ml)} = 24 \times 10^7$$

$$\text{Eff Faecal coliform (MPN/100 ml)} = 4 \times 10^3$$

$$\text{Surface loading (Facultative pond)} = 275 \text{ } kg/ha/day$$

$$K_1 (20^\circ C) \text{ } (d^{-1}) = 0.3$$

$$K_b (20^\circ C) \text{ } (d^{-1}) = 2.6$$

Facultative Pond (2553)

Temperature 25.5 °C

$$\begin{aligned}K_1 (25.5^\circ) &= K_1 (20^\circ) (1.05)^{T-20} \\ &= 0.3 (1.05)^{25.5-20} \\ &= 0.392\end{aligned}$$

assume BOD_5 removal follows first order kinetics

$$\therefore L_e = \frac{L_i}{1 + k_1 t}$$

$$40 = \frac{151}{1 + 0.392 t}$$

$$t = \frac{1}{0.392} \left(\frac{151}{40} - 1 \right)$$

$$= 7.1 \text{ days} \Rightarrow 7.5 \text{ days}$$

Water depth = 1.50 m + 0.50 m. sludge storage
0.50 m free board

$$\begin{aligned}\text{Req. area} &= \frac{7.5 \times 30678}{1.5} \text{ m}^2 \Rightarrow 95.87 \text{ Rai}\end{aligned}$$

$$\begin{aligned}\text{Surface loading} &= \frac{4647}{15.3} = 304 \text{ kg/hr/day} \\ &> 275 \text{ not O.K.}\end{aligned}$$

re-calculate use water depth 1.30 m.

$$\begin{aligned}\text{req. Area} &= \frac{7.5 \times 30678}{1.3} = 176988 \\ &= 110.62 \text{ Rai}\end{aligned}$$

$$\text{check surface loading} = \frac{16.47}{17.7} = 262.5 \text{ kg/hr/day} < 275 \text{ O.K.}$$

use 1.3 m water depth
 0.5 m shelf storage
 0.5 m free board

Detention time

$$t_{\min} = \frac{1.3 \times 176988}{30678} = 7.5 \text{ day}$$

$$t_{\max} = \frac{1.80 \times 176988}{30678} = 10.38 \text{ day}$$

Maturation Ponds

$$\begin{aligned} (1) \quad K_b (25.5^\circ\text{C}) &= K_b (20^\circ\text{C}) (1.19)^{T-20} \\ &= 2.6 (1.19)^{25.5-20} \\ &= 6.768 \text{ d}^{-1} \end{aligned}$$

(2) by 2 maturation ponds in series, each pond has retention time 5 days.

$$\begin{aligned} N_e &= \frac{N_i}{(1 + k_b t_1) (1 + k_b t_2) (1 + k_b t_3)} \\ &= \frac{24 \times 10^7}{(1 + 6.768 \times 5) (1 + 6.768 \times 5) (1 + 6.768 \times 5)} \\ &= 3.82 \times 10^3 \text{ MPN} < 4 \times 10^3 \end{aligned}$$

use 17.5 m pond depth
0.5 m free board

$$\therefore \text{each pond req. area} = \frac{5 \times 30678}{1.5}$$

$$= 102262 \text{ m}^2$$

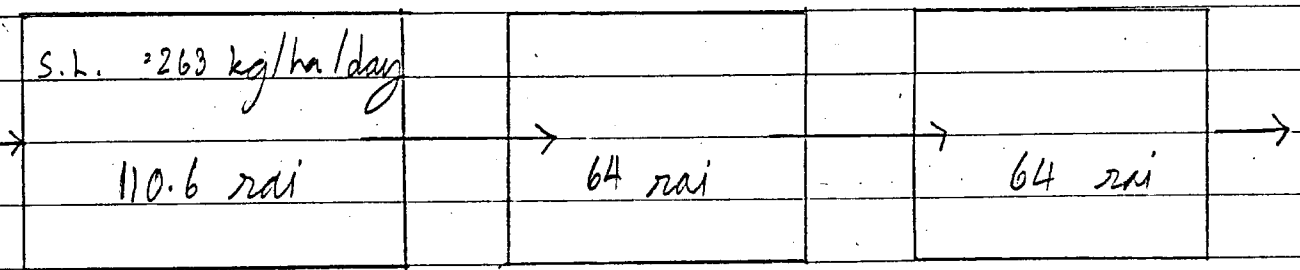
$$= 64 \text{ rai}$$

$$Q = 30678 \text{ m}^3/\text{day}$$

$$\text{BOD} = 2647 \text{ kg/day}$$

$$N_i = 24 \times 10^7 \text{ MPN}$$

$$N_e = 3.82 \times 10^3$$



Design year 2553.

วิชา ๓๐๖ คำนวณและแบบจำลองการไหลของน้ำในท่อ

6 การประเมินผลสัมฤทธิ์ทางการเรียน

การประเมินผลสัมฤทธิ์ทางการเรียน เป็นการวัดผลสัมฤทธิ์ทางการเรียนของผู้เรียน
ตามวัตถุประสงค์ของหลักสูตรที่กำหนดไว้

1. การวัดผลสัมฤทธิ์ทางการเรียนโดยทั่วไป
2. การวัดผลสัมฤทธิ์ทางการเรียนตามจุดประสงค์ของหลักสูตร
3. การวัดผลสัมฤทธิ์ทางการเรียนตามรายวิชา

การวัดผลสัมฤทธิ์ทางการเรียน เป็นการวัดผลสัมฤทธิ์ทางการเรียนของผู้เรียน
ตามวัตถุประสงค์ของหลักสูตรที่กำหนดไว้

6.1. ความหมาย Gravity

6.1.1 การวัดผลสัมฤทธิ์ทางการเรียนของผู้เรียนตามจุดประสงค์ของหลักสูตร
ตามรายวิชา

$$G = \frac{1}{8} R^2 S^{\frac{1}{2}}$$

- T คือ เวลาที่ใช้ในการเดินทาง, $\frac{1}{2}$
- A คือ พื้นที่ของวงกลม, π^2
- R คือ รัศมีของวงกลม, π
- S คือ ความเร็วของวัตถุ, $\frac{1}{2}$
- π คือ ค่าคงที่ของคณิตศาสตร์

- 1.1.1 $\pi = 3.14159$ ใช้แทนค่าของ π
- 1.1.2 ความเร็วของวัตถุ 9 หน่วยต่อวินาที $9^{\frac{1}{2}} = 3$ หน่วยต่อวินาที

6.1.2 ข้อควรระวังในการวัดผลสัมฤทธิ์ทางการเรียน

- วิธีการวัดผลสัมฤทธิ์ทางการเรียน 40 ข้อ/วัน
- 10 ข้อ/วัน วัดผลสัมฤทธิ์ทางการเรียน 2-3 ข้อ
- วิธีการวัดผลสัมฤทธิ์ทางการเรียน 80 %

6.1.3 การวัดผลสัมฤทธิ์ทางการเรียนตามจุดประสงค์ของหลักสูตร 6-1

6.1.4 การวัดผลสัมฤทธิ์ทางการเรียนตามจุดประสงค์ของหลักสูตร
ตามรายวิชา 6-2
ตาม D-3.1, D-3.2
ที่ ...

6.1.5 การวัดผลสัมฤทธิ์ทางการเรียนตามจุดประสงค์ของหลักสูตร
ตามรายวิชา 6-3 การวัดผลสัมฤทธิ์ทางการเรียนตามจุดประสงค์ของหลักสูตร
ตามรายวิชา 6-4 การวัดผลสัมฤทธิ์ทางการเรียนตามจุดประสงค์ของหลักสูตร

စာမျက်နှာ ၆-၁

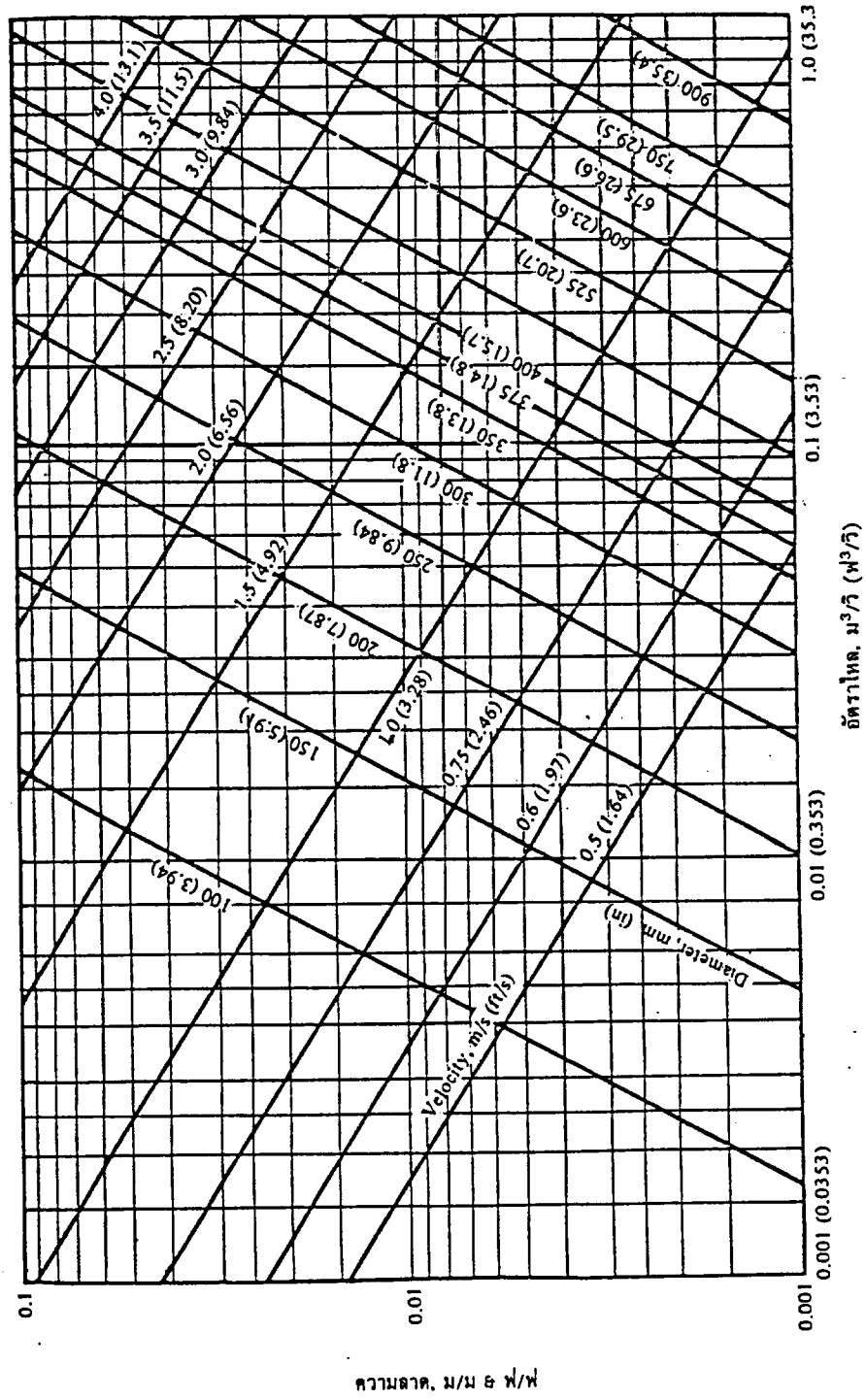
ကျွန်ုပ်တို့၏ အဖွဲ့အစည်း၏ အဖွဲ့ဝင်များ၏ အသက်အရွယ်

| အသက်အရွယ် | အဖွဲ့ဝင်အရေအတွက် (ဦးရေ) | အသက်အရွယ် (နှစ်) |
|--------------|-------------------------|------------------|
| ၁၀ နှစ်အောက် | ၁၅,၀၀၀ | ၆၀၀ |
| ၁၀-၁၅ နှစ် | ၁၁,၀၀၀ | ၈၀၀ |
| ၁၅-၂၀ နှစ် | ၁၀၀၀ | ၄၀ |
| | ၂,၅၀၀ | ၁၀၀ |
| | ၅,၀၀၀ | ၂၀၀ |
| | ၁၀,၀၀၀ | ၄၀၀ |

ภาคผนวก ข.3

โนโมกราฟสำหรับสมการแมนนิง

อัตราไหล 0.001-1.0 ม³/วิ ความลาด 0.001-0.1 ม/ม n = 0.015

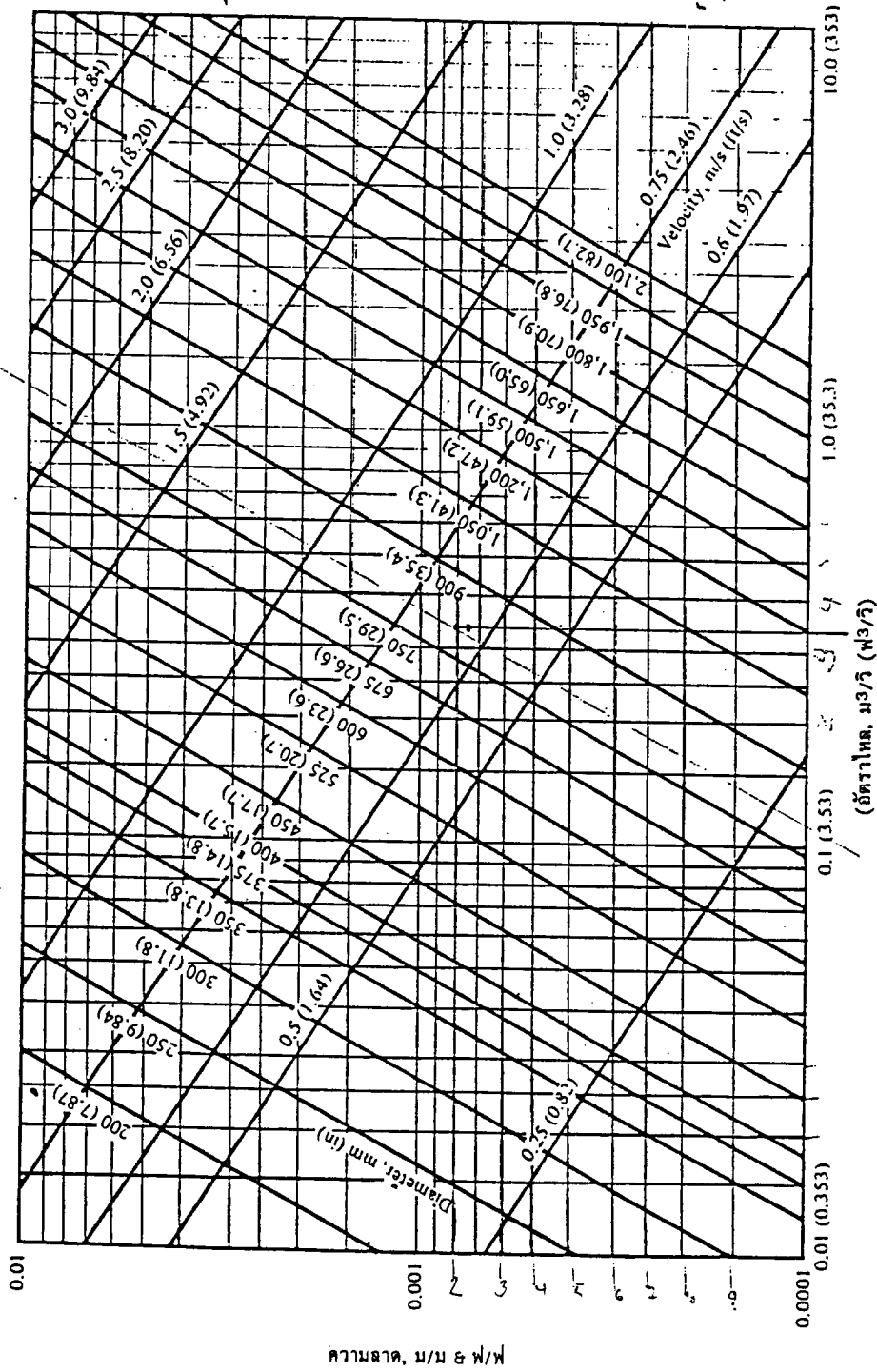


รูปที่ 0-3.1

ภาคผนวก ข.4

โนโมกราฟสำหรับสมการแมนนิง

อัตราไหล 0.01-10.0 ม³/วิ ความลาด 0.0001-0.01 ม/ม $n = 0.015$



หน้า D-3.2

ตาราง 6-2

ภาคผนวก ก.2

ตารางค่าสำหรับกรอกแบบท่อกรณีไหลไม่เต็มท่อกลม (เพิ่มเติม)

หมายเหตุ :- จากสูตรการไหลของ Prandtl-Colbrook

$Q_{full} / V_{full} =$ อัตราไหลและความเร็วกรณีเต็มท่อ

$Q, V =$ อัตราไหลและความเร็วกรณีไม่เต็มท่อ

$d =$ ความลึกของการไหล

$D =$ ขนาดท่อ

$R =$ รัศมีชลศาสตร์

| $\frac{Q}{Q_{full}}$ | $\frac{d}{D}$ | $\frac{V}{V_{full}}$ | $\frac{R}{D}$ | $\frac{Q}{Q_{full}}$ | $\frac{d}{D}$ | $\frac{V}{V_{full}}$ | $\frac{R}{D}$ | $\frac{Q}{Q_{full}}$ | $\frac{d}{D}$ | $\frac{V}{V_{full}}$ | $\frac{R}{D}$ |
|----------------------|---------------|----------------------|---------------|----------------------|---------------|----------------------|---------------|----------------------|---------------|----------------------|---------------|
| 0.001 | 0.023 | 0.17 | 0.0182 | .210 | .308 | .80 | .1751 | 0.805 | 0.701 | 1.08 | 0.2964 |
| 2 | .032 | .21 | .0210 | .220 | .316 | .81 | .1784 | .810 | .705 | 1.08 | .2969 |
| 3 | .038 | .24 | .0249 | .230 | .324 | .82 | .1820 | .815 | .708 | 1.08 | .2974 |
| 4 | .044 | .26 | .0287 | .240 | .331 | .83 | .1851 | .820 | .713 | 1.08 | .2979 |
| 5 | .049 | .28 | .0319 | .250 | .339 | .84 | .1887 | .825 | .717 | 1.08 | .2984 |
| 6 | .051 | .29 | .0345 | .260 | .346 | .85 | .1981 | .830 | .721 | 1.08 | .2989 |
| 7 | .057 | .30 | .0370 | .270 | .353 | .86 | .1946 | .835 | .725 | 1.08 | .2993 |
| 8 | .061 | .32 | .0395 | .280 | .360 | .86 | .1978 | .840 | .729 | 1.07 | .2997 |
| 9 | .065 | .33 | .0420 | .290 | .367 | .87 | .2007 | .845 | .734 | 1.07 | .3002 |
| 0.010 | 0.068 | 0.24 | 0.0438 | 0.300 | 0.374 | 0.88 | 0.2037 | 0.850 | 0.738 | 1.07 | 0.3006 |
| 11 | .071 | .35 | .0458 | .310 | .381 | .89 | .2066 | .855 | .742 | 1.07 | .3010 |
| 12 | .074 | .36 | .0476 | .320 | .387 | .89 | .2090 | .860 | .747 | 1.07 | .3014 |
| 13 | .077 | .36 | .0485 | .330 | .374 | .90 | .2118 | .865 | .751 | 1.07 | .3018 |
| 14 | .080 | .37 | .0513 | .340 | .401 | .90 | .2146 | .870 | .756 | 1.07 | .3022 |
| 15 | .083 | .38 | .0532 | .350 | .407 | .92 | .2170 | .875 | .761 | 1.07 | .3025 |
| 16 | .086 | .39 | .0550 | .360 | .414 | .92 | .2187 | .880 | .766 | 1.07 | .3028 |
| 17 | .088 | .39 | .0562 | .370 | .420 | .93 | .2220 | .885 | .770 | 1.07 | .3031 |
| 18 | .091 | .40 | .0581 | .380 | .426 | .93 | .2243 | .890 | .775 | 1.07 | .3033 |
| 19 | .093 | .41 | .0593 | .390 | .432 | .94 | .2269 | .895 | .781 | 1.07 | .3036 |
| 0.020 | 0.098 | 0.41 | 0.0605 | 0.400 | 0.438 | 0.95 | 0.2291 | 0.900 | 0.786 | 1.07 | 0.3038 |
| 22 | .100 | .42 | .0638 | .410 | .448 | .95 | .2313 | .905 | .791 | 1.07 | .3040 |
| 24 | .104 | .43 | .0688 | .420 | .461 | .96 | .2334 | .910 | .797 | 1.07 | .3041 |
| 26 | .108 | .45 | .0743 | .430 | .468 | .96 | .2359 | .915 | .803 | 1.06 | .3042 |
| 28 | .112 | .46 | .0797 | .440 | .464 | .97 | .2380 | .920 | .808 | 1.06 | .3043 |
| 30 | .116 | .46 | .0731 | .450 | .470 | .97 | .2401 | .925 | .814 | 1.06 | .3043 |
| 32 | .120 | .47 | .0753 | .460 | .476 | .98 | .2420 | .930 | .821 | 1.06 | .3043 |
| 34 | .123 | .48 | .0772 | .470 | .482 | .99 | .2441 | .935 | .827 | 1.06 | .3042 |
| 36 | .127 | .48 | .0786 | .480 | .485 | .99 | .2461 | .940 | .834 | 1.05 | .3040 |
| 38 | .130 | .50 | .0813 | .490 | .494 | 1.00 | .2481 | .945 | .841 | 1.05 | .3032 |
| 0.040 | 0.134 | 0.50 | 0.0837 | 0.500 | 0.500 | 1.00 | 0.2500 | 0.950 | 0.848 | 1.05 | 0.3033 |
| 45 | .141 | .52 | .0877 | .510 | .506 | 1.00 | .2519 | .955 | .856 | 1.05 | .3029 |
| 50 | .149 | .54 | .0923 | .520 | .512 | 1.01 | .2539 | .960 | .865 | 1.04 | .3022 |
| 55 | .158 | .55 | .0963 | .530 | .519 | 1.01 | .2559 | .965 | .874 | 1.04 | .3014 |
| 60 | .163 | .57 | .1002 | .540 | .525 | 1.02 | .2577 | .970 | .883 | 1.04 | .3004 |
| 65 | .170 | .58 | .1042 | .550 | .531 | 1.02 | .2595 | .975 | .894 | 1.03 | .2999 |
| 70 | .176 | .58 | .1078 | .560 | .537 | 1.02 | .2612 | .980 | .905 | 1.03 | .2992 |
| 75 | .182 | .60 | .1108 | .570 | .543 | 1.03 | .2629 | .985 | .919 | 1.02 | .2986 |
| 80 | .189 | .61 | .1141 | .580 | .550 | 1.03 | .2649 | .990 | .935 | 1.02 | .2980 |
| 85 | .194 | .62 | .1174 | .590 | .556 | 1.03 | .2665 | .995 | .956 | 1.01 | .2984 |
| 0.090 | 0.200 | 0.63 | 0.1206 | 0.600 | 0.562 | 1.04 | 0.2681 | 1.000 | 1.000 | 1.00 | 0.2980 |
| 0.095 | 0.205 | 0.64 | 0.1223 | .610 | .568 | 1.04 | .2692 | | | | |
| .100 | .211 | .65 | .1255 | .620 | .575 | 1.04 | .2715 | | | | |
| .105 | .216 | .66 | .1291 | .630 | .581 | 1.05 | .2731 | | | | |
| .110 | .221 | .67 | .1317 | .640 | .587 | 1.05 | .2745 | | | | |
| .115 | .226 | .68 | .1343 | .650 | .594 | 1.05 | .2762 | | | | |
| .120 | .231 | .69 | .1369 | .660 | .600 | 1.05 | .2776 | | | | |
| .125 | .236 | .69 | .1395 | .670 | .607 | 1.06 | .2793 | | | | |
| .130 | .241 | .70 | .1421 | .680 | .613 | 1.06 | .2808 | | | | |
| .135 | .245 | .71 | .1441 | .690 | .620 | 1.06 | .2821 | | | | |
| 0.140 | 0.250 | 0.72 | 0.1466 | 0.700 | 0.626 | 1.06 | 0.2834 | | | | |
| .145 | .255 | .72 | .1491 | .710 | .633 | 1.06 | .2848 | | | | |
| .150 | .259 | .73 | .1511 | .720 | .640 | 1.07 | .2862 | | | | |
| .155 | .263 | .74 | .1531 | .730 | .646 | 1.07 | .2874 | | | | |
| .160 | .266 | .74 | .1556 | .740 | .653 | 1.07 | .2887 | | | | |
| .165 | .272 | .75 | .1576 | .750 | .660 | 1.07 | .2900 | | | | |
| .170 | .276 | .76 | .1593 | .760 | .667 | 1.07 | .2912 | | | | |
| .175 | .281 | .76 | .1619 | .770 | .675 | 1.07 | .2925 | | | | |
| .180 | .285 | .77 | .1638 | .780 | .682 | 1.07 | .2936 | | | | |
| .190 | .293 | .78 | .1676 | .790 | .689 | 1.07 | .2947 | | | | |
| 0.200 | 0.301 | 0.79 | 0.1714 | 0.800 | 0.697 | 1.07 | 0.2958 | | | | |

0-3

1. 2. 3. 4. 5. 6. 7. 8. 9. 10. 11. 12. 13. 14. 15. 16. 17. 18. 19. 20. 21. 22. 23. 24. 25. 26. 27. 28. 29. 30. 31. 32. 33. 34. 35. 36. 37. 38. 39. 40. 41. 42. 43. 44. 45. 46. 47. 48. 49. 50. 51. 52. 53. 54. 55. 56. 57. 58. 59. 60. 61. 62. 63. 64. 65. 66. 67. 68. 69. 70. 71. 72. 73. 74. 75. 76. 77. 78. 79. 80. 81. 82. 83. 84. 85. 86. 87. 88. 89. 90. 91. 92. 93. 94. 95. 96. 97. 98. 99. 100.

| 1. 2. 3. 4. 5. 6. 7. 8. 9. 10. 11. 12. 13. 14. 15. 16. 17. 18. 19. 20. 21. 22. 23. 24. 25. 26. 27. 28. 29. 30. 31. 32. 33. 34. 35. 36. 37. 38. 39. 40. 41. 42. 43. 44. 45. 46. 47. 48. 49. 50. 51. 52. 53. 54. 55. 56. 57. 58. 59. 60. 61. 62. 63. 64. 65. 66. 67. 68. 69. 70. 71. 72. 73. 74. 75. 76. 77. 78. 79. 80. 81. 82. 83. 84. 85. 86. 87. 88. 89. 90. 91. 92. 93. 94. 95. 96. 97. 98. 99. 100. | 2800 | 0.016 | | 0.019 | 0.50 | 0.002 | 0.045 | | 0.63 | 0.422 | | 0.96 | 0.452 | 13.60 | - |
|---|------|-------|-------|-------|------|--------|-------|-------|------|-------|------|-------|-------|-------|---|
| | | 0.024 | 0.029 | | | | 0.045 | 0.045 | | 0.63 | 0.63 | | | | |
| B | 2800 | 0.016 | 0.019 | 0.019 | 0.50 | 0.002 | 0.045 | 0.045 | 0.63 | 0.422 | 0.96 | 0.452 | 0.452 | 13.60 | - |
| A | 1500 | 0.024 | 0.029 | 0.029 | 0.30 | 0.002 | 0.045 | 0.045 | 0.63 | 0.63 | 1.03 | 1.03 | 0.66 | 12.86 | - |
| | A+B | 0.04 | 0.048 | 0.048 | 0.40 | 0.002 | 0.095 | 0.095 | 0.66 | 0.66 | 1.00 | 1.00 | 0.66 | 20.12 | - |
| C | 1500 | 0.025 | 0.03 | 0.03 | 0.30 | 0.002 | 0.045 | 0.045 | 0.63 | 0.63 | 1.06 | 1.06 | 0.64 | 18.15 | - |
| | 1800 | 0.042 | 0.05 | 0.05 | 0.40 | 0.0015 | 0.082 | 0.082 | 0.66 | 0.66 | 1.04 | 1.04 | 0.69 | 22.72 | - |

1) ការគណនាបរិមាណ (ពីការវិនិច្ឆ័យស្របច្បាប់)

6.1) ការគណនាបរិមាណប្រតិបត្តិការសម្រាប់ប្រព័ន្ធប្រព្រឹត្តិការសម្រាប់ប្រជាជន ១០០០ នាក់

- ប្រតិបត្តិការសម្រាប់ប្រជាជន ១០០០ នាក់ ២០ ម៉ែត្រ/ម៉ែត្រ/ថ្ងៃ
- ប្រតិបត្តិការសម្រាប់ប្រជាជន ១០០០ នាក់ ១១៦ ម៉ែត្រ BOD/ម៉ែត្រ/ថ្ងៃ
- ចំណាយប្រតិបត្តិការ BOD ៣,៤០០ ម៉ែត្រ/ថ្ងៃ
- រយៈពេលសម្រាប់ប្រជាជន ១០០០ នាក់ ២-៣ ថ្ងៃ

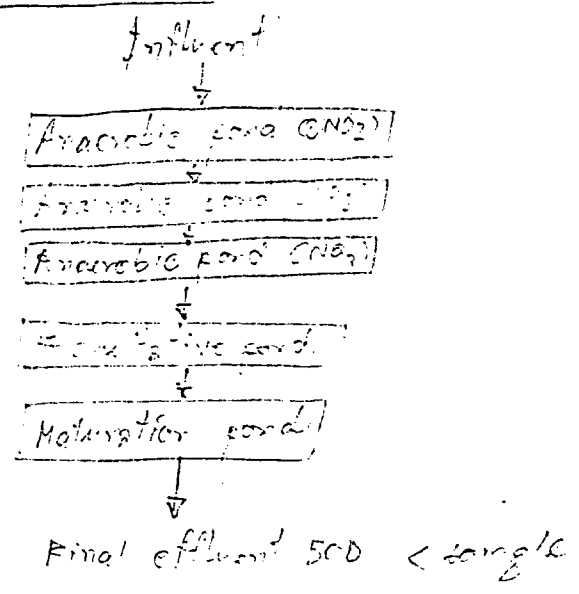
6.2) ការគណនាបរិមាណប្រតិបត្តិការសម្រាប់ប្រព័ន្ធប្រព្រឹត្តិការសម្រាប់ប្រជាជន ១០០០ នាក់

| ប្រជាជន (នាក់) | ប្រតិបត្តិការ (m ³ /d) | ប្រតិបត្តិការ BOD (kg BOD/d) |
|----------------|-----------------------------------|------------------------------|
| 1000 | 40 | 116 |
| 2,500 | 100 | 289 |
| 5,000 | 200 | 578 |
| 10,000 | 400 | 1,156 |
| 15,000 | 600 | 1,734 |
| 21,000 | 840 | 2,428 |

6.3) ការគណនាប្រព័ន្ធប្រព្រឹត្តិការសម្រាប់ប្រជាជន ១០០០ នាក់

ប្រព័ន្ធប្រព្រឹត្តិការសម្រាប់ប្រជាជន ១០០០ នាក់ ៣ ថ្ងៃ
 Anaerobic pond & stages ក្នុង
 Aerobic pond (Facultative pond for nitrification pond)

រូបភាព ១១១



6.4 Design of pond

- Anaerobic pond surface loading = 3,000 kg BOD/m²/d
- Facultative pond surface loading = 250 kg BOD/m²/d
- Final effluent on Facultative pond < 100 mg/l/day
- Maturation pond surface loading = 150 kg BOD/m²/d
- Final effluent on Maturation pond < 50 mg/l/day

Design of pond

| | | |
|------------------|------|---|
| Anaerobic pond | 3.80 | m |
| Facultative pond | 3.00 | m |
| Maturation pond | 2.50 | m |

Design of pond

| | | |
|------------------|------|---|
| Anaerobic pond | 3 | m |
| Facultative pond | 2.50 | m |
| Maturation pond | 1.50 | m |

Design of pond

| | | |
|-------|-------|---|
| width | 3 | m |
| Slope | 1:0.5 | |

Design of pond

Design of pond for 15,000 people, 100 mg/m³ -

1. Anaerobic pond

pond retention time 65%

1.1 Anaerobic pond

- Surface loading 3000 kg BOD/m²/d
- load inflow 2500 kg BOD/d
- ∴ Surface area $\frac{2500}{3000} = 0.833 \text{ ha} = 8,330 \text{ m}^2$

width pond = 70.8 x 122.8

- depth 1.5 m (1/10 = 0)
- BOD = 1,734 - 0.65 x 1,734 = 607 kg BOD/d
- width = 70.8 x 122.8 = 434

1. In aerobic pond

- Load Influent = $\frac{607}{714}$ kg BOD/d.
- Surface loading = 2000 kg BOD/ha/d.
- Surface area = $\frac{607}{2000} = 0.304$ ha
- need $\frac{36.12 \times 72.25}{10.25} = 2610$ m²
- BOD removal = $607 - 0.65 \times 607 = 212$ kg BOD/d
- detention time = $\frac{425 \times 8.5}{1800} = 2$ days

1-3. In aerobic pond

- Load Influent = 212 kg BOD/d
- Surface loading = 2000 kg BOD/ha/d
- Surface area required = $\frac{212}{2000} = 0.106$ ha
- need 1060 m²
- $27 \times 46.3 = 39.2$ m
- $27 \times 54 = 54$ m
- BOD removal = $212 - 0.65 \times 212$
- detention time = $\frac{27 \times 54 \times 3}{600} = 7.29$ days

2. Facultative Pond

- Load Influent = 74.2 = 75 kg BOD/d
- Surface loading = 250 kg BOD/ha/d
- Surface area = $\frac{75}{250} = 0.30$ ha
- need 3000 m²
- 51×58.8 m
- 51×102 m
- detention time = $\frac{51 \times 102 \times 2.5}{600} = 21.675$ d

check it.

$L_2 = L_0 (1 - e^{-k_1 t})$

$L_2 = 70.5 = 75 (1 - e^{-k_1 \times 21.675})$

$0.93 = 1 - e^{-k_1 \times 21.675}$

$e^{-k_1 \times 21.675} = 0.07$

$-k_1 \times 21.675 = \ln(0.07)$

$k_1 = \frac{-\ln(0.07)}{21.675} = 0.085$

$$\text{eff.} = \frac{L_0 - L_t}{L_0} \times 100 = 92\%$$

Assume 75% removal \therefore BOD outlet = $44.2 \times 0.25 = 18.55 \text{ kg/d}$

9. Maturation pond (pond 5)

- Load Influent = 18.5 kg BOD/d
- Surface loading = 20 $\frac{\text{kg BOD}}{\text{m}^2 \text{ d}}$
- Surface area = 150 m^2
- Surface area = $\frac{20}{150} = 0.134 \text{ ha}$

Load = $0.134 \times 20 = 3422.5 \text{ kg/d}$

detention time = $\frac{3422.5 \times 1.50}{600} > \frac{dt}{\text{day}}$

= 8.461 day

- Check BOD removal efficiency

$$L_t = \frac{20}{1 + 0.56 \times 8.461}$$

$$= 3.43 \text{ kg BOD/d}$$

< 20

OK

ಸರಿಯಾದ ರೀತಿಯಲ್ಲಿ ಉಳಿಸಿ ಮತ್ತು ಸುರಕ್ಷಿತವಾಗಿ ಇಡುವುದು
 ವಿವರಿಸಿ

ตารางที่ 1

ขนาดบ่อบำบัดน้ำเสียสำหรับฟาร์มสุกร

| สำหรับฟาร์มสุกร ขนาด... | รวมของถัง | | ขั้น (1) | | | | ขั้น (2) | | | | ขั้น (3) | | | | ขั้น (4) | | | | ขั้น (5) | | | |
|-------------------------|-----------|--------|----------|-------|-------|-------|----------|-------|-------|-------|----------|-------|-------|-------|----------|-------|-------|-------|----------|-------|-------|-------|
| | ย | ก | ข1 | ข2 | ข3 | ข4 | ข5 | ข6 | ข7 | ข8 | ข9 | ข10 | ข11 | ข12 | ข13 | ข14 | ข15 | ข16 | ข17 | ข18 | | |
| 1,000 | 87.00 | 66.00 | 54.00 | 35.00 | 26.00 | 7.00 | 31.00 | 12.00 | 21.00 | 2.00 | 23.00 | 4.00 | 21.00 | 2.00 | 28.00 | 11.50 | 32.00 | 15.50 | 28.00 | 16.50 | 18.00 | 6.50 |
| 2,500 | 111.00 | 88.00 | 73.00 | 54.00 | 36.00 | 17.00 | 45.00 | 26.00 | 26.00 | 7.00 | 31.00 | 12.00 | 26.00 | 7.00 | 40.00 | 23.50 | 49.00 | 32.50 | 40.00 | 28.50 | 20.00 | 8.50 |
| 5,000 | 132.00 | 110.00 | 83.00 | 64.00 | 48.00 | 29.00 | 48.00 | 29.00 | 37.00 | 18.00 | 50.00 | 31.00 | 24.00 | 5.00 | 50.00 | 33.50 | 62.00 | 45.50 | 50.00 | 38.50 | 30.00 | 18.50 |
| 10,000 | 170.00 | 147.00 | 111.00 | 92.00 | 69.00 | 50.00 | 69.00 | 50.00 | 47.00 | 28.00 | 66.00 | 47.00 | 32.00 | 13.00 | 66.00 | 49.50 | 81.00 | 64.50 | 66.00 | 49.50 | 41.00 | 21.50 |
| 15,000 | | | | | | | | | | | | | | | | | | | | | | |
| 21,000 | | | | | | | | | | | | | | | | | | | | | | |

รวม
รวม

3.6

6.1

9.1

15.6

(12)

6.3 ការគណនាបំពង់បំបាត់

តម្លៃធាតុដើម

| តម្លៃធាតុដើម | កម្រិតបំបាត់ប្រសិនបើបំបាត់ 1 ម៉ែត្រ | កម្រិតបំបាត់ប្រសិនបើបំបាត់ 1 ម៉ែត្រ |
|--|--|--|
| 1. បំបាត់ប្រសិនបើបំបាត់ 20 (m ²) | 0.10 | 0.163 |
| 2. បំបាត់ប្រសិនបើបំបាត់ 20 (m ²) | 10 | 21.95 |
| 3. η | 0.015 | 0.015 |
| 4. S | 0.0015 | 0.0015 |

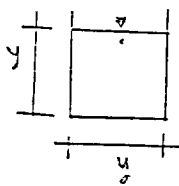
ការគណនាបំបាត់

$$Q = \frac{1}{8} A R_h^{2/3} S^{1/2}$$

1) គម្រិត $y = 0.40$ m.

$$A = 0.40 \times 0.40 = 0.16$$

$$R_h = \frac{0.40 \times 0.40}{3 \times 0.40}$$



$$Q = \frac{1}{0.015} (0.16) (0.134)^{2/3} (0.0015)^{1/2}$$

$$Q = 0.1078 \text{ m}^3/\text{s} \quad \text{ok កម្រិតបំបាត់ប្រសិនបើបំបាត់ 20 ម៉ែត្រ}$$

2) គម្រិត $y = 0.50$ m.

$$A = 0.50 \times 0.50 = 0.25 \text{ m}^2$$

$$R_h = \frac{0.50 \times 0.50}{3(0.50)} = 0.167$$

$$R_h^{2/3} = 0.3028$$

$$Q = \frac{1}{0.015} (0.25) (0.3028)^{2/3} (0.0015)^{1/2}$$

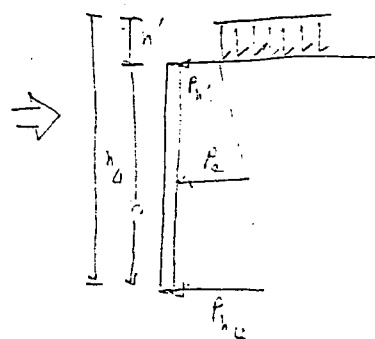
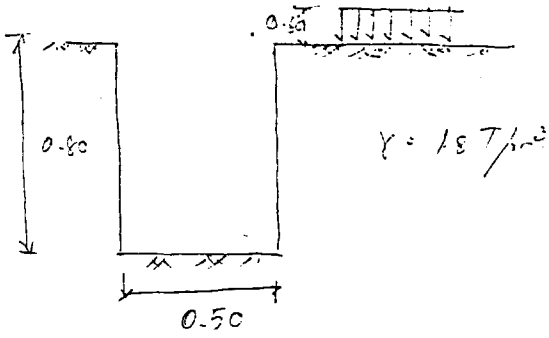
$$Q = 0.195 > 0.163 \quad \text{ok}$$

3) 1.0015

| កម្រិតបំបាត់ប្រសិនបើបំបាត់ 1 ម៉ែត្រ | កម្រិតបំបាត់ប្រសិនបើបំបាត់ 1 ម៉ែត្រ |
|--|--|
| | |

6.4 DESIGN PROBLEM

1. PROBLEM STATEMENT



Section dimensions (m)

from fluid case (assumed)

Col. $h' = 0.6 \text{ m}$

$\phi = 0$

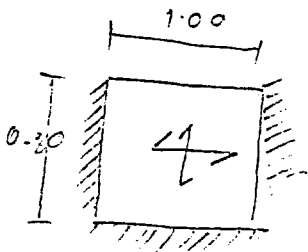
$\phi \approx 45^\circ \therefore k \approx 0.165$

$\therefore p_1 = k \gamma h' = 0.165 \times 18 \times 0.6 = 0.1782 \text{ Ton/m}^2$

$p_{1u} = K \gamma h_u = 0.165 \times 1.8 \times 1.4 = 0.4158 \text{ Ton/m}^2$

$\therefore p_4 = \left(\frac{p_1 + p_{1u}}{2} \right) = 0.594 \text{ Ton/m}^2$

DESIGN (Span = 1.00 m)



absolute $t = 0.15 \text{ m}$

height of concrete = 360 kg/m^2

Two-way slab $M = C \times S^2$

$\therefore W = 5940 + 360 = 6300 \text{ kg/m}^2$

$\therefore M^{\pm} = 0.055 \times 6300 \times 0.8^2 = 221.75 \text{ kg-m}$

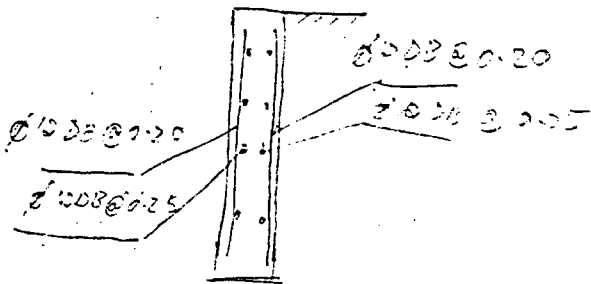
$m = \frac{e}{L} = \frac{0.8}{1} = 0.8$

$c^- = 0.055$

$c^+ = 0.041$

(Check Max. Coef.)

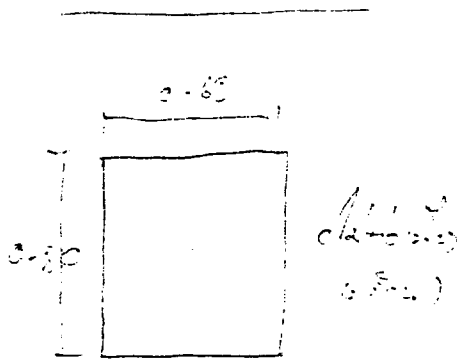
$AS = \frac{M}{f_s j d} = \frac{300}{1200 \times 0.85 \times 0.13} = 2.21 \text{ cm}^2/\text{m}$



used - $\phi 12 @ 200$ (AS = 5.65 cm^2/m)
 - $\phi 12 @ 250$ (AS = 4.52 cm^2/m)

ek

reverse bottom slab $\phi 12 @ 250$



$$m = \frac{0.62^2}{0.30} = 0.31^2$$

$$C^+ = 0.62$$

$$C^- = 0.11$$

Cross Ray. Conf.

assume $f_c = 0.18$

$$\text{Load } p_c = 1200 \text{ kg/m}^2$$

$$\text{Concrete load} = 0.18 \times 0.186 = 0.0335 \text{ kg/m}^2$$

$$\text{E load} = 1200 - 0.0335 = 1199.9665 \text{ kg/m}^2$$

$$M = C \cdot l^2$$

$$= 0.62 \times 1199.9665 \times 0.62^2$$

$$= 529 \text{ kg-m/m}$$

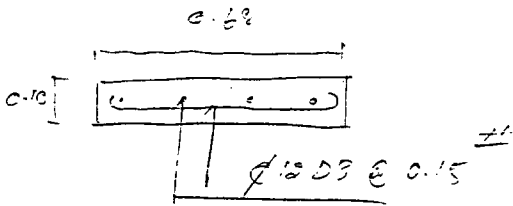
$$RS = \frac{M}{f_y \cdot j \cdot d} = \frac{529}{1200 \times 0.87 \times 0.03}$$

$$= 16.33 \text{ cm}^2/\text{m}$$

Area of steel

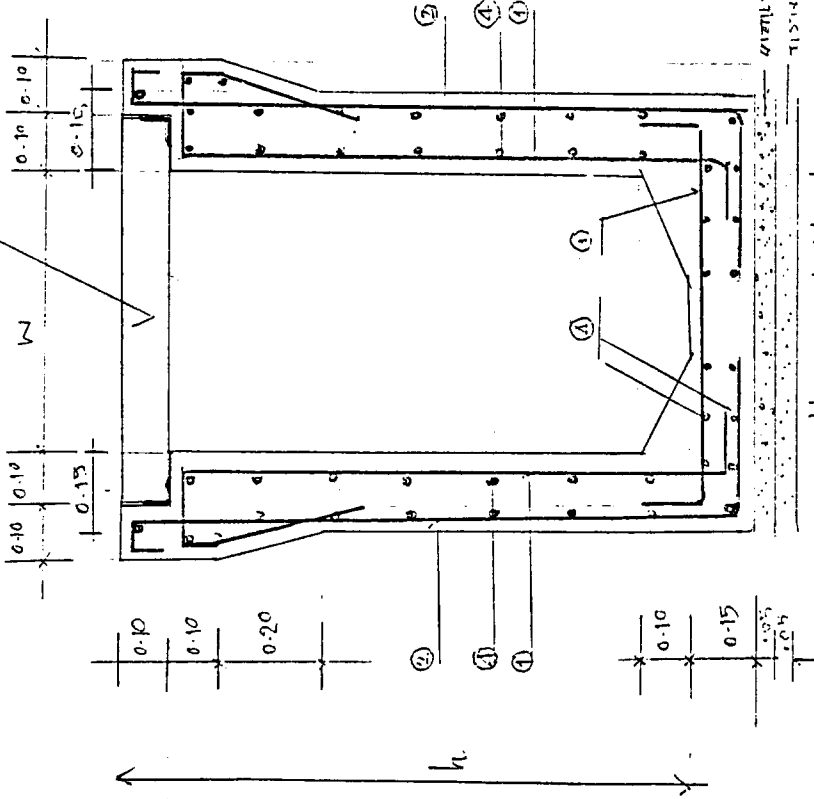
$$\text{Load } p_c = 1200 \text{ kg/m}^2$$

ok



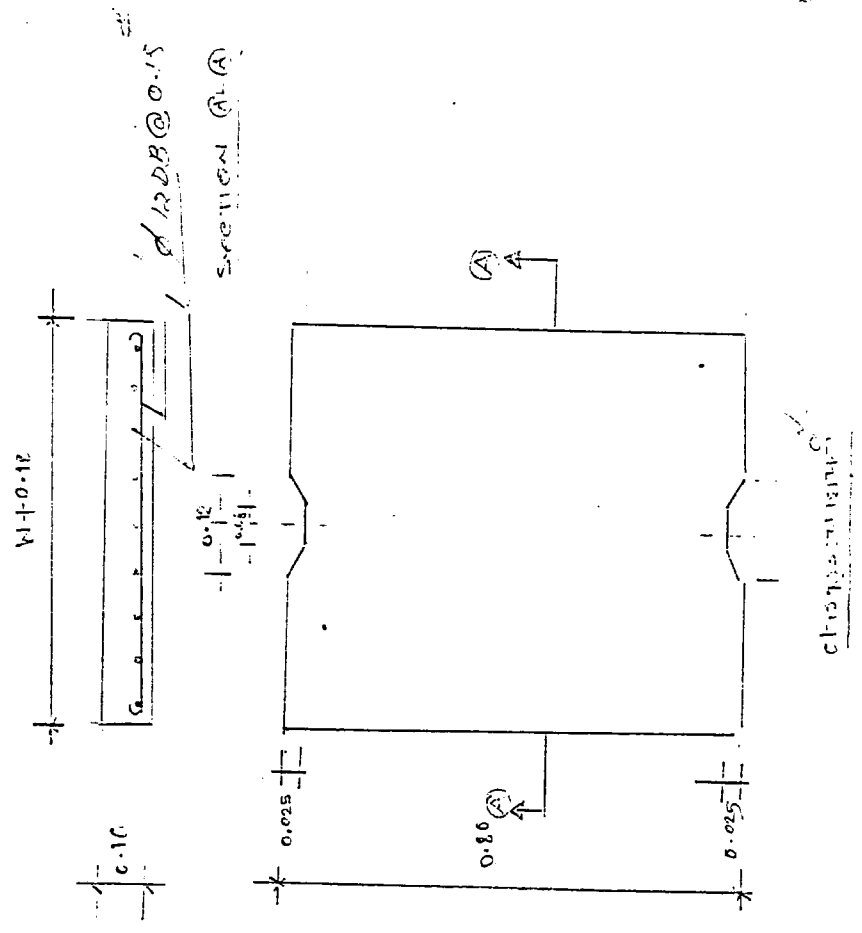
Detail

အခြားအပိုင်းများကို ခြုံငုံထားပါသည်။



အခြားအပိုင်းများကို ခြုံငုံထားပါသည်။

- 1) $\phi 12$ DB @ 0.20
- 2) $\phi 12$ DB @ 0.20
- 3) $\phi 12$ DB @ 0.25



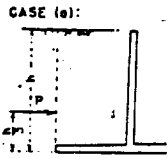
အခြားအပိုင်းများကို ခြုံငုံထားပါသည်။

၆၆

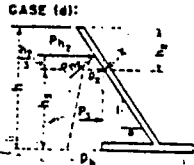
၆၆

၆၆

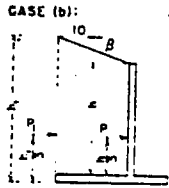
DESIGN OF SMALL DAMS



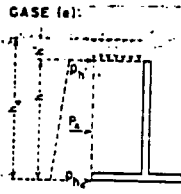
CASE (a):
 $P = K \frac{wh^2}{2}$
 where K is obtained from chart below,
 for β is 0 and w is the weight of
 backfill in lbs per cubic foot



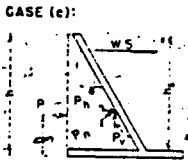
CASE (d):
 P_{h_2} and P_{h_1} computed above point z
 as in case (c)
 $P_s = \left(\frac{P_{h_2} + P_{h_1}}{2} \right) h_3$ where
 $P_{h_2} = K wh_2$ and $P_{h_1} = K wh$
 P_s is applied at $\frac{h_3}{3} \left(\frac{2P_{h_2} + P_{h_1}}{P_{h_2} + P_{h_1}} \right)$ above base



CASE (b):
 $P = K \frac{wh^2}{2}$
 $P_s = K \frac{wh^2}{2}$
 where K is obtained from chart below,
 for $\beta > 0$



CASE (e):
 For uniform surcharge, convert to
 equivalent height of fill h'
 Then $P_s = \left(\frac{P_{h_2} + P_{h_1}}{2} \right) h'$ where
 $P_{h_2} = K wh_2$ and $P_{h_1} = K wh'$
 P_s is applied at $\frac{h'}{3} \left(\frac{2P_{h_2} + P_{h_1}}{P_{h_2} + P_{h_1}} \right)$ above base.

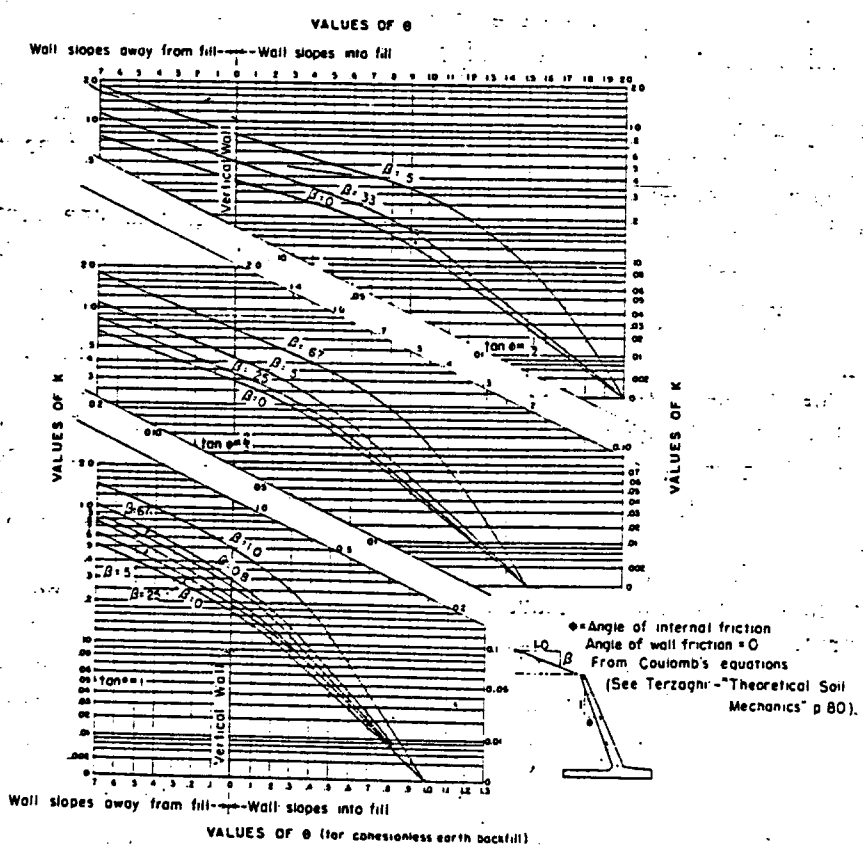


CASE (c):
 P same as for case (a)
 $P_h = K \frac{wh^2}{2}$
 where K is obtained from chart below,
 for appropriate value of ϕ
 $P_h = \frac{P_h}{\sqrt{1 + \phi^2}}$
 $P_v = \frac{\phi P_h}{\sqrt{1 + \phi^2}}$

NOTE: For fully saturated pervious backfill or backfill retaining water:
 Vertical unit weight = unit weight of dry fill plus 62.5 lbs per cu ft
 x percent of voids in the fill
 Horizontal unit pressure p = full hydrostatic pressure plus 0.4 of
 dry equivalent fluid pressure.

If stem is subjected to hydrostatic load on the channel side, assume fill has
 shrunk away from wall and check stem design for hydrostatic
 load only, using allowable steel stress of 14 f.

EARTH PRESSURES ON RETAINING WALLS



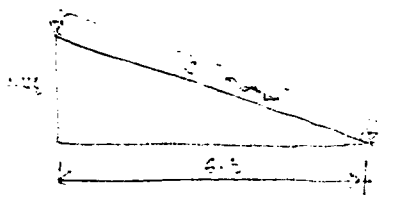
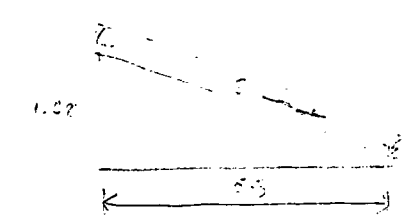
VALUES OF ϕ (for cohesionless earth backfill)
 Active pressure coefficients for earthfill loads on walls

Figure C-1. Earth pressures on retaining walls. 288-D-2892.

~~1.422~~
6.5 m/s - 0.79: - 0.000. 2.07

1) m/s/20

1. 0.000. 2.07

| <p>1.422</p> <p>0.000. 2.07</p> | <p>0.000. 2.07</p> |
|---|---|
| <p><u>0.000. 2.07</u></p> | <p><u>0.000. 2.07</u></p> |
| <p>1) $Q_{\text{act}} = 0.15 \text{ m}^3/\text{s}$</p> | <p>1) $Q_{\text{act}} = 0.142 \text{ m}^3/\text{s}$</p> |
| <p>2) $Q_{\text{max}} = 0.5 \text{ m}^3/\text{s}$</p> | <p>2) $Q_{\text{max}} = 0.5 \text{ m}^3/\text{s}$</p> |
| <p>3) $h = 0.15$</p> | <p>3) $h = 0.15$</p> |
| <p>$S = \frac{1.48}{6.5} = 0.0227$</p> | <p>$S = \frac{1.48}{6.5} = 0.0227$</p> |
|  |  |
| <p>$1 - \phi = 0.35$</p> | <p>$1 - \phi = 0.35$</p> |
| <p>$n = 0.015$</p> | <p>$n = 0.015$</p> |
| <p><u>2.07</u> $S = 0.20$</p> | <p><u>2.07</u> $S = 0.20$</p> |
| <p>$V_{\text{act}} > 0.4 \text{ m/s}$</p> | <p>$V_{\text{act}} > 0.4 \text{ m/s}$</p> |
| <p>$Q_{\text{full}} = 6 \text{ m}^3/\text{s}$</p> | <p>$Q_{\text{full}} = 6 \text{ m}^3/\text{s}$</p> |
| <p>$\frac{Q_{\text{act}}}{Q_{\text{full}}} = \frac{0.15}{6} = 0.025$</p> | <p>$\frac{Q_{\text{act}}}{Q_{\text{full}}} = \frac{0.142}{6} = 0.0237$</p> |
| <p>$\frac{V_{\text{act}}}{V_{\text{full}}} = 0.37$</p> | <p>$\frac{V_{\text{act}}}{V_{\text{full}}} = 0.45$</p> |
| <p>$\frac{h}{D} = 0.088$</p> | <p>$\frac{h}{D} = 0.11$</p> |
| <p>$V_{\text{act}} = > 0.936 \text{ m/s}$</p> | <p>$V_{\text{act}} = > 1.08 \text{ m/s}$</p> |
| <p>$h = 2.07 \text{ cm}$</p> | <p>$h = 9 \text{ cm}$</p> |
| <p><u>0.15</u></p> | <p><u>0.15</u></p> |

2.) ការគណនាសំណុំបំណុល

វិធីសាស្ត្រគណនាសំណុំបំណុល

2.1. វិធីសាស្ត្រគណនាសំណុំបំណុល (Constant Amortization)

- 2.1.1 កម្រិតសំណុំបំណុលដែលត្រូវបានបង់ប្រាក់ចំនើន 0.5 ឆ្នាំ/៤
- 2.1.2 កម្រិតសំណុំបំណុលដែលត្រូវបានបង់ប្រាក់ចំនើន 0.43 ឆ្នាំ/៤

2.2. វិធីសាស្ត្រគណនាសំណុំបំណុល

Rational Formulas

$C = 0.00028 \text{ CIP}$

$X_0 : Q =$ វិធីសាស្ត្រគណនាសំណុំបំណុល (ឆ្នាំ/៤)

$C =$ កម្រិតសំណុំបំណុលដែលត្រូវបានបង់ប្រាក់ចំនើន (ឆ្នាំ/៤) (ឆ្នាំ/៤) (ឆ្នាំ/៤)

$I =$ ចំនួនសំណុំបំណុល (ឆ្នាំ/៤) (ឆ្នាំ/៤) (ឆ្នាំ/៤)

$A =$ អត្រាបំណុល (ឆ្នាំ/៤)

2.3. វិធីសាស្ត្រគណនាសំណុំបំណុល (H₂)

2.3.1 $H_1 = \frac{C}{\delta} \cdot \frac{Y}{2\delta}$ (ឆ្នាំ/៤) (ឆ្នាំ/៤)

2.3.2 $H_{ex} = K_{ex} \frac{Y}{2\delta}$ ($K_{ex} = 0.55$)

2.3.3 $H_0 = \frac{C}{\delta} \frac{Y}{2\delta}$ ($K_2 = 0.35$)

2.3.4 $H_{ex} = K_{ex} \frac{Y}{2\delta}$ ($K_{ex} = 1$)

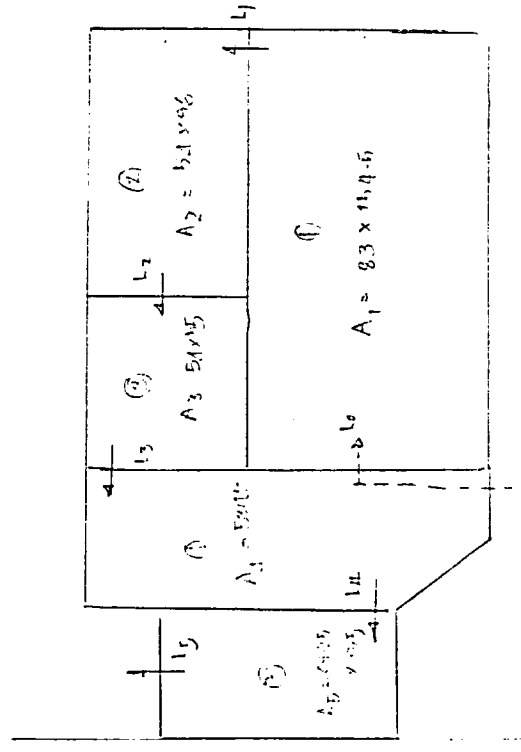
2.3.5 $H_2 = H_1 + H_{ex} + H_0 + H_{ex}$

2.4. ការគណនាសំណុំបំណុល

2.4.1 ការគណនា F (កម្រិតសំណុំបំណុលដែលត្រូវបានបង់ប្រាក់ចំនើន)

2.4.2 ការគណនា P (កម្រិតសំណុំបំណុលដែលត្រូវបានបង់ប្រាក់ចំនើន)

PLAN SECTION A



Minimum free board = 0.40 m.

TABLE A-1 Characteristics of Sedimentation Tank

| No. | Q in m^3/s | S_u in m/s | $R_d = \sum (v_{i+1} - v_i) R_k$ | Remarks |
|-----|----------------|----------------|----------------------------------|--|
| 1 | 0.10 | 0.215 | 0.285 | $R_k = 1.2 \text{ m}^2$ $= \frac{1.2 \times 80 \text{ A}}{1000 \times 3600}$ $= 2.29 \times 10^{-5} \text{ A}$ |
| 2 | - | 0.115 | 0.500 | |
| 3 | - | 0.060 | 0.516 | |
| 4 | - | 0.015 | 0.249 | |
| 5 | - | 0.009 | 0.216 | |

PROCESSES

Sol: 1- ϕ 800 mm ($A = 0.503 \text{ m}^2$), $L = 12 \text{ m}$.

Check Feed Loss

at point B, $R = 0.215 \text{ m/s}$
 $V = \frac{Q}{A} = \frac{0.10}{0.503} = 0.198 \text{ m/s}$

(1) $Q_f = 0.015 \times 12 \times \frac{(1.92)}{0.10} = 0.003 \text{ m}^3$

(2) $Q_{f1} = 0.015 \times \frac{(1.92)^2}{0.003} = 0.003 \text{ m}^3$

(3) $Q_{f2} = 0.010 \times \frac{(1.92)^2}{0.003} = 0.003 \text{ m}^3$

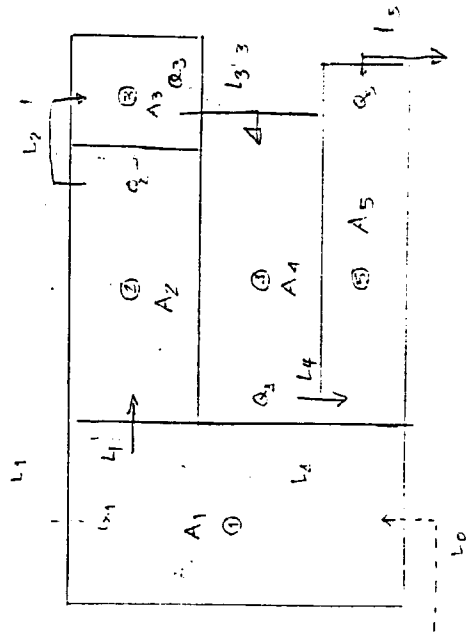
(4) $Q_{f3} = 1 \times \frac{(1.92)^2}{0.003} = 0.10 \text{ m}^3$

Total feed loss = $0.003 + 0.003 + 0.003 + 0.10 = 0.162 \text{ m}^3$
ok.

ב. כוכנית וטוואל: פונד

פונד פ-1

מחלקת הנדסת המים (ה.ה.) פרויקט הנדסת המים והביוב



מחלקת הנדסת המים - א

- A1 = 26x180.5
- A2 = 61.5x111.5
- A3 = 61.5x53.5
- A4 = 40.75x150.25
- A5 = 11.5x147

| No. | Q _{in} (m³/s) | Q _k = CIA | Q ₁ = Σ(Q _{in} + Q _k) | Remark |
|-----|------------------------|----------------------|---|--|
| 1 | 0.163 | 0.385 | 0.548 | |
| 2 | - | 0.152 | 0.700 | Q ₁ = Q ₂ = 0.700 m³/s |
| 3 | - | 0.073 | 0.773 | |
| 4 | - | 0.207 | 0.980 | |
| 5 | - | 0.132 | 1.112 | |

מחלקת הנדסת המים והביוב

Select 1- best min. (A1=0.303 m), L = 1.2 m

Check Head loss of pond

$$Q = 0.926 \text{ m}^3/\text{s}$$

$$V = \frac{Q}{A} = \frac{0.926}{0.503} = 1.84 \text{ m/s}$$

$$H_f = 0.015 \cdot V^2 \cdot \frac{L}{d} = 0.073 \text{ m}$$

$$H_{ext} = 0.01 \text{ m}$$

$$H_{B3} = 0.30 \text{ m}$$

$$H_{ext} = 1.2 \text{ m}$$

Total head loss = 0.073 + 0.01 + 0.30 + 1.2 = 0.583 < 0.40

OK

3) 1.70

1.70

1) $\frac{1}{2} \times 1000 \times 0.002 = 1000 \times 0.001 = 1 \text{ m}^3/\text{s}$
 $Q = 1 \text{ m}^3/\text{s}$

2) $Q = 1 \text{ m}^3/\text{s}$

$\eta = 0.015$

$S = 0.002$

① Calculation

Given - $d = 300 \text{ mm}$

low draft flowgraph

$V_{full} = 0.65 \text{ m/s}$

$Q_{full} = 0.35 \text{ m}^3/\text{s}$

$\frac{Q_{act}}{Q_{full}} = \frac{0.163}{0.35} = 0.47$

$\frac{d'}{D} = 0.472$

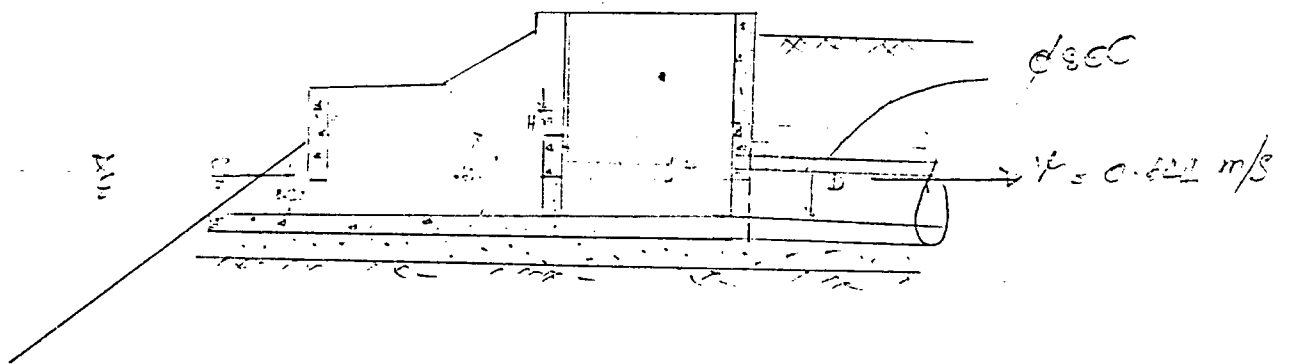
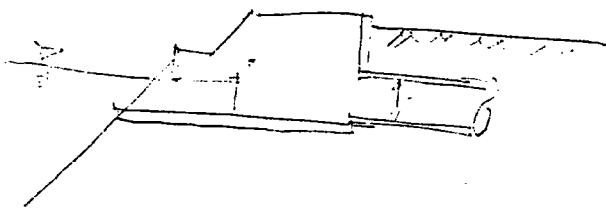
$\frac{V_{act}}{V_{full}} = 0.99$

V_{full}

$\therefore V_{act} = 0.644 \text{ m/s}$

$h = 38.56 \text{ cm}$

② DESIGN WORK



$$H = H_{en} + \frac{H_f}{f} + H_p$$

DATA $d = 800 \text{ mm}$
 $L = 1.5 \text{ m}$

$$\text{① } H_f = 0.015 \times \frac{1.5}{12} \times \frac{0.622^2}{2.6} = 0.0004 \text{ m}$$

$$\text{② } H_{en} = 0.5 \times \frac{0.622^2}{2.6} = 0.001 \text{ m}$$

$$\text{③ } H_v = \frac{f}{2.6} = 0.01256 \text{ m}$$

$$\therefore H = \text{①} + \text{②} + \text{③} = 0.0352 \text{ m} \quad \underline{\underline{0.4}}$$

Height of 2 m with length.

$$Q = 1.483 B^{3/2} H^{3/2}$$

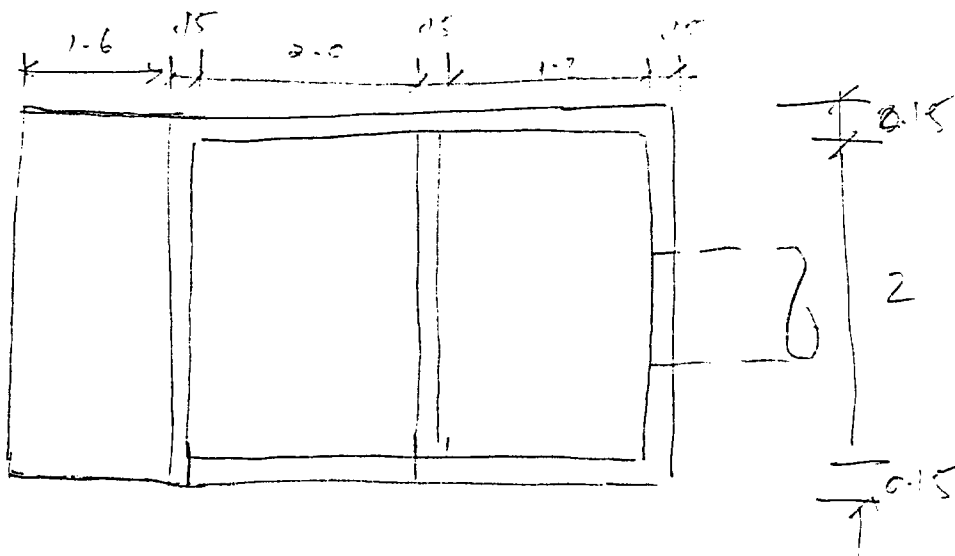
$$0.163 = 1.483 (2.1) H^{3/2}$$

$$H^{3/2} = 0.04211$$

$$H_H = 0.13025 \text{ m}$$

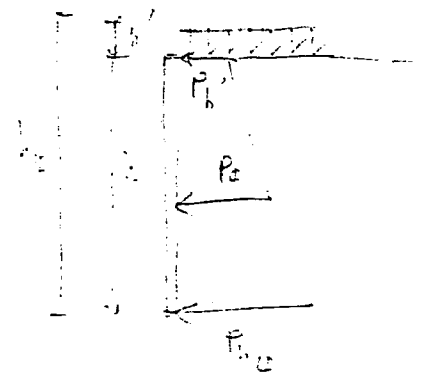
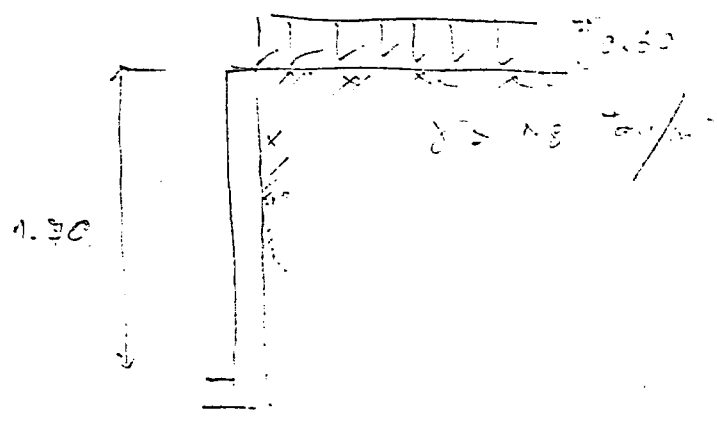
$$\therefore 0.60 + H_H = 0.65 < 0.80 \quad \underline{\underline{OK}}$$

③ DESIGN STRUCTURE



PLAN

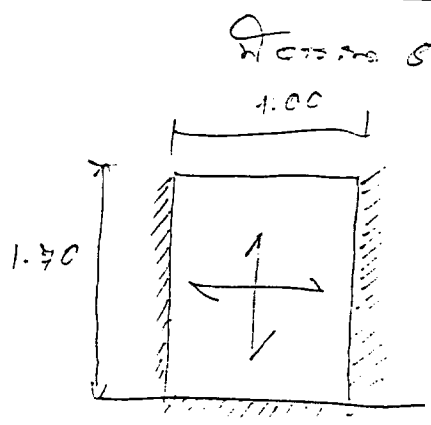
Design
2.1 continuous slab over 2 spans



From span 1 to span 2

3.1. $l_1 = 2.60 \text{ m}$
 $\beta = 0$
 $\theta = 90^\circ \therefore \sec \theta = 1.0$
 $F_{1x} = K_1 W l_1 = 0.175 \times 18 \times 2.60$
 $= 0.175 \times 46.8 = 0.175 \times 46.8$
 $F_{1y} = K_2 W l_1 = 0.175 \times 18 \times 2.60$
 $= 0.175 \times 46.8 = 0.175 \times 46.8$
 $F_{1z} = \frac{F_{1x}^2 + F_{1y}^2}{2}$
 $= 0.4302 \text{ Ton/m}^2$

Width of slab $b = 1 \text{ m}$



Design for secondary slab

ass. $t = 0.15$
 $F_{design} = 62 \text{ kg/m}^2$
 $M^+ = C W l^2$
 $= 0.067 \times 430 \times 1^2$
 $= 297.2 \text{ kg-m}$
 $A_s^+ = \frac{297.2}{15307.892 \times 0.12}$
 $= 1.85 \text{ cm}^2/\text{m}$

$m = \frac{1}{1.30} = 0.60$

$C^+ = 0.052$

$C^- = 0.067$

(Design Max. Coef. C)

used $\phi 10 @ 220$

$A_s^+ = 4.68 \text{ cm}^2/\text{m}$

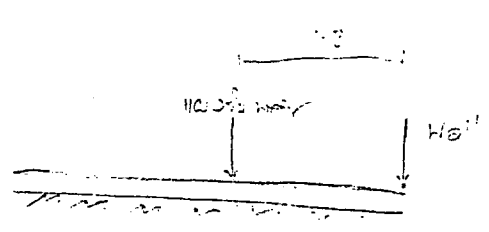
check $I_g = 200$
 $= 19.33 \times 0.17 \times 0.5$
 $I_R = 12.682 \text{ m}^2$

check deep beam
 $\frac{L}{b} = \frac{2}{0.15} = 13.33 < 30$ It's deep beam

$AS = \frac{M}{f_s j d} = \frac{136.67}{1500 \times 0.893 \times 0.95} = 0.10352 \text{ m}^2$

CL use 4- $\phi 12DB$
 4- $\phi 10DB$

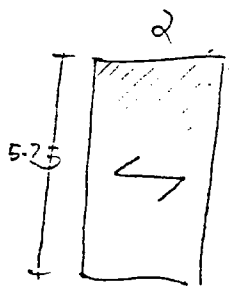
3.5. Bottom slab



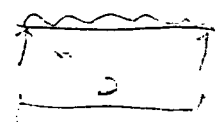
Load wall = 610 kg/m
Load slab = 432 kg/m
DL = $0.64 \times 5.25 \times 1000 \times 1000$
 = 3360 kg

$\therefore \Sigma$ = $(610 + 432) \times 5.25$
 = 5388 kg
Height of slab = $5.25 \times 0.15 \times 2000$
 = 3280 kg
 $\therefore \Sigma \text{ load}$ = $5388 + 3280$
 = 8668 kg

unit area wt = $\frac{8668}{5.25 \times 0.15} = 1.16 \text{ Ton/m}^2$



$m = \frac{2}{5.25} = 0.38$



Design one-way slab

$W = 1.16 \times 1000 \text{ kg/m}^2$
 $M = \frac{1}{8} W l^2 = \frac{1}{8} \times 1.16 \times 1300^2$
 = 550 kg-m
 $AS = \frac{M}{f_s j d} = \frac{550}{1500 \times 0.893 \times 0.13}$
 = 3.33 cm^2/m

used $\phi 10DB @ 0.20$
 ($AS = 2.63 \text{ cm}^2/\text{m}$)

OK

Engineering Data

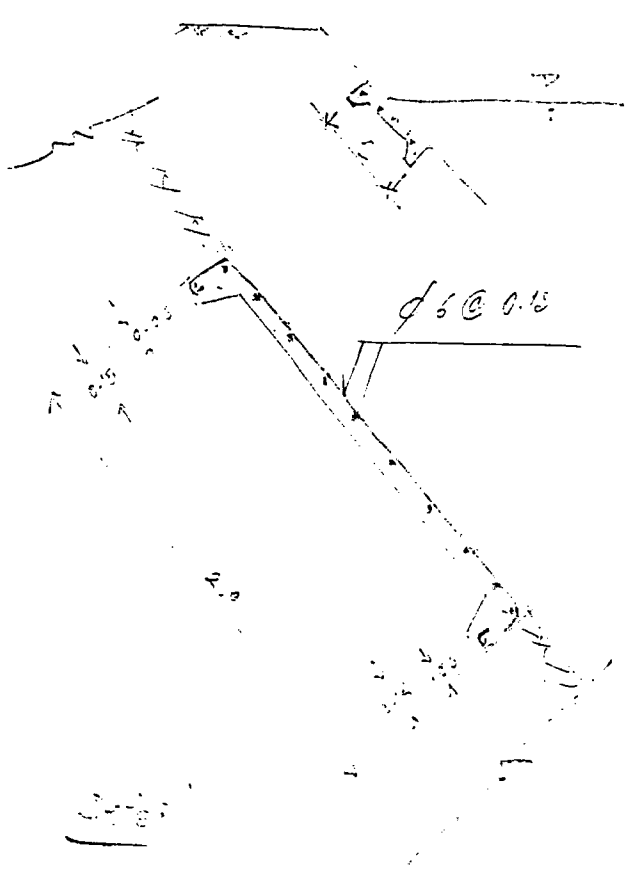
Round Bar Steel

- $f_c = 65 \text{ ksi}$
- $f_s = 1000 \text{ ksi}$
- $n = 11$
- $e = 12.00$
- $j = 0.87$
- $k = 0.25$

Flat Bar Steel

- $f_c = 65 \text{ ksi}$
- $f_s = 1000 \text{ ksi}$
- $n = 11$
- $e = 12.00$
- $j = 0.87$
- $k = 0.25$

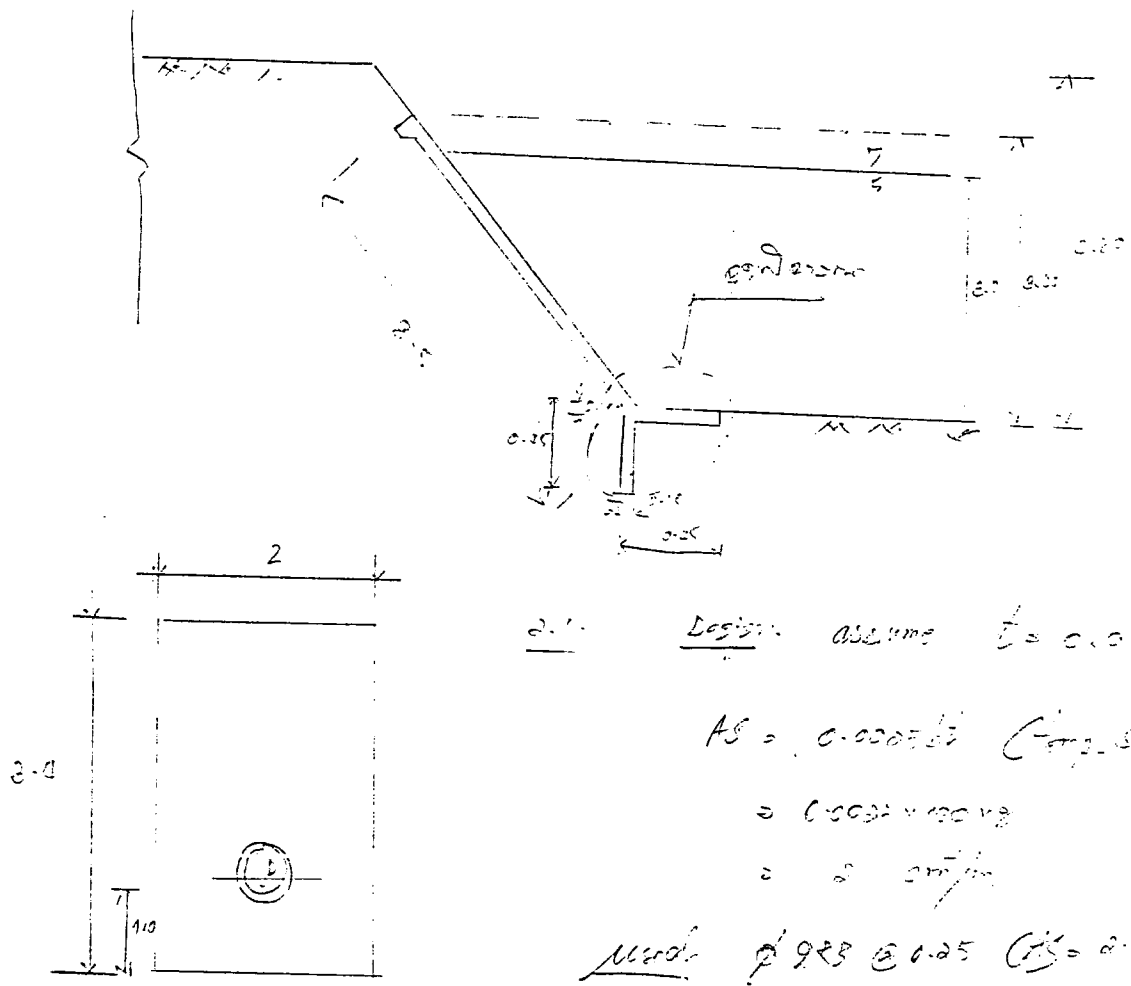
1. Design of Column



12.00 ft high
 12.00 in diameter
 6 # @ 18 in
 Design for moment

Assume $f_c = 65 \text{ ksi}$
 $f_s = 1000 \text{ ksi}$
 $n = 11$
 $e = 12.00$
 $j = 0.87$
 $k = 0.25$

Need $0.75 \times 12.00 \times 65 = 579.6 \text{ kips}$
OK



2.1. Design assume $t = 0.03$ m

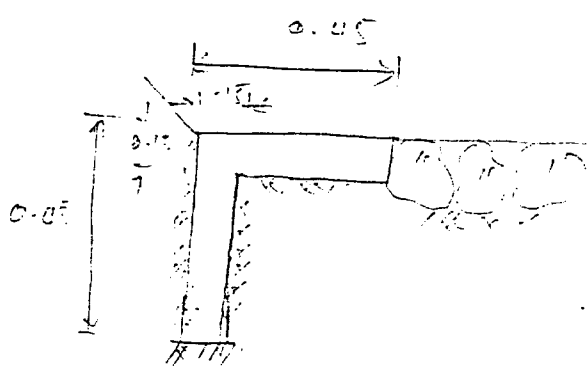
$$AS = 0.0025 \times 2.0 \times 0.05$$

$$= 0.00025 \times 100000$$

$$= 25 \text{ cm}^2/\text{m}$$

Use $\phi 925 @ 0.25$ $AS = 256 \text{ cm}^2/\text{m}$
etc

2.2 Reinforcement



Reinforcement for beam and column

- 1) 12.2 dia @ 25
- 2) 8mm dia @ 100

$$\therefore W_{slab} = 2400 \times 0.03 \times 8.5$$

$$= 1530 \text{ kg/m}$$

Assume slab thickness 0.15 m
Load on slab = 1530 + 1530 = 3060 kg/m

0.15 m \times 2.0 m

$$M = \frac{1}{8} w L^2 = \frac{1}{8} \times 3060 \times 2^2$$

$$= 892 \text{ kg-m}$$

Assume slab 0.15×0.25

$$M_{sl} = 2400 \times 0.15 \times 0.25$$

$$= 162 \text{ kg/m}$$

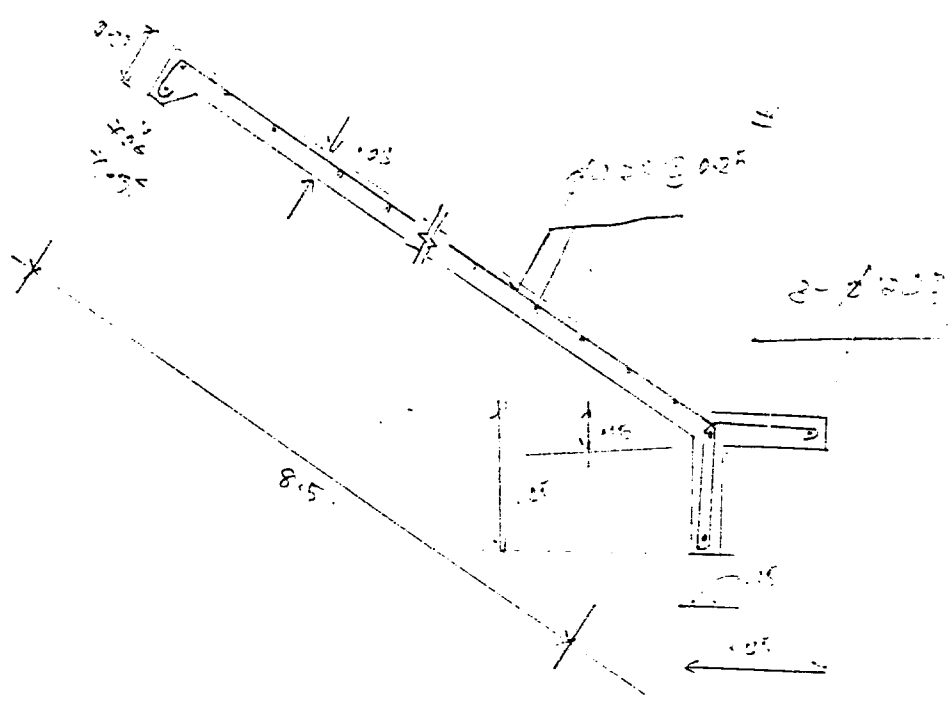
$$E_{load} = 162 + 1530 = 1692 \text{ kg/m}$$

$$\therefore AS = \frac{M}{f_{yk} d} = \frac{892}{1500 \times 0.22 \times 0.25}$$

$$= 1.12 \text{ cm}^2/\text{m}$$

1560 2-12-25 2/2 2000

02



DETAIL DIMENSIONS (m)

02

$$AS = \frac{P}{P_{1990}} = \frac{214}{100 \times 1.015} \approx 2.13 \text{ %}$$

(1)

msd. $\bar{P} = 1521$ $AS = 2.13 \text{ %}$ 26

BT 17145

ศูนย์ความรู้ (ศคร.)



BT17145